



AUTARQUIA ASSOCIADA À UNIVERSIDADE DE SÃO PAULO

**IDENTIFICAÇÃO DE PADRÕES EM SISTEMAS SUPERVISÓRIOS  
DE INSTALAÇÕES DE REATORES NUCLEARES E EM SISTEMAS  
DE GASODUTOS UTILIZANDO MAPAS AUTO-ORGANIZÁVEIS**

**WALDEMAR DORASKEVIČIUS JUNIOR**

**Dissertação apresentada como parte  
dos requisitos para obtenção do Grau  
de Mestre em Ciências na Área de  
Tecnologia Nuclear - Reatores.**

**Orientador:  
Dr. Benedito Dias Baptista Filho**

**São Paulo  
2005**



**INSTITUTO DE PESQUISAS ENERGÉTICAS E NUCLEARES**

**Autarquia associada à Universidade de São Paulo**

**IDENTIFICAÇÃO DE PADRÕES EM SISTEMAS SUPERVISÓRIOS DE  
INSTALAÇÕES DE REATORES NUCLEARES E EM SISTEMAS DE  
GASODUTOS UTILIZANDO MAPAS AUTO-ORGANIZÁVEIS**

**WALDEMAR DORASKEVIČIUS JUNIOR**



**Dissertação apresentada como parte dos  
requisitos para obtenção do Grau de  
Mestre em Ciências na Área de  
Tecnologia Nuclear – Reatores**

**Orientador:  
Dr. Benedito Dias Baptista Filho**

**SÃO PAULO**

**2005**



**INSTITUTO DE PESQUISAS ENERGÉTICAS E NUCLEARES**

**Autarquia associada à Universidade de São Paulo**

**IDENTIFICAÇÃO DE PADRÕES EM SISTEMAS SUPERVISÓRIOS DE  
INSTALAÇÕES DE REATORES NUCLEARES E EM SISTEMAS DE  
GASODUTOS UTILIZANDO MAPAS AUTO-ORGANIZÁVEIS**

**WALDEMAR DORASKEVIČIUS JUNIOR**

**Dissertação apresentada como parte dos  
requisitos para obtenção do Grau de  
Mestre em Ciências na Área de  
Tecnologia Nuclear – Reatores**

**Orientador:  
Dr. Benedito Dias Baptista Filho**

**SÃO PAULO**

**2005**

*A todos os pesquisadores dos  
países em desenvolvimento*

## AGRADECIMENTOS

Agradeço ao meu orientador Benedito Dias Baptista Filho, pessoa de extrema capacidade e solícita. Com disposição e tolerância aos gênios e geniosos.

À Petrobras, especificamente à Tecnologia de Informação, Regional São Paulo – Sul, por me ceder tempo e recursos para este trabalho, à custa de amputações de homens-hora de outros projetos.

À Comissão de Pós-Graduação (CPG) do Instituto de Pesquisas Energéticas e Nucleares – IPEN, por ter compreendido a necessidade de estender o tempo nesta Dissertação, e de me aturar com tantos pedidos e atrasos.

Aos docentes e pesquisadores do Instituto de Pesquisas Energéticas e Nucleares – IPEN e da Escola Politécnica da Universidade de São Paulo – EPUSP, pelos conhecimentos transmitidos e pela paciência de me atender e dirimir dúvidas.

À Fundação de Amparo à Pesquisa do Estado de São Paulo – FAPESP, pelo apoio financeiro no projeto para viabilizar o desenvolvimento de um protótipo, Processo nº 04/05150-1.

Aos colegas Renato Emeric Levai, Jacir Massayuki Murasaki, Valéria Boquinpani, Jorge “do Limão”, Diana Rosa da Silva Tavares, André Martins Tude, Lilian Alves Martins e Carlos César Rodrigues de Souza pelo apoio moral e intelectual dado a este trabalho.

À minha mãe, Regina Smera Doraskevičius.

E concludo, agradecendo a todos aqueles que não foram citados, mas que ajudaram no andamento e conclusão deste trabalho.

Ao rumar para o estudo das redes neurais, percebi que, além dos mecanismos qualitativos, é muito forte o aspecto quantitativo para o sucesso de uma inteligência, natural ou artificial. Portanto, o fenômeno inteligência não é tão inatingível. Daí, concluo que, a inteligência, sendo fácil, precisamos ir além.

# **IDENTIFICAÇÃO DE PADRÕES EM SISTEMAS SUPERVISÓRIOS DE INSTALAÇÕES DE REATORES NUCLEARES E EM SISTEMAS DE GASODUTOS UTILIZANDO MAPAS AUTO-ORGANIZÁVEIS**

**Waldemar Doraskevičius Junior**

## **RESUMO**

Mapas Auto-Organizáveis (*Self-Organizing Map*, SOM) de Kohonen foram estudados, implementados e testados com o objetivo de desenvolver, para a área de energia, uma ferramenta eficaz especialmente para a identificação de transientes em reatores nucleares e para a supervisão logística de redes de gasodutos, classificando operações e identificando transientes ou anormalidades. O sistema digital para o teste foi desenvolvido em plataforma Java, pronto para a Web, pela portabilidade e escalabilidade, e por pertencer às plataformas de desenvolvimento livre. Executado em computadores pessoais, o sistema mostrou resultados satisfatórios no auxílio à tomada de decisões ao classificar condições de operação (dados provenientes de simulador) do reator IRIS (*International Reactor Innovative and Secure*) e ao classificar qualidades de operação na malha Sudeste (da Transpetro – Brasil) de gasoduto. Muitas adaptações foram necessárias para os negócios em questão, como a utilização de novas topologias para a camada de saída da rede neural artificial e preparações especiais dos dados de entrada.

# **PATTERNS IDENTIFICATION IN SUPERVISORY SYSTEMS OF NUCLEAR REACTORS INSTALLATIONS AND GAS PIPELINES SYSTEMS USING SELF-ORGANIZING MAPS**

**Waldemar Doraskevičius Junior**

## **ABSTRACT**

Self-Organizing Maps, SOM, of Kohonen were studied, implemented and tested with the aim of developing, for the energy branch, an effective tool especially for transient identification in nuclear reactors and for gas pipelines networks logistic supervision, by classifying operations and identifying transients or abnormalities. The digital system for the test was developed in Java platform, for the portability and scalability, and for belonging to free development platforms. The system, executed in personal computers, showed satisfactory results to aid in decision taking, by classifying IRIS (International Reactor Innovative and Secure) reactor operation conditions (data from simulator) and by classifying Southeast (owner: Transpetro – Brazil) gas pipeline network. Various adaptations were needed for such business, as new topologies for the output layer of artificial neural network and particular preparation for the input data.

## SUMÁRIO

	Página
1	INTRODUÇÃO.....18
2	OBJETIVOS.....20
3	REVISÃO DA LITERATURA.....21
3.1	Redes Neurais Artificiais.....21
3.1.1	A inspiração biológica.....21
3.1.2	A unidade neural para redes artificiais.....27
3.1.3	A regra de aprendizado do perceptron e o teorema de convergência.....29
3.1.4	O Adaline e a retropropagação.....31
3.1.5	Deficiências da retropropagação.....37
3.2	Mapas auto-organizáveis.....40
3.2.1	Considerações gerais.....41
3.2.2	Algoritmo do mapa auto-organizável.....42
3.2.2.1	Competição.....43
3.2.2.2	Cooperação.....44
3.2.2.3	Adaptação.....48
3.2.3	Propriedades do mapa de características.....53
4	METODOLOGIA.....56
4.1	Desenvolvimento da ferramenta de <i>software</i> para o SOM.....56
4.1.1	Descrição da ferramenta.....56
4.1.2	Arquitetura do <i>software</i> .....62
4.1.3	Recursos.....64
4.2	Procedimentos de aquisição e tratamento dos dados de entrada.....64
4.2.1	Dados das condições de operação de reatores nucleares.....64
4.2.1.1	Reator IRIS.....64
4.2.1.2	Reator de Angra 2.....70
4.2.2	Dados da logística do gás natural.....71
4.2.2.1	Os sistemas de gasodutos.....74
4.2.2.2	Preparação dos dados.....75
5	RESULTADOS.....87
6	DISCUSSÃO.....90
6.1	Identificação de transientes.....90
6.1.1	IRIS.....90
6.1.2	Angra.....93
6.2	Logística do gás natural.....94
7	CONCLUSÕES.....102
7.1	Considerações finais.....102
7.2	Trabalhos futuros.....104
	ANEXO – Trigonometria esférica.....106
	APÊNDICE A – Retropropagação, uma aplicação simples.....110
	APÊNDICE B – Códigos-fonte.....119
	REFERÊNCIAS BIBLIOGRÁFICAS.....168

## LISTA DE TABELAS

	<b>Página</b>
<i>TABELA 4.1 - Lista de transientes - transientes normais. As percentagens se referem à potência nominal.</i> .....	69
<i>TABELA 4.2 - Lista de transientes - transientes anormais. As percentagens se referem à potência nominal.</i> .....	70
<i>TABELA 4.3 - Lista de condições de operação para a análise de transientes de Angra com os respectivos índices numéricos.</i> .....	70
<i>TABELA 4.4 - Lista das variáveis de Angra e seus valores para dados de treinamento. Os índices correspondem às condições de operação explicitadas na TABELA 4.3.</i> .....	71
<i>TABELA 4.5 - Dados georreferenciados dos pontos de medição, no grupo vendas do GASPAL e GASAN. Os valores de ordenação serão usados como label para o vetor de dados de entrada.</i> .....	77
<i>TABELA 4.6 - Especificações para o gás natural segundo Portaria nº 128, 28-AGO-2001, Regulamento Técnico ANP nº 3/2001.</i> .....	79
<i>TABELA 5.1 - Tempos decorridos para 500 iterações e 1200 entradas.</i> .....	88
<i>TABELA 5.2 - Tempos de treinamento decorridos para 367 unidades neurais e 1500 iterações.</i> .....	88
<i>TABELA 5.3 - Testes para o mapeamento de características para 115 unidades, 1200 entradas, 2000 iterações e 2 pontos de medição: Capuava e São José dos Campos.</i> .....	89
<i>TABELA 6.1 - Desvio padrão dividido pela média das variáveis envolvidas no treinamento, para cada ponto de medição, para amostras entre 22/out/2002 e 03/nov/2004.</i> .....	98

## LISTA DE FIGURAS

	<b>Página</b>
<i>FIGURA 3.1 - Taxa de crescimento do número de células nervosas para humanos, durante a gestação e o pós-natal.</i>	22
<i>FIGURA 3.2 - Estruturas do cérebro primitivo. Por continuidade está exibido o tálamo e a medula espinhal.</i>	23
<i>FIGURA 3.3 - Corte sagital do cérebro humano, destacando o cérebro intermediário.</i>	23
<i>FIGURA 3.4 – Cérebro superior humano, neocórtex e estruturas subcorticais (desenho inferior direito).</i>	24
<i>FIGURA 3.5 - Anatomia de um neurônio.</i>	25
<i>FIGURA 3.6 - Bomba de sódio (+) - potássio (-) que modifica o potencial local. Bomba que funciona à custa de ATPs.</i>	25
<i>FIGURA 3.7. – Sinapse em detalhes. (a) Botão ou bulbo sináptico na ponta dos terminais axônicos. (b) Espinhas dendríticas em torno de segmento de dendrito.</i>	26
<i>FIGURA 3.8 - Pulso: limiar de ativação e tempo de refração (extensão da curva abaixo do repouso).</i>	27
<i>FIGURA 3.9 – Relação entre a frequência de pulsos de um neurônio e a intensidade do estímulo de longa duração.</i>	27
<i>FIGURA 3.10 - Representação geométrica da função discriminante e dos pesos.</i>	28
<i>FIGURA 3.11 - O Adaline em implementação simples.</i>	31
<i>FIGURA 3.12 - Método do ‘gradiente descendente’.</i>	33
<i>FIGURA 3.13 – O problema do OU EXCLUSIVO e sua solução. (a) Tabela verdade do ou-exclusivo. (b) Representação geométrica do espaço de entrada para ou-exclusivo. (c) Uma solução do ou-exclusivo para redes neurais. Foi preciso a inclusão de uma camada intermediária neste perceptron. Os valores dentro das unidades neurais são para o limiar e, fora, são para os componentes do peso. Ao contrário desse exemplo, uma rede neural multicamada “clássica” deve ter conexão somente entre camadas adjacentes.</i>	34
<i>FIGURA 3.14 - Uma rede neural multicamada com L camadas intermediárias de unidades neurais.</i>	34
<i>FIGURA 3.15 - A descida para a energia mínima. a) para uma pequena taxa de aprendizado; b) para uma grande taxa de aprendizado, e c) com uma taxa de aprendizado grande, mas adicionado o termo de momento.</i>	38
<i>FIGURA 3.16 - Efeito do número de unidades ocultas na performance da rede neural. A curva pontilhada é a função desejada enquanto que a linha cheia denota a aproximação obtida pela rede neural. 12 amostras foram usadas. A) Com cinco unidades ocultas. B) Com 20 unidades ocultas, o supertreinamento.</i>	39
<i>FIGURA 3.17 - As médias da taxa de erro de aprendizado e da taxa de erro de teste em função do número de unidades ocultas.</i>	39
<i>FIGURA 3.18 - Diagrama arquitetural de uma rede simples de aprendizado competitivo, com conexões frontais a partir da entrada (setas pretas), excitatórias, e conexões laterais inibitórias ou excitatórias entre os neurônios de saída (setas vermelhas), com intensidade de acordo com a proximidade do vencedor.</i>	40
<i>FIGURA 3.19 - Estrutura de campos receptivos.</i>	40
<i>FIGURA 3.20 - Mapa auto-organizável (SOM) com grade bidimensional.</i>	42

FIGURA 3.21 - Relacionamento entre o mapa de característica $\Phi$ e o vetor peso $w_i$ do neurônio vencedor $i$ .....	44
FIGURA 3.22 - Função de vizinhança gaussiana. ....	46
FIGURA 3.23 - Decaimento exponencial do parâmetro $\sigma(n)$ da função de vizinhança. ....	47
FIGURA 3.24 - Função vizinhança “chapéu mexicano”. ....	47
FIGURA 3.25 - Perfil inicial (a) da função de vizinhança unimodal $h_{j,i}(x)(n)$ gaussiana. Com 500 iterações (b) do conjunto de entrada $X$ ( $n=500$ ). Após 950 iterações. ....	51
FIGURA 3.26 - A convergência de um mapeamento para a conservação de topologia. No gráfico (a) está a distribuição dos vetores de entrada. Nos gráficos seguintes, são plotadas as coordenadas dos vetores pesos de uma rede bidimensional retangular plana 12X18 unidades. Uma linha cheia em cada figura conecta um peso de uma unidade neural com os pesos das unidades neurais vizinhas. Em (b) estão plotadas as coordenadas dos pesos iniciais (geralmente escolha aleatória). Em (f) o final da ordenação após 1910 iterações. Extraído de Papiński, 2002, onde estes gráficos foram realizados com a ajuda da ferramenta (tool) <i>sofm.m</i> para o MATLAB. ....	52
FIGURA 4.1 - Página Web em HTML com formulário para preenchimento de parâmetros para o SOM. ....	56
FIGURA 4.2 – Página Web contendo o applet do SOM (em amarelo). Está exibida a parte superior e central do applet, que possui grande comprimento, para as diversas visões necessárias ao usuário. ....	57
FIGURA 4.3 - A parte mais inferior do applet, que realiza a plotagem das entradas ( $x$ ) e dos pesos (@). Os pesos iniciais também ficam registrados (O). A cor de fundo (background) é escolhida pelo usuário. ....	58
FIGURA 4.4 - Coordenadas normalizadas de cada peso da rede neural. Ao lado de cada conjunto de coordenada, há a proporção do número de entradas atribuído à unidade neural. ....	59
FIGURA 4.5 - Impressão no applet das médias e desvios padrão dos componentes do vetor entrada, para o conjunto de entradas de treinamento. Os índices 1 e 2 referem-se a diferentes locais de medição. ....	59
FIGURA 4.6- Exemplo de resultado de processamento de um mapa auto-organizável para camada de saída com topologia bidimensional plana hexagonal. As cores dos círculos vazios correspondem à classificação. ....	60
FIGURA 4.7 - Parte superior da página e do applet para o SOM. ....	62
FIGURA 4.8 - Arquitetura do sistema. ....	63
FIGURA 4.9 - Distribuição (deployment) de uma arquitetura de sistema multicamadas. ....	63
FIGURA 4.10 - (a) Descrição do vaso integrado do IRIS. (b) Fluxo do refrigerante (coolant). ....	66
FIGURA 4.11 - Resposta de temperatura para SCRAM. Onde $T_C$ é temperatura do refrigerante, $T_R$ é temperatura do reator, $T_{SG}$ é temperatura no gerador de vapor e $T_{DC}$ temperatura no canal de descida. ....	67
FIGURA 4.12 - Variação de pressão (a) e conteúdo para um buffer de 16 s (b) para LOCA. ....	68
FIGURA 4.13 – Oferta Interna de Energia no Brasil, ano-base 2004. A Oferta Interna de Energia – OIE representa a energia que se disponibiliza para ser transformada (refinarias, carvoarias, termelétricas etc.), distribuída e consumida nos processos produtivos do País. O total do consumo final nos setores econômicos mais o que foi perdido na distribuição, armazenagem e processos de transformação é igual à OIE. Fonte: MME. ....	72
FIGURA 4.14 - Composição de oferta de gás natural – jan/2000 a fev/2005. Fontes: ANP/SCM; ANP/SDP. ....	73

<i>FIGURA 4.15 - Reservas provadas de gás natural no Brasil – 1965-2004. Fontes: ANP/SDP; MME.</i>	73
<i>FIGURA 4.16 - Infra-estrutura brasileira de transporte de gás natural. Fonte: ANP.</i>	74
<i>FIGURA 4.17 - Vistas diversas do ponto de medição City-Gate Capuava (Mauá-SP) e seus 3 ramais.</i>	75
<i>FIGURA 4.18 - Diagrama logístico dos gasodutos com seus trechos dos Sistemas Sudeste e Gasbol (Gasoduto Brasil-Bolívia). As proprietárias são Transpetro (da holding Petrobras) e TBG (empresa com 51% de capital da Petrobras) respectivamente.</i>	76
<i>FIGURA 4.19 - Fluxograma dos dados da logística do gás natural. Os sistemas em quadros verdes, à esquerda, são de medição automatizada de campo. Para os sistemas restantes, quanto mais superior na figura, mais corporativos.</i>	80
<i>FIGURA 4.20 - Arquivo-texto com dados gravados da aplicação-interface com o banco de dados. As colunas estão separadas por ponto e vírgula e são, na ordem, número seqüencial de medição, data do volume consolidado, label que indica posição em relação à origem, volume consolidado (m<sup>3</sup>), PCS (kcal/m<sup>3</sup>), distância em relação à origem do gasoduto (km), pressão (kgf/cm<sup>2</sup>), temperatura (°C), data da última atualização dos parâmetros dos medidores; número seqüencial de dia.</i>	81
<i>FIGURA 4.21 - Arquivo texto com os campos realmente necessários para o vetor de entrada e o volume normalizado para PCS de 9400 kcal/m<sup>3</sup>.</i>	82
<i>FIGURA 4.22 - Entradas normalizadas para a classificação. Este arquivo-texto é gerado entre processamentos, por isso o formato double dos dados derivados das medições.</i>	83
<i>FIGURA 4.23 - Console Java, com listagem semelhante à exibida na FIGURA 4.20.</i>	84
<i>FIGURA 4.24 - Console Java, com listagem semelhante à exibida na FIGURA 4.21.</i>	85
<i>FIGURA 4.25 - Listagem exibindo as entradas mais próximas do vetor peso de cada unidade neural. São as classes destas entradas que fornecem, por sua vez, a classe das unidades neurais.</i>	85
<i>FIGURA 4.26 - Teste utilizando a interface gráfica para a plotagem das entradas.</i>	86
<i>FIGURA 6.1 - Camada de saída do SOM exibindo o resultado do monitoramento da operação do IRIS sob diversas condições. Nesta visão, os números sobre as unidades neurais correspondem aos dados da TABELA 4.1 e da TABELA 4.2. Observar a seqüência sobre o mapeamento.</i>	91
<i>FIGURA 6.2 - Mapa de características para transientes do IRIS por Baptista e Barroso, 2003 e 2004. Label 1 ou verde-céu é para estado estacionário, 2 ou verde-claro é para rampa, 3 ou amarelo é para degrau e 4 ou vermelho é para transientes anormais. <math>\eta_0=0,7</math>; <math>\sigma_0=18</math>; <math>\tau_1=700</math>; <math>\tau_2=1000</math> para 4000 iterações.</i>	92
<i>FIGURA 6.3 - Resultado equivalente à FIGURA 6.2, mas com camada de saída em grade retangular. Foi feita uma rotação de 90° para melhor comparação. <math>\eta_0=0,1</math>; <math>\sigma_0=18</math>; <math>\tau_1=350</math>; <math>\tau_2=1000</math> para 2000 iterações.</i>	92
<i>FIGURA 6.4 - Classificação de eventos pelo SOM em Java para o reator de Angra 2, onde verde indica transiente normal, laranja anormal, vermelho emergência e preto falha.</i>	93
<i>FIGURA 6.5 - Classificação de eventos segundo Baptista, 2003. Os dados de entrada foram os mesmos utilizados para o padrão obtido da FIGURA 6.4. <math>\eta_0=0,9</math>; <math>\sigma_0=18</math>; <math>b_1=0,02</math>; <math>b_2=0,02</math>.</i>	94
<i>FIGURA 6.6 – Comparação entre os componentes volume entregue e PCS de amostra com 300 dias consecutivos, para dois pontos de medição, Capuava (Mauá-SP) e São José dos Campos (SP), de 8 de maio de 2003 a 2 de março de 2004. A perceptível queda de volume entre os dias 230 a 250 ocorreu na passagem de ano 2003/2004. No gráfico de quantidade diária entregue (QDE), percebe-se a distinção de regime dos dois pontos de medição, Capuava acima e São José abaixo, e, neste mesmo gráfico, a “camada” de dados logo</i>	

<i>abaixo dos regimes mais frequentes de cada ponto de medição refere-se aos finais de semana.</i> .....	95
<i>FIGURA 6.7 - Painel com o resultado da distribuição de 550 entradas para 73 unidades numa topologia plana hexagonal. A cor em torno das unidades significa classificação em dados ótimos (verde), bons (laranja) e ruins (vermelho) tendo como referência valores de contrato.</i> .....	96
<i>FIGURA 6.8 - Painel representando a rede esférica projetada no plano (à esquerda em fundo amarelo). Na parte superior, unidades frontais, na inferior, posteriores. Ao lado são apresentados desenhos de esferas como guias. Os círculos cinza representam a localização das unidades neurais. Alarme piscante (círculos concêntricos) na unidade 21.</i> .....	97
<i>FIGURA 6.9 - Topologia bidimensional plana hexagonal para a rede de Kohonen.</i> .....	98
<i>FIGURA 6.10 - Distribuição dos dados. 750 entradas; 1000 iterações; <math>\eta_0 = 0,22</math>; <math>\sigma_0 = 55</math>; <math>C_R = 1,10</math>; <math>\zeta_{VOL} = 1</math> e <math>\zeta_{PCS} = 50</math>.</i> .....	99
<i>FIGURA 6.11 - Visão que imprime o volume do vetor de entrada que está mais próximo da unidade neural e que a classifica. 750 entradas; 1000 iterações; <math>\eta_0 = 0,22</math>; <math>\sigma_0 = 55</math>; <math>C_R = 1,10</math>; <math>\zeta_{VOL} = 1</math> e <math>\zeta_{PCS} = 50</math>.</i> .....	100
<i>FIGURA 6.12 - Visão que imprime o PCS do vetor de entrada mais próximo da unidade neural e que a classifica. 750 entradas; 1000 iterações; <math>\eta_0 = 0,22</math>; <math>\sigma_0 = 55</math>; <math>C_R = 1,10</math>; <math>\zeta_{VOL} = 1</math> e <math>\zeta_{PCS} = 50</math>.</i> .....	101
<i>FIGURA 7.1 - Resultado de quantização vetorial.</i> .....	104
<i>FIGURA 7.2 - O SOM como entrada de uma rede neural multicamada com retropropagação.</i> .....	105
<i>FIGURA 7.3 - Planta regional com algumas faixas de dutos alarmadas.</i> .....	105
<i>FIG. DE ANEXO 1 – Decomposição do vetor posição.</i> .....	106
<i>FIG. DE ANEXO 2 - Análise do triângulo esférico.</i> .....	107
<i>FIG. DE ANEXO 3 - Elementos do triângulo esférico.</i> .....	108
<i>FIG. DE APÊNDICE A 1 - Aplicação Java que utiliza o algoritmo RHW.</i> .....	110
<i>FIG. DE APÊNDICE B 1 - Interfaces gráficas dos códigos-fonte.</i> .....	119

## LISTA DE ABREVIATURAS E SIGLAS

.class	–	Arquivo Java compilado
.doc	–	Arquivo compatível com Microsoft Word
.java	–	Arquivo texto com código-fonte Java
.m	–	Extensão de nome de arquivo significando script para o MATLAB
.txt	–	Extensão de nome de arquivo significando texto sem formatação
.xls	–	Arquivo compatível com Microsoft Excel
ADALINE	–	<i>Adaptative Linear Element</i>
ANP	–	Agência Nacional do Petróleo, Gás Natural e Biocombustíveis
ATP	–	Adenosina trifosfato
BD	–	Banco de dados
BDEMQ	–	Banco de Dados de Estoque, Movimentação e Qualidade
BDO	–	Banco de Dados de Informações Operacionais
CPU	–	<i>Central Processing Unit</i>
CY	–	<i>City-Gate</i>
Eq.	–	Equação
GASAN	–	Gasoduto Mauá - Santos
GASBEL	–	Gasoduto Rio de Janeiro - Belo Horizonte
GASBOL	–	Gasoduto Brasil - Bolívia
GASENE	–	Gasoduto Sudeste - Nordeste
GASPAL	–	Gasoduto Mauá - Paulínia
GN	–	Gás natural
HTML	–	<i>Hyper Text Markup Language</i>
HTTP	–	<i>Hypertext Transfer Protocol</i>
I/O	–	<i>Input/output</i> (fluxo de entrada/saída de dados de/para um arquivo)
iGás	–	Sistema Integrado de Gás Natural
iLab	–	<i>Information Laboratory</i>
IRIS	–	<i>International Reactor Innovative and Secure</i>
ISO	–	<i>International Organization for Standardization</i>

J2SE	–	<i>Java 2 Platform, Standard Edition</i>
JDBC	–	<i>Java Database Connectivity</i>
JRE	–	<i>Java Runtime Environment</i>
JSP	–	<i>Java Server Pages</i>
JVM	–	<i>Java Virtual Machine</i>
LMS	–	<i>Least Mean Square</i>
LOCA	–	<i>Loss of Coolant Accident</i>
LTP	–	<i>Long-Term Potentiation</i>
MATLAB	–	<i>Matrix Laboratory</i>
MB	–	Megabyte
MME	–	Ministério de Minas e Energia
PCA	–	<i>Principal Component Analysis</i>
PCI	–	Poder Calorífico Inferior
PCS	–	Poder Calorífico Superior
PI	–	<i>Plant Information</i>
QDC	–	Quantidade Diária Contratada
QDP	–	Quantidade Diária Programada
R/3	–	<i>Software real time</i> em arquitetura 3 camadas
RAM	–	<i>Random Access Memory</i>
RECAP	–	Refinaria de Capuava
REM	–	<i>Rapid Eye Movement</i>
REPLAN	–	Refinaria de Paulínia
RNA	–	Rede Neural Artificial
RPBC	–	Refinaria Presidente Bernardes - Cubatão
SAG	–	Sistemas de Atividades do Gás
SAP	–	<i>System, Anwendungen, Produkte in der Datenverarbeitung</i>
SCADA	–	<i>Supervisory Control and Data Acquisition</i>
SCM	–	Superintendência de Comercialização e Movimentação da ANP
SCRAM	–	<i>Safety Control Rod Axe Man</i>
SDK	–	<i>Software Development Kit</i>
SDP	–	Superintendência de Desenvolvimento e Produção da ANP
SGBD	–	Sistema Gerenciador de Banco de Dados
SIG	–	Sistema de Informação Geográfica

SOFM	–	<i>Self-Organizing Feature Map</i>
SOM	–	<i>Self-Organizing Map</i>
SQL	–	<i>Structure Query Language</i>
SRP	–	Superintendência de Refino e Processamento de Gás Natural da ANP
TBG	–	Transportadora Brasileira Gasoduto Bolívia-Brasil S. A.
TCP/IP	–	<i>Transmission Control Protocol/Internet Protocol</i>
XML	–	<i>Extensible Markup Language</i>

## LISTA DE SÍMBOLOS

$A$	–	espaço discreto de saída
$b$	–	fator de ajuste temporal
$C$	–	quantidade de componentes ou sinapses
$C_R$	–	fator de ajuste do numerador do argumento da exponencial da gaussiana
$d_{j,i}$	–	distância entre as unidades neurais $i$ e $j$
$\mathbf{d}^p$	–	valor devido ou desejado para uma saída
$e(y_j)$	–	termo de esquecimento
$E^p$	–	função de energia ou função de erro quadrático
$g$	–	função de ativação ou de compressão
$h$	–	subscrito, refere-se à(s) camada(s) oculta(s) ( <i>hidden</i> ) da rede neural
$h_{j,i(\mathbf{x})}$	–	função de vizinhança aplicada entre a unidade vencedora $i$ e $j$ , para $\mathbf{x}$
$i$	–	subscrito que se refere à camada de entrada ( <i>input</i> ) - componentes
$i(\mathbf{x})$	–	índice do neurônio que possui o vetor peso mais próximo de $\mathbf{x}$
$n$	–	número de iteração (época)
$N_L$	–	número de unidades neurais na camada $L$ ( <i>layer</i> )
$o$	–	subscrito que se refere à camada de saída ( <i>output</i> ) de uma rede neural
$p$	–	padrão amostral
$P$	–	pressão
$\mathbb{I}_j$	–	posição topológica da unidade neural $j$
$s_j$	–	intensidade da entrada para uma unidade neural $j$
$t$	–	tempo
$T$	–	temperatura
$V$	–	volume
$\mathbf{w}^j$	–	vetor de código ou peso da unidade neural $j$
$X$	–	conjunto dos vetores de entrada
$X$	–	espaço contínuo de entrada
$\mathbf{x}^p$	–	vetor de entrada ou de característica $p$
$\mathbf{y}_L^p$	–	saída da camada $L$
$\alpha$	–	fator do termo que determina a influência da atualização anterior na atual

- $\delta_k^p$  — regra delta generalizada ( $\delta_h^p = g'(s_h^p) \sum_{o=1}^{N_o} \delta_o^p w_{ho}$ )
- $\delta_o^p$  — regra delta generalizada para camada de saída ( $\delta_o^p = (d_o^p - y_o^p) g'_o(s_o^p)$ )
- $\mathcal{S}^p$  — regra delta, diferença entre a saída alvo e a saída real para o padrão  $p$
- $\zeta_c$  — fator de sensibilidade para a componente  $c$  do vetor de entrada
- $\eta(n)$  — taxa de aprendizagem ( $\eta(0) = \eta_0$ )
- $\theta$  — potencial de corte ou limiar de ativação
- $\sigma(n)$  — parâmetro de largura efetiva da vizinhança topológica ( $\sigma(0) = \sigma_0$ )
- $\tau$  — constante de tempo
- $\Phi$  — mapa de característica, resultante de transformação não linear
- $\Psi$  — conjunto de amostras com entradas com os valores desejados

## 1 INTRODUÇÃO

Para fazer frente ao desafio de se extrair informação de volumes cada vez maiores de dados, se faz necessário o desenvolvimento de ferramentas que nos ofereçam a capacidade de analisar com rapidez e eficácia essa grande massa de dados. Atualmente a geração de dados ocorre via as muitas interfaces amigáveis com o usuário ou pela automação, com sensores de resoluções sempre crescentes. O armazenamento fica por conta das tecnologias de banco de dados como a compressibilidade e otimização das *Plant Informations*, os SGBDs (Sistemas Gerenciadores de Banco de Dados) – como Oracle e MySql – e os SIGs (Sistemas de Informação Geográfica). A recuperação fácil dos dados se deve às linguagens não-procedurais de consulta às bases como a SQL (*Structured Query Language*) e às interfaces amigáveis com o usuário para a seleção de dados.

As maneiras de transformar a massa de dados em informação podem ser estatísticas ou através das diversas abordagens de inteligência artificial e de sistemas complexos. A inteligência artificial foi o caminho escolhido para esta dissertação que envolve a computação aplicada à geração e distribuição de energia, abordando as redes neurais artificiais (RNA), mais especificamente uma rede neural para classificação de padrões, os Mapas Auto-Organizáveis, do tipo desenvolvido por Teuvo Kohonen a partir de 1979.

Os modelos estatísticos continuam sendo os mais utilizados até hoje, porém possuem o inconveniente de exigir hipóteses *a priori* e atuam como filtros lineares, como consequência alteram as características dos dados, podendo esconder padrões e acidentalmente criar outros (Openshaw e Turton, 1996). Já as redes neurais artificiais não são mecanismos automáticos de análise exploratória de dados, não necessitam de nenhuma hipótese *a priori* e não são métodos lineares.

Na RNA do tipo Mapa Auto-Organizável ou SOM<sup>1</sup> ocorre competição entre seus neurônios, como em algumas áreas do córtex cerebral, tais como tátil, visual, auditivo e olfativo (Nadel *et al.*, 1989). Nessas regiões os neurônios formam agrupamentos ordenados topologicamente, neurônios vizinhos se comunicam por colaterais e tendem a

---

<sup>1</sup> Self-Organizing Map

responder a padrões semelhantes. A rede neural de um SOM deve possuir dimensão espacial menor ou igual a do espaço de entrada (ou vetor de dados) para a qual estes serão mapeados, compactando os dados para dimensões menores, assemelhando-se à Análise de Componente Principal, porém não-linear. Assim a RNA do SOM identifica os padrões de entrada, agrupa e correlaciona os dados a regiões específicas da grade de neurônios. É por essa ordenação topológica que o SOM é considerado uma boa ferramenta para análise exploratória de dados (Openshaw e Turton, 1996).

A análise de processos termohidráulicos de reatores nucleares é uma área em que o SOM vem sendo largamente utilizado (Baptista, 2002), objetivando o desenvolvimento de sistemas de supervisão inteligentes capazes de alertar quando do surgimento de padrões desconhecidos ou relacionados a situações indesejáveis. Posteriormente, pesquisas de eficácia do SOM foram aplicadas para a análise de transientes de reatores nucleares, incluindo o reator de nova geração IRIS<sup>2</sup> (Baptista e Barroso, 2004). A utilização da energia nuclear para geração apresenta-se como uma importante alternativa contra a emissão de gases que colaboram para o efeito estufa (Brasil Nuclear, 2004). Além disso, o seu desenvolvimento proporciona uma estratégica tecnologia nacional capaz de ser aplicada a diversas áreas (Eletronuclear, Energia Nuclear no Brasil, 2003). Neste trabalho, além de estender a aplicação do SOM ao IRIS, consórcio de pesquisa do qual o Brasil faz parte, estendemos para a supervisão logística do gás natural, dessa maneira também colaborando com o programa brasileiro de incentivo do uso do gás natural, que possui a pretensão de que o gás natural aumente sua participação na matriz energética brasileira – expectativa de passagem dos 7,5% atuais para 15% em 2015, criando 200 mil empregos e movimentando US\$ 4,5 bilhões até 2010 (Portal Gás&Energia, Reservas Nacionais, 2004).

---

<sup>2</sup> International Reactor Innovative and Secure

## 2 OBJETIVOS

O objetivo desta dissertação foi lançar uma nova e promissora ferramenta no auxílio à tomada de decisões durante o decorrer de um processo, mais especificamente, processos ligados à energia, sua produção e seu transporte num conceito amplo. Ferramenta esta que faz uso do Mapa Auto-Organizável de Kohonen para a extração de padrões a partir de um conjunto de entradas para assim analisar o comportamento e identificar a classe de novas entradas. O desenvolvimento desta ferramenta parte de estudos anteriores (Baptista e Barroso, 2003, 2004) que apontaram o uso do Mapa Auto-Organizável como promissor para reatores nucleares. Agora, neste trabalho, será construída em outra plataforma de sistemas digitais e estendida para outros processos.

São objetivos específicos e imediatos:

- a) Construir o algoritmo de aprendizado não-supervisionado para o Mapa Auto-Organizável de Kohonen;
- b) Projetar uma arquitetura de sistema digital;
- c) Implementar o algoritmo para a arquitetura em plataforma de desenvolvimento livre, no caso, Java 2;
- d) Realizar diversos treinamentos do sistema; e
- e) Levantar sua eficácia e eficiência na classificação de padrões escondidos dentro um conjunto elevado de entradas com muitas dimensões.

São metas futuras:

- a) Integrar este sistema, como módulo, com sistemas Web de supervisão logística do gás natural; e
- b) Integrar este sistema, como módulo, a outros sistemas redundantes de análise de transientes de reatores nucleares.

### 3 REVISÃO DA LITERATURA

#### 3.1 Redes Neurais Artificiais

Uma Rede Neural Artificial (RNA) é constituída de unidades neurais ou elementos com conexões entre eles. Em analogia com o sistema nervoso, unidade neural seria o neurônio e as conexões seriam as sinapses. Uma conexão vem a ser a interação de uma unidade com uma entrada através de uma ponderação desta por um valor-peso e por um limiar de ativação, ou corte. Diante da apresentação de uma entrada ou estímulo, espera-se uma determinada resposta da rede – a saída. Esta resposta esperada se dará mediante treinamento ou ensino da rede, frente à apresentação de um conjunto de entradas. O treinamento pode ser supervisionado (a) ou não-supervisionado (b): (a) no treinamento supervisionado o instrutor fornece uma entrada, e a saída será comparada com um valor devido, um valor de referência ou um valor desejado para aquela entrada. Cada unidade neural terá os pesos das conexões e limiar corrigidos de acordo com erros ou distâncias para que diminuam na próxima iteração, esse pode ser um processo de correção de erro ou um processo de minimização de uma função custo; (b) no treinamento não-supervisionado, os pesos serão atualizados de acordo com a similaridade com a própria entrada, de modo que, a cada entrada apresentada, somente uma unidade será a vencedora e as demais unidades, principalmente as vizinhas, poderão sofrer a influência dela – caso em que a atualização dos pesos segue um processo de competição; ou os pesos podem ser atualizados em função dos sinais de entrada e saída de cada unidade neural – caso em que se utiliza o algoritmo hebbiano de aprendizado.

##### 3.1.1 A inspiração biológica

O cérebro humano possui neurônios em quantidade da ordem de 100 bilhões, onde cada neurônio pode se conectar a milhares de outros, de 10 até 100 mil conexões, constituindo assim o sistema mais complexo do Universo. Essa quantidade imensa de neurônios faz nosso cérebro possuir extrema redundância. Filogeneticamente o cérebro pode ser dividido em três grandes componentes: primitivo (manutenção fisiológica, autopreservação, agressão), intermediário (emoções) e racional (intelecto), a cada são

associadas estruturas cerebrais típicas do centro para o exterior, respectivamente; porém se interconectam, inclusive nas funções. Quanto ao cérebro racional, sua estrutura de maior atividade é o córtex, objeto de maior atenção desta dissertação. Da gestação até os dois anos de idade, ocorre um crescimento elevado do número de neurônios (FIGURA 3.1), a partir daí, ao longo da vida, vamos perdendo algumas dezenas de milhares de neurônios por dia, sem reposição em termos de quantidade. Esta perda ocorre por uma necessidade básica de economia de energia - o cérebro consome cerca de 20% da energia do corpo. Uma vez que determinados caminhos neurais estejam consolidados através das conexões sinápticas, os neurônios excedentes, menos utilizados, podem ser eliminados, graças à redundância.

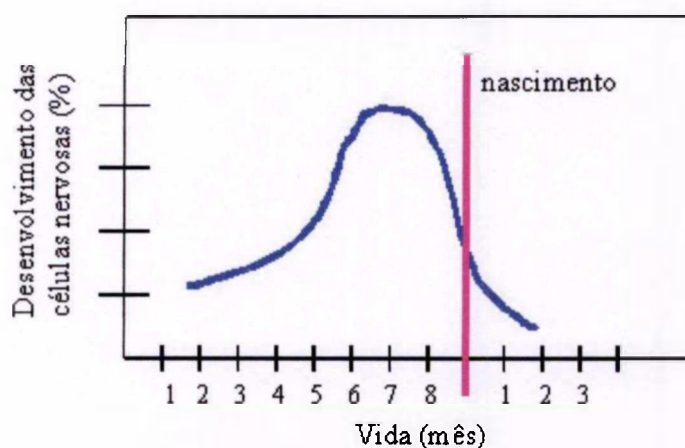


FIGURA 3.1 - Taxa de crescimento do número de células nervosas para humanos, durante a gestação e o pós-natal.

O cérebro primitivo é constituído pelas estruturas do tronco cerebral – bulbo, ponte e mesencéfalo, pelo cerebelo e pelos glânglios basais – neostriatum e globo pálido. Esse cérebro, delimitado pelas estruturas descritas, corresponde ao cérebro dos répteis (FIGURA 3.2).

O cérebro intermediário surgiu nos primitivos mamíferos, é atribuído às estruturas do sistema límbico – amígdala, hipocampo, tálamo, hipotálamo, giro cingulado, septo e bulbos olfatórios (FIGURA 3.3).

O cérebro superior, encontrado nos mamíferos modernos, como os primatas, cetáceos e humanos, compreende a maior parte dos hemisférios cerebrais, formado por um córtex mais recente, o neocórtex, e por alguns grupos neuronais subcorticais (FIGURA 3.4).

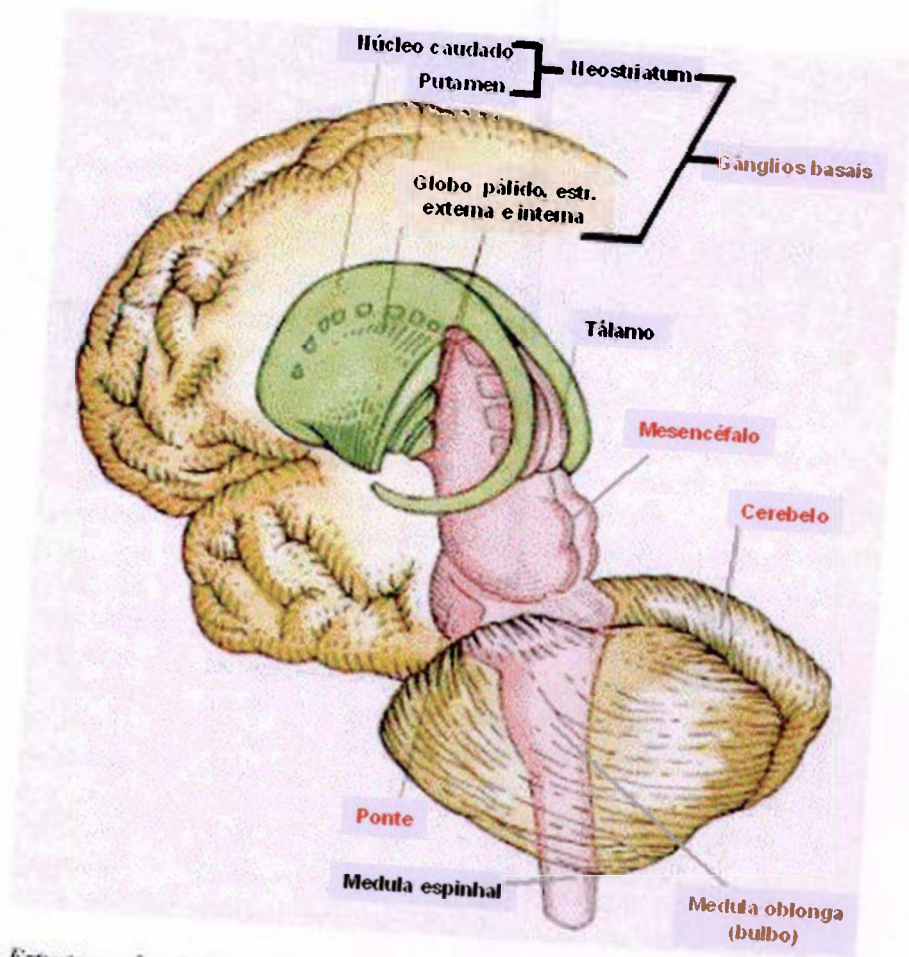


FIGURA 3.2 - Estruturas do cérebro primitivo. Por continuidade está exibido o tálamo e a medula espinhal.

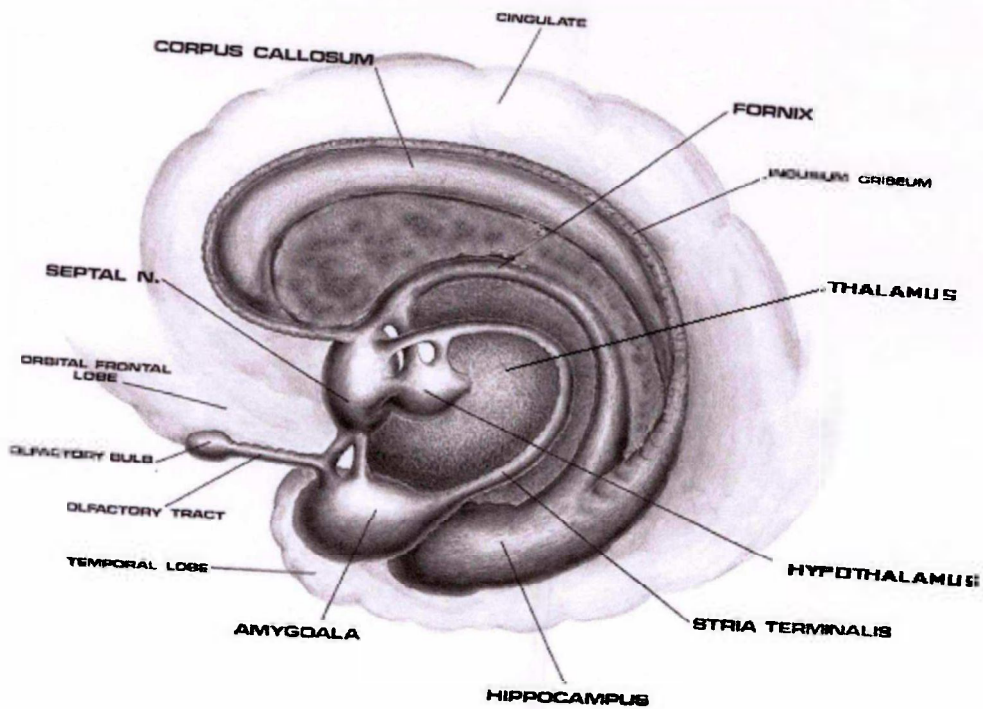


FIGURA 3.3 - Corte sagital do cérebro humano, destacando o cérebro intermediário.

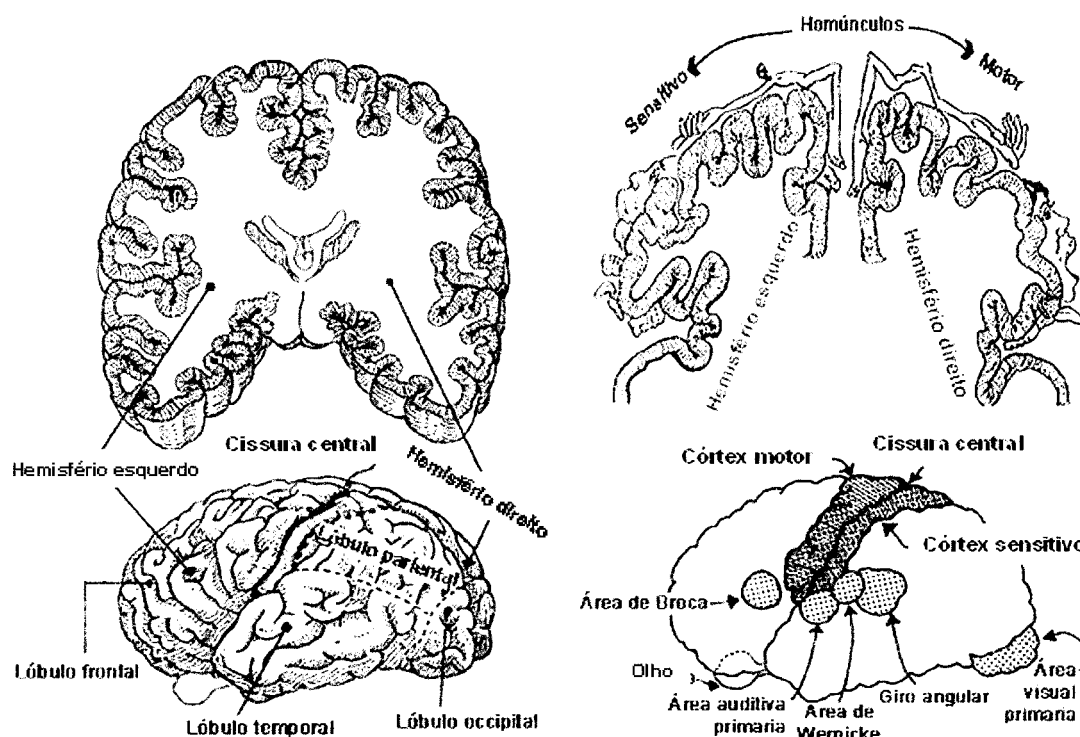


FIGURA 3.4 – Cérebro superior humano, neocórtex e estruturas subcorticais (desenho inferior direito).

O neurônio é uma célula especializada e altamente diferenciada, causa da sua baixa capacidade reprodutiva (FIGURA 3.5). Ao receber estímulo nos dendritos (filamentos sensíveis a partir do corpo celular ou soma) transmite impulsos em determinada frequência e intensidade pelo axônio, caracterizando o sinal. A transmissão é unidirecional na célula e é feita por despolarização variável da membrana (FIGURA 3.6). Entre os neurônios, a comunicação ocorre através de ligações contíguas chamadas sinapses, via emissão de moléculas neurotransmissoras (pré-sinapse). Os neurotransmissores, dentro do neurônio, se concentram em vesículas sinápticas, que por sua vez estão nos bulbos ou botões sinápticos na ponta dos terminais axônicos (FIGURA 3.7). São capturados pelos neuroreceptores nas espinhas dendríticas (pós-sinapse). Neurotransmissores e neuroreceptores formam um modelo molecular do tipo chave-fechadura. Quando se mencionar “conexão na rede neural artificial”, o análogo biológico é essa conexão sináptica.

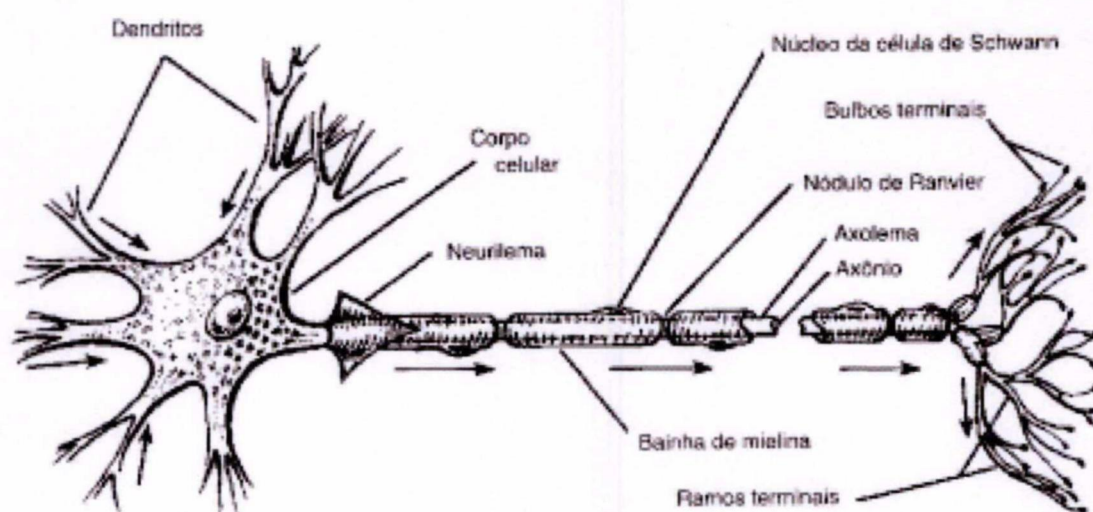


FIGURA 3.5 - Anatomia de um neurônio.

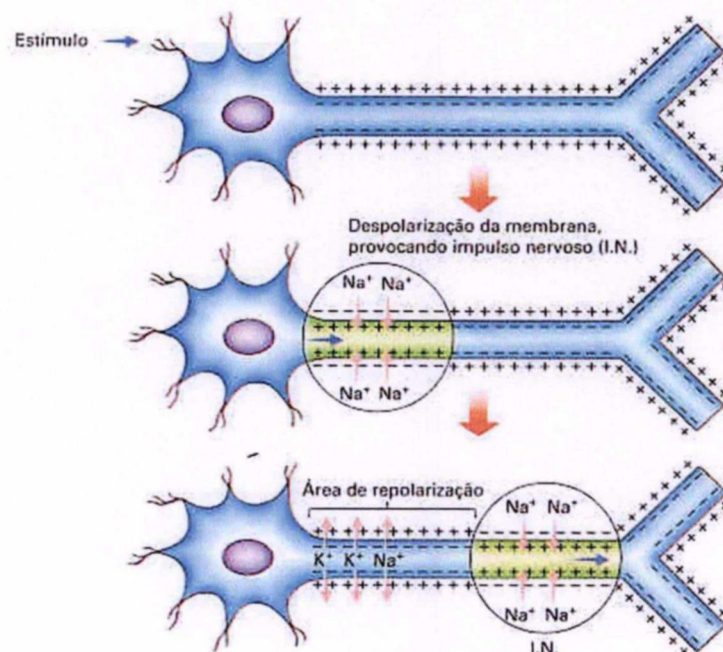


FIGURA 3.6 - Bomba de sódio (+) - potássio (-) que modifica o potencial local. Bomba que funciona à custa de ATPs.

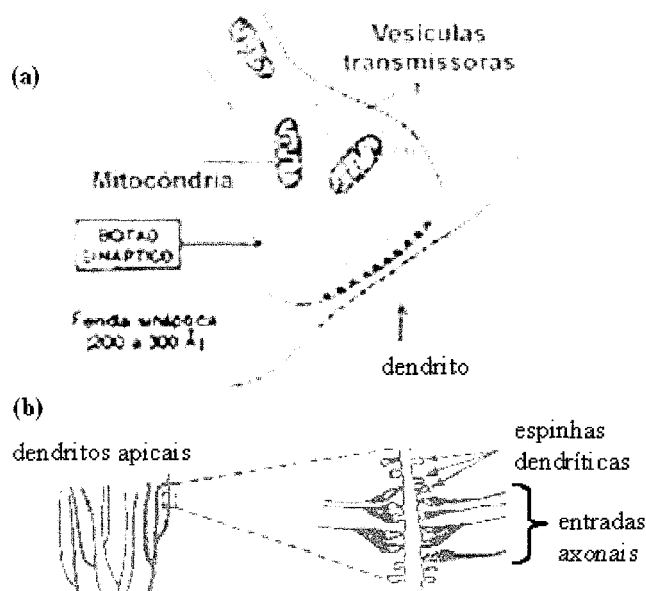


FIGURA 3.7. – Sinapse em detalhes. (a) Botão ou bulbo sináptico na ponta dos terminais axônicos. (b) Espinhas dendríticas em torno de segmento de dendrito.

O neurônio somente será estimulado se for ultrapassado um limiar de ativação (FIGURA 3.8), dado pela somatória de todas as intensidades das conexões. Cada intensidade de conexão é uma combinação da quantidade de neurotransmissor (intensidade de entrada) com a quantidade de neuroreceptor (valorização da entrada ou peso da entrada).

Segundo o postulado de Hebb (1949), quando um estímulo causa a ativação de dois neurônios simultaneamente – pré-sinapse em um e pós-sinapse no outro – a conexão sináptica entre eles se reforça, o que leva à propriedade do mecanismo local, ou seja, os neurônios não necessitam de um nível superior regulador, são unidades autônomas dentro do processo cognitivo.

A “simultaneidade”, chamada hoje de processo síncrono, a que se refere Hebb pode hoje ser traduzida como estímulo de longa duração ou LTP (*long-term potentiation*). Ocorre quando a frequência da emissão de neurotransmissores está sintonizada com a frequência máxima com que o neurônio receptor pode se estimular (FIGURA 3.9). Essa frequência máxima, acima da qual nenhum reforço da conexão é realizado, existe devido ao período de refração: tempo para a célula voltar ao seu potencial normal de repouso, em torno de  $-60$  mV, após queda de uma ativação de aproximadamente  $+40$  mV para  $-80$  mV. No estado de vigília e no sono REM (*rapid eye movement*), presente nos mamíferos placentários e marsupiais, essa frequência máxima é de aproximadamente 5 Hz ou período de 200 ms, é o ritmo  $\theta$ .

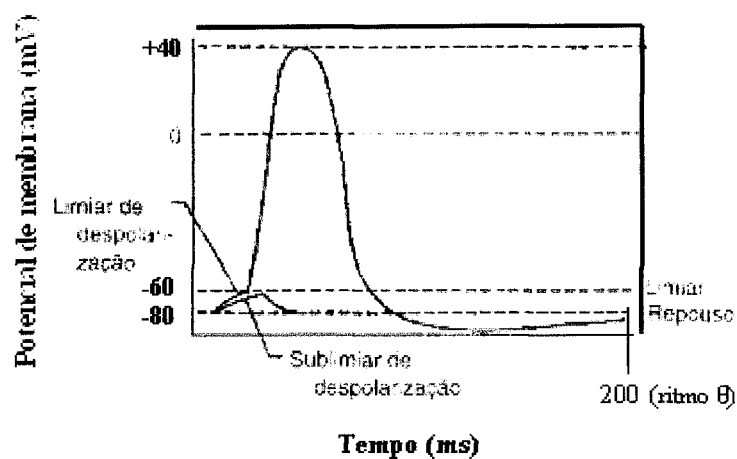


FIGURA 3.8 - Pulso: limiar de ativação e tempo de refração (extensão da curva abaixo do repouso).

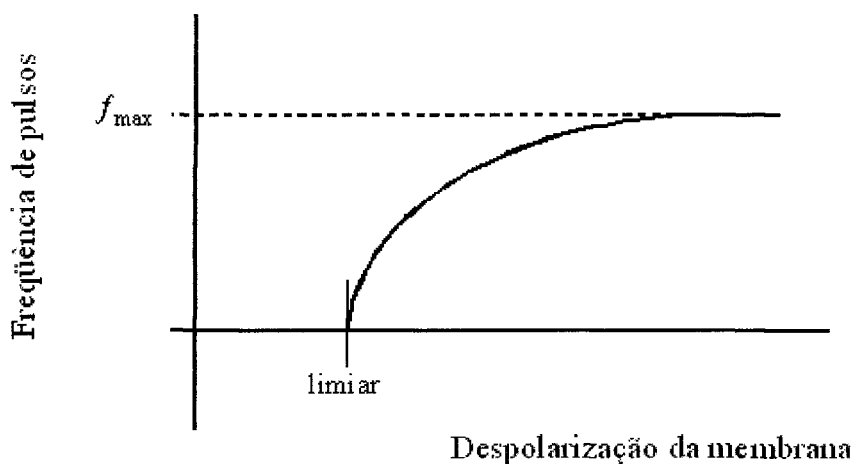


FIGURA 3.9 – Relação entre a frequência de pulsos de um neurônio e a intensidade do estímulo de longa duração.

### 3.1.2 A unidade neural para redes artificiais

Seguindo o comportamento de um neurônio, especialmente o modo de ativação e o sinal produzido, as unidades neurais ou elementos de uma rede artificial, fazem a mesma combinação citada no item anterior entre a entrada ( $x$ ) e o valor ou peso ( $w$ ) da conexão, levando também em conta o limiar de ativação  $\theta$ , para se obter a intensidade de entrada no neurônio ( $s$ ). Ou seja:

$$s = \sum_{j=1}^c w_j x_j + \theta \quad (3.1)$$

onde  $N$  é o número de sinapses ou componentes do elemento.

A intensidade de saída do neurônio será uma função da entrada  $s$ , que pode ser linear ou não linear.

$$y = g \left( \sum_{j=1}^c w_j x_j + \theta \right) \quad (3.2)$$

O limiar  $\theta$  pode ser encarado como mais um componente,  $w_0$ , do vetor peso se for considerado um componente “mudo”,  $x_0 = +1$  (ou  $x_0 = -1$ ), do vetor de entrada.

Como exemplo, no caso de  $g$  ser uma função sinal (3.3), teremos a unidade se comportando como uma função discriminante linear, separando o espaço de entrada em duas regiões. A rede funciona assim como um classificador.

$$g(s) = \begin{cases} +1, & \text{para } s > 0 \\ -1, & \text{para } s \leq 0. \end{cases} \quad (3.3)$$

Para ficar mais claro, se esta única unidade neural possuir somente duas sinapses e o limiar de ativação  $\theta$ , então as duas regiões do espaço de entrada ficarão separadas pela reta

$$w_1 x_1 + w_2 x_2 + \theta = 0, \quad (3.4)$$

como mostra o exemplo representado na FIGURA 3.10.

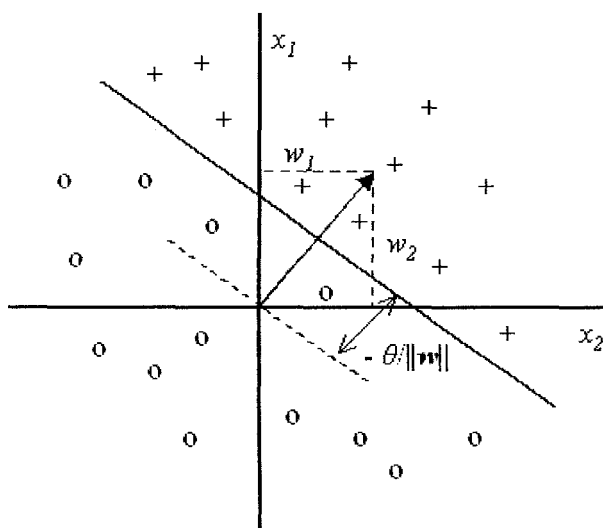


FIGURA 3.10 - Representação geométrica da função discriminante e dos pesos.

Para se chegar ao correto  $\mathbf{w}$ , cada coordenada deve receber um termo corretivo  $\Delta w_i$ . De acordo com a sinapse hebbiana, uma conexão recebe reforço se os dois neurônios são ativados ao mesmo tempo. Dessa maneira o reforço  $\Delta w_i$  será proporcional à entrada  $x_i$  e à saída  $y_o$ ,

$$\Delta w_{io} = \eta x_i y_o, \quad (3.5)$$

onde  $\eta$  representa a taxa de aprendizado.

Este modelo neural foi adotado por um dos primeiros modelos de redes neurais, o *Perceptron* (Rosenblatt, 1959).

A correção para  $\mathbf{w}$  foi generalizada por Widrow e Hoff (Widrow e Hoff, 1960) e batizada de regra delta:

$$\Delta w_{io} = \eta x_i (d_o - y_o). \quad (3.6)$$

Ou seja, a cada entrada  $x$ , a saída  $y$  será comparada com um valor devido  $d_o$ , e a diferença entrará no cálculo para correção do vetor peso, juntamente com o valor da entrada e uma taxa de aprendizado, lembrando que o limiar  $\theta$  pode ser encarado como uma componente  $w_0$  do peso, com entrada  $x_0 = +1$  (ou  $-1$ ).

### 3.1.3 A regra de aprendizado do perceptron e o teorema de convergência

Seja um conjunto de amostras  $\Psi$  de aprendizado consistindo de vetores de entrada  $\mathbf{x}$  e respectivas saídas desejadas  $d_o(\mathbf{x})$ . Vamos considerar a unidade neural sendo um classificador que atribui  $+1$  ou  $-1$  para cada entrada. A regra de aprendizado para o perceptron é simples e pode ser assim declarada:

1. Inicialize o processo com pesos aleatórios para as conexões;
2. Selecione (de preferência aleatoriamente) um vetor de entrada  $\mathbf{x}$  do conjunto de amostras de treinamento;
3. Se a saída  $y \neq d_o(\mathbf{x})$ , ou seja, o perceptron forneceu uma resposta errada, modifique todas as conexões  $w_i$  de acordo com:  $\Delta w_{io} = d_o(\mathbf{x}) x_i$ ;
4. Retorne ao passo 2.

A única diferença com a regra de Hebb é que quando o neurônio responde corretamente, o peso da conexão não sofre modificações.

A regra de aprendizado do perceptron utiliza o teorema da convergência.

**Teorema da convergência.** Se existe um conjunto de pesos de conexão  $w^*$  apto para realizar a transformação  $y = d_o(x)$ , a regra de aprendizado convergirá para alguma solução (que pode ou não ser igual a  $w^*$ ) num número finito de passos, para qualquer escolha inicial dos pesos.

**Prova.** Uma vez que o comprimento do vetor  $w^*$  não desempenha papel por causa da função sinal, considera-se  $\|w^*\| = 1$ . Porque  $w^*$  é a solução correta, o valor de  $|w^* \cdot x|$ , produto interno, será sempre maior que 0 ou: existe  $\delta > 0$  tal que  $|w^* \cdot x| > \delta$  para todas as entradas  $x$ . Define-se  $\cos \alpha \equiv w \cdot w^* / \|w\|$ . Uma vez que de acordo com a regra de aprendizado do perceptron, os pesos das conexões são modificados para uma dada entrada  $x$ ,  $\Delta w = d^o(x) x$ , e os pesos após a modificação serão  $w' = w + \Delta w$ . Daí segue que:

$$\begin{aligned} w' \cdot w^* &= w \cdot w^* + d_o(x) \cdot w^* \cdot x \\ &= w \cdot w^* + \operatorname{sgn}(w^* \cdot x) \cdot w^* \cdot x \end{aligned}$$

$$\triangleright w \cdot w^* + \delta$$

$$\begin{aligned} \|w'\|^2 &= \|w + d_o(x) \cdot x\|^2 \\ &= w^2 + 2 \cdot d_o(x) \cdot w \cdot x + x^2 \\ &< w^2 + x^2 \\ &= w^2 + M. \end{aligned}$$

Após  $t$  modificações se obterá:

$$w(t) \cdot w^* > w \cdot w^* + t \delta$$

$$\|w(t)\|^2 < w^2 + tM$$

tal que

$$\cos \alpha(t) = \frac{w^* \cdot w(t)}{\|w^*\| \cdot \|w(t)\|},$$

$$\cos \alpha(t) > \frac{w \cdot w^* + t \delta}{\sqrt{w^2 + tM}}.$$

Daqui segue que  $\lim_{t \rightarrow \infty} \cos \alpha(t) = \lim_{t \rightarrow \infty} \delta \sqrt{t} / \sqrt{M} = \infty$ , enquanto, pela definição  $\cos \alpha \leq 1$ .

**Conclusão.** Existe um limite máximo  $t_{\max}$  para  $t$ , ou seja, o sistema modifica suas conexões um número limitado de vezes. Iniciando com conexões  $w = 0$ ,

$$t_{\max} = \frac{M}{\delta^2}. \quad (3.7)$$

### 3.1.4 O Adaline e a retropropagação

Como uma generalização do algoritmo de treinamento do perceptron, foi apresentado, por Widrow e Hoff, em 1960, um procedimento de aprendizado por “mínimos quadrados” (ou LMS<sup>3</sup>), também conhecido por regra delta<sup>4</sup>. A principal diferença funcional do perceptron é o modo como a saída é usada no treinamento. O perceptron utiliza a saída de uma função de corte (-1 ou +1) para o aprendizado. A regra delta utiliza diretamente a saída líquida antes de possivelmente mapear para -1 ou +1.

Esta regra de aprendizado foi aplicada para o “elemento linear adaptativo” ou Adaline<sup>5</sup> (FIGURA 3.11). Numa implementação física simples, o aparato consiste num conjunto de resistores controláveis conectados a um circuito que pode somar correntes vindas de sinais de voltagem de entrada. Muitas vezes o bloco central, o somador, é seguido por um quantizador que tem como saída +1 ou -1, dependendo da polaridade da soma.

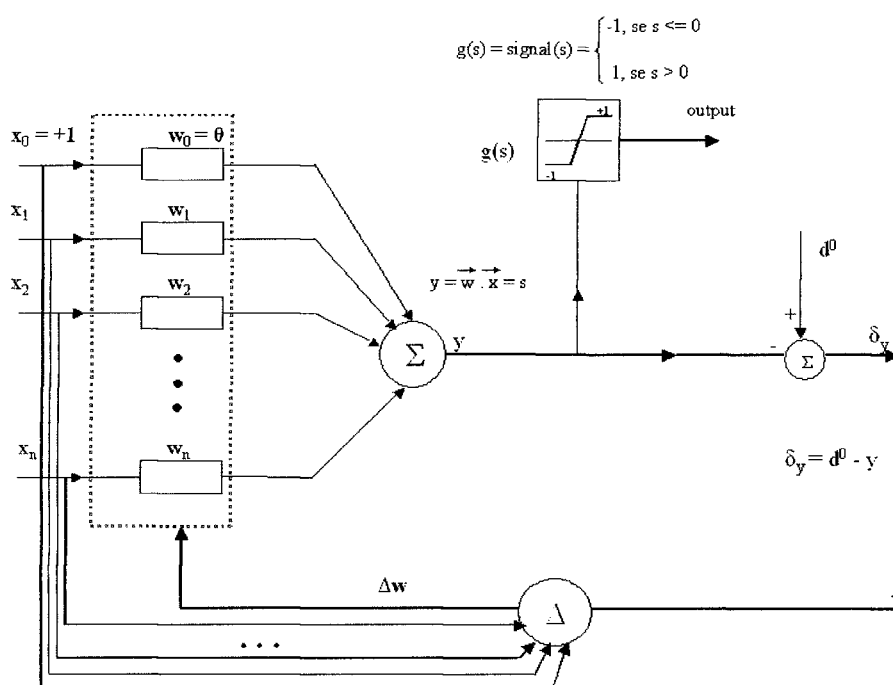


FIGURA 3.11 - O Adaline em implementação simples.

<sup>3</sup> LMS: *least mean square*.

<sup>4</sup> Delta-rule.

<sup>5</sup> A palavra ADALINE foi primeiro acrônimo de *ADaptive Linear NEuron*. Porém quando os neurônios artificiais se tornaram impopulares a partir do final da década de 1960, devido à obra de Minsky & Pappert e a consequente popularização da programação simbólica, ADALINE se tornou acrônimo de *ADaptive LINear Element*.

A regra delta tem origem no método do “gradiente descendente” (Kovács, 1998) que, coloquialmente, pode ser exposto como, “do alto de uma montanha, a trilha mais rápida e descendente para se chegar ao ponto mais baixo de uma montanha” (FIGURA 3.12). A função sobre a qual se fará o gradiente é a chamada “função de energia”, dada pela comparação, quadrática, entre o resultado devido ( $d$ ) e o resultado obtido pelo algoritmo de aprendizado numa determinada iteração dos dados,

$$E(\mathbf{w}) = \sum_p E^p(\mathbf{w}) = \frac{1}{2} \sum_p [d^p - y^p]^2, \quad (3.8)$$

onde o índice  $p$  percorre todo o conjunto de entrada. Esta função de energia é uma função de erro – erro quadrático. Aplicar o método do gradiente descendente sobre ela significa minimizar o erro quadrático, ou equivalentemente, aplicar o método do erro quadrático médio mínimo ou LMS,

$$\Delta_p w_j = -\eta \frac{\partial E^p}{\partial w_j}, \quad (3.9)$$

onde  $\eta$  é uma constante de proporcionalidade e o sinal negativo advém do gradiente descendente. Desenvolvendo a derivada parcial,

$$\frac{\partial E^p}{\partial w_j} = \frac{\partial E^p}{\partial y^p} \frac{\partial y^p}{\partial w_j}. \quad (3.10)$$

Como estamos considerando elementos lineares com função de ativação  $g$  (eq. (3.2)) identidade,

$$\frac{\partial y^p}{\partial w_j} = x_j, \quad (3.11)$$

e

$$\frac{\partial E^p}{\partial y^p} = -\left(d^p - y^p\right) \quad (3.12)$$

de maneira que

$$\Delta_p w_j = \eta \delta^p x_j, \quad (3.13)$$

onde  $\delta^p = (d^p - y^p)$  é a diferença entre a saída alvo e a saída real para o padrão  $p$ .

A regra delta modifica os pesos apropriadamente tanto para entrada e saída contínuas como para binárias, abrindo uma gama das mais diversas aplicações.

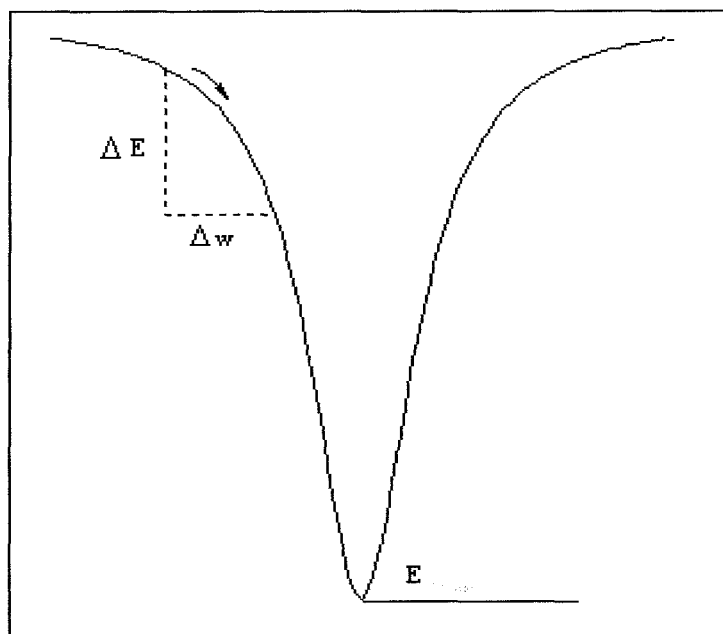


FIGURA 3.12 - Método do 'gradiente descendente'.

Redes neurais com somente a camada de entrada (*input*), ou seja, os componentes da amostragem para aprendizado ou padrões de entrada, e a camada de elementos de saída (*output*) não são suficientes para várias situações de classificação, como o caso do OU-EXCLUSIVO (FIGURA 3.13). Por isso, para muitas aplicações, é recomendada a construção de redes neurais com uma ou várias camadas intermediárias ou ocultas (*hidden*), e a regra delta ou dos mínimos quadrados vai precisar ser generalizada para cada camada oculta (FIGURA 3.14).

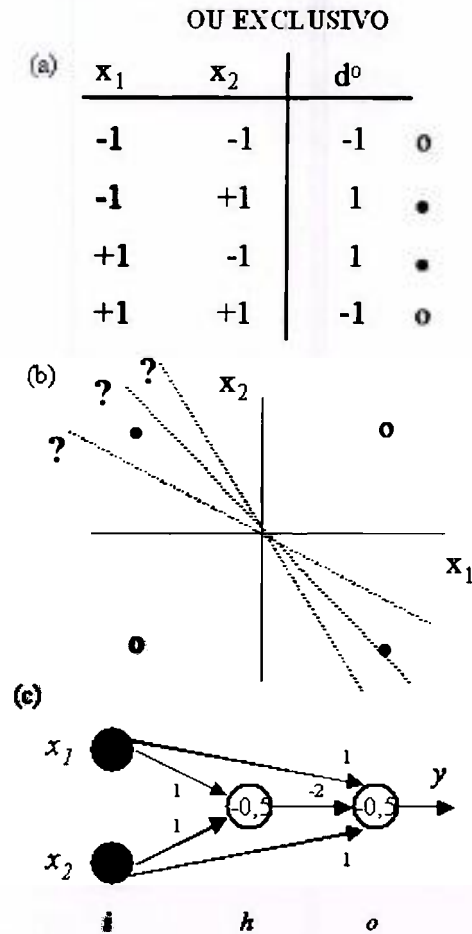


FIGURA 3.13 – O problema do OU EXCLUSIVO e sua solução. (a) Tabela verdade do ou-exclusivo. (b) Representação geométrica do espaço de entrada para ou-exclusivo. (c) Uma solução do ou-exclusivo para redes neurais. Foi preciso a inclusão de uma camada intermediária neste perceptron. Os valores dentro das unidades neurais são para o limiar e, fora, são para os componentes do peso. Ao contrário desse exemplo, uma rede neural multicamada “clássica” deve ter conexão somente entre camadas adjacentes.

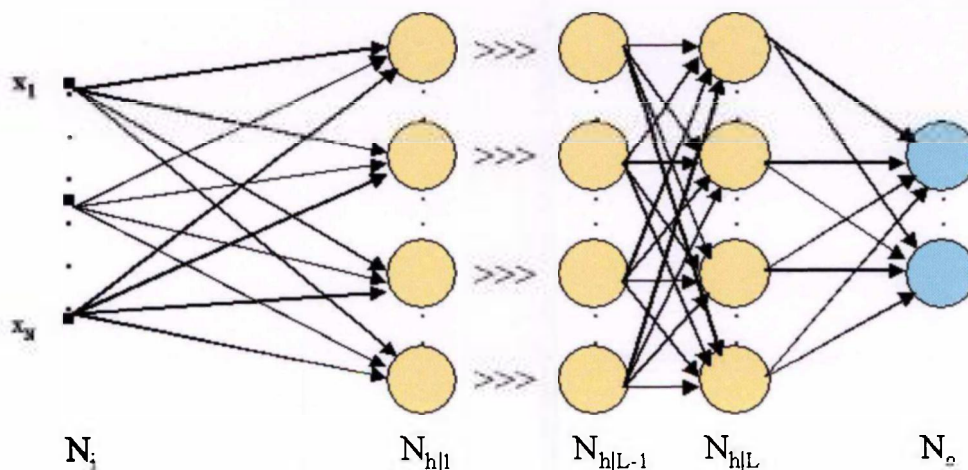


FIGURA 3.14 - Uma rede neural multicamada com L camadas intermediárias de unidades neurais.

Nessa rede neural multicamada é suposto que cada unidade neural se conecta com unidades de camadas adjacentes somente. É suposto também que a ativação de cada unidade é uma função diferenciável da entrada total, a saber,

$$y_k^p = g(s_k^p), \quad (3.14)$$

onde  $y_k$  representa a componente  $k$  da saída  $y$  de uma camada, ou ainda, o índice  $k$  representa uma unidade neural da camada em questão. Por sua vez

$$s_k^p = \sum_{j=0}^{C_j} w_{jk} y_j^p. \quad (3.15)$$

Para proceder à correta generalização da regra delta utilizando o mesmo método do gradiente descendente, deve-se, à semelhança de (3.9):

$$\Delta_p w_{jk} = -\eta \frac{\partial E^p}{\partial w_{jk}}. \quad (3.16)$$

A medida de erro  $E^p$  é definida como o erro quadrático total para o padrão  $p$  nas unidades de saída:

$$E^p = \frac{1}{2} \sum_{o=1}^{N_o} \left( d_o^p - y_o^p \right)^2, \quad (3.17)$$

onde  $d_o^p$  é a saída desejada para a unidade neural  $o$  quando é apresentado o padrão  $p$ .

Desenvolvendo então (3.16):

$$\frac{\partial E^p}{\partial w_{jk}} = \frac{\partial E^p}{\partial s_k^p} \frac{\partial s_k^p}{\partial w_{jk}}. \quad (3.18)$$

O segundo fator, pela equação (3.15), fica

$$\frac{\partial s_k^p}{\partial w_{jk}} = y_j^p, \quad (3.19)$$

e o primeiro fator definimos como

$$\delta_k^p = -\frac{\partial E^p}{\partial s_k^p}. \quad (3.20)$$

Dessa maneira obtém-se um formato de atualização semelhante à regra delta (3.13),

$$\Delta_p w_{jk} = \eta \delta_k^p y_j^p. \quad (3.21)$$

Agora vai ser preciso desenvolver  $\delta_k^p$  para cada unidade neural  $k$ . O resultado será uma computação recursiva dos  $\delta$ 's que pode ser implementado por propagação de sinais de erro que retorna através da rede.

Para computar  $\delta_k^p$  aplica-se a regra da cadeia à essa derivada parcial, que se transforma num produto de dois fatores

$$\delta_k^p = -\frac{\partial E^p}{\partial s_k^p} = -\frac{\partial E^p}{\partial y_k^p} \frac{\partial y_k^p}{\partial s_k^p}, \quad (3.22)$$

o primeiro fator reflete a mudança de erro em função da saída da unidade e o segundo fator reflete a mudança da saída em função da entrada nesta unidade. Pela equação (3.14) o segundo fator é simplesmente a derivada da função de compressão  $g$  para a  $k$ -ésima unidade, avaliada para a entrada  $s_k^p$ .

$$\frac{\partial y_k^p}{\partial s_k^p} = g'(s_k^p). \quad (3.23)$$

Para computar o primeiro fator da equação (3.22), é preciso considerar dois casos. Primeiro, é considerado que a unidade  $k$  é uma unidade da camada de saída ( $k = o$ ). Neste caso, pela definição de  $E^p$ ,

$$\frac{\partial E^p}{\partial y_o^p} = -\left(d_o^p - y_o^p\right), \quad (3.24)$$

que é o mesmo resultado obtido pela regra delta padrão. Substituindo na (3.22), obtemos

$$\delta_o^p = \left(d_o^p - y_o^p\right) g'_o(s_o^p), \quad (3.25)$$

para qualquer unidade de saída  $o$ . Segundo, quando  $k$  não é uma unidade de saída, mas unidade de camada oculta  $k=h$ , será preciso aplicar a regra da cadeia para a medida de erro em função das variáveis de entrada, desde das camadas ocultas até a da camada de saída,

$$E^p = E^p(s_1^p, s_2^p, \dots, s_j^p, \dots), \quad (3.26)$$

$$\frac{\partial E^p}{\partial y_h^p} = \sum_{o=1}^{N_o} \frac{\partial E^p}{\partial s_o^p} \frac{\partial s_o^p}{\partial y_h^p} = \sum_{o=1}^{N_o} \frac{\partial E^p}{\partial s_o^p} \frac{\partial}{\partial y_h^p} \sum_{j=1}^{N_h} w_{ko} y_j^p = \sum_{o=1}^{N_o} \frac{\partial E^p}{\partial s_o^p} w_{ho} = -\sum_{o=1}^{N_o} \delta_o^p w_{ho}. \quad (3.27)$$

Substituindo este último resultado na equação (3.22), obtemos finalmente

$$\delta_h^p = g'(s_h^p) \sum_{o=1}^{N_o} \delta_o^p w_{ho}. \quad (3.28)$$

As equações (3.25) e (3.28) fornecem um procedimento recursivo para computar os  $\delta$ s para todas as unidades na rede neural, que por sua vez são usados para computar as atualizações de acordo com a equação (3.21). Este é o procedimento que constitui a regra delta generalizada para uma rede neural multicamada de unidades não-lineares.

Em resumo, quando um padrão é apresentado, os valores de ativação são propagados até as unidades de saída, e os valores de saída da rede são comparados com os valores desejados, resultando num erro para cada unidade de saída. Este erro deve ser levado a zero. Para tal os pesos devem ser mudados. Então o erro de uma unidade de saída é distribuído para as unidades ocultas com as quais tem conexão, multiplicado pelo peso da correspondente conexão (ponderação) de saída ( $\sum_o \delta_o^p w_{ho}$ ) e pelo valor da derivada da função de ativação da unidade oculta avaliada na entrada integrada  $s_h^p$ .

### 3.1.5 Deficiências da retropropagação

O procedimento de aprendizado requer que a atualização do peso seja proporcional a  $\frac{\partial E^p}{\partial w}$  com a constante de proporcionalidade  $\eta$  que é a taxa de aprendizado.

A aplicação do gradiente descendente rigorosamente requer que passos infinitesimais sejam tomados. Para propósito prático, a taxa de aprendizado deve ser a maior possível até o limite que não haja oscilações, para que se vá suavemente até o ponto de mínimo da função energia ou de erro. Uma maneira de se evitar oscilações para  $\eta$  alto é que a atualização do peso seja dependente da atualização anterior através da adição de um termo de momento:

$$\Delta w_{jk}(t+1) = \eta \delta_k^p y_j^p + \alpha \Delta w_{jk}(t), \quad (3.29)$$

onde  $t$  representa a iteração e  $\alpha$  é uma constante que determina o efeito da atualização anterior.

O papel do termo de momento é mostrado na FIGURA 3.15. Sem ele, leva-se muito tempo para o mínimo ser alcançado, no caso de  $\eta$  pequeno, ou então nunca o mínimo pode ser atingido devido às oscilações, para  $\eta$  grande. Com ele, o mínimo é alcançado rapidamente.

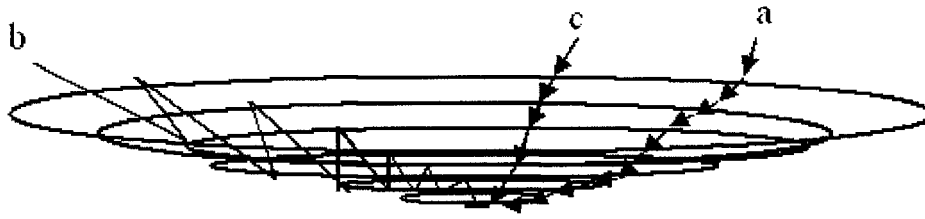


FIGURA 3.15 - A descida para a energia mínima. a) para uma pequena taxa de aprendizado; b) para uma grande taxa de aprendizado, e c) com uma taxa de aprendizado grande, mas adicionado o termo de momento.

Uma rede neural pode ter seus pesos atualizados após a apresentação de todas as entradas ou padrões de treinamento (batelada). Ou pode ter seus pesos atualizados após cada apresentação da entrada ou padrão (passo-a-passo):  $p$  é apresentado,  $E^p$  é calculado e os pesos são adaptados. Existe indicação empírica que o procedimento passo-a-passo converge mais rápido.

Fora os problemas que podem ocorrer com a falta de otimização da taxa de aprendizado e do momento, outros dois problemas cruciais no treinamento podem surgir: paralisia e mínimo local.

- Paralisia. Conforme a rede é treinada, os pesos podem ser ajustados para valores muito grandes e conseqüentemente a entrada total de uma unidade oculta ou de saída também fica com valor alto, positivo ou negativo, e com o uso de uma função de ativação sigmóide a unidade vai ter uma ativação próxima a zero ou próxima a um. Ao computar o erro da equação (3.28), para  $g(s)=y$  sigmóide,  $1/1+e^{-s}$ , é necessária a sua derivada  $g'(s)$  que é  $g(s)(1-g(s))$ . Com isso, para ativações próximas a zero ou a um o ajuste será próximo a zero, e dará a impressão que o processo de treinamento congelou.
- Mínimo local. A superfície de erro de uma rede neural complexa é cheia de montanhas e vales. Por causa do método do gradiente descendente, a rede pode estancar num mínimo local ao invés de ir a um mínimo mais profundo que provavelmente existe. Métodos probabilísticos podem evitar isso, mas o processo se torna lento. Outra possibilidade é aumentar o número de unidades das camadas intermediárias, mas até um certo limite, a partir do qual volta a ocorrer o problema do mínimo local.

Existe outra relação de compromisso com o número de unidades ocultas ou intermediárias. Um baixo número leva a uma discrepância com uma possível função desejada, porém um alto número de unidades faz com que a função obtida se encaixe

perfeitamente com os valores de entrada, reproduzindo inclusive os ruídos, é o supertreinamento, quando o que interessaria é uma função suave (FIGURA 3.16).

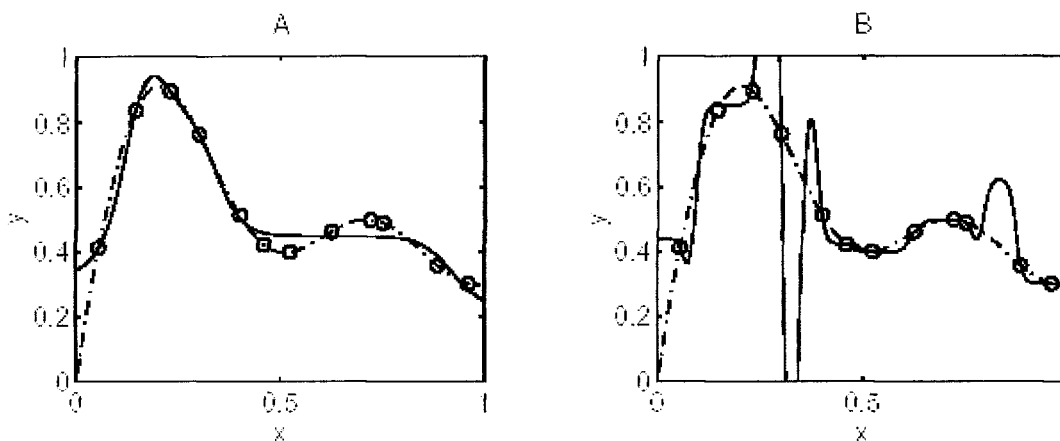


FIGURA 3.16 - Efeito do número de unidades ocultas na performance da rede neural. A curva pontilhada é a função desejada enquanto que a linha cheia denota a aproximação obtida pela rede neural. 12 amostras foram usadas. A) Com cinco unidades ocultas. B) Com 20 unidades ocultas, o supertreinamento.

Este exemplo demonstra que o aumento do número de unidades ocultas leva a um pequeno erro de treinamento  $E_{aprendizado}$ , mas não necessariamente leva a um pequeno erro de teste  $E_{teste}$ , isso após um certo número de unidades acrescentadas. Este é o chamado efeito de pico. Um esboço das médias das taxas de erro, para treinamento e teste, em função do número de unidades ocultas é mostrado na FIGURA 3.17.

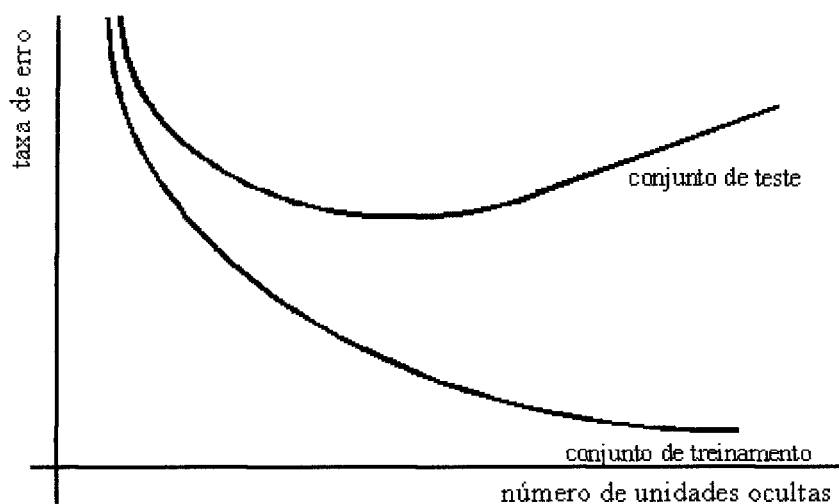


FIGURA 3.17 - As médias da taxa de erro de aprendizado e da taxa de erro de teste em função do número de unidades ocultas.

### 3.2 Mapas auto-organizáveis

Diferentemente do treinamento supervisionado, no treinamento não supervisionado não há um valor desejado ou devido fornecido pelo treinador ou usuário. Agora os pesos serão ajustados pela similaridade com as entradas. O mapa auto-organizável é um treinamento não-supervisionado, realizado com o intuito de extrair características de um conjunto de dados de entrada ou agrupá-los (saída discreta). No mapa auto-organizável ocorre o aprendizado competitivo, no qual as unidades, além de possuírem conexões com as entradas - conexões frontais, possuem conexões entre elas próprias - conexões laterais, como representado na FIGURA 3.18. As conexões laterais podem ser inibitórias ou excitatórias, como na FIGURA 3.19.

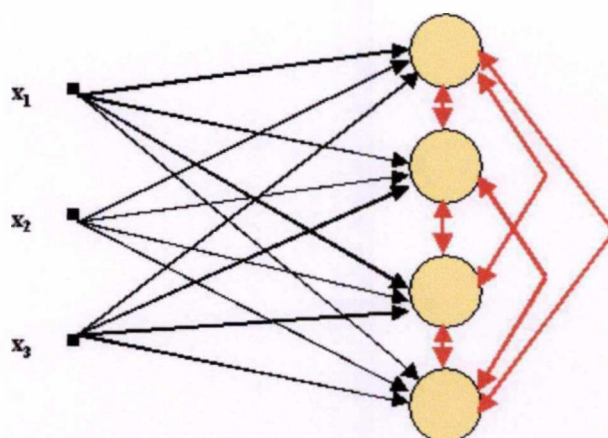


FIGURA 3.18 - Diagrama arquitetural de uma rede simples de aprendizado competitivo, com conexões frontais a partir da entrada (setas pretas), excitatórias, e conexões laterais inibitórias ou excitatórias entre os neurônios de saída (setas vermelhas), com intensidade de acordo com a proximidade do vencedor.

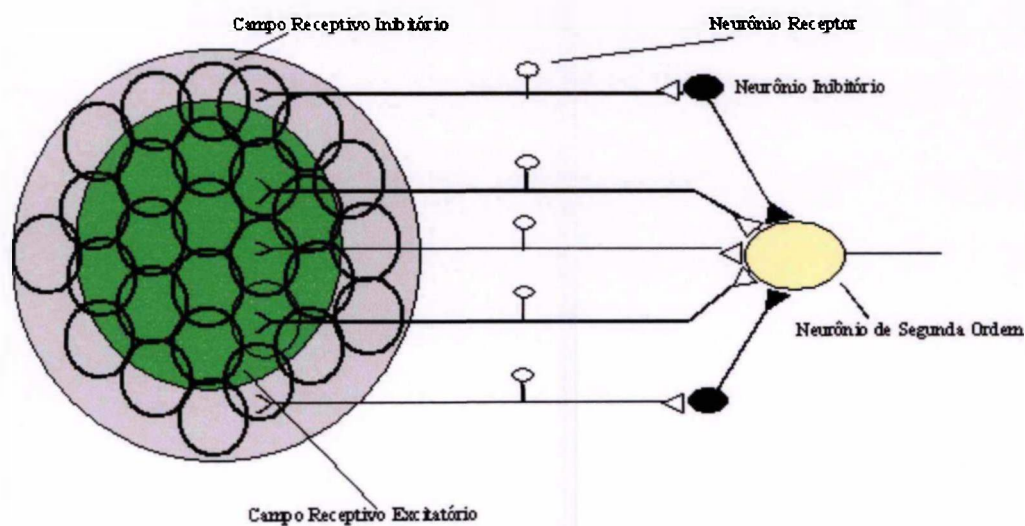


FIGURA 3.19 - Estrutura de campos receptivos.

### 3.2.1 Considerações gerais

Os mapas auto-organizáveis (SOM, na sigla em inglês) são uma classe especial de redes neurais artificiais (RNA) baseadas no aprendizado competitivo; os neurônios da camada de saída da rede competem uns com os outros para serem ativados (ou “queimados”), resultando que somente um neurônio de saída, ou um neurônio por grupo, fica ativo para uma entrada ou estímulo. A idéia original do aprendizado competitivo – o vencedor leva tudo ou neurônio vencedor – foi proposta por Rosenblatt (1958), mas seu modelo mais geral foi desenvolvido por Kohonen (1982).

O desenvolvimento dos mapas auto-organizáveis foi motivado por uma característica distintiva do cérebro dos mamíferos, seu cérebro está organizado em várias regiões de tal maneira que diferentes entradas sensoriais ficam representadas por mapas físicos computacionais ordenados topologicamente. Exemplos dessas regiões são os córtices tátil, olfatório (Nadel *et al.*, 1989), visual e auditivo. A informação derivada dessa maneira pode ser prontamente acessada por outros processos de ordem mais elevada usando esquemas simples de conexão (Haykin, 1999).

Num mapa auto-organizável, os neurônios ou unidades neurais ficam localizados nos nós de um reticulado ou rede usualmente uni ou bidimensional. Dimensões mais altas são possíveis, mas não comuns devido à dificuldade de visualização ou de processamento do ordenamento topológico. Os neurônios ficam seletivamente sintonizados para vários padrões da entrada ou classes de padrões de entrada durante o curso do processo de aprendizado competitivo. As localizações dos neurônios assim sintonizados, ou seja, os vencedores, se tornam ordenados em relação a uns com os outros, de tal maneira que um sistema de coordenadas com significado é criado na rede para diferentes padrões de entrada (Kohonen, 1990). Um mapa auto-organizável é, portanto, caracterizado pela formação de um mapa topográfico dos padrões de entrada em que as localizações espaciais (coordenadas) dos neurônios com suas sintonias na rede são indicativas das características estatísticas intrínsecas contidas nos padrões de entrada.

O interesse aqui reside em construir mapas topográficos artificiais que aprendem através da auto-organização. Nesse contexto, um ponto importante é o princípio da formação do mapa topográfico, de inspiração neurobiológica, vindo a ser que “a localização espacial de um neurônio de saída em um mapa topográfico corresponde a um particular domínio ou característica dos dados obtidos do espaço de entrada” (Kohonen, 1990). Este princípio forneceu dois modelos de mapas de características: o modelo de Willshaw - von der Marlsburg (1976) e o de Kohonen (1982). O primeiro, com duas

camadas de neurônios (entrada e saída), utiliza para as pós-sinapses um mecanismo excitatório de curto alcance e um mecanismo inibitório de longo alcance, com um limite de ativação e um máximo para a soma dos pesos sinápticos para cada neurônio pós-sináptico. Este modelo, inspirado no mapeamento retinotópico para o córtex visual, não é interessante por não realizar compressão de dados e redução de dimensionalidade sobre a entrada. Já o modelo de Kohonen (FIGURA 3.20), pertencente à classe dos algoritmos de codificação vetorial, fornece um mapeamento topológico que otimizada relaciona um número fixo de vetores (palavras-código), associados a pontos num espaço discreto de saída uni ou bidimensional, para um espaço de entrada contínuo de maior dimensão, dessa maneira facilitando a compressão dos dados. A palavra-código corresponde no SOM aos pesos sinápticos de um neurônio e possui dimensão igual à da entrada.

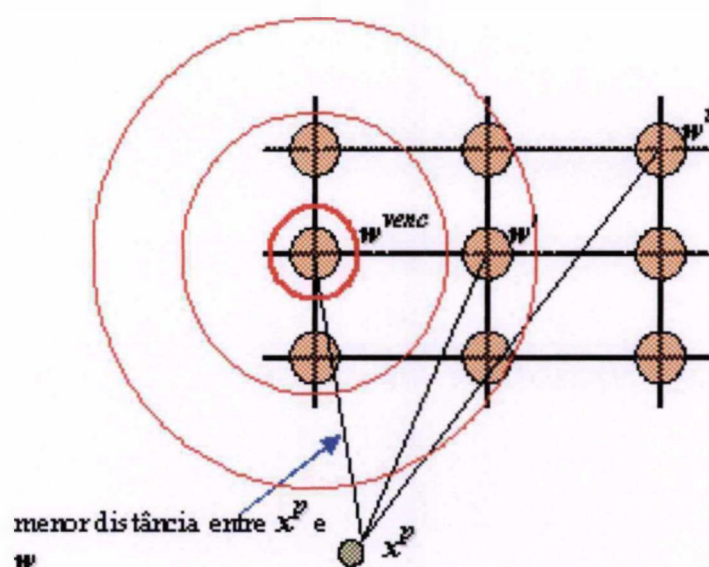


FIGURA 3.20 - Mapa auto-organizável (SOM) com grade bidimensional.

### 3.2.2 Algoritmo do mapa auto-organizável

O algoritmo responsável pela formação do mapa auto-organizável tem como primeiro passo a inicialização dos pesos sinápticos da rede. São atribuídos a eles valores pequenos extraídos de um gerador de números aleatórios, dessa maneira, nenhum ordenamento é previamente estabelecido. Uma vez que a rede tenha sido propriamente inicializada, há três processos essenciais envolvidos na formação do mapa auto-organizável, que são competição, cooperação e adaptação.

1. **Competição.** Para cada padrão de entrada, as unidades neurais computam seus respectivos valores de uma função discriminante  $g(s) = g(\mathbb{w}^T \mathbb{x})$ . Essa função discriminante fornece a base da competição entre os neurônios. O neurônio da rede que tiver o maior valor da função discriminante é declarado o vencedor da competição.
2. **Cooperação.** O neurônio vencedor determina a localização espacial de uma vizinhança de neurônios excitados fornecendo a base da cooperação entre tais vizinhos.
3. **Adaptação Sináptica.** Esse mecanismo habilita os neurônios excitados a incrementarem seus valores individuais da função discriminante em relação ao padrão de entrada mediante ajustes adequados nos seus pesos sinápticos. O ajuste feito é tal que a resposta do neurônio vencedor para a aplicação seguinte de um padrão similar é aumentada.

### 3.2.2.1 Competição

Seja  $m$  a dimensão do espaço de entrada (dados). Seja um padrão de entrada (vetor) selecionado aleatoriamente do espaço de entrada denotado por

$$\mathbb{x} = [x_1, x_2, x_3, \dots, x_m]^T. \quad (3.30)$$

O vetor peso sináptico de cada neurônio da rede tem a mesma dimensão que o espaço de entrada. Seja o vetor peso denotado por

$$\mathbb{w}_j = [w_{j1}, w_{j2}, w_{j3}, \dots, w_{jm}]^T, \quad j = 1, 2, \dots, l, \quad (3.31)$$

onde  $l$  é o número total de unidades neurais na rede. Para encontrar o melhor casamento (ou a melhor sintonia) entre o vetor de entrada  $\mathbb{x}$  e os vetores peso  $\mathbb{w}_j$ , compara-se o produto interno  $\mathbb{w}_j^T \mathbb{x}$  para  $j = 1, 2, \dots, l$  e seleciona-se o maior. Considera-se o mesmo limite de ativação para todos os neurônios, que pode ser considerado zero. Portanto, ao selecionar o neurônio com o maior produto interno  $\mathbb{w}_j^T \mathbb{x}$ , fica determinado onde a vizinhança topológica dos neurônios excitados está centrada.

O critério da melhor sintonia, baseada na maximização do produto interno  $\mathbb{w}_j^T \mathbb{x}$ , é matematicamente equivalente a minimizar a distância euclidiana entre os vetores  $\mathbb{x}$  e  $\mathbb{w}_j$ . Utilizando-se o índice  $i(\mathbb{x})$  para identificar o neurônio que melhor se parceiriza com o vetor de entrada  $\mathbb{x}$ , pode-se determinar  $i(\mathbb{x})$  aplicando a condição

$$i(\mathbb{x}) = \arg \min_j \|\mathbb{x} - \mathbb{w}_j\|, \quad j = 1, 2, \dots, l, \quad (3.32)$$

o que sumariza a essência do processo de competição entre os neurônios, a saber, um espaço de entrada contínuo de padrões de ativação é mapeado para um espaço discreto de saída de neurônios por um processo de competição entre os neurônios na rede (FIGURA 3.21).

Dependendo da aplicação em interesse, a resposta da rede pode ser tanto o índice do neurônio vencedor, mais especificamente, sua posição na rede, ou o vetor peso sináptico que está mais próximo topologicamente do vetor de entrada.

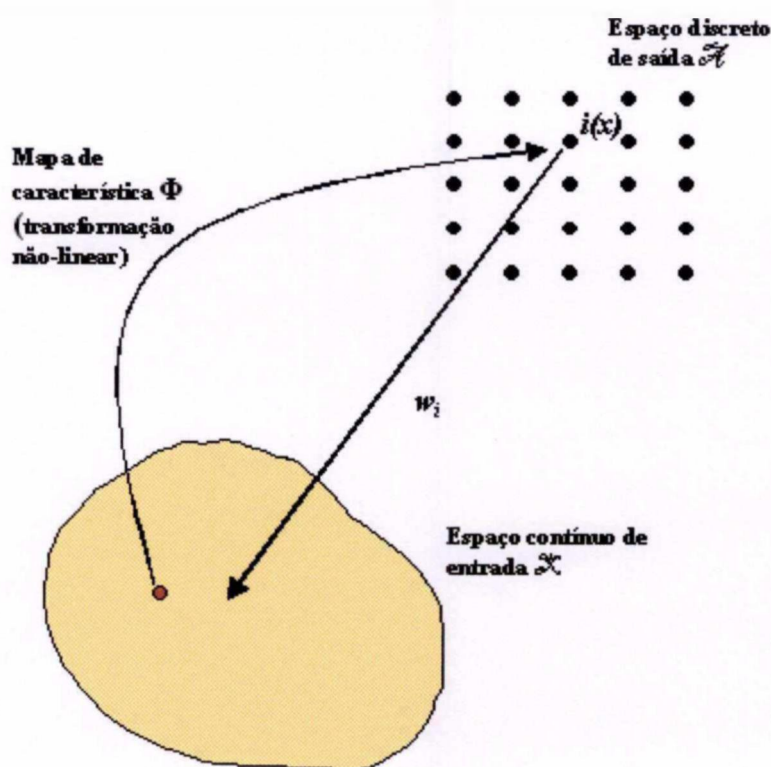


FIGURA 3.21 - Relacionamento entre o mapa de característica  $\Phi$  e o vetor peso  $w_i$  do neurônio vencedor  $i$ .

### 3.2.2.2 Cooperação

O neurônio vencedor se localiza no centro de uma vizinhança topológica de neurônios cooperativos. A definição de como é essa vizinhança topológica é inspirada pela evidência neurobiológica da interação lateral entre um grupo de neurônios excitados. Um neurônio que é ativado tende a excitar os neurônios em sua vizinhança imediata mais que outros longe dele. Tal comportamento leva a definir uma vizinhança topológica em torno

da unidade neural vencedora  $i$ , que decai suavemente com a distância lateral (Ritter *et al.*, 1992). Especificamente, seja  $h_{j,i}$  a vizinhança topológica centrada no neurônio vencedor  $i$ , encerrando um grupo de neurônios excitados (cooperativos), um deles indicado por  $j$ . A distância lateral entre o neurônio vencedor  $i$  e o neurônio excitado  $j$  será representado por  $d_{i,j}$ . Ao considerar a vizinhança topológica  $h_{j,i}$  uma função unimodal da distância lateral  $d_{j,i}$ , dois requisitos distintos serão satisfeitos:

- 1) A vizinhança topológica  $h_{j,i}$  é simétrica em relação ao máximo em  $d_{i,j}=0$ ; em outras palavras, ela atinge seu valor máximo sobre o neurônio vencedor  $i$  para o qual a distância  $d_{i,j}$  é zero.
- 2) A amplitude da vizinhança topológica  $h_{j,i}$  decresce monotonicamente com a distância lateral  $d_{j,i}$ , caindo a zero para  $d_{j,i} \rightarrow \infty$ ; que é uma condição necessária para a convergência. A escolha mais típica de  $h_{j,i}$  que satisfaz esses requisitos é a função gaussiana

$$h_{j,i(x)} = \exp(-d_{j,i}^2 / 2\sigma^2), \quad (3.33)$$

que é invariante sob translação, isto é, independe da localização do neurônio vencedor. O parâmetro  $\sigma$  é a “largura efetiva” da vizinhança topológica (FIGURA 3.22) que mede o grau em que os neurônios excitados nas cercanias do neurônio vencedor participarão no processo de aprendizado. Em termos qualitativos, a vizinhança topológica gaussiana é mais apropriada biologicamente que a retangular, além de fazer o algoritmo do SOM convergir mais rapidamente (Lo *et al.*, 1991, 1993).

A distância lateral  $d_{j,i}$  é definida por

$$d_{j,i}^2 = \|\mathbb{r}_j - \mathbb{r}_i\|^2, \quad (3.34)$$

onde o vetor discreto  $\mathbb{r}_j$  define a posição do neurônio excitado  $j$  e  $\mathbb{r}_i$  define a posição discreta da unidade vencedora  $i$ , ambos medidos no espaço de saída discreto.

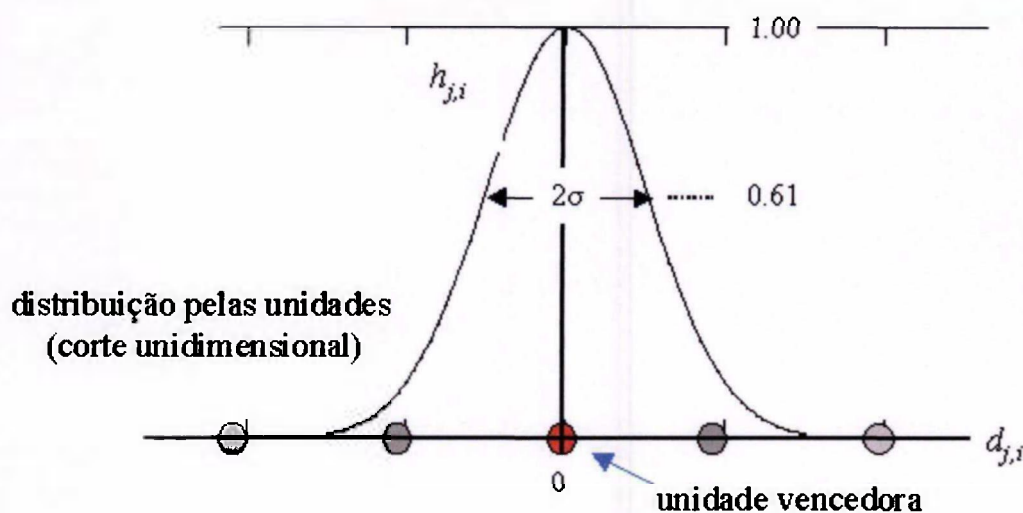


FIGURA 3.22 - Função de vizinhança gaussiana.

Outra característica única do algoritmo do SOM é o encolhimento da vizinhança topológica com o tempo. Este requisito é satisfeito fazendo a largura  $\sigma$  da função de vizinhança topológica  $h_{j,i}$  decrescer com o tempo. Aqui “tempo” significa o número de passagens ou iterações ( $n$ ) do conjunto de vetores de entrada para o aprendizado. A escolha mais popular para a dependência de  $\sigma$  com o tempo discreto  $n$  é o decaimento exponencial, usado neste trabalho, ou a função inversa (Baptista, 2002)

$$\sigma(n) = \sigma_0 \exp(-n/\tau_l), \quad n = 0, 1, 2, 3, \dots, \quad (3.35a)$$

$$\text{ou } \sigma(n) = \sigma_0 / (1 + b_l n), \quad n = 0, 1, 2, 3, \dots, \quad (3.35b)$$

onde  $\sigma_0$  é o valor de inicialização do algoritmo SOM, e  $\tau_l$ ,  $1/b_l$  são constantes de tempo. Uma boa escolha para  $\tau_l$  é número total de iterações/ $\ln(\sigma_0)$  (FIGURA 3.23).

O argumento da exponencial da gaussiana pode ter um fator de ajuste  $C_R$  fazendo com que a ativação dos neurônios da vizinhança topológica seja mais forte ou mais fraca durante todo o decorrer do decaimento. Com isso a função de vizinhança topológica fica com a seguinte forma dependente do tempo

$$h_{j,i(\infty)}(n) = \exp[-C_R(d_{j,i}^2 / 2\sigma^2(n))]. \quad (3.36)$$

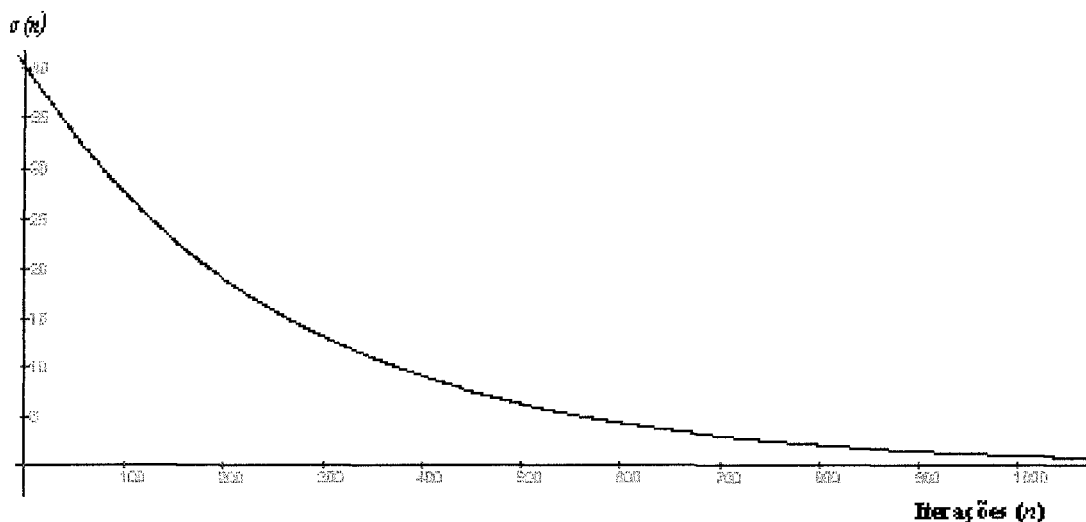


FIGURA 3.23 - Decaimento exponencial do parâmetro  $\sigma(n)$  da função de vizinhança.

O propósito da função de vizinhança pode ser visto como a correlação das direções nas atualizações dos vetores peso de um grande número de neurônios excitados na rede (Luttrell, 1989). Com a dependência do tempo temos a renormalização da função de vizinhança para trabalhar com número cada vez menor de graus de liberdade normalizados. Isso garante uma adaptação sináptica suave para a rede neural.

Uma outra opção de função de vizinhança que faz uso de comunicação lateral excitatória (fortemente para região próxima, fracamente para longe) e inibitória (fracamente para intermediária) é o “chapéu mexicano” unimodal (FIGURA 3.24).

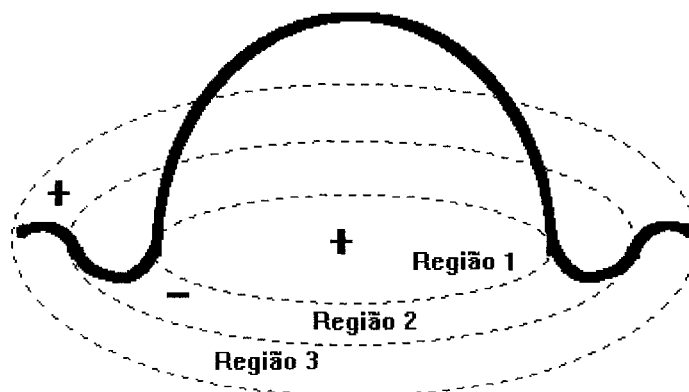


FIGURA 3.24 - Função vizinhança “chapéu mexicano”.

Simulações com o “chapéu mexicano” não mostraram eficiência maior do que com a gaussiana de vizinhança.

### 3.2.2.3 Adaptação

A adaptação sináptica é o último processo na formação auto-organizada de um mapa de características. Para a rede se auto-organizar, o vetor peso sináptico  $\mathbb{w}_j$  do neurônio  $j$  na rede precisa se modificar em relação ao vetor de entrada  $\mathbb{x}$ . A questão reside em como fazer essa modificação. No postulado de Hebb do aprendizado, um peso sináptico aumenta com uma ocorrência simultânea de atividades pré e pós-sináptica. O uso de tal regra cabe bem para um aprendizado associativo. Para o tipo de aprendizado não-supervisionado considerado aqui, a hipótese de Hebb na sua forma básica é insatisfatória porque as mudanças nas conexões ocorrem em uma só direção, o que no final levaria todos os pesos sinápticos para a saturação. Para superar este problema, a hipótese de Hebb é modificada para incluir um termo de esquecimento  $e(y_j)\mathbb{w}_j$ , onde  $\mathbb{w}_j$  é o vetor peso sináptico do neurônio  $j$  e  $e(y_j)$  é uma função escalar positiva da resposta  $y_j$ . O único requisito imposto a  $e(y_j)$  é que na expansão em série de Taylor o seu termo constante seja zero

$$e(y_j) = 0 \quad \text{para } y_j = 0. \quad (3.37)$$

De posse dessa função, a mudança no vetor peso do neurônio  $j$  na rede pode ser expressa como

$$\Delta \mathbb{w}_j = \eta y_j \mathbb{x} - e(y_j)\mathbb{w}_j, \quad (3.38)$$

onde  $\eta$  é o parâmetro taxa de aprendizado do algoritmo. O primeiro termo do membro direito da equação (3.38) é o hebbiano e o segundo termo é o de esquecimento. Para satisfazer o requisito da equação (3.37), é escolhida uma função linear para  $e(y_j)$  como a seguinte

$$e(y_j) = \eta y_j. \quad (3.39)$$

Escolhendo a resposta  $y_j$  como

$$y_j = h_{j,i(\mathbb{x})}, \quad (3.40)$$

e usando as equações (3.39) e (3.40) em (3.38), obtém-se

$$\Delta \mathbb{w}_j = \eta h_{j,i(\mathbb{x})} (\mathbb{x} - \mathbb{w}_j). \quad (3.41)$$

Finalmente, utilizando o formalismo de tempo discreto, dado o vetor peso sináptico  $w_j(n)$  do neurônio  $j$  no tempo  $n$ , o vetor peso atualizado  $w_j(n+1)$  no tempo  $n+1$  é definido por (Kohonen, 1982):

$$w_j(n+1) = w_j(n) + \eta(n) h_{j,i(x)}(n) (x - w_j(n)), \quad (3.42)$$

que é aplicado a todos os neurônios da rede que estão dentro da vizinhança topológica do neurônio vencedor  $i$ . A equação (3.42) produz o efeito de mover o vetor peso sináptico  $w_j$  do neurônio vencedor  $i$  em direção ao vetor de entrada  $x$ . Com as repetidas apresentações dos dados de treinamento, os vetores pesos sinápticos tendem a seguir a distribuição dos vetores de entrada devido à atualização da vizinhança. O algoritmo, portanto, leva a um ordenamento topológico do mapa de características para o espaço de entrada uma vez que neurônios adjacentes na rede tenderão a ter pesos sinápticos similares.

É preciso notar que para obter a equação de atualização (3.42) dos vetores pesos sinápticos, são necessárias a heurística da equação (3.36) ao selecionar a função de vizinhança  $h_{j,i(x)}(n)$  e a heurística de selecionar qual o parâmetro taxa de aprendizado  $\eta(n)$ .

Esta dedução pode ser também obtida pelo método do “gradiente descendente” (Kovács, 1998) que, coloquialmente, pode ser exposto como, “do alto de uma montanha, a trilha mais rápida e descendente para se chegar ao ponto mais baixo de uma montanha”. A função sobre a qual se fará o gradiente é a chamada “função de energia”, dada pela comparação, quadrática, entre o resultado devido ( $d$ ) e o resultado obtido pelo algoritmo de aprendizado numa determinada iteração dos dados

$$E(w) = \frac{1}{2} \sum_k \sum_l [y_k^d - y_l]^2. \quad (3.43)$$

No caso do algoritmo do SOM, tendo a regra do vizinho-mais-próximo, a saída devida é a própria entrada  $x$  que deve ser comparada com o peso  $w_j$ . Além disso, cada comparação tem a sua taxa de contribuição dada por uma função densidade de probabilidade (pdf), cabendo bem a função de vizinhança gaussiana  $h_{j,i(x)}$ .

$$E(w) = \frac{1}{2} \sum_k \sum_l h_{l,k(x)} [x_k^d - w_l]^2. \quad (3.44)$$

Pelo método do gradiente descendente, a atualização ( $\Delta$ ) de  $w_j$  será proporcional ao negativo do componente do gradiente ( $\nabla$ ) de  $E(w)$

$$\Delta w = -\eta \frac{\partial E(w)}{\partial w}, \quad (3.45)$$

levando a

$$\Delta w_j = \eta h_{j,i(x)}(x - w_j). \quad (3.46)$$

O parâmetro taxa de aprendizado  $\eta(n)$  varia com o tempo discreto como acontece numa abordagem estocástica, devendo começar com um valor inicial  $\eta_0$  e decrescer gradualmente com o aumento do tempo  $n$ . Este requisito pode ser satisfeito por um decaimento exponencial, usado neste trabalho, ou por função inversa (Baptista, 2002),

$$\eta(n) = \eta_0 \exp(-n/\tau_2), \quad n = 0, 1, 2, 3, \dots, \quad (3.47a)$$

$$\text{ou } \eta(n) = h_{j,i(x)}[\eta_0 / (1 + b_2 n)], \quad n = 0, 1, 2, 3, \dots, \quad (3.47b)$$

onde  $\tau_2, 1/b_2$  são constantes de tempo diferentes das equações 3.35a e 3.35b. Uma boa escolha de  $\tau_2$  é: total de iterações / ( $\eta_0 * 10$ ). Por exemplo, se são escolhidas 1000 apresentações do conjunto de dados de treinamento, e se a taxa de aprendizado inicial é 0,2, então  $\tau_2 = 500$ .

De uma completa desordem, para se atingir gradualmente a representação organizada dos padrões de ativação, o processo adaptativo necessita possuir duas fases que são ordenamento e convergência explicitados a seguir.

1) Fase de ordenamento ou de auto-organização. É durante esta fase do processo adaptativo que a ordem topológica dos vetores peso é realizada. O número de iterações (apresentações do conjunto de dados de treinamento) deve ser da ordem de 1000 e a taxa de aprendizado  $\eta(n)$  deve iniciar com um valor da ordem de 0,1 e não ficar mais baixa que 0,01. As simulações mostraram eficiência para valores iniciais da taxa de aprendizado entre 0,2 e 0,4. A função de vizinhança topológica  $h_{j,i(x)}(n)$  deve inicialmente incluir todos os neurônios da rede centralizados no neurônio vencedor  $i$ , e encolher vagarosamente para somente os neurônios vizinhos de  $i$  (FIGURA 3.25), ou para somente  $i$ , conforme foi discutido sobre os parâmetros da equação (3.33).

2) Fase de convergência. Esta segunda e última fase do processo adaptativo é um refinamento do mapa de características providenciando uma quantificação estatística mais acurada do espaço de entrada. Como regra geral o número de iterações para esta fase deve ser pelo menos 500 vezes o número de neurônios na rede (Haykin, 1999), podendo atingir dezenas de milhares de iterações. Nesta fase a taxa de aprendizado  $\eta(n)$  deve se manter constante e baixa, da ordem de 0,01. Em qualquer evento ou fase, a taxa de aprendizado

não pode chegar a zero, senão é possível que a rede neural fique “emperrada” num estado metaestável, um defeito topológico de mínimos locais. A função de vizinhança  $h_{j,i(x)}$  nesta fase deve conter somente os neurônios mais próximos, podendo se reduzir para somente o vencedor. Esta fase, por exigir muito recurso de CPU devido ao número de iterações, foi omitida ou muito reduzida quando somente interessava a classificação do neurônio pelo vetor de entrada mais próximo.

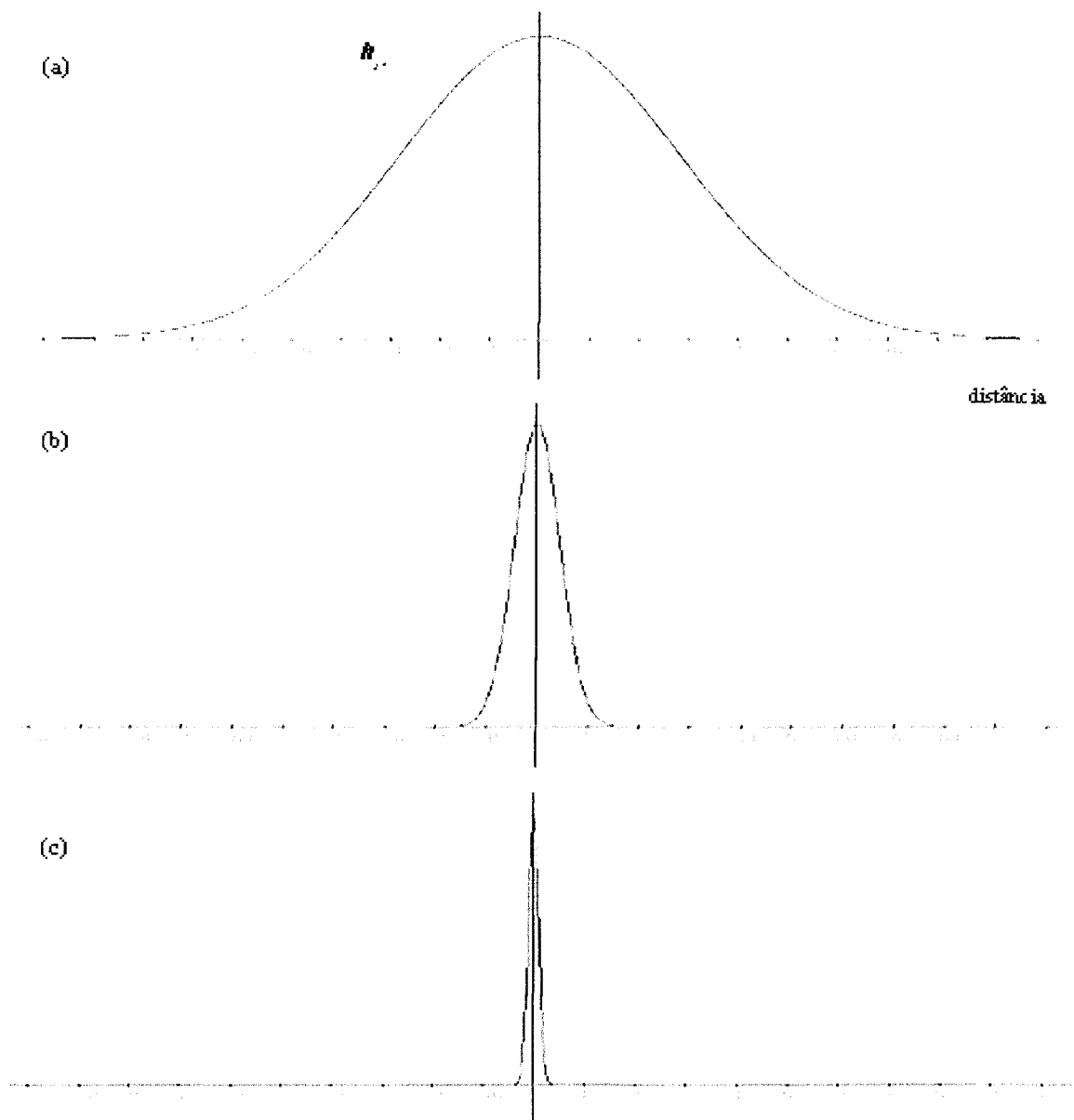


FIGURA 3.25 - Perfil inicial (a) da função de vizinhança unimodal  $h_{j,i}(x)(n)$  gaussiana. Com 500 iterações (b) do conjunto de entrada  $X$  ( $n=500$ ). Após 950 iterações.

A FIGURA 3.26 apresenta um exemplo de convergência de um mapeamento para a topologia original das entradas.

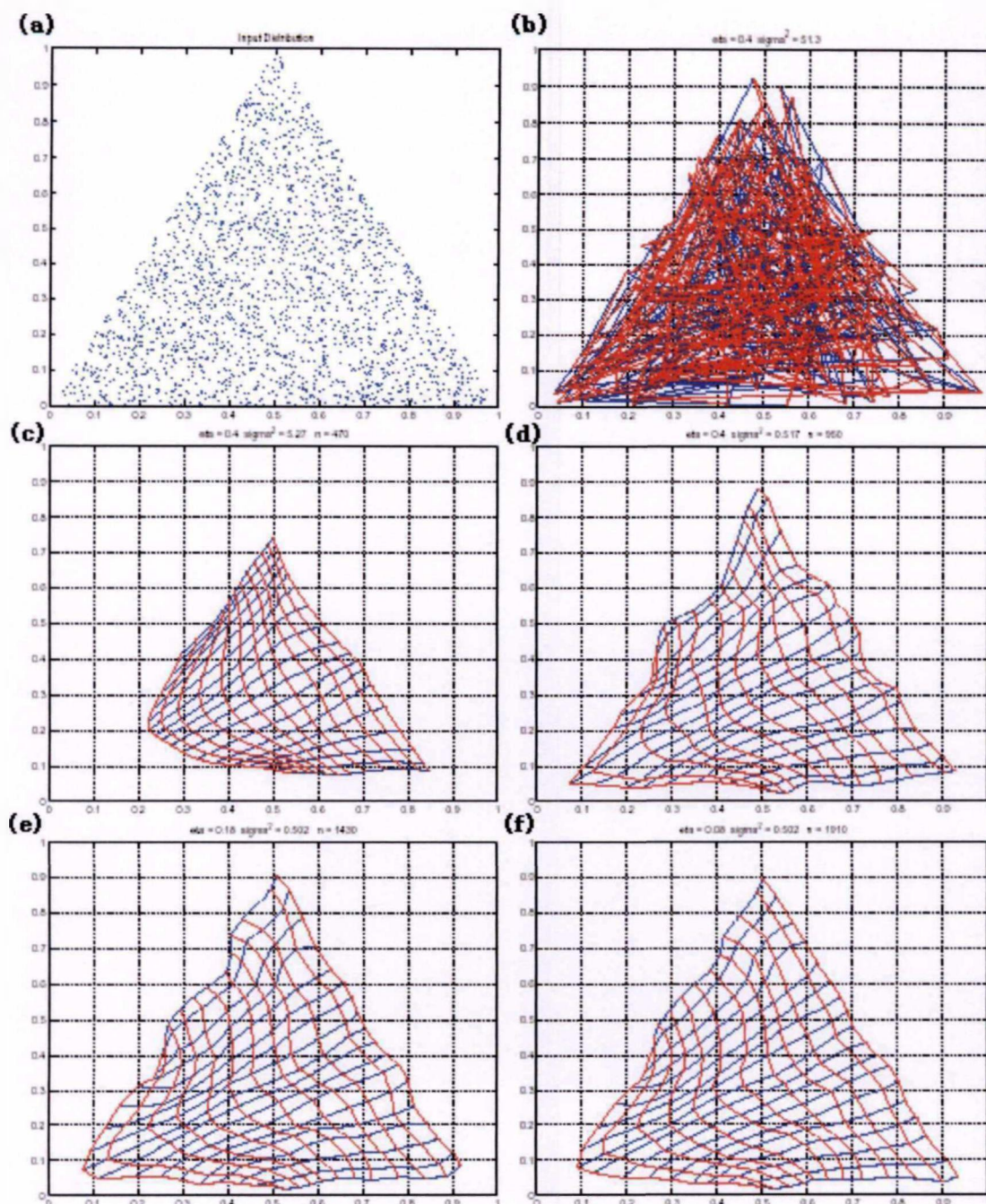


FIGURA 3.26 - A convergência de um mapeamento para a conservação de topologia. No gráfico (a) está a distribuição dos vetores de entrada. Nos gráficos seguintes, são plotadas as coordenadas dos vetores pesos de uma rede bidimensional retangular plana 12X18 unidades. Uma linha cheia em cada figura conecta um peso de uma unidade neural com os pesos das unidades neurais vizinhas. Em (b) estão plotadas as coordenadas dos pesos iniciais (geralmente escolha aleatória). Em (f) o final da ordenação após 1910 iterações. Extraído de Papliński, 2002, onde estes gráficos foram realizados com a ajuda da ferramenta (tool) *sofm.m* para o MATLAB.

### 3.2.3 Propriedades do mapa de características

Uma vez que o algoritmo do SOM convergiu, o mapa de características computado pelo algoritmo exibirá características importantes do espaço de entrada. Para descrevê-las, considere  $X$  um espaço de entrada (dados) contínuo, a topologia de tal é definida pelo relacionamento métrico dos vetores  $x \in X$ . Seja  $A$  um espaço de saída discreto, cuja topologia é definida por um arranjo de unidades neurais localizadas sobre os nós de um reticulado ou rede. Seja  $\Phi$  uma transformação não-linear chamada mapa de características, que mapeia o espaço de entrada  $X$  sobre o espaço de saída  $A$

$$\Phi: X \rightarrow A. \quad (3.48)$$

A equação (3.48) pode ser vista como uma abstração da equação (3.32) que define o local de um neurônio vencedor  $i(x)$  obtido como resposta a um vetor de entrada  $x$ . Por exemplo, em termos neurobiológicos, o espaço de entrada  $X$  pode representar todas as coordenadas dos receptores somato-sensórios distribuídas densamente sobre o corpo inteiro. Em correspondência, o espaço de saída  $A$  representa todos os neurônios localizados naquela camada do córtex cerebral em que os receptores somato-sensórios estão confinados.

Propriedade 1 - Aproximação do Espaço de Entrada. “O mapa de características  $\Phi$ , representado por um conjunto vetores peso sináptico  $\{w_j\}$  no espaço de saída  $A$ , é uma boa aproximação do espaço de entrada  $X$ .”

A meta básica do algoritmo SOM é guardar um grande número de vetores de entrada  $x \in X$  num pequeno conjunto de protótipos  $w_j \in A$ , de tal maneira que realiza uma boa aproximação do espaço de entrada original  $X$ . A base teórica desta idéia tem raízes na teoria de quantização vetorial, que leva a resultados como a redução de dimensionalidade ou a compressão de dados (Gersho et Gray, 1992).

Propriedade 2 - Ordenamento Topológico. “O mapa de características  $\Phi$  computado pelo algoritmo SOM é topologicamente ordenado no aspecto de que a localização espacial de um neurônio na rede corresponde a um particular domínio ou característica dos padrões de entrada.”

A propriedade de ordenamento topológico é uma consequência direta da equação de atualização (eq. (3.42)) que força o vetor peso sináptico  $w_i$  do neurônio vencedor  $i(x)$  a se movimentar em direção ao vetor de entrada  $x$ . Isso também afeta o movimento dos vetores peso sináptico  $w_j$  dos neurônios mais próximos  $j$  ao redor do neurônio vencedor  $i(x)$ . Dessa maneira pode-se visualizar o mapa de características  $\Phi$  como uma rede elástica com topologia de rede uni ou bidimensional como prescrita no espaço de saída  $A$ , e cujos nós possuem pesos como coordenadas no espaço de entrada  $X$  (Ritter, 1995). A meta geral do algoritmo pode ser declarada como: “Aproximar o espaço de entrada  $X$  por apontadores ou protótipos na forma de vetores peso sináptico  $w_i$ , de tal maneira que o espaço de características  $\Phi$  fornece uma representação fiel das propriedades que caracterizam os vetores de entrada  $x \in X$  em termos de um critério claro.”

Propriedade 3 - Proporcionalidade entre Densidades. “O mapa de características  $\Phi$  reflete as variações na estatística da distribuição de entrada: regiões do espaço de entrada  $X$  do qual vetores de amostra  $x$  são extraídos, vindos portanto com alta probabilidade de ocorrência, são mapeados em domínios mais amplos do espaço de entrada  $A$ , e portanto com melhor resolução que regiões em  $X$ , em que há vetores  $x$  com baixa probabilidade de ocorrência.”

Propriedade 4 - Seleção de Características. “Fornecidos dados de um espaço de entrada com uma distribuição não-linear, o mapa auto-organizável é apto a selecionar um grupo das principais características por aproximar a distribuição subjacente.”

Esta propriedade é a culminação das propriedades 1 a 3 e traz à tona a idéia da análise de componentes principais (*principal component analysis*, PCA). Mas com uma importante diferença. Na FIGURA 27a está exibida uma distribuição bidimensional de dados com média zero resultante de um mapeamento de processo entrada-saída linear corrompida por ruído. Nesta situação, a análise de componentes principais trabalha bem: fornece-nos a melhor descrição da distribuição “linear” por meio de uma linha reta, ou melhor, de um hiperplano unidimensional que passa pela origem e corre paralelo ao autovetor associado com o maior autovalor da matriz correlação dos dados. Porém na situação da FIGURA 27b, que é resultado do mapeamento de um processo entrada-saída não-linear corrompido por ruído de média zero, é impossível uma aproximação por linha reta computada por PCA de tal maneira que se torne aceitável como representação dos dados. Por outro lado, o SOM, construído sobre uma rede unidimensional, é apto a lidar com esta situação em virtude da sua propriedade de ordenamento topológico, como ilustrado na FIGURA 27b.

Em termos precisos, o mapa de características auto-organizável fornece uma aproximação discreta das curvas principais ou superfícies principais (no exemplo da FIGURA 27b, hipercurva unidimensional), e portando o SOM pode ser visto como uma generalização não-linear da análise de componentes principais.

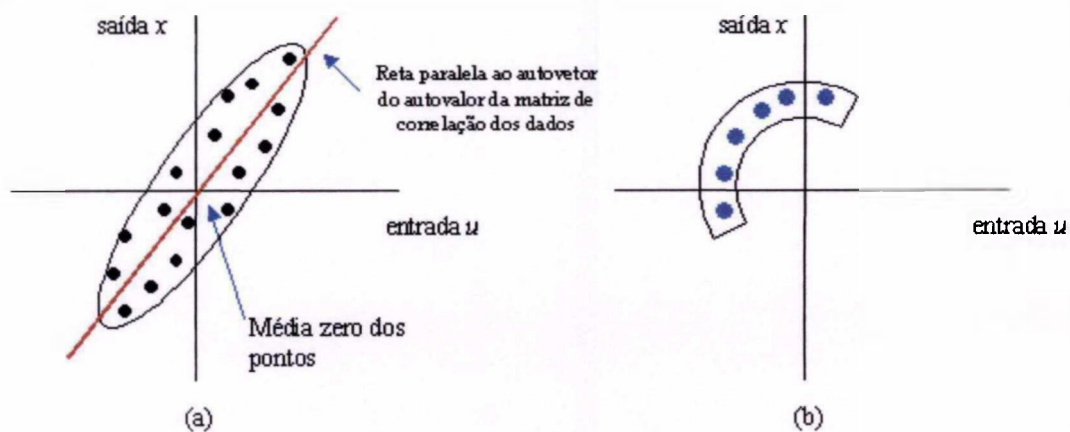


FIGURA 3.27 - (a) Distribuição bidimensional produzida por um mapeamento de processo linear entrada-saída com ruído. (b) Distribuição bidimensional produzida por um mapeamento de processo não-linear entrada-saída com ruído (pontos omitidos dentro do contorno em arco). Os círculos azuis representam os componentes dos vetores pesos  $w_j$ .

## 4 METODOLOGIA

### 4.1 Desenvolvimento da ferramenta de *software* para o SOM

#### 4.1.1 Descrição da ferramenta

A plataforma de desenvolvimento escolhida foi a Java, por ser 100% orientada a objetos, por sua versatilidade, pela escalabilidade e pela gratuidade de suas licenças (java.sun.com), além de rodar em qualquer plataforma que tenha o JVM (*Java Virtual Machine*) instalado. O critério de arquitetura para o desenvolvimento foi para utilização na Web. Especificamente, trata-se de páginas HTML (*Hypertext Mark up Language*) com formulários de envio/retorno (FIGURA 4.1) e um *applet* (FIGURA 4.2). O *applet* (*application + pellet*) é um tipo de aplicação própria para páginas Web que se caracteriza por utilizar recursos da máquina cliente, não sobrecarregando o servidor, porém seguro contra executáveis e vírus. Na necessidade de uma aplicação *on-demand*, sem dependência da máquina do cliente, o código do *applet* pode ser transportado para um servlet (*server + pellet*), controlador de páginas JSP (*Java Server Pages*).

Para não-inteiros use ponto e obrigatoriamente duas casas de precisão  
Melhor visualizado em tamanho de texto mínimo  
Quantidade Diária Contratada sempre normalizada para PCS = 9400 kcal/m<sup>3</sup>

o centro do quadrado (até a linha preta) é a origem das coordenadas

Coefficiente de quanta de espalhamento da gaussiana para a variância, sendo coeficiente  $\rightarrow$  maior "baixo" Default: 1.00

Relevância Normal Distribuição

Matriz

variáveis vetoriais

distribuição pelas variáveis

Número de entradas desejado: <input type="text" value="1800"/>	Valor inicial da taxa de aprendizagem (Entre 0.01 e 5.00) Default: 0.22	
Fator de sensibilidade para o volume (0 a 100) <input type="text" value="1"/>	Fator de sensibilidade para o ganho relativo superior (PCD) <input type="text" value="50"/>	
Número de iterações para auto-organização: <input type="text" value="1500"/>	Número de iterações para convergência. ATENÇÃO: Número alto de iterações pode levar de horas a dias! <input type="text" value="500"/>	Variância inicial em número de unidades neurais ou células Default: 54

FIGURA 4.1 - Página Web em HTML com formulário para preenchimento de parâmetros para o SOM.

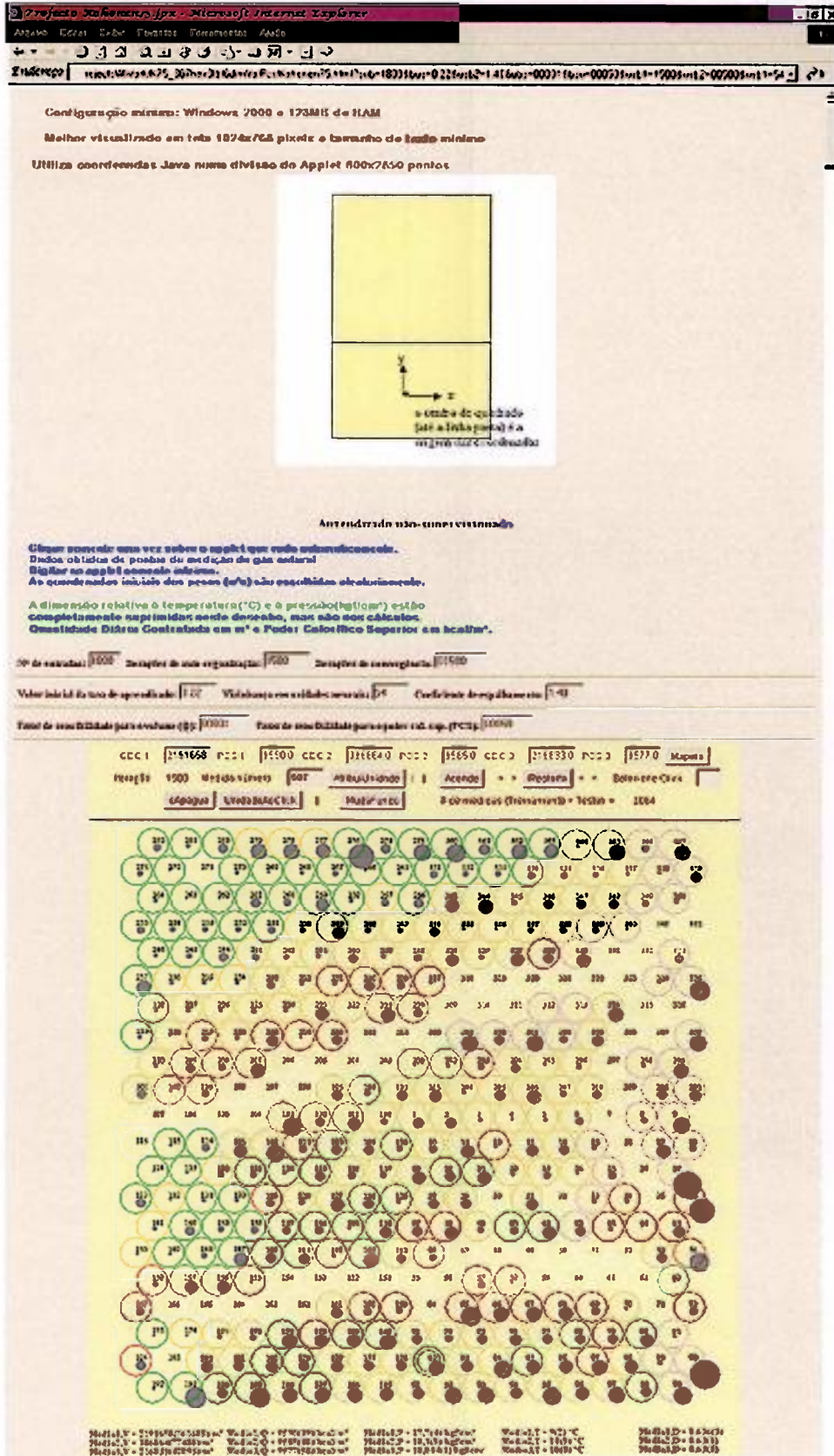


FIGURA 4.2 – Página Web contendo o applet do SOM (em amarelo). Está exibida a parte superior e central do applet, que possui grande comprimento, para as diversas visões necessárias ao usuário.

O design do *applet* para esta adaptação do SOM possui na sua parte mais inferior (FIGURA 4.3) a plotagem dos vetores dados de entrada, símbolo “ $x$  + número seqüencial da entrada”. Esta plotagem considera até quatro dimensões ( $x$ ,  $y$ ,  $a$  e  $b$ ) do vetor de entrada – as mais relevantes para o negócio – sendo as coordenadas  $x$ ,  $y$  no plano do *applet* e, sobre estas coordenadas, é construído o desenho de uma elipse com parâmetros  $a$  e  $b$  - semi-eixo maior e semi-eixo menor. Por exemplo, no caso de transporte de gás natural, como se verá em detalhes mais adiante, a coordenada  $x$  será o *label* (índice de distância geográfica) do ponto de medição, a coordenada  $y$  será o volume entregue deste ponto de medição, o semi-eixo maior, o poder calorífico e o semi-eixo menor, a densidade relativa. Os pesos, simbolizados por “@ + número da unidade”, seguem estas mesmas coordenadas. Os pesos iniciais, gerados aleatoriamente, são plotados utilizando-se o símbolo “O + número da unidade”, permanecendo durante toda a simulação.

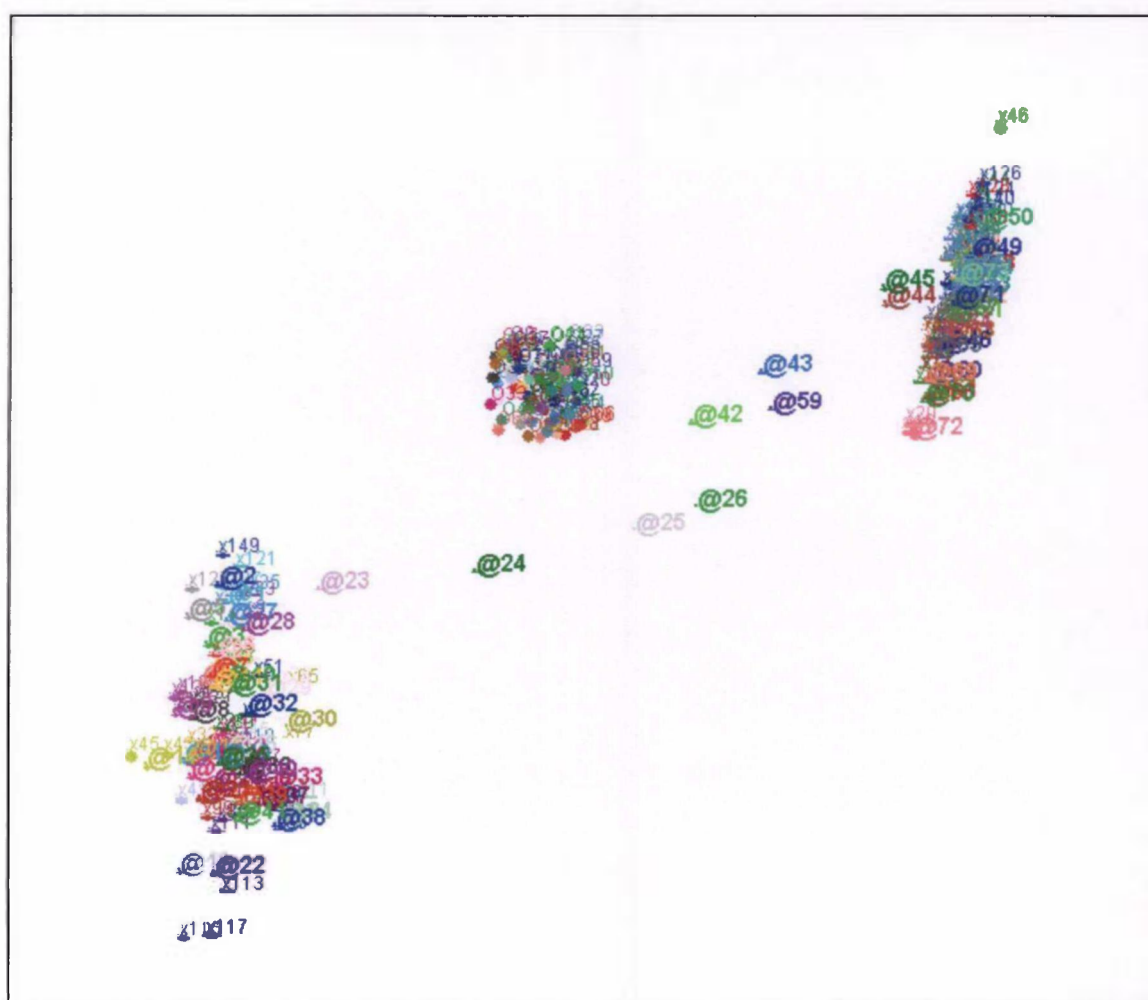


FIGURA 4.3 - A parte mais inferior do *applet*, que realiza a plotagem das entradas ( $x$ ) e dos pesos (@). Os pesos iniciais também ficam registrados (O). A cor de fundo (*background*) é escolhida pelo usuário.

Na parte da tela imediatamente acima (FIGURA 4.4) é exibida uma relação com as coordenadas dos pesos, atualizadas dinamicamente. Na FIGURA 4.4, os valores das coordenadas estão normalizados entre  $-35$  e  $+35$ , facilitando a visualização pelo usuário de suas posições relativas. Logo ao lado das coordenadas, é impressa a proporção do número de entradas atribuída à unidade neural correspondente, ou seja, para quantas entradas a unidade é vencedora.

Seguindo para cima no *applet*, aparecem as linhas de média e desvio padrão de cada componente do vetor de entrada para as amostras de treinamento (FIGURA 4.5), excetuando a componente *label*, que será representada por um índice indicando o ponto ou local de medição. Para uma quantidade muito grande de componentes, como no caso de transientes de reatores nucleares, somente a média e o desvio padrão dos cinco primeiros componentes são impressos. O valor do desvio padrão é colocado entre parênteses e se refere ao último algarismo da média.

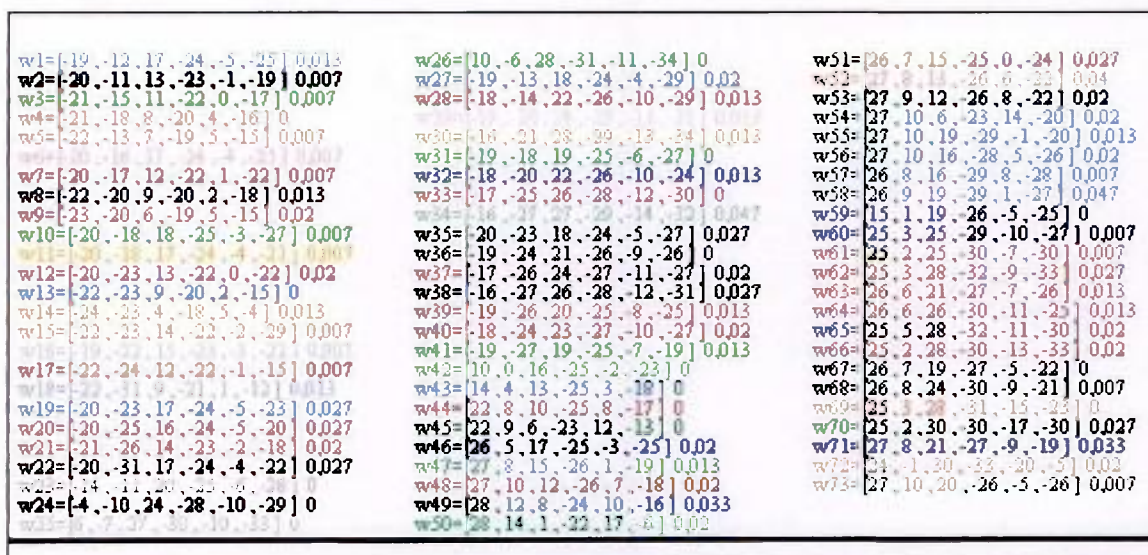


FIGURA 4.4 - Coordenadas normalizadas de cada peso da rede neural. Ao lado de cada conjunto de coordenada, há a proporção do número de entradas atribuído à unidade neural.

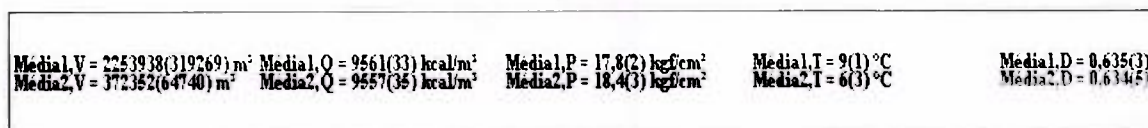


FIGURA 4.5 - Impressão no applet das médias e desvios padrão dos componentes do vetor entrada, para o conjunto de entradas de treinamento. Os índices 1 e 2 referem-se a diferentes locais de medição.

A seguir vem a topologia da rede neural. A FIGURA 4.6 mostra o resultado final do processamento. Cada unidade neural está representada por um círculo vazio. Os círculos cheios no centro de cada unidade dão a noção de quantidade de entradas atribuída, uma alternativa visual às proporções mencionadas na FIGURA 4.4. As cores dos círculos vazios correspondem à classificação da unidade baseado na classificação da entrada que está mais próxima do peso desta unidade. A classificação da entrada pode ser feita *a priori* como no caso de transientes, ou seja, um vetor vem indicado com um *label* conforme a operação for estacionária, *step*, degrau, ou anomalia. Ou a classificação da entrada pode ser feita *a posteriori* como no caso da logística, em que a classificação é baseada nas distâncias às médias de alguns componentes, ou, no lugar das médias, são inseridos valores de contrato ou ainda valores referenciais de segurança. Estes valores são inseridos, para este sistema de *software*, em campos mencionados na FIGURA 4.7.

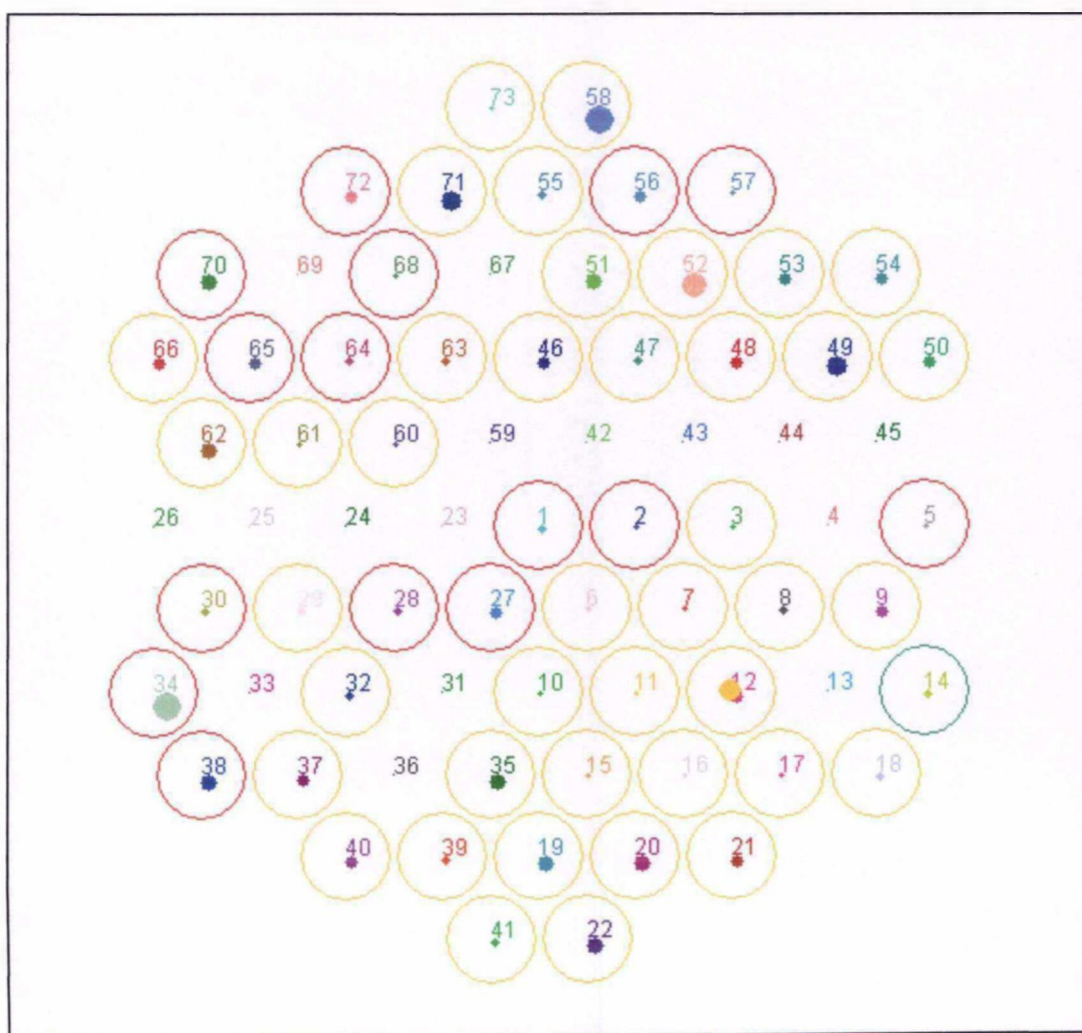


FIGURA 4.6- Exemplo de resultado de processamento de um mapa auto-organizável para camada de saída com topologia bidimensional plana hexagonal. As cores dos círculos vazios correspondem à classificação.

Círculo branco significa que a unidade não foi atribuída a nenhuma entrada. Círculo vazio verde significa qualidade acima das expectativas ou operação boa. Círculo vazio amarelo é classificação para qualidade normal ou operação regular. Círculo vermelho é para qualidade abaixo de patamares exigidos ou operação irregular. “Qualidade” aqui se refere à logística e significa qualidade de entrega e qualidade do produto. No exemplo da FIGURA 4.6, o círculo cheio amarelo sobre a unidade 12 é piscante, significando que uma entrada de teste foi atribuída a esta unidade neural, no caso, a entrada número 151, que está indicada na FIGURA 4.7.

A aplicação *applet* possui alguns botões. Entre os principais está o botão “Mapeia” que classifica cada unidade tomando como referência os valores inseridos nos campos antecedentes. Por *default*, ao acionar o treinamento com um clique sobre o *applet*, são inseridas as médias dos componentes especificados no nome de cada campo. No exemplo da FIGURA 4.7, os componentes de referência para classificação são quantidade diária contratada (QDC) e poder calorífico superior (PCS), isso para cada ponto de medição (índices 1 e 2, correspondente a *label* de menor valor e *label* de maior valor respectivamente). O botão “AtribuiUnidade” atribui uma unidade neural ao número seqüencial de entrada, que pode ser tanto uma entrada de treinamento ou uma entrada de teste. A unidade atribuída fica então piscando. Esta seqüência de entradas é obtida de banco de dados corporativo mediante aplicativo auxiliar em Java, com o qual é possível inserir o intervalo de tempo e os pontos de medição desejáveis. Apertando mais uma vez o botão “AtribuiUnidade”, a unidade pára de piscar. O botão “Acende” preenche os círculos vazios com a mesma cor do contorno, para melhor visualização da classificação. Apertando mais uma vez este botão os círculos voltam a ficarem vazios. O botão “Restarta” esvazia o *applet* dos dados e resultados, deixando pronto para um novo treinamento, utilizando os mesmos parâmetros do formulário da página inicial (FIGURA 4.1). O botão “MudaFundo” troca a cor de fundo do *applet*, a cada acionamento a cor é cíclica: branca, preta e amarela.

No início da página em que está o *applet*, são impressos os parâmetros escolhidos na página anterior de abertura, os principais são:

- 1) quantidade de entradas de treinamento;
- 2) valor inicial da taxa de aprendizado; e
- 3) coeficiente de espalhamento da função de vizinhança (FIGURA 4.7).

O denominador de decréscimo caiu em desuso em versões posteriores por uso dos denominadores de decréscimo  $\tau_1$  e  $\tau_2$  descritos na seção 3.2.2.3.

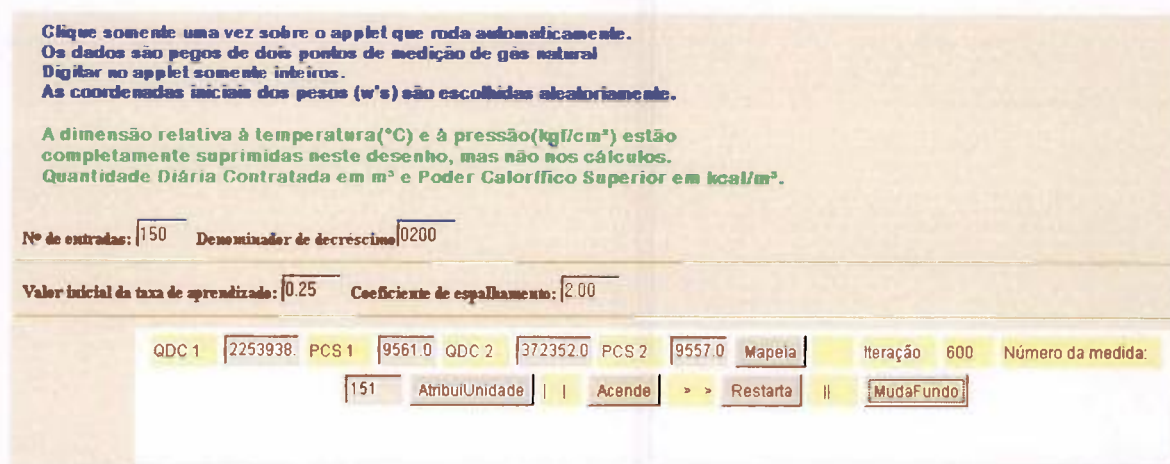


FIGURA 4.7 - Parte superior da página e do applet para o SOM.

Junto aos botões é exibido qual o número corrente da iteração ou época, ou seja, o número de quantas vezes se passou pelo conjunto de treinamento. O treinamento está terminado quando se atinge o número de iteração escolhido na página de início. Outra maneira de saber que o treinamento chegou ao fim é quando o *applet* adquire um suave piscar de frequência constante.

#### 4.1.2 Arquitetura do software

A arquitetura das aplicações Web (FIGURA 4.8) é uma variação da antiga arquitetura cliente-servidor, introduzindo-se mais uma camada. A camada cliente é constituída pelo navegador Web (*browser*), a camada intermediária (*middleware*) se subdivide entre a camada Web (camada na qual residem páginas Web que fazem solicitações via HTTP) e a camada de aplicação. Para o sistema deste trabalho, reside na camada de aplicação uma rotina Java de consulta que fornece um arquivo texto dos dados de entrada para treinamento e teste do mapa auto-organizável. Tal rotina pode ser colocada como serviço em um servidor de aplicações, rodando em intervalos programados. Como toda aplicação multicamadas, cada camada pode ser distribuída ou desdobrada (*deployment*) em servidores separados ou mesmo funcionar tudo num único servidor (FIGURA 4.9). Esta arquitetura multicamadas, juntamente com a plataforma Java, facilita a distribuição e utilização da ferramenta, não necessitando de instalação máquina a máquina do usuário e tornando-a virtualmente independente de sistema operacional e *hardware*.

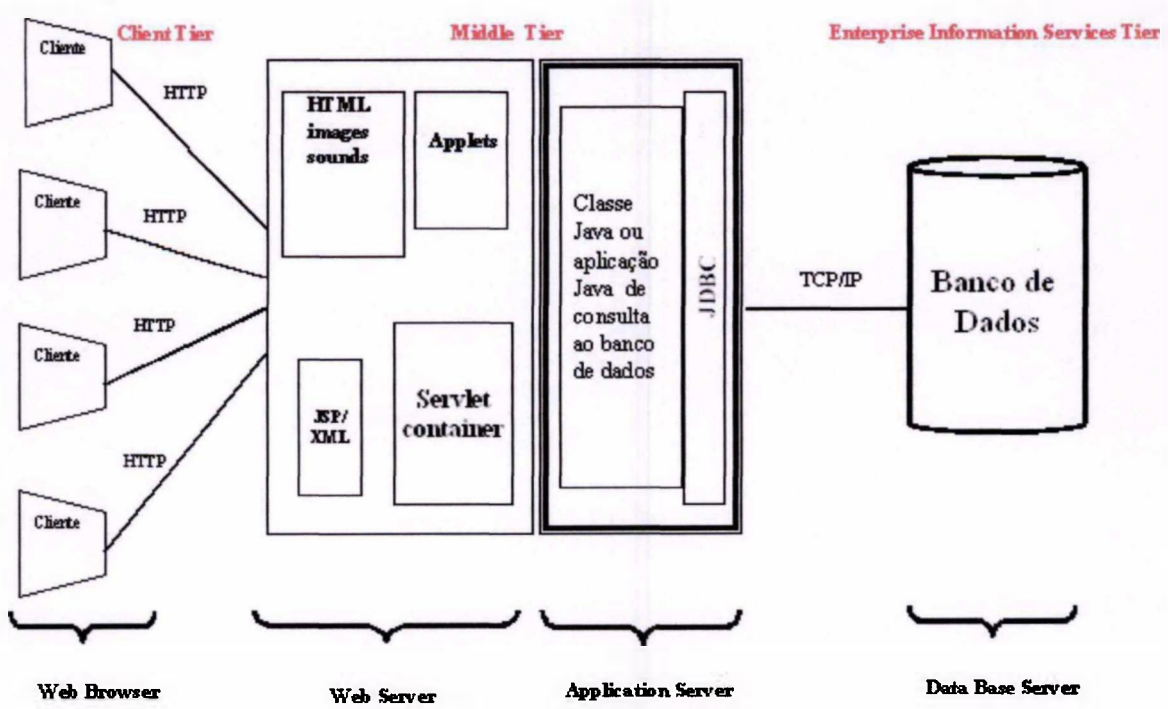


FIGURA 4.8 - Arquitetura do sistema.

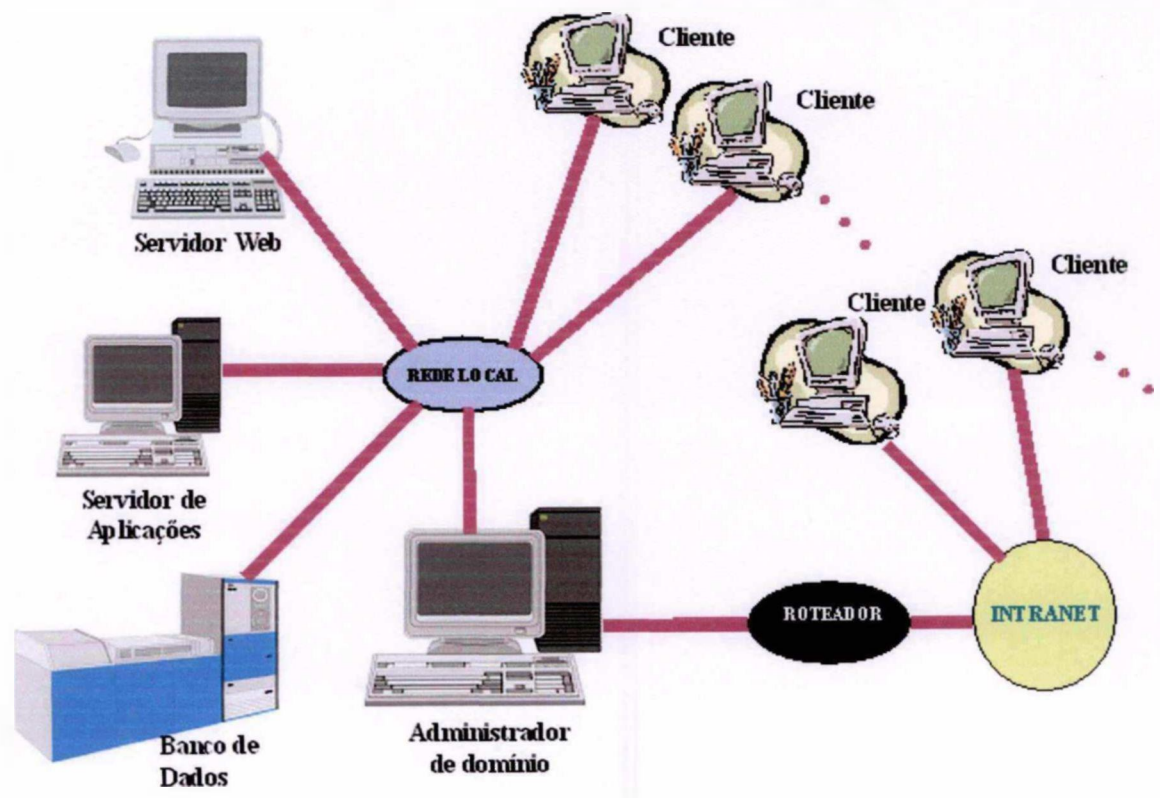


FIGURA 4.9 - Distribuição (deployment) de uma arquitetura de sistema multicamadas.

### 4.1.3 Recursos

O *hardware* para desenvolvimento do *software* foi um microcomputador com sistema operacional Microsoft Windows 2000, 512 MB de RAM e CPU da família x86 Intel com 1GHz de processamento.

O ambiente para desenvolvimento de aplicações Java 2 foi o J2SE SDK versão 1.4.1\_06 (<http://java.sun.com/j2se/1.4.1/download.html>), que inclui o JRE, máquina virtual para executar aplicações Java.

O navegador (*browser*) utilizado foi preponderantemente o Internet Explorer versão 6.0, porém o Netscape 6 e o FireFox 1.0 também foram utilizados.

## 4.2 Procedimentos de aquisição e tratamento dos dados de entrada

### 4.2.1 Dados das condições de operação de reatores nucleares

#### 4.2.1.1 Reator IRIS

IRIS (*International Reactor Innovative and Secure*) é um esforço de cooperação internacional para projetar um sistema de energia nuclear para atingir metas desafiadoras de segurança e de vantagens econômicas (Carelli *et al.*, 2001). Consiste em módulos de reator a água leve integrado com o circuito primário. Uma planta nuclear seria capaz de possuir até três módulos, cada um projetado para gerar 335 MWe. Detalhes técnicos mais apurados estão em Carelli *et al.*, 2000 e em Petrovic *et al.*, 2000. A sua configuração integral facilita a abordagem “segurança intrínseca ao projeto” (*safety-by-design*) que essencialmente é a eliminação física da ocorrência de alguns acidentes e a diminuição da probabilidade da ocorrência de outros acidentes, e caso ocorram, diminui as conseqüências.

A segurança intrínseca ao projeto e as barreiras de segurança recomendadas pelo princípio da defesa em profundidade podem vir a eliminar acidentes e atenuar muitas conseqüências de falhas mecânicas, elétricas e humanas, mas, para produzir uma planta realmente confiável, são necessárias ferramentas modernas que ofereçam informações relevantes com usabilidade para a equipe de operação.

O vaso integrado do IRIS possui uma geometria cilíndrica com altura de 21 m e diâmetro interno de 6,8 m, fechado na parte inferior por uma calota soldada e na parte superior por um flange removível em forma de hemisfério. Este vaso abriga o núcleo do reator, os mecanismos de controle, as barras de controle, as estruturas de suporte (para o

núcleo do reator e para as varetas de combustível e barras de controle), o pressurizador, oito geradores de vapor, blindagens internas, aquecedores e oito bombas para resfriamento do reator (FIGURA 4.10). Em operação, a temperatura e a pressão médias são de aproximadamente 305°C e 15,5 MPa respectivamente. Entre o flange e o núcleo, localizam-se as aberturas de entrada e saída do fluido refrigerante (água leve pressurizada). O vaso é construído em aço-carbono (AS 533 *grade B plate* ou AS 508 *class 2* ou *class 3*), revestido com uma camada de aço inoxidável. A estrutura que sustenta o vaso é constituída de aço montada sob uma segunda estrutura de concreto.

O núcleo do reator se localiza na parte inferior do vaso. A sustentação interna do núcleo é constituída por duas partes fundamentais: suporte inferior (inclui a blindagem térmica) e o suporte para instrumentação *incore*. Conforme mostrado na FIGURA 4.10, existe uma abertura em forma de anel entre a parede interna do vaso e o núcleo do reator – o canal externo – por onde a água do circuito primário desce através de bombeamento, cedendo calor para os tubos helicoidais do circuito secundário. A água do circuito primário após esta troca possui uma temperatura de 290°C e, após passar pelo canal de descida, segue caminho subindo através do núcleo do reator, atingindo na parte superior temperatura de 328°C. A água é mantida a uma pressão entre 14,2 – 16,3 MPa.

Alguns parâmetros típicos do núcleo do reator do IRIS são:

- Núcleo:  $h = 4,3$  m e  $d = 2,4$  m; superfície de transferência de calor = 2992 m<sup>2</sup>;
- Combustível: 48,5 tU, UO<sub>2</sub>;
- 89 a 264 varetas combustíveis numa grade 17x17 (4,95% U<sup>235</sup> – duração ~48 meses);
- *Burn up*<sup>6</sup>  $\approx 55 - 60$  MWday(*thermal*)/kgU;
- Encamisamento: Zirlo<sup>7</sup>, espessura = 0,57 mm;
- Vareta:  $d_{\text{ext}} = 9,5$  mm;
- Veneno queimável: IFBA<sup>8</sup> e Er;
- Absorvedor: Ag-In-Cd; e
- Controlador químico H<sub>3</sub>BO<sub>3</sub>.

<sup>6</sup> Taxa de irradiação (ou “queima”) do combustível nuclear, expressa em energia térmica produzida por unidade de massa inicial do combustível.

<sup>7</sup> ZIRLO™, liga metálica cuja referência é Zr – 1%Nb – 1%Sn – 0,1%Fe.

<sup>8</sup> IFBA, *Zirconium Diboride* (ZrB<sub>2</sub>, enriquecido com <sup>10</sup>B) *Integral Fuel Burnable Absorber*.

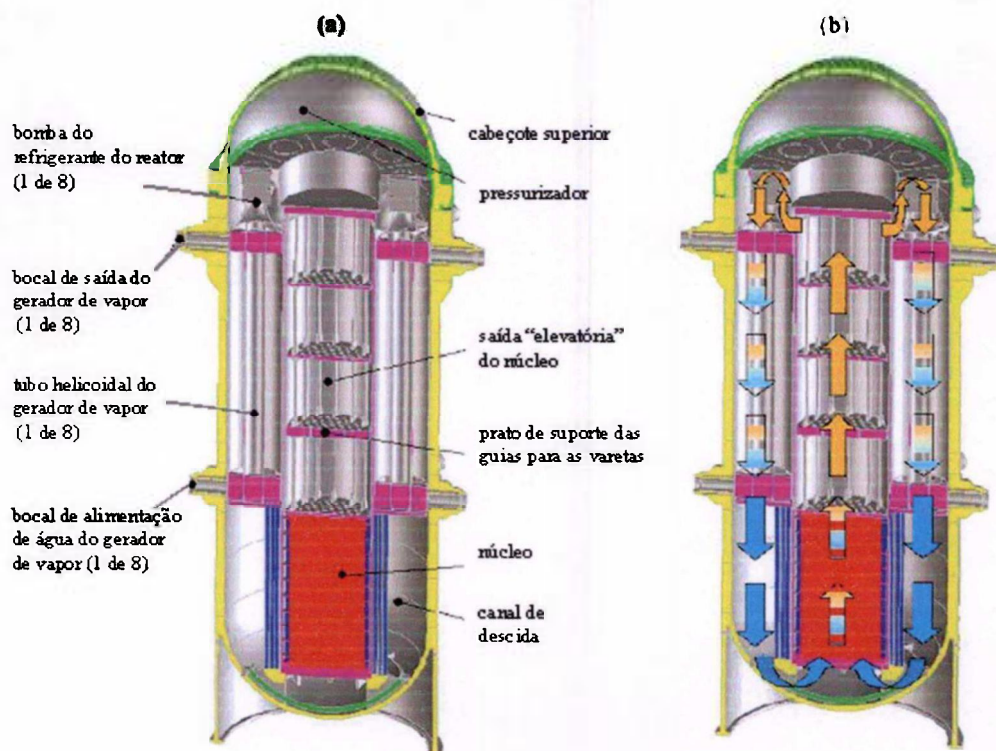


FIGURA 4.10 - (a) Descrição do vaso integrado do IRIS. (b) Fluxo do refrigerante (coolant).

Um reator nuclear está sujeito a diferentes tipos de transientes. Alguns deles serão aqui considerados:

- a. Subida constante da potência a 5% da potência nominal por minuto;
- b. Descida constante da potência a 5% da potência nominal por minuto;
- c. Descida da potência em degraus de 10% da potência nominal;
- d. Subida da potência em degraus de 10% da potência nominal;
- e. Desarme da turbina;
- f. SCRAM<sup>9</sup>;
- g. Abertura inadvertida da válvula de alívio;
- h. Descida da potência em degrau negativo de 70% a partir da plena potência; e
- i. Acidente de pequena perda de refrigerante (*small LOCA*<sup>10</sup>).

<sup>9</sup> *Safety Control Rod Axe Man*, termo advindo do Chicago Pile, primeiro reator nuclear do mundo, em suma é o desarme do reator.

<sup>10</sup> *Loss of Coolant Accident*.

A FIGURA 4.11 ilustra a resposta de temperatura durante um SCRAM a partir da plena potência. Junto com estes transientes, o conjunto de dados de treinamento contém muitos padrões de condições estacionárias, de 20 a 110% da potência nominal.

É importante observar que a resposta do reator para cada um destes transientes depende do sistema de controle. Quando a arquitetura de controle e os parâmetros não são otimizados, modelos simplificados são suficientes para prover dados básicos a fim de caracterizar o comportamento do IRIS. Em Barroso *et al.*, 2003, há a descrição das ferramentas simplificadas que produziram os dados utilizados neste trabalho.

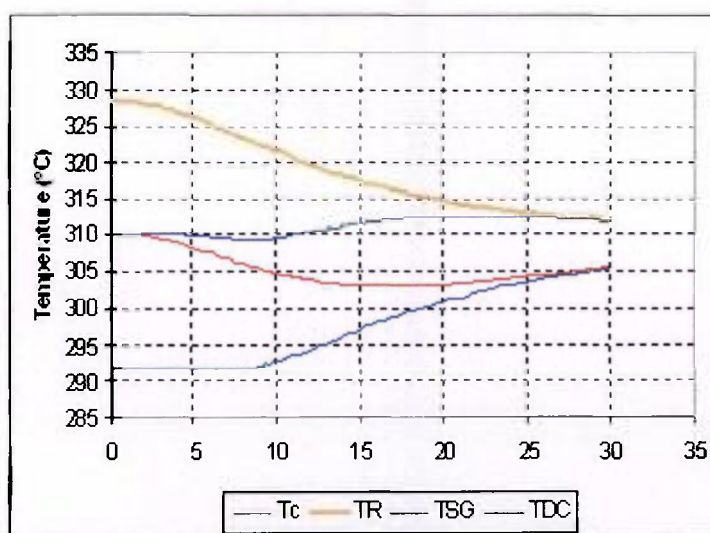
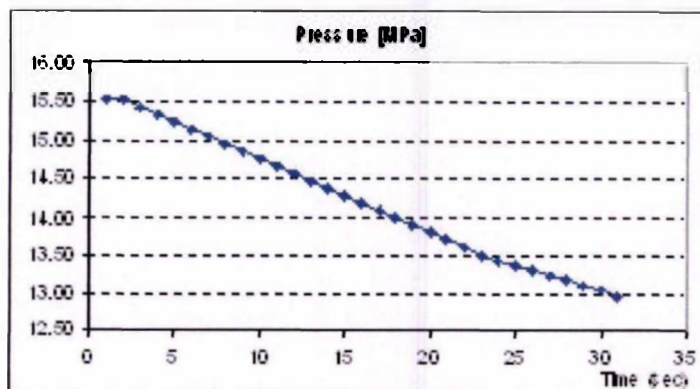
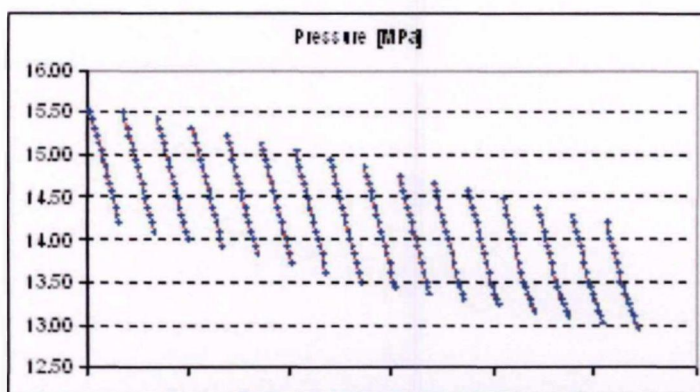


FIGURA 4.11 - Resposta de temperatura para SCRAM. Onde  $T_C$  é temperatura do refrigerante,  $T_R$  é temperatura do reator,  $T_{SG}$  é temperatura no gerador de vapor e  $T_{DC}$  temperatura no canal de descida.

O sistema para identificação de transientes do IRIS trabalha com a idéia de que algumas variáveis são capazes de caracterizar um tipo de transiente. Essas variáveis são: a potência do reator, a potência do gerador de vapor, a pressão do pressurizador, o nível de água e a temperatura em diferentes pontos como citado na FIGURA 4.11. São adquiridos os valores máximos e mínimos de cada variável em cada condição, resultando numa entrada de 16 dimensões, ou equivalentemente, em 16 unidades na camada de entrada para o SOM. Por outro lado, o simulador tem um buffer para coletar dados por alguns segundos de cada uma das principais variáveis, que formarão um espectro que será a entrada para o SOM. Por exemplo, a variação de pressão durante um acidente com pequena perda de refrigerante é traduzida para pacotes de 16 segundos. Cada pacote contém informação de 16 segundos de tempo transiente e a diferença de chegada entre pacotes é de 1 segundo (FIGURA 4.12).



(a)



(b)

FIGURA 4.12 - Variação de pressão (a) e conteúdo para um buffer de 16 s (b) para LOCA.

Em trabalho anterior de Baptista e Barroso, 2003, os dados eram normalizados somente com respeito a cada valor de variável. Na nova versão, a normalização é do conteúdo do buffer. Trabalhou-se principalmente com uma camada de saída de rede hexagonal, no modo não-supervisionado, por 1000 épocas ou iterações para ordenamento e mais 8000 épocas para convergência. O objetivo foi verificar a habilidade da ferramenta em fazer a distinção clara entre quatro tipos de condição de operação: estado estacionário, transiente em rampa, transiente em degrau e evento anormal ou acidental. A TABELA 4.1, de transientes normais, e a TABELA 4.2, de transientes anormais, listam os pacotes de dados para diversos transientes usados no treinamento da rede.

TABELA 4.1 - Lista de transientes - transientes normais. As percentagens se referem à potência nominal.

Seqüencial	Operação
1	20% em estado estacionário
2	25% em estado estacionário
3	30% em estado estacionário
4	35% em estado estacionário
5	40% em estado estacionário
6	45% em estado estacionário
7	50% em estado estacionário
8	55% em estado estacionário
9	60% em estado estacionário
10	65% em estado estacionário
11	70% em estado estacionário
12	75% em estado estacionário
13	80% em estado estacionário
14	85% em estado estacionário
15	90% em estado estacionário
16	95% em estado estacionário
17	100% em estado estacionário
18	105% em estado estacionário
19	110% em estado estacionário
20	25% em rampa +5%/min
21	30% em rampa +5%/min
22	40% em rampa +5%/min
23	50% em rampa +5%/min
24	60% em rampa +5%/min
25	70% em rampa +5%/min
26	80% em rampa +5%/min
27	90% em rampa +5%/min
28	100% em rampa -5%/min
29	90% em rampa -5%/min
30	80% em rampa -5%/min
31	70% em rampa -5%/min
32	60% em rampa -5%/min
33	50% em rampa -5%/min
34	40% em rampa -5%/min
35	30% em rampa -5%/min
36	100% → degrau -10%/min
37	90% → degrau -10%
38	80% → degrau -10%
39	70% → degrau -10%
40	60% → degrau -10%
41	50% → degrau -10%
42	40% → degrau -10%
43	30% → degrau -10%
44	20% → degrau +10%
45	30% → degrau +10%
46	40% → degrau +10%
47	50% → degrau +10%
48	60% → degrau +10%
49	70% → degrau +10%
50	80% → degrau +10%
51	90% → degrau +10%

TABELA 4.2 - Lista de transientes - transientes anormais. As percentagens se referem à potência nominal.

Seqüencial	Operação
52	100% → desarme da turbina
53	100% → SCRAM
54	100% → abertura inadvertida da válvula alívio
55	100% → degrau -70%
56	100% → <i>small</i> LOCA

#### 4.2.1.2 Reator de Angra 2

Os dados de treinamento para identificação de transientes do reator de Angra 2 foram adquiridos de Baptista, 2002, artigo de redes neurais artificiais aplicadas à engenharia nuclear. Os resultados de classificação para Angra 2 que serão apresentados no próximo capítulo também foram comparados com os obtidos de Baptista, 2002. Na TABELA 4.3 estão listadas as condições de operação analisadas e na TABELA 4.4 as medições para cada operação.

TABELA 4.3 - Lista de condições de operação para a análise de transientes de Angra com os respectivos índices numéricos.

	Condição de operação	Índice
NORMAIS	Varição de potência, degraus de +10%	1
	Varição de potência, degraus de -10%	2
	Rampa, 100 a 40%, 10%/min	3
	Rampa, 40 a 100%, 10%/min	4
ANORMAIS	Desligamento do reator (trip)	5
	Desligamento da turbina (trip)	6
	Fechamento inadvertido de 1 válvula de vapor	7
	Fechamento inadvertido de 4 válvulas de vapor	8
	Perda parcial de vazão (referente a 1 bomba)	9
FALHA EMERGÊNCIA	Falha de todas as bombas	10
	Trip da turbina sem desvio de vapor	11
	Falha de tubos do gerador de vapor	12
	Pequena LOCA	13
	Pequena ruptura da tubulação de vapor	14
FALHA	Grande LOCA	15

TABELA 4.4 - Lista das variáveis de Angra e seus valores para dados de treinamento. Os índices correspondem às condições de operação explicitadas na TABELA 4.3.

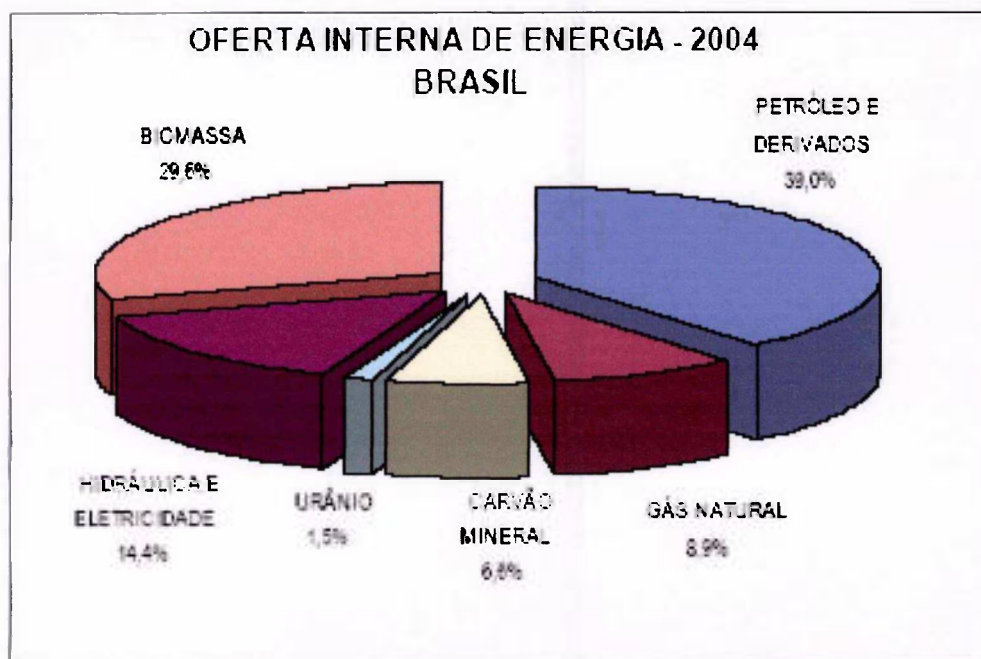
Índice	P <sub>PR</sub> (+)	P <sub>PR</sub> (-)	L <sub>PZ</sub> (+)	L <sub>PZ</sub> (-)	T <sub>TR</sub> (+)	T <sub>TR</sub> (-)	Q <sub>RR</sub> (+)	Q <sub>RR</sub> (-)	W <sub>S</sub> (+)	W <sub>S</sub> (-)	P <sub>S</sub> (+)	P <sub>S</sub> (-)	W <sub>PR</sub> (+)	W <sub>PR</sub> (-)	R <sub>C</sub>	P <sub>C</sub>	Label
1	0.000	0.020	0.013	0.040	0.006	0.003	0.144	0.000	0.111	0.000	0.000	0.059	0.000	0.000	0.000	0.000	1
2	0.020	0.010	0.040	0.013	0.003	0.006	0.000	0.130	0.000	0.100	0.046	0.000	0.000	0.000	0.000	0.000	1
3	0.020	0.020	0.013	0.013	0.000	0.043	0.000	0.600	0.000	0.600	0.177	0.000	0.000	0.000	0.000	0.000	1
4	0.020	0.020	0.013	0.013	0.045	0.000	1.500	0.000	1.500	0.000	0.000	0.200	0.000	0.000	0.000	0.000	1
5	0.000	0.063	0.000	0.280	0.000	0.086	0.000	0.950	0.000	0.950	0.250	0.000	0.000	0.000	0.000	0.000	2
6	0.025	0.032	0.013	0.120	0.000	0.049	0.000	0.700	0.000	0.700	0.300	0.000	0.000	0.000	0.000	0.000	2
7	0.013	0.050	0.013	0.400	0.000	0.091	0.000	0.950	0.020	1.000	0.250	0.000	0.000	0.000	0.000	0.000	2
8	0.063	0.100	0.093	0.410	0.000	0.101	0.000	0.950	0.100	0.980	0.375	0.000	0.000	0.000	0.000	0.000	2
9	0.025	0.038	0.000	0.160	0.006	0.028	0.000	0.500	0.000	0.450	0.170	0.000	0.000	0.340	0.000	0.000	2
10	0.025	0.032	0.013	0.120	0.006	0.049	0.000	0.950	0.000	1.000	0.375	0.000	0.000	0.950	0.000	0.000	3
11	0.070	0.101	0.093	0.410	0.000	0.101	0.000	0.950	0.100	0.980	0.375	0.000	0.000	0.000	0.000	0.000	3
12	0.000	0.519	0.650	0.493	0.000	0.117	0.000	0.950	0.100	1.000	0.203	0.047	0.000	0.000	0.000	0.000	3
13	0.000	0.524	0.000	0.900	0.000	0.210	0.000	0.950	0.000	1.000	0.000	0.250	0.000	0.950	0.100	0.100	3
14	0.000	0.175	0.000	0.450	0.000	0.160	0.000	0.950	0.000	1.000	0.000	0.280	0.000	0.000	0.000	0.100	3
15	0.000	0.974	0.000	1.000	0.000	0.828	0.000	0.950	0.000	1.000	0.000	0.747	0.000	1.000	1.000	4.000	4

#### 4.2.2 Dados da logística do gás natural

No Brasil, o negócio gás natural ainda enfrenta dificuldades na escolha e no uso de métodos nas centrais de supervisão da logística (controle do fluxo para recebimento/entrega e qualidade do produto). Em parte a causa é a falta de automação total ou parcial para a coleta remota de dados. Progressivamente esta deficiência está sendo sanada, mas enquanto em alguns sistemas ou subsistemas de gasodutos a automação está instalada e homologada, em outros, nem sequer há previsão, como muitos trechos do Nordeste e a malha de dutos do Espírito Santo.

Outra causa da dificuldade na supervisão é a falta de ferramentas eficientes e rápidas para diagnóstico de sistema e auxílio na tomada de decisão, que tenham boa usabilidade e escalabilidade.

O uso do gás natural já tem participação importante na matriz energética brasileira (FIGURA 4.13) e se busca a sua utilização principalmente nas indústrias e termelétricas para substituição gradual do óleo combustível, uma vez que o gás natural é menos poluente. Também existe o incentivo de uso para o consumidor menor, como padarias e residências interioranas, para que se substitua o carvão vegetal, diminuindo a necessidade de desmatamento ou o plantio de árvores não nativas. Para essas e muitas outras utilizações, é necessário que a malha de gasodutos brasileira cresça muito mais.



*FIGURA 4.13 – Oferta Interna de Energia no Brasil, ano-base 2004. A Oferta Interna de Energia – OIE representa a energia que se disponibiliza para ser transformada (refinarias, carvoarias, termelétricas etc.), distribuída e consumida nos processos produtivos do País. O total do consumo final nos setores econômicos mais o que foi perdido na distribuição, armazenagem e processos de transformação é igual à OIE. Fonte: MME.*

Grandes investimentos em construção e expansão de sistemas de gasodutos estão sendo realizados, que acrescentará mais 4160 km de gasodutos aos 5407 km existentes, como o Sistema GASENE (Gasoduto Sudeste-Nordeste), que fará a interligação entre os Sistemas Sudeste, Espírito Santo e Nordeste. Na região norte, o Gasoduto Coari-Manaus levará o gás de Urucu à capital do Amazonas, visando principalmente a geração de energia elétrica e consumo veicular. A malha Sudeste ganhará reforços com mais três gasodutos, que serão o Gasoduto Campinas-Rio, uma ramificação do GASBEL para São Carlos, que liga Rio de Janeiro a Belo Horizonte, e uma ramificação do GASAN para Itu, que liga Mauá a Santos. A malha Nordeste será ampliada priorizando o interior dos estados de Alagoas, Pernambuco, Paraíba e Rio Grande do Norte. A região Sul terá a construção do Gasoduto Cruzeiro do Sul, ligando Porto Alegre a Montevidéu, se interligando com o GASBOL (Gasoduto Brasil-Bolívia), sem mencionar o trecho Porto Alegre – Uruguaiana já em construção. Atualmente, o consumo nacional de gás natural é de 49 milhões m<sup>3</sup>/dia, sendo 23 milhões m<sup>3</sup>/dia importado (FIGURA 4.14).

A projeção de consumo do gás natural para 2010 é de 100 milhões de m<sup>3</sup>/dia, implicando na participação de 15% na matriz energética brasileira. As origens do gás natural são a importação da Bolívia, as imensas reservas litorâneas brasileiras (FIGURA 4.15) e as reservas em terras brasileiras (43% da origem nacional), principalmente nos estados do Amazonas (quase 50% da produção terrestre), Bahia, Alagoas e Espírito Santo.

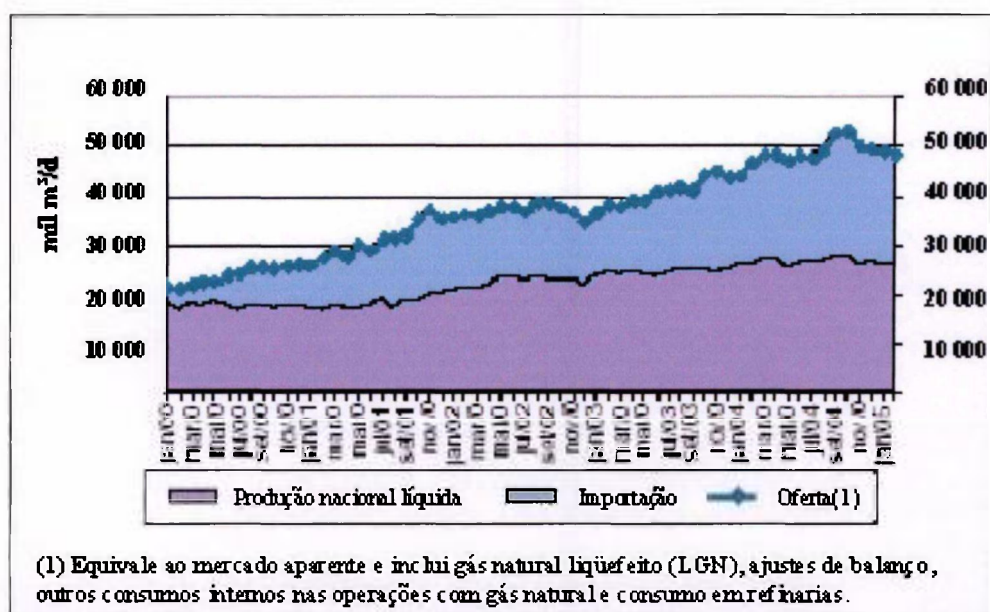


FIGURA 4.14 - Composição de oferta de gás natural – jan/2000 a fev/2005. Fontes: ANP/SCM; ANP/SDP.

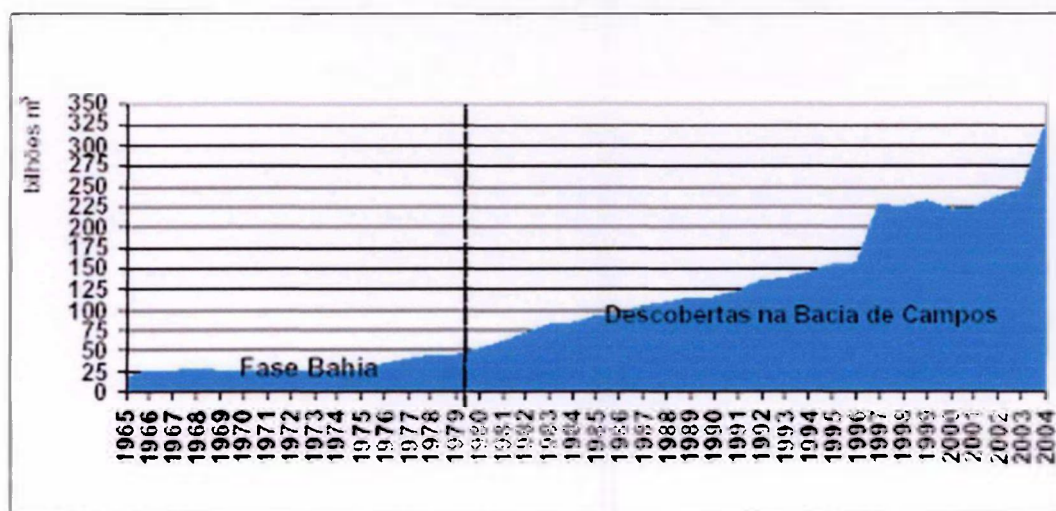


FIGURA 4.15 - Reservas provadas de gás natural no Brasil – 1965-2004. Fontes: ANP/SDP; MME.

#### 4.2.2.1 Os sistemas de gasodutos

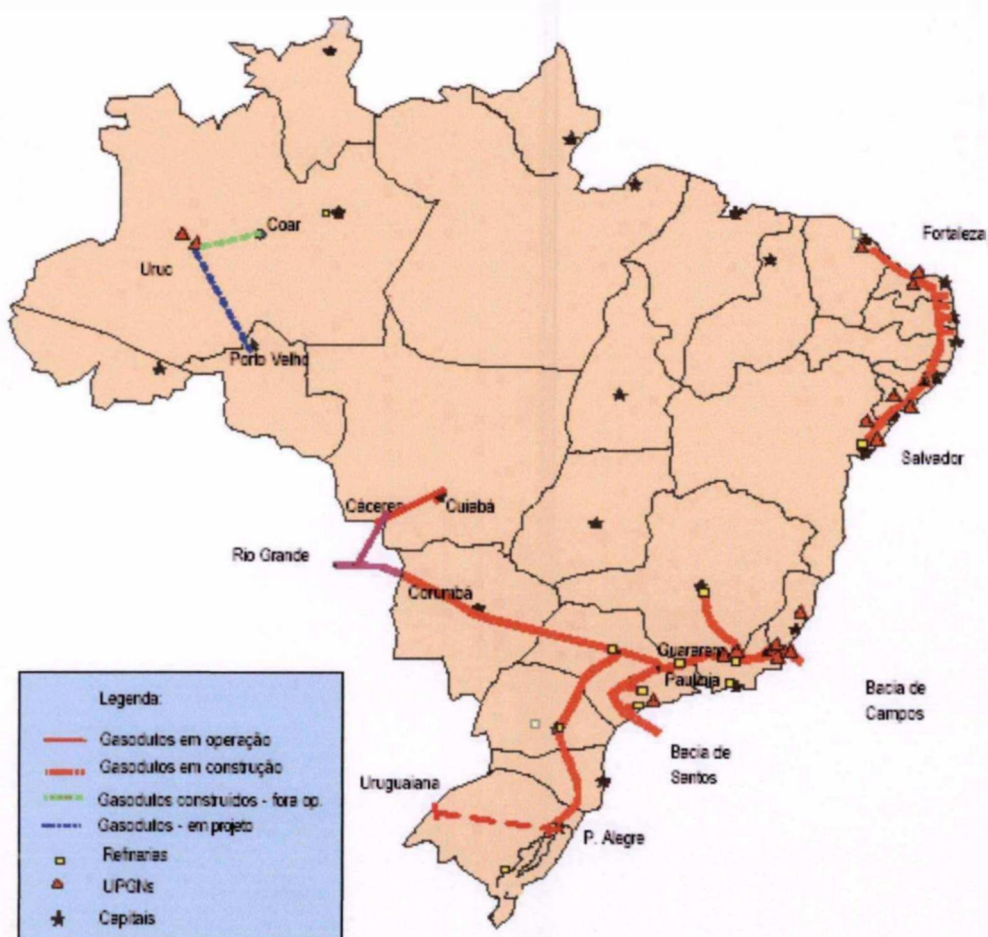


FIGURA 4.16 - Infra-estrutura brasileira de transporte de gás natural. Fonte: ANP.

Um gasoduto possui estações de entrega ou transferência de gás genericamente chamadas de “pontos de medição” cujos atributos principais são seus medidores, seu correspondente local de coleta de amostras, o destino do gás, a origem do gás, a natureza da operação (transferência, gás natural veicular, unidade de produção de hidrogênio etc.) e o órgão responsável pelas medições. Um ponto de medição pode possuir ramais (FIGURA 4.17), cada ramal com seu conjunto de medidores. Podem existir até 5 ramais por ponto. Cada conjunto medidor possui sensores de fluxo, de volume acumulado, de pressão e de temperatura. Mesmo hoje não são muitos os pontos de medição que possuem cromatografia automatizada em linha, por isso o local da coleta de amostragem pode ficar razoavelmente distante do ponto de medição. Um local de amostragem pode servir a um trecho inteiro de gasoduto, com vários pontos de medição. Se o sentido de fluxo do gás natural inverte, invariavelmente o local de amostragem é outro, refletindo nova origem.

Uma origem ou destino do gás natural são as unidades de processamento. O processamento do gás natural se faz necessário para dessulfurização, e também para a retirada de olefinas e elementos pesados que neste caso seguem para a indústria petroquímica.

Convém observar que, com a regra *open access* para os gasodutos, ou seja, utilização aberta a qualquer empresa de gás natural, não faz mais sentido o controle de estoque, que é a quantidade que permanece nos trechos de gasodutos, uma vez que, por sua baixa densidade, não há tancagem para o gás natural.

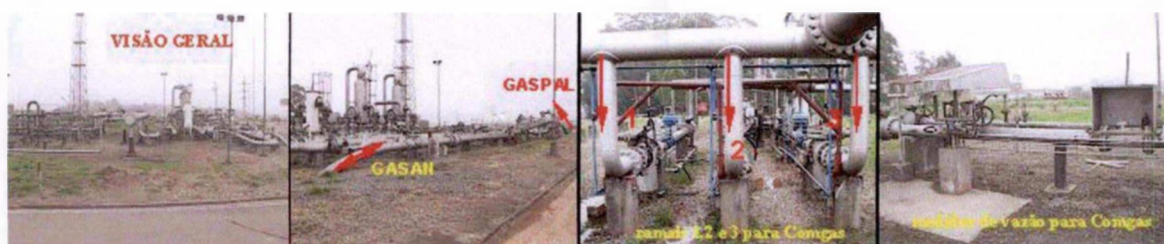


FIGURA 4.17 - Vistas diversas do ponto de medição City-Gate Capuava (Mauá-SP) e seus 3 ramais.

Os dados de entrada apresentados neste trabalho foram recolhidos de dois trechos de maior consumo no país, GASAN (Gasoduto Mauá - Santos) e GASPAL (Gasoduto Mauá - Paulínia), abrangendo percurso da Refinaria de Cubatão - SP até Pindamonhangaba-SP (FIGURA 4.18).

Para o Faturamento e para a Central de Supervisão da Logística do Gás Natural – Petrobras, é importante, e ao mesmo tempo satisfaz ao mínimo a supervisão, os dados consolidados uma vez ao dia. Estes dados consolidados possuem o volume totalizado e as médias de temperatura e pressão do dia, fechados à meia-noite.

#### 4.2.2.2 Preparação dos dados

Para a classificação de entregas pelo SOM customizado especialmente para o negócio, foram consideradas entradas, ao mesmo tempo, de um a três pontos de medição da operação genérica vendas (entrega ao consumidor final ou às distribuidoras de combustível). Para a operação de grandes vendas, os pontos também são chamados de city-gates. Restringiu-se o estudo para pontos de vendas do GASPAL e do GASAN, conforme TABELA 4.5 retirada de parte de uma entidade do banco de dados corporativo para o gás natural.

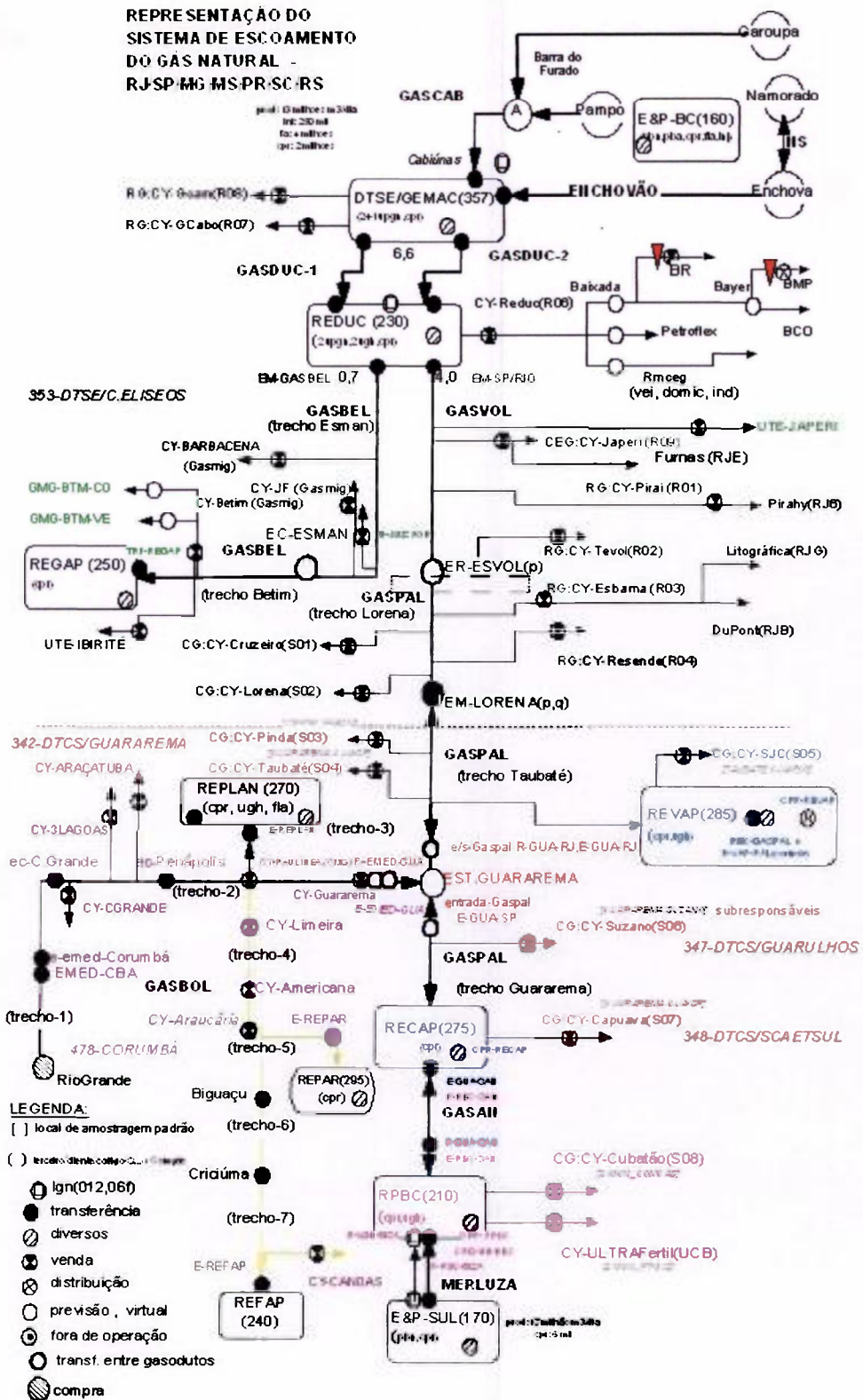


FIGURA 4.18 - Diagrama logístico dos gasodutos com seus trechos dos Sistemas Sudeste e Gasbol (Gasoduto Brasil-Bolívia). As proprietárias são Transpetro (da holding Petrobras) e TBG (empresa com 51% de capital da Petrobras) respectivamente.

TABELA 4.5 - Dados georreferenciados dos pontos de medição, no grupo vendas do GASPAL e GASAN. Os valores de ordenação serão usados como label para o vetor de dados de entrada.

Grupo	Código do ponto de medição	Nome	Ordenação no gasoduto	Distância da origem		
				(km)	Latitude (°)	Longitude (°)
GASPAL/GASAN VENDAS	CY-ULTRAF	RPBC	-4	-69,8	-23,93056	313,57472
GASPAL/GASAN VENDAS	CY-CUBATAO	CUBATAO	-3	-66,6	-23,89500	313,57472
GASPAL/GASAN VENDAS	CY-CAPUAVA	CAPUAVA	-2	-52,8	-23,65639	313,51944
GASPAL/GASAN VENDAS	CY-SUZANO	SUZANO	-1	-31,5	-23,54250	313,68917
GASPAL/GASAN VENDAS	E-GUA-SP	ORIGEM	0	0,0	-23,41500	313,96500
GASPAL/GASAN VENDAS	CY-SJC	S. J. CAMPOS	1	30,3	-23,17944	314,11306
GASPAL/GASAN VENDAS	CY-TAUBATE	TAUBATE	2	65,4	-23,02639	314,44472
GASPAL/GASAN VENDAS	CY-PINDA	PINDAMONHANGABA	3	80,2	-22,92389	314,53833

Importante componente do vetor de entrada, o poder calorífico superior (PCS) é a quantidade de calor libertada pela combustão completa de uma quantidade de combustível com a correspondente quantidade estequiométrica de ar seco, ambos a 15,6 °C (60 °F), e até que os produtos atinjam 15,6 °C também, considerando, ao final da combustão, o vapor de água resultante condensado, ou seja, o calor do vapor recuperado. Para complemento, o poder calorífico inferior (PCI) é equivalente ao PCS a não ser pelo fato de que o vapor produzido pela reação com o hidrogênio presente no combustível não se condensa, concluindo que  $PCI < PCS$  pela diferença de entalpia de condensação da água. Ao se medir o poder calorífico, a pressão de 1 atm deve se manter constante.

Quando a grandeza para medir o combustível é volume, este deve estar normalizado para alguma condição de pressão e temperatura. Aqui se usará, a menos de nota em contrário, a condição de 1atm<sup>11</sup> e 20°C para a normalização dos volumes.

Os volumes consolidados diários além de estarem normalizados para a condição de 1 atm e 20 °C, ao serem usados para a classificação passam por mais uma normalização para o valor energético de  $PCS=9400 \text{ kcal/m}^3$ <sup>12</sup>. Assim cada metro cúbico de gás natural, a 1 atm e 20 °C que consta para a classificação é capaz de produzir uma energia de 9400 kcal

<sup>11</sup> 1 atmosfera  $\equiv 1,033 \text{ kgf/cm}^2 \equiv 1013,25 \text{ hPa} \equiv 1,013 \text{ bar} \equiv 14,70 \text{ psi}$

<sup>12</sup>  $V_{PCS} = V \cdot (PCS \text{ medido}/9400)$ .

na combustão. Em geral, os contratos de envio e recebimento de gás natural são fechados para volumes normalizados para energia, assegurando que o valor trocado é em última instância energia, não a quantidade de combustível. Isso também assegura que os volumes que entram para a classificação não sofrem dependência do PCS, e nem da pressão e da temperatura pela normalização anterior. Assim o PCS, e em menor grau, a densidade são exclusivamente indicadores da qualidade<sup>13</sup>. Na logística, a pressão, e em menor grau, a temperatura são exclusivos para a detecção de problemas no duto ou para inferir se um ponto possuirá condições de atender a demanda, uma vez que queda de pressão pode vir a comprometer a entrega do dia. Uma vez detectada uma queda de pressão abaixo dos valores comuns, devem ser tomadas ações como acionar responsáveis por estações compressoras ou bloquear fluxos para outros pontos.

Como a unidade caloria (cal) é na verdade um indicador de energia, e não a medição direta de energia, há controvérsias de qual o valor da constante de conversão para joules. Com contratos fechados com a Petrobras, é adotada a caloria termoquímica<sup>14</sup> que vale exatos 1,484 J. A densidade mencionada para o gás natural é a densidade relativa ao ar seco que é o quociente entre a massa do gás contida em um volume arbitrário e a massa de ar seco com composição padronizada pela ISO 6976 que deve ocupar o mesmo volume sob condições normais de temperatura e pressão. As pressões apresentadas aqui, a menos de menção especial, são pressões absolutas.

O gás natural é encontrado em reservatórios subterrâneos em muitos lugares do planeta, tanto em terra quanto no mar, tal qual o petróleo, sendo considerável o número de reservatórios que contém gás natural associado ao petróleo. Nestes casos, o gás recebe a designação de gás natural associado. Quando o reservatório contém pouca ou nenhuma quantidade de petróleo, o gás natural é dito não-associado.

A composição do gás natural bruto é função de uma série de fatores naturais que determina o seu processo de formação e as condições de acumulação do seu reservatório de origem. Bruto ou processado, a TABELA 4.6 fornece as especificações mínimas para um gás ser natural poder ser comercializado.

---

<sup>13</sup> Uma outra medida de qualidade é a combinação destas duas grandezas chamada de índice de Wobbe,  $W = \text{PCS}/\text{densidade relativa}^{1/2}$ . É uma medida da quantidade de energia disponibilizada em um sistema de combustão através de um orifício injetor com a mesma pressão a montante e a jusante deste orifício. A quantidade de energia disponibilizada é uma função linear do índice de Wobbe.

<sup>14</sup> A caloria do Sistema Internacional vale aproximadamente 1,4855 J que é a energia necessária para elevar de 14,5 °C para 15,5 °C 1 g de água destilada a pressão de 1 atm.

TABELA 4.6 - Especificações para o gás natural segundo Portaria nº 128, 28-AGO-2001, Regulamento Técnico ANP nº 3/2001.

Característica <sup>15</sup>	Unidade	Mínimo	Máximo
PCS	kcal/m <sup>3</sup>	9100	10990
Índice de Wobbe	kcal/m <sup>3</sup>	11850	13378
Metano ou C1	% em volume	86,0	-
Etano ou C2	% em volume	-	10,0
Propano ou C3	% em volume	-	3,0
Butano e mais pesados (C4 <sup>+</sup> )	% em volume	-	1,5
Oxigênio (O <sub>2</sub> )	% em volume	-	0,5
Nitrogênio (N <sub>2</sub> )	% em volume	-	2,0
Inertes (N <sub>2</sub> + CO <sub>2</sub> )	% em volume	-	4,0
Gás sulfídrico	% em volume	-	0,0007 (10,0 mg/m <sup>3</sup> )
Ponto de orvalho	°C	-	-45 °C

O PCS do gás natural é calculado a partir da composição de amostras coletadas diariamente e inseridas em banco de dados corporativo de qualidade, como o iLab. À disposição dos operadores e supervisores responsáveis, existem aplicativos, como o iGás (FIGURA 4.19) com rotinas que calculam o PCS, PCI e densidade a partir dos componentes químicos do gás natural assim que se dá entrada de um volume e, portanto, o PCS está sempre disponível junto com o volume corrigido por outra rotina para pressão de 1 atm e 20°C, correção esta dependente do tipo de medidor de vazão (placa de orifício, turbina, deslocamento positivo etc.). Para classificar uma operação realizada, leva-se em conta o volume diário contratado (QDC, normalizado para energia) e o PCS especificado em contrato. Por exemplo, uma operação saiu das especificações se o volume diário entregue ficou abaixo de 80% do contrato, pois em geral as multas de contrato se aplicam a partir daí. Ainda, como exemplo, uma operação teve um produto de má qualidade se o PCS ficou abaixo de 0,5 % do desejado. Uma operação é ideal se o volume entregue ficou acima de 5% da quantidade diária contratada, uma folga que pode vir a ser negociada no caso de um dia com volume abaixo da QDC. Demais operações que fiquem dentro das faixas citadas são consideradas normais.

<sup>15</sup> Os símbolos C2, C4<sup>+</sup>..., significam que podem incluir olefinas (insaturados: eteno, propeno, buteno, butino...), mas, no gás natural, as olefinas são traços. Quando porventura aparecerem os símbolos “n” e “i” como em nC10, iC10, significam cadeia normal ou reta e cadeia ramificada (parafina) respectivamente.

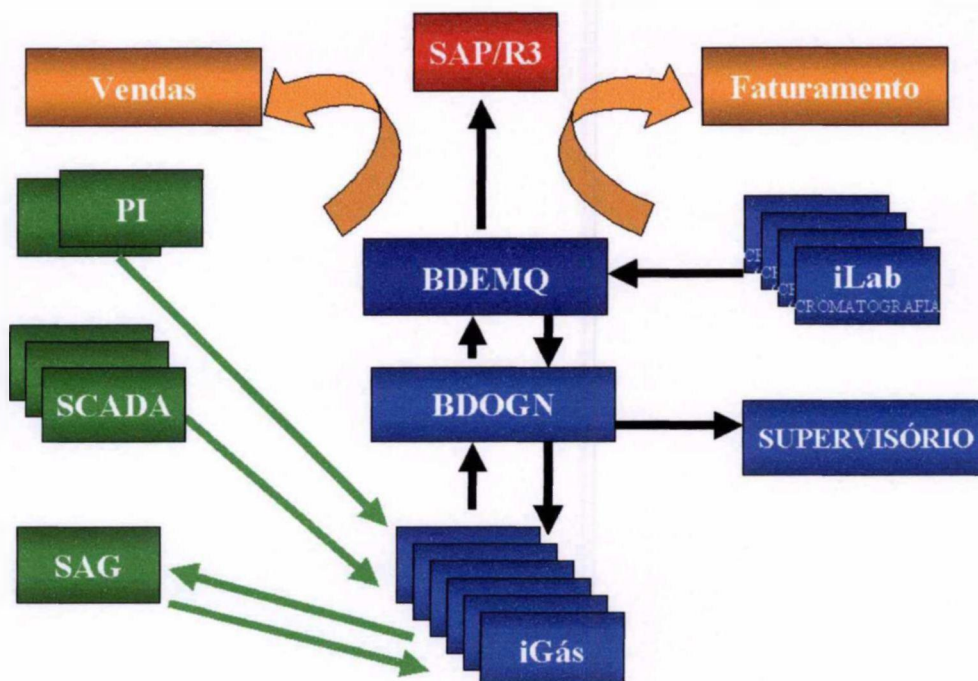
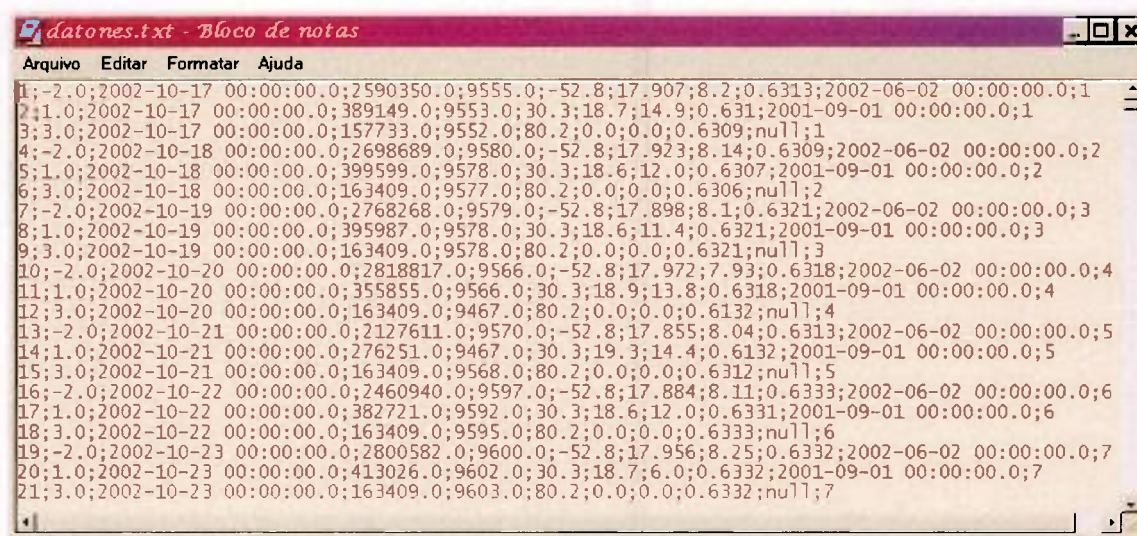


FIGURA 4.19 - Fluxograma dos dados da logística do gás natural. Os sistemas em quadros verdes, à esquerda, são de medição automatizada de campo. Para os sistemas restantes, quanto mais superior na figura, mais corporativos.

O vetor de dados de entrada para o SOM fornece a visão do gasoduto como um sistema coeso de componentes, sem fortemente classificar por cada ponto de entrega. A distinção entre os pontos se dá por uma componente que será um *label*, um índice para o ponto. Outras dimensões são: pressão, temperatura e densidade, ou seja, junto com volume consolidado e PCS, o vetor de dados terá seis dimensões. Neste trabalho, foram utilizados intervalos de tempo regulares para os dados dos pontos de entrega; na verdade, um dado consolidado por dia, que corresponde ao volume de fechamento do dia, de interesse do Faturamento. Assim a pressão e a temperatura trazidas correspondem à média diária.

A FIGURA 4.20 ilustra um arquivo-texto com dados brutos obtidos por uma *query* no banco do gás natural, por questão de espaço estão somente exibidas medições de uma semana (7 dias). Os dados são gravados em arquivo-texto antes de ser processado pelo SOM, o que é uma vantagem para a distribuição e autonomia entre as camadas do sistema de *software*. Cada linha possui os seguintes campos (separados por “;”): índice seqüencial da linha de dado; *label* do ponto de medição; data e hora do volume consolidado; volume consolidado no dia, em m<sup>3</sup>, e normalizado para 1 atm e 20 °C; PCS em kcal/m<sup>3</sup>; distância (em km) da origem do gasoduto; pressão em kgf/m<sup>2</sup>; temperatura em °C, densidade relativa ao ar seco; última data de atualização de cadastro de medidor para o ponto – para que a

*query* não adquira características desatualizadas de medição, como unidades de medida erradas; e índice seqüencial para a data – no exemplo da FIGURA 4.20, como são pedidos dados de três pontos, então aparece um mesmo índice em três linhas de dados.



```

1;-2.0;2002-10-17 00:00:00.0;2590350.0;9555.0;-52.8;17.907;8.2;0.6313;2002-06-02 00:00:00.0;1
2;1.0;2002-10-17 00:00:00.0;389149.0;9553.0;30.3;18.7;14.9;0.631;2001-09-01 00:00:00.0;1
3;3.0;2002-10-17 00:00:00.0;157733.0;9552.0;80.2;0.0;0.0;0.6309;null;1
4;-2.0;2002-10-18 00:00:00.0;2698689.0;9580.0;-52.8;17.923;8.14;0.6309;2002-06-02 00:00:00.0;2
5;1.0;2002-10-18 00:00:00.0;399599.0;9578.0;30.3;18.6;12.0;0.6307;2001-09-01 00:00:00.0;2
6;3.0;2002-10-18 00:00:00.0;163409.0;9577.0;80.2;0.0;0.0;0.6306;null;2
7;-2.0;2002-10-19 00:00:00.0;2768268.0;9579.0;-52.8;17.898;8.1;0.6321;2002-06-02 00:00:00.0;3
8;1.0;2002-10-19 00:00:00.0;395987.0;9578.0;30.3;18.6;11.4;0.6321;2001-09-01 00:00:00.0;3
9;3.0;2002-10-19 00:00:00.0;163409.0;9578.0;80.2;0.0;0.0;0.6321;null;3
10;-2.0;2002-10-20 00:00:00.0;2818817.0;9566.0;-52.8;17.972;7.93;0.6318;2002-06-02 00:00:00.0;4
11;1.0;2002-10-20 00:00:00.0;355855.0;9566.0;30.3;18.9;13.8;0.6318;2001-09-01 00:00:00.0;4
12;3.0;2002-10-20 00:00:00.0;163409.0;9467.0;80.2;0.0;0.0;0.6132;null;4
13;-2.0;2002-10-21 00:00:00.0;2127611.0;9570.0;-52.8;17.855;8.04;0.6313;2002-06-02 00:00:00.0;5
14;1.0;2002-10-21 00:00:00.0;276251.0;9467.0;30.3;19.3;14.4;0.6132;2001-09-01 00:00:00.0;5
15;3.0;2002-10-21 00:00:00.0;163409.0;9568.0;80.2;0.0;0.0;0.6312;null;5
16;-2.0;2002-10-22 00:00:00.0;2460940.0;9597.0;-52.8;17.884;8.11;0.6333;2002-06-02 00:00:00.0;6
17;1.0;2002-10-22 00:00:00.0;382721.0;9592.0;30.3;18.6;12.0;0.6331;2001-09-01 00:00:00.0;6
18;3.0;2002-10-22 00:00:00.0;163409.0;9595.0;80.2;0.0;0.0;0.6333;null;6
19;-2.0;2002-10-23 00:00:00.0;2800582.0;9600.0;-52.8;17.956;8.25;0.6332;2002-06-02 00:00:00.0;7
20;1.0;2002-10-23 00:00:00.0;413026.0;9602.0;30.3;18.7;6.0;0.6332;2001-09-01 00:00:00.0;7
21;3.0;2002-10-23 00:00:00.0;163409.0;9603.0;80.2;0.0;0.0;0.6332;null;7

```

FIGURA 4.20 - Arquivo-texto com dados gravados da aplicação-interface com o banco de dados. As colunas estão separadas por ponto e vírgula e são, na ordem, número seqüencial de medição, data do volume consolidado, label que indica posição em relação à origem, volume consolidado ( $m^3$ ), PCS ( $kcal/m^3$ ), distância em relação à origem do gasoduto (km), pressão ( $kgf/cm^2$ ), temperatura ( $^{\circ}C$ ), data da última atualização dos parâmetros dos medidores; número seqüencial de dia.

O applet selecionará do arquivo texto da consulta somente o necessário para compor o vetor dados de entrada, e gravará, para efeito de registro e análise, os componentes do vetor de dados em outro arquivo texto conforme o exemplo da FIGURA 4.21. No primeiro e último campos está o índice seqüencial, para facilitar uma análise; o segundo campo é do *label* multiplicado por 1/10; o terceiro campo corresponde ao volume consolidado em  $m^3$  e normalizado para energia de  $9400 kcal/m^3$ ; em seguida vem o PCS em  $kcal/m^3$ ; a pressão em  $kgf/cm^2$ ; a temperatura em  $^{\circ}C$ ; e a densidade relativa ao ar seco.

No programa, há um método que trata dos dados omissos ou faltantes (*faults*) fazendo uma média dos valores que estão presentes em todo o conjunto de entrada. E, quando não é possível fazer a média pela falta de qualquer dado para um componente, são colocados no lugar valores típicos de medição. No exemplo da FIGURA 4.21, os valores de  $9,89 (^{\circ}C)$  para a temperatura e  $18,026 (kgf/cm^2)$  foram obtidos realizando-se a média de todas as temperaturas e pressões, respectivamente, do conjunto de amostras.

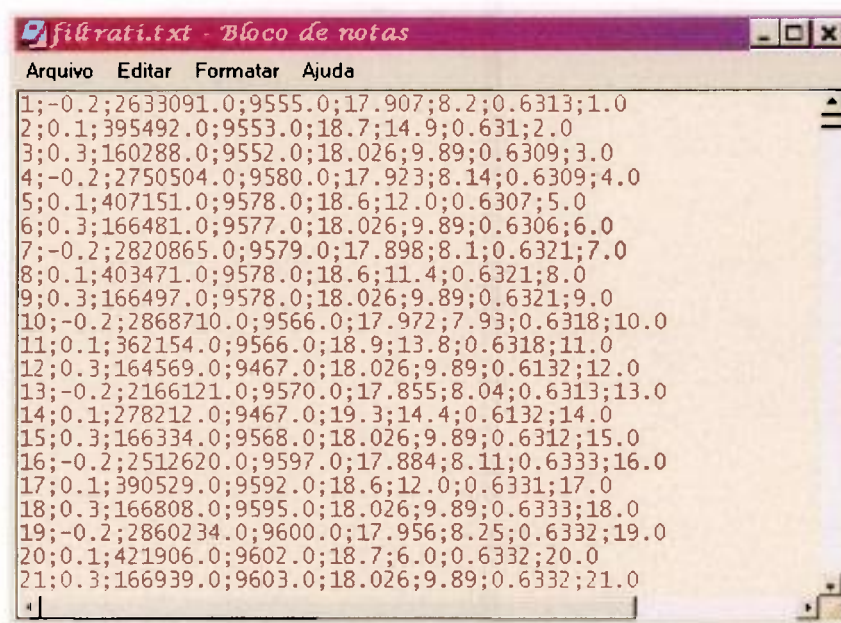


FIGURA 4.21 - Arquivo texto com os campos realmente necessários para o vetor de entrada e o volume normalizado para PCS de 9400 kcal/m<sup>3</sup>.

Como cada componente possui magnitude diferente, até milhões de unidades para volume e menor que 1 para densidade, existe um outro método que normaliza todas as componentes de medição para uma mesma magnitude. Primeiramente cada valor original de uma grandeza é substituído pela diferença entre o máximo que pode assumir no processo e o valor original dividido pela diferença entre os valores máximo e mínimo que pode assumir no processo. O que resulta passa por uma segunda transformação que é a multiplicação por um fator de sensibilidade  $\zeta$ . A razão deste fator de sensibilidade é que a variação entre os volumes chega a 163% e a variação entre os PCSs não ultrapassa 3%. Como pequenas variações do PCS são críticas, é preciso uma distensão na escala. A equação que segue sumariza estas duas transformações,

$$x'_{c_{entr}} = \left( \frac{x'_{c_{max}} - x'_c}{x'_{c_{max}} - x'_{c_{min}}} \right) \cdot \zeta_{c'} \quad (4.1)$$

onde  $\zeta$  é o fator de sensibilidade,  $c$  indica um componente do vetor de entrada e  $j$  o vetor de entrada. Nos treinamentos foram usados fatores de distensão de  $10^{-2}$  a 1 para o volume, e de  $10^1$  a  $10^2$  para o PCS. Para os demais componentes  $\zeta$  foi 1. Ao invés de multiplicação, podia-se trabalhar com logaritmo ou potenciação, porém a variação deixaria de ser linear.

Após esta etapa de tratamento, mais uma vez o resultado será modificado dividindo-o pela soma de todos os componentes tratados pela equação (3.49), por vetor de entrada, de modo que a soma dos componentes dê 1.

$$x_{c_{nov2}}^j = \frac{x_{c_{nov1}}^j}{\sum_i x_{c_{nov1}}^i} \quad (4.2)$$

Agora cada componente será normalizada para seu valor ficar entre -1 e +1, para todo o conjunto de entradas selecionado na consulta ao banco de dados. O resultado de todo este tratamento é também registrado em um arquivo texto conforme exemplificado na FIGURA 4.22. Nesta relação, a segunda e última colunas possuem o mesmo valor para facilitar o estudo do mapeamento pelo SOM, que são os *labels* da classificação da medição (1, volume ideal; 2, volume regular, 3, volume abaixo do contrato; e 4, PCS abaixo do especificado em contrato).

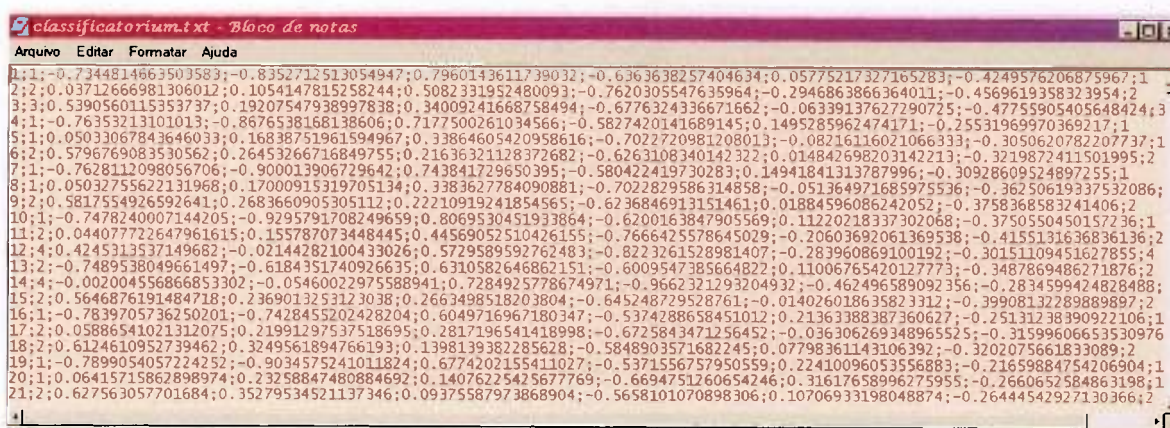


FIGURA 4.22 - Entradas normalizadas para a classificação. Este arquivo-texto é gerado entre processamentos, por isso o formato double dos dados derivados das medições.

Alternativamente, as listas geradas relativas à FIGURA 4.20 e à FIGURA 4.22 são também exibidas no console Java (FIGURA 4.23 e FIGURA 4.24), podendo ser ativado pelo navegador Web em Exibir > Console Java ou em Ferramentas > Opções > Avançadas > Console Java ativado ou ainda Ferramentas > Sun Java Console, conforme a versão do navegador. Alternativamente o console Java pode ser ativado por Configurações

> Painel de Controle > Java Plug-in, abrir o Java Plug-in e configurá-lo para exibir o console Java, isso caso o JRE que inclui a máquina virtual seja instalado separadamente do navegador e do ambiente de desenvolvimento j2sdk.

The screenshot shows a window titled "Java Console" with a purple header. The content is as follows:

```

Java(TM) Plug-in: Version 1.4.1_07
Using JRE version 1.4.1_07 Java HotSpot(TM) Client VM
User home directory= D:\Documents and Settings\csiz
Proxy Configuration: Automatic Proxy Configuration
  URL: http://ti-sps.petrobras.com.br/ti-sp.pac

-----
c: clear console window
f: finalize objects on finalization queue
g: garbage collect
h: display this help message
l: dump classloader list
m: print memory usage
o: trigger logging
p: reload proxy configuration
q: hide console
r: reload policy configuration
s: dump system properties
t: dump thread list
v: dump thread stack
x: clear classloader cache
0-5: set trace level to <n>
-----

1;-2.0;2002-10-17 00:00:00.0;2590350.0;9555.0;-52.8;17.907;8.2;0.6313;2002-06-02 00:00:00.0;$
2;1.0;2002-10-17 00:00:00.0;389149.0;9553.0;30.3;18.7;14.9;0.631;2001-09-01 00:00:00.0;$
3;3.0;2002-10-17 00:00:00.0;157733.0;9552.0;80.2;0.0;0.0;0.6309;null;$
4;-2.0;2002-10-18 00:00:00.0;2698689.0;9580.0;-52.8;17.923;8.14;0.6309;2002-06-02 00:00:00.0;$
5;1.0;2002-10-18 00:00:00.0;399599.0;9578.0;30.3;18.6;12.0;0.6307;2001-09-01 00:00:00.0;$
6;3.0;2002-10-18 00:00:00.0;163409.0;9577.0;80.2;0.0;0.0;0.6306;null;$
7;-2.0;2002-10-19 00:00:00.0;2768268.0;9579.0;-52.8;17.898;8.1;0.6321;2002-06-02 00:00:00.0;$
8;1.0;2002-10-19 00:00:00.0;395987.0;9578.0;30.3;18.6;11.4;0.6321;2001-09-01 00:00:00.0;$
9;3.0;2002-10-19 00:00:00.0;163409.0;9578.0;80.2;0.0;0.0;0.6321;null;$
10;-2.0;2002-10-20 00:00:00.0;2818817.0;9566.0;-52.8;17.972;7.93;0.6318;2002-06-02 00:00:00.0;$
11;1.0;2002-10-20 00:00:00.0;355855.0;9566.0;30.3;18.9;13.8;0.6318;2001-09-01 00:00:00.0;$
12;3.0;2002-10-20 00:00:00.0;163409.0;9467.0;80.2;0.0;0.0;0.6132;null;$
13;-2.0;2002-10-21 00:00:00.0;2127611.0;9570.0;-52.8;17.855;8.04;0.6313;2002-06-02 00:00:00.0;$
14;1.0;2002-10-21 00:00:00.0;276251.0;9467.0;30.3;19.3;14.4;0.6132;2001-09-01 00:00:00.0;$
15;3.0;2002-10-21 00:00:00.0;163409.0;9568.0;80.2;0.0;0.0;0.6312;null;$
  
```

At the bottom of the window, there are three buttons: "Clear", "Copy", and "Close".

FIGURA 4.23 - Console Java, com listagem semelhante à exibida na FIGURA 4.20.



Em suma, o sistema fornece diversas informações das etapas de seu processamento dos dados e dos resultados do treinamento e do teste, tanto por gravação de arquivos<sup>16</sup>, por exibição em interface gráfica colorida e dinâmica e por impressão no console Java.

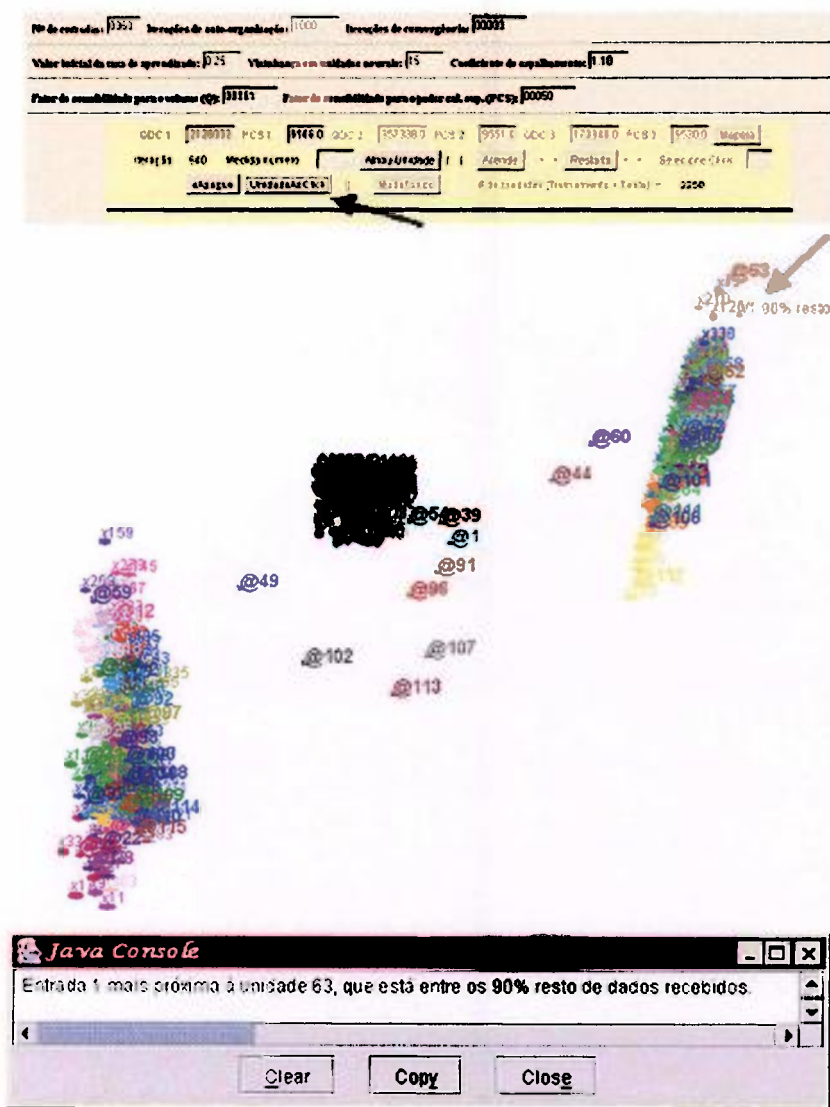


FIGURA 4.26 - Teste utilizando a interface gráfica para a plotagem das entradas.

<sup>16</sup> Por segurança, um applet (arquivos .class), que se assemelha a um executável (arquivos .exe), não tem permissão de gravar qualquer arquivo na máquina do usuário, somente de ler (read). Porém para applets conhecidos e específicos, o usuário pode fornecer permissão de exclusão (delete) e gravação (write) no arquivo .java.policy que deve ser criado, se já não existir, na pasta em que se localiza as configurações (settings) do usuário. Em geral é uma pasta que tem o username como nome em Documents and Settings, ou, para sistemas operacionais de versões antigas, o .java.policy deve ficar na pasta WINDOWS ou WINNT.

O seguinte texto deve ser editado em .java.policy:

```
grant codeBase "file:/<caminho absoluto da pasta em que o applet vai criar ou excluir um arquivo>/" {
permission java.io.FilePermission "<<ALL FILES>>", "read,write,delete";};
```

## 5 RESULTADOS

O sistema construído apresentou desvantagens típicas do uso de *applet*, principalmente quando este apresenta animação, tanto é que os arquivos Flash (.swf) substituíram com grande sucesso os *applets* no que se refere a conteúdo animado. O *applet* consome razoável recurso de memória RAM, memória de tela e processamento, dependendo que a máquina *client* tenha memória RAM disponível e espaço no disco principal para memória virtual. Ocorre então que a execução de um *applet* fica sensível a outros programas que estão rodando ao mesmo tempo no *client*.

Em rapidez de cálculos, Java não consegue se rivalizar com Fortran. Atinge performance parecida a C/C++, porém a versatilidade da plataforma Java leva a equilibrar tal desvantagem.

Outro inconveniente que pode ocorrer é a necessidade de instalação ou atualização de *plug-in* Java para rodar *applets*, mesmo sendo este gratuito.

A quantidade de entradas, desde que acima de 1000, ou de unidades neurais, desde que acima de 50, não afeta fortemente o tempo de treinamento. O próprio tamanho físico do *applet* é um fator para se levar em conta por causa do uso da memória para a tela.

Outro gargalo na performance são as gravações e leituras de arquivos-texto feitos pelo *applet*, o I/O (*input/output*) costuma ser lento. No caso de gravação, para arquivos com mais de 1000 linhas, a demora pode atingir 3 minutos. Isso leva o usuário ou as próprias regras de contenção do sistema a considerar apenas o número suficiente de entradas para o objetivo que se pretende.

Dessa maneira, para uma melhor performance deste sistema, uma memória RAM de 512 MB a 1 GB seria necessária para o computador, mesmo assim com o mínimo de *softwares* rodando simultaneamente.

Na TABELA 5.1, os tempos coletados foram para um computador pessoal somente com processos em *background*, sem reinicialização do computador a cada treinamento. Está incluído o tempo de processamento para I/O (*input/output*) de leitura e gravação de arquivos-texto.

TABELA 5.1 - Tempos decorridos para 500 iterações e 1200 entradas.

Versão	Especificação	Tempo
73	367 unidades, precisão dupla, com animação	14m10s
74	367 unidades, precisão simples, com animação	10m27s
75	367 unidades, precisão simples, sem animação	11m47s
68	115 unidades, precisão dupla, com animação	05m10s
65	115 unidades, precisão dupla, com animação	04m28s
54	73 unidades, precisão dupla, com animação	06m05s

Somente para comparar, na TABELA 5.2 é apresentado o tempo de treinamento quando se varia o número de entradas. A partir do terceiro treinamento, o tempo se elevou muito, chegando à casa dos 20 minutos, e praticamente independia do número de entradas, pois o navegador ainda “guardava” em RAM os processos anteriores. Fechar e novamente abrir o navegador alivia este “acúmulo”. Porém para voltar à melhor performance somente com o reinício do computador. Foi constatado que aplicativos grandes, como ambientes de desenvolvimento, e arquivos .doc e .xls muito extensos podem causar o mesmo problema.

TABELA 5.2 - Tempos de treinamento decorridos para 367 unidades neurais e 1500 iterações.

# entradas	Tempo
1200	13m28s
900	10m22s
600	10m23s

Com estes dados percebe-se que o tempo de treinamento é afetado por processos em *background* do computador pessoal (antivírus, “agents”, “doctors”, “monitorings” etc.). Uma solução para melhorar este tempo seria o transporte do código para execução em servidor de alta performance, porém neste caso o tempo sofreria dependência do número de usuários requisitando a aplicação simultaneamente, e mesmo do número total de usuários simultâneos conectados com o servidor para quaisquer outras aplicações implantadas.

Os testes realizados após o treinamento para a logística do gás natural apresentaram resultados exibidos na TABELA 5.3.

TABELA 5.3 - Testes para o mapeamento de características para 115 unidades, 1200 entradas, 2000 iterações e 2 pontos de medição: Capuava e São José dos Campos.

Treinamento	Acertos	Parâmetros
1	70%	$\eta_0=0.25$ $\zeta_{QDC}=0,1$ $\zeta_{PCS}=10$
2	82%	$\eta_0=0.22$ $\zeta_{QDC}=1$ $\zeta_{PCS}=50$
3	83%	$\eta_0=0.20$ $\zeta_{QDC}=1$ $\zeta_{PCS}=50$

Estes resultados demonstram a viabilidade da classificação feita por este SOM para dados de logística, e que os fatores de sensibilidade de fato produzem efeitos na taxa de acertos, e podem ser considerados parâmetros de treinamento adicionais para a rede neural.

## 6 DISCUSSÃO

### 6.1 Identificação de transientes

#### 6.1.1 IRIS

Após o treinamento, as unidades do SOM foram testadas na sua resposta e atribuídas "ao tipo de transiente mais afim" que teve como critério a distância euclidiana mais curta entre o vetor peso da unidade e os vetores de entrada associados à unidade, ou seja, a classe do vetor de entrada mais próximo foi atribuída também à unidade. Este método de medida de sensibilidade pode causar resposta não adequada a padrões não presentes no conjunto de treinamento. E a classificação inadequada de transientes pode ser responsável por ações incorretas. Um refinamento através da quantização vetorial poderá melhorar a precisão do sistema, porém esta etapa será abordada em trabalho futuro. Os tipos de condição de operação foram indicados por código numérico e por código de cores no caso da interface gráfica do usuário: 1 e verde para estado estacionário; +2 e laranja-escuro para rampa positiva, -2 e laranja-claro para rampa negativa; +3 e vermelho para degrau positivo, -3 e rosa para degrau negativo e 4 e roxo para eventos anormais (FIGURA 6.1).

O algoritmo fez uma distinção bem clara entre estados estacionários (faixa central e oblíqua na FIGURA 6.1), transientes para potências ascendentes (esquerda na FIGURA 6.1), transientes para potências descendentes (direita na FIGURA 6.1) e transientes anormais (bordas na FIGURA 6.1). Entre transientes para potências ascendentes e descendentes, ocorreu também a separação nítida entre rampas e degraus.

Utilizou-se taxa inicial de aprendizagem  $\eta$  igual a 0,20, e o tempo de processamento numa CPU de 1 GHz e 512 MB de RAM foi de aproximadamente 3 min., para ordenamento e convergência, chegando a 5000 iterações.

As 56 amostras de operação do reator foram apresentadas em ordem aleatória a cada iteração para que o aprendizado não corresse o risco de focalizar nas primeiras entradas. A atualização dos pesos também se deu a cada iteração. A vizinhança inicial foi de 20 unidades neurais para uma topologia plana hexagonal de 115 unidades da camada de saída (aproximadamente 11x11 unidades para uma plana retangular).

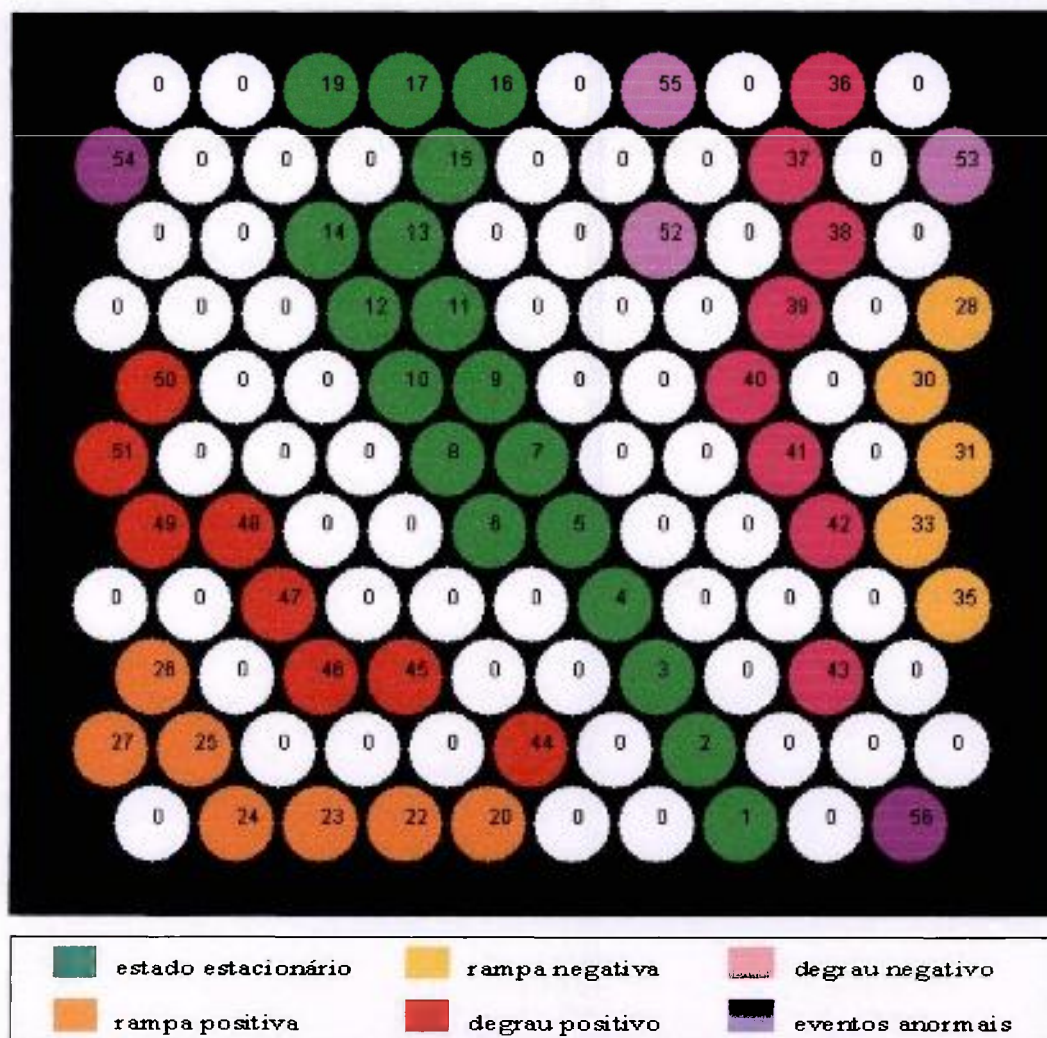


FIGURA 6.1 - Camada de saída do SOM exibindo o resultado do monitoramento da operação do IRIS sob diversas condições. Nesta visão, os números sobre as unidades neurais correspondem aos dados da TABELA 4.1 e da TABELA 4.2. Observar a seqüência sobre o mapeamento.

A FIGURA 6.2 mostra os resultados obtidos para outro sistema (Baptista e Barroso, 2003, 2004), com os dados de entrada gerados pelo mesmo simulador de regimes de operação do IRIS, e para a mesma quantidade de amostras (Barroso, 2003). Também os autores fizeram uso da camada de saída plana hexagonal para o SOM. Ao comparar com a FIGURA 6.2, verifica-se grande semelhança nos resultados.

Verificou-se que não há qualquer diferença de eficiência entre utilizar uma camada neural em rede bidimensional plana retangular ou hexagonal. Porém a rede hexagonal, por ter seus elementos mais compactados, apresenta uma visualização mais agradável para o usuário quando este necessita verificar a separação das classes. Um exemplo equivalente ao da FIGURA 6.2, mas para topologia plana retangular é exibido na FIGURA 6.3.

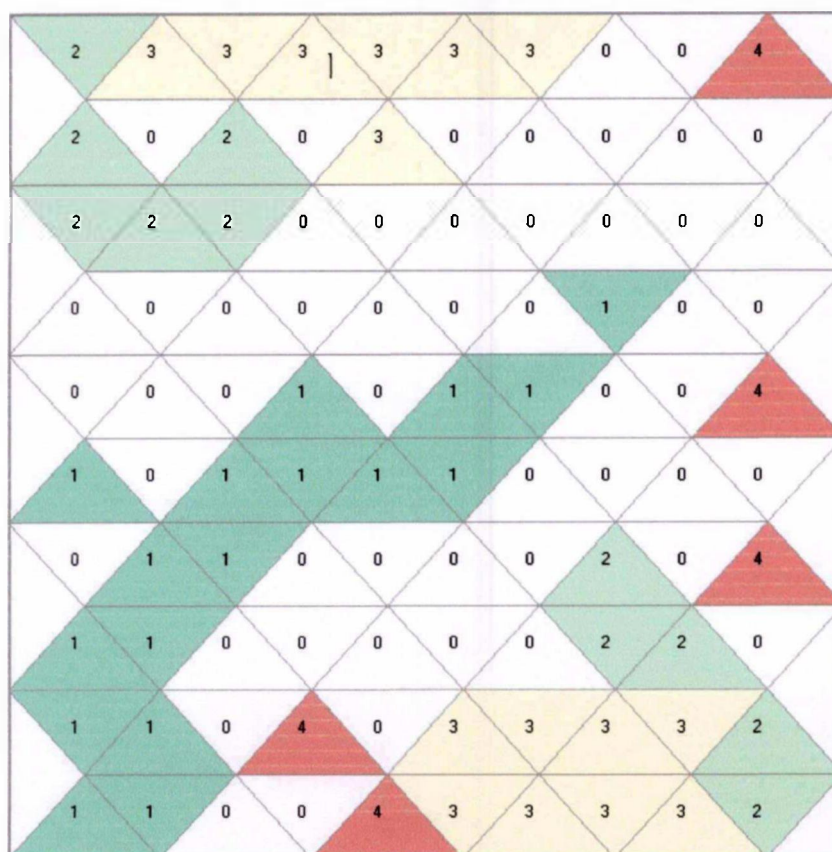


FIGURA 6.2 - Mapa de características para transientes do IRIS por Baptista e Barroso, 2003 e 2004. Label 1 ou verde-céu é para estado estacionário, 2 ou verde-claro é para rampa, 3 ou amarelo é para degrau e 4 ou vermelho é para transientes anormais.  $\eta_0=0,7$ ;  $\sigma_0=18$ ;  $\tau_1=700$ ;  $\tau_2=1000$  para 4000 iterações.

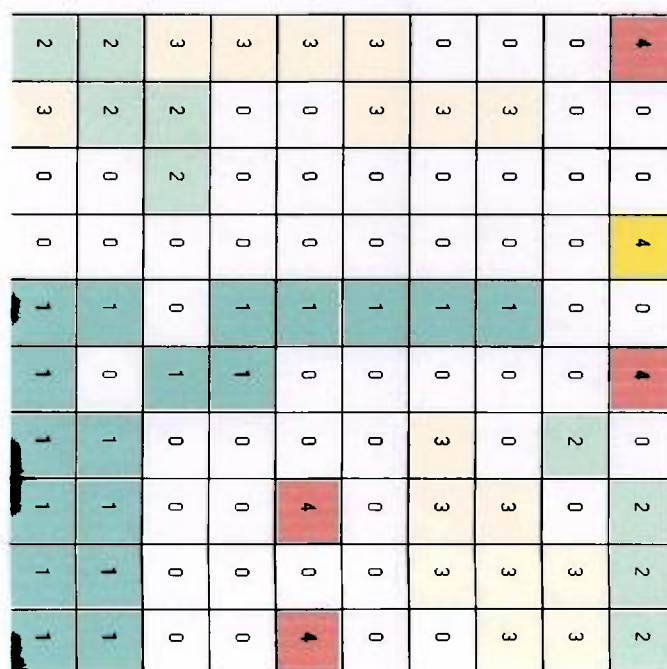


FIGURA 6.3 - Resultado equivalente à FIGURA 6.2, mas com camada de saída em grade retangular. Foi feita uma rotação de  $90^\circ$  para melhor comparação.  $\eta_0=0,1$ ;  $\sigma_0=18$ ;  $\tau_1=350$ ;  $\tau_2=1000$  para 2000 iterações.

### 6.1.2 Angra

Utilizando-se das entradas da TABELA 4.4, o SOM construído para este trabalho forneceu o mapeamento de eventos exibido na FIGURA 6.4, para rede com camada de saída bidimensional plana hexagonal de 93 unidades.

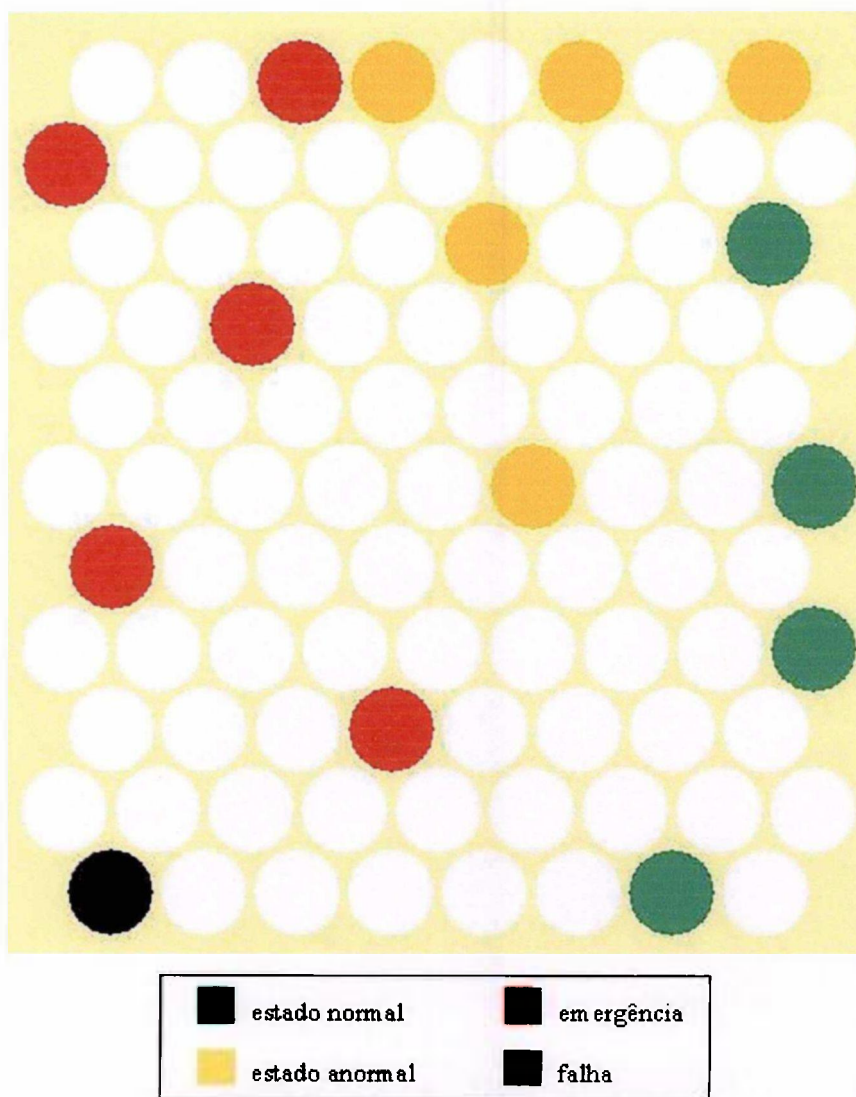


FIGURA 6.4 - Classificação de eventos pelo SOM em Java para o reator de Angra 2, onde verde indica transiente normal, laranja anormal, vermelho emergência e preto falha.

Este padrão foi comparado com o sistema mencionado em Baptista, 2002 (FIGURA 6.5) em rede retangular 10x10 unidades, mostrando mais uma vez compatibilidade nos resultados em separar eventos por regiões no mapeamento, e que a ferramenta proposta neste trabalho atinge a contento a classificação de padrões na Engenharia Nuclear.

Para obtenção deste padrão, utilizou-se taxa inicial de aprendizagem  $\eta$  igual a 0,25, e o tempo de processamento numa CPU de 1 GHz e 512 MB de RAM foi de aproximadamente 2 min., para ordenamento e convergência, chegando a 4000 iterações.

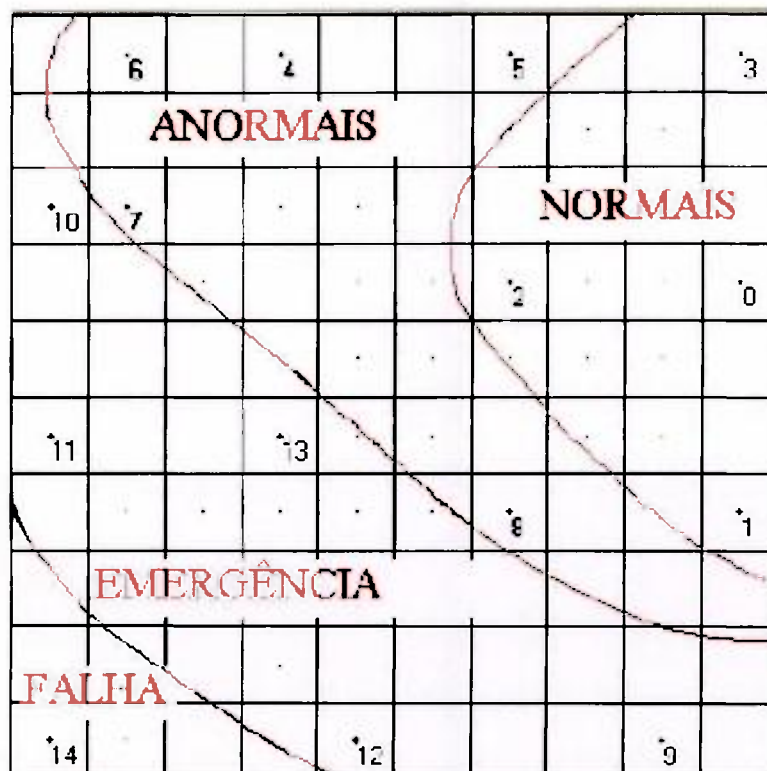


FIGURA 6.5 - Classificação de eventos segundo Baptista, 2003. Os dados de entrada foram os mesmos utilizados para o padrão obtido da FIGURA 6.4.  $\eta_0=0,9$ ;  $\sigma_0=18$ ;  $b_1=0,02$ ;  $b_2=0,02$ .

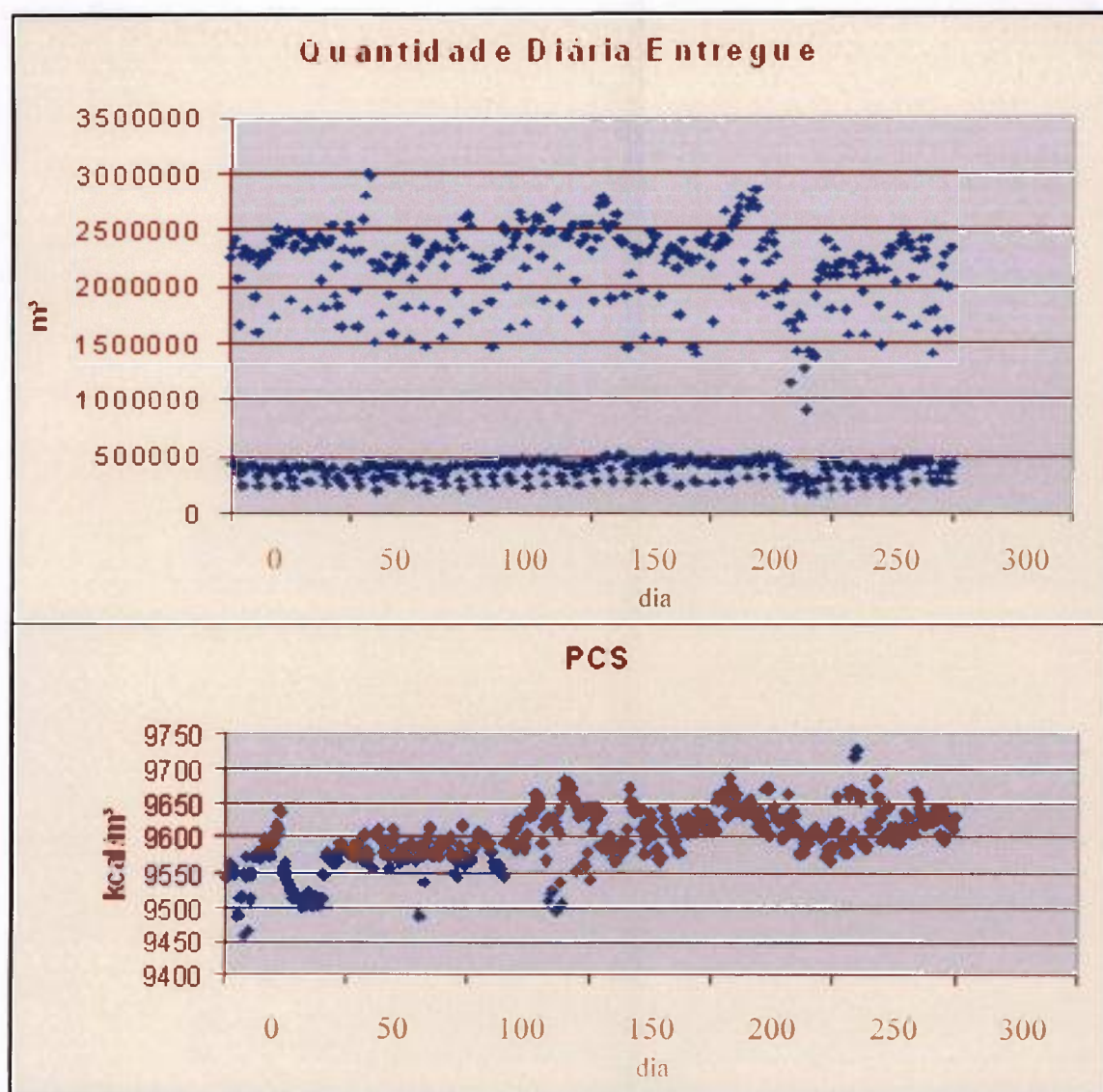
## 6.2 Logística do gás natural

Para a primeira análise dos resultados, o conjunto de dados de entrada para os exemplos a seguir, tanto para treinamento como para teste, foi o consolidado de vários dias consecutivos e seguidos, de 8 de maio de 2003 a 2 de março de 2004 (FIGURA 6.6).

Para facilitar as análises seguintes, manteve-se fixa a escolha de valores ótimos (cor verde no painel). Para o ponto de medição 1 (City-Gate Capuava), manteve-se a escolha volume diário 5% acima de 2100000 m<sup>3</sup>, a 1 atm, 20°C e 9400 kcal/m<sup>3</sup>; PCS de entrega 0,5% acima de 9580 kcal/m<sup>3</sup>. Para o ponto 2 (City-Gate São José dos Campos), com as mesmas percentagens-limite, volume de 265000 m<sup>3</sup> nas mesmas condições e PCS de 9545 kcal/m<sup>3</sup>. Abaixo de 80% destes volumes e de 99,5% dos PCSs, o valor foi considerado ruim (cor vermelha no painel). A faixa intermediária foi considerada boa ou regular (com laranja no painel). Uma unidade de saída é classificada de acordo com a

qualidade da medida que esteja mais próxima do peso da unidade. Ao se entrar com o índice do dado de entrada ou de teste, um alarme visual indica com qual unidade o dado possui mais afinidade (FIGURA 6.7).

Por motivo de segurança da informação, os dados de entrada não são os mais recentes devido à classificação de Reservado.



**FIGURA 6.6** – Comparação entre os componentes volume entregue e PCS de amostra com 300 dias consecutivos, para dois pontos de medição, Capuava (Mauá-SP) e São José dos Campos (SP), de 8 de maio de 2003 a 2 de março de 2004. A perceptível queda de volume entre os dias 230 a 250 ocorreu na passagem de ano 2003/2004. No gráfico de quantidade diária entregue (QDE), percebe-se a distinção de regime dos dois pontos de medição, Capuava acima e São José abaixo, e, neste mesmo gráfico, a “camada” de dados logo abaixo dos regimes mais frequentes de cada ponto de medição refere-se aos finais de semana.

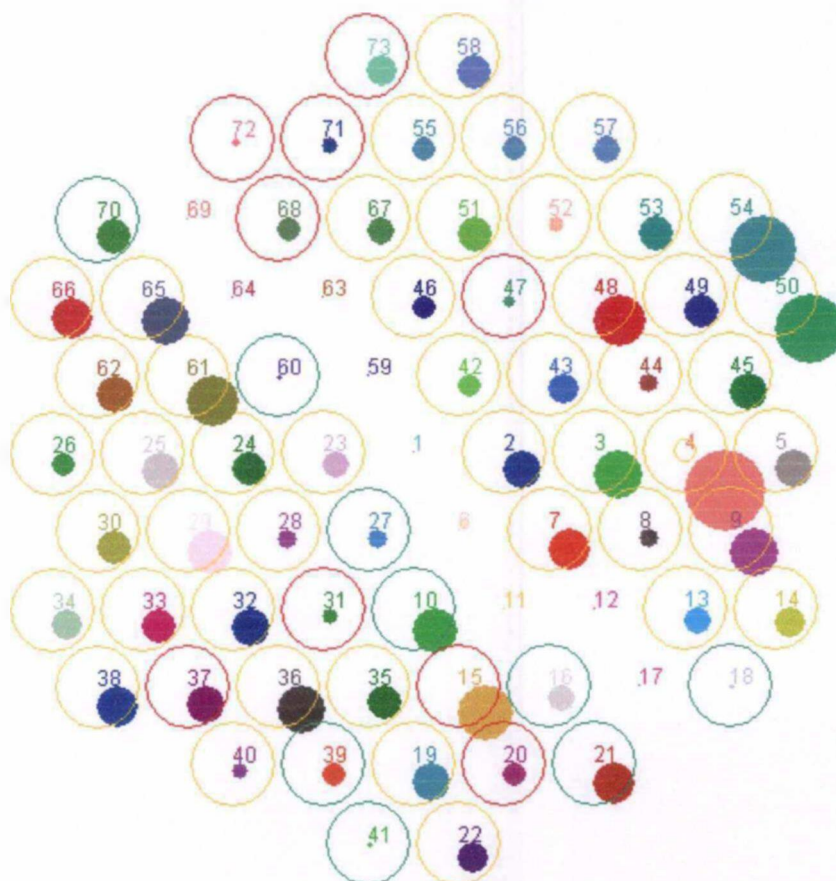


FIGURA 6.7 - Painel com o resultado da distribuição de 550 entradas para 73 unidades numa topologia plana hexagonal. A cor em torno das unidades significa classificação em dados ótimos (verde), bons (laranja) e ruins (vermelho) tendo como referência valores de contrato.

Vale mencionar a utilização de topologia bidimensional, porém esférica, para a camada de saída da rede de Kohonen. No exemplo da FIGURA 6.8, foram utilizadas 26 unidades de saída e os mesmos dados de treinamento do exemplo anterior. Ocorre uma separação clara os dois pontos de medição para até 350 entradas (aproximadamente 14 vezes o número de unidades), separação esta feita por um meridiano. No painel do *applet*, estão sendo representadas na parte superior as unidades projetadas do hemisfério frontal, e na parte inferior as unidades projetadas do hemisfério de trás. As unidades mais exteriores que se interseccionam pertencem ao meridiano que divide os hemisférios frontal e posterior.

A utilização de uma topologia esférica está baseada na observação anatômica do córtex cerebral, possuindo dezenas de circunvoluções, fora muitas outras estruturas elipsoidais e esféricas do cérebro. Os cálculos de distância se dão com os conceitos básicos de trigonometria esférica (ver ANEXO).

A topologia esférica evita o efeito das bordas que ocorre na topologia plana, em que as unidades da borda e próximas recebem menos influência da função vizinhança.

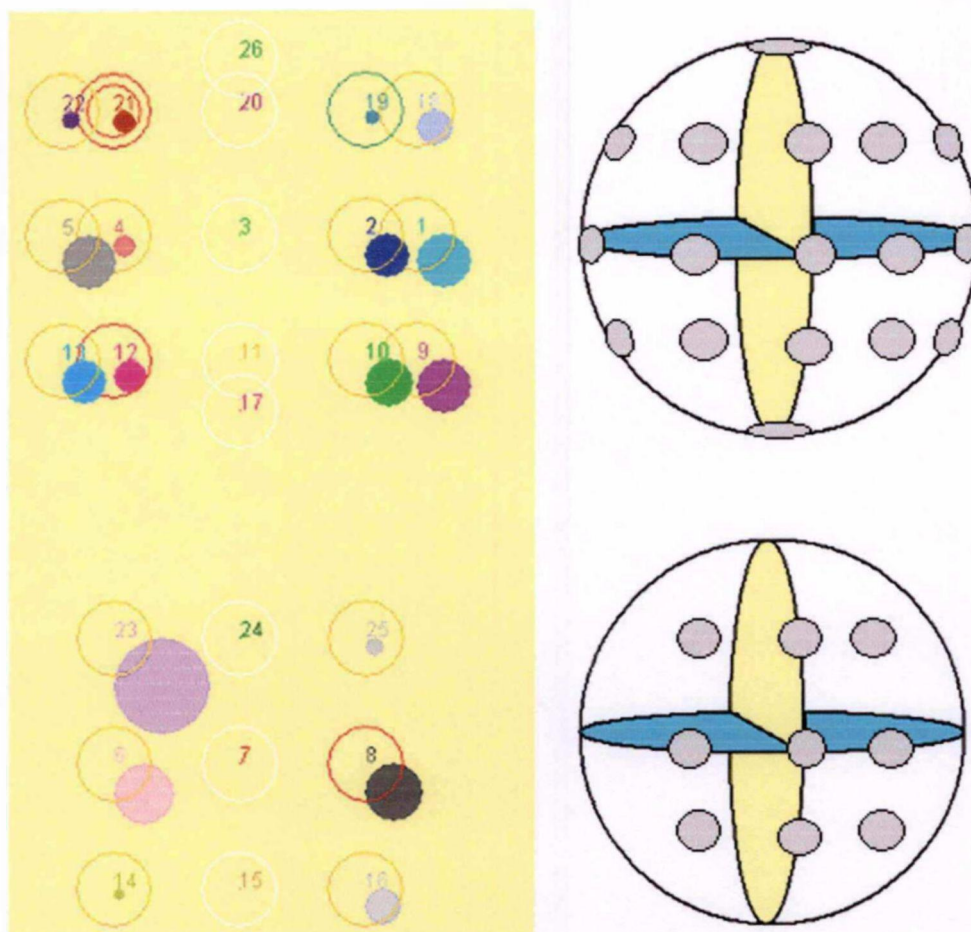


FIGURA 6.8 - Painel representando a rede esférica projetada no plano (à esquerda em fundo amarelo). Na parte superior, unidades frontais, na inferior, posteriores. Ao lado são apresentados desenhos de esferas como guias. Os círculos cinza representam a localização das unidades neurais. Alarme piscante (círculos concêntricos) na unidade 21.

Quanto às topologias bidimensionais planas, não há qualquer diferença de eficiência na obtenção de características ao utilizar uma camada neural em rede bidimensional retangular ou hexagonal. Porém a rede hexagonal, por ter seus elementos mais compactados, apresenta uma visualização mais agradável para o usuário quando este necessita verificar a separação das classes (FIGURA 6.9).

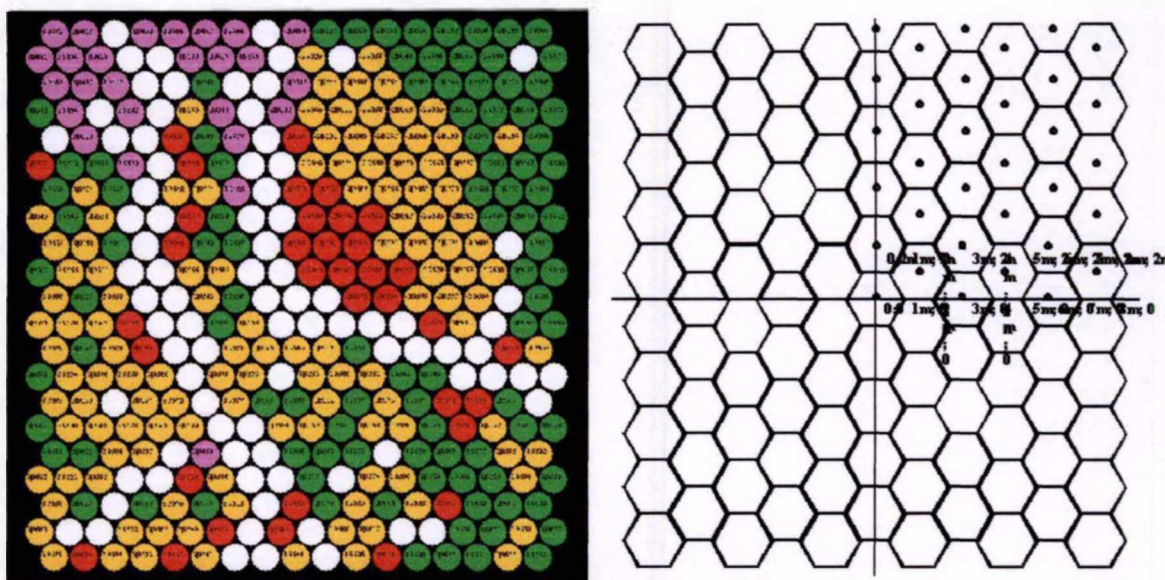


FIGURA 6.9 - Topologia bidimensional plana hexagonal para a rede de Kohonen.

Conforme pode ser observado na FIGURA 6.9, o mapeamento de características do ponto de medição na parte superior direita reflete uma menor dispersão para volume, PCS e demais variáveis, é o ponto de medição correspondente ao *label* -2 (TABELA 6.1). A unidade em roxo, isolada, na parte inferior esquerda, é um caso de PCS e volume baixos, simultaneamente.

TABELA 6.1 - Desvio padrão dividido pela média das variáveis envolvidas no treinamento, para cada ponto de medição, para amostras entre 22/out/2002 e 03/nov/2004.

Variável	Label -2	Label 1	Label 3
volume	0,163	0,183	0,171
PCS	0,003	0,004	0,006
pressão	0,011	0,022	0
temperatura	0,100	0,385	0
densidade	0,003	0,016	0,016

Nas três figuras seguintes são apresentados os resultados do treinamento para 750 entradas; 1000 iterações;  $\eta_0 = 0,22$ ;  $\sigma_0 = 55$ ;  $C_R = 1,10$ ;  $\zeta_{VOL} = 1$  e  $\zeta_{PCS} = 50$ , utilizando o mesmo conjunto de amostras (treinamento + teste) e a mesma quantidade de unidades neurais (367) da FIGURA 6.9.

A FIGURA 6.10, com a opção em fundo branco, apresenta a visão “número da unidade neural”. Como não foi acionado o botão para preenchimento do círculo que tem em seu centro a unidade neural, as cores de classificação só estão na circunferência, permitindo ver a proporção de entradas distribuídas pelas unidades neurais (círculos cheios cinzas).

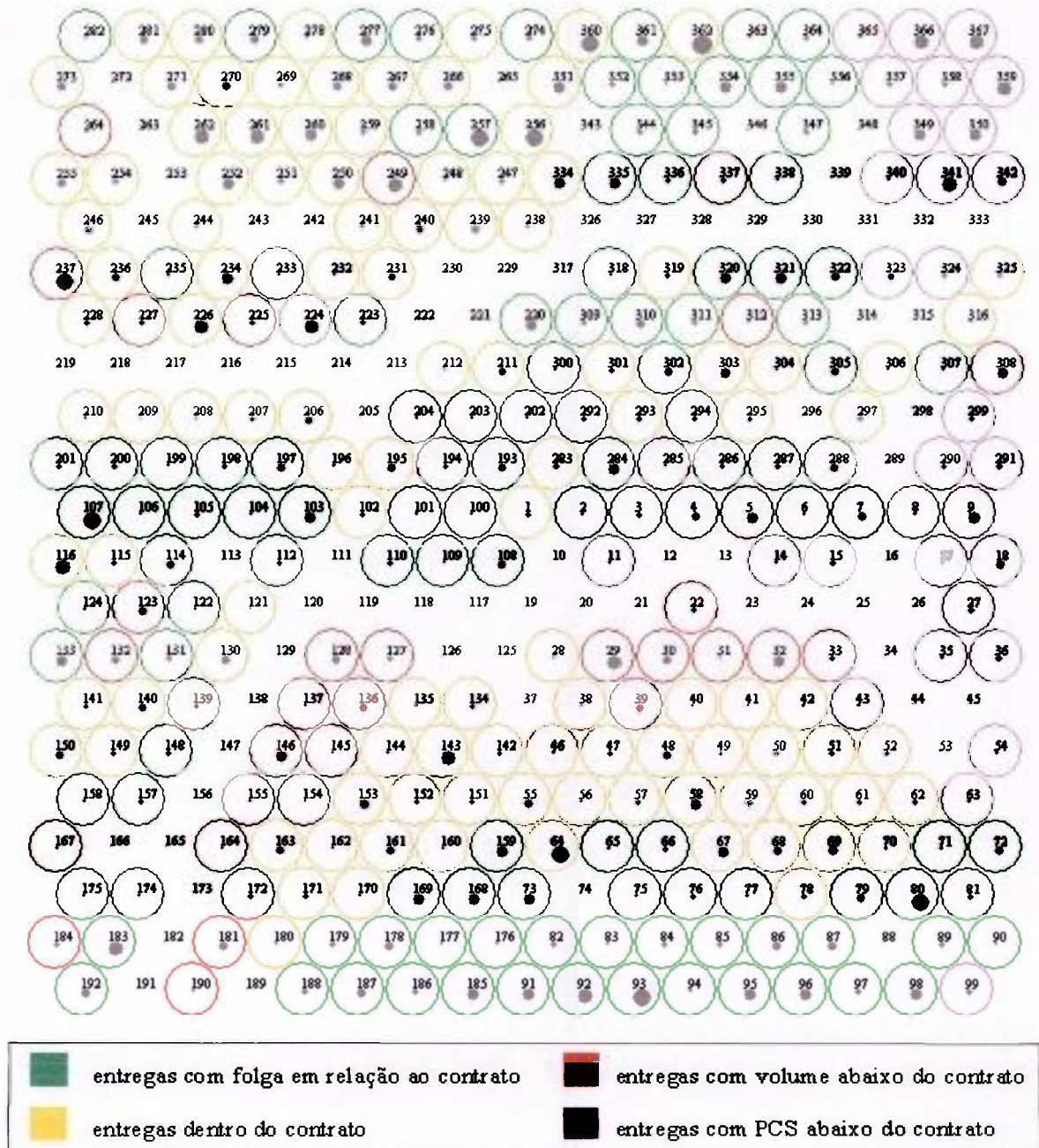


FIGURA 6.10 - Distribuição dos dados. 750 entradas; 1000 iterações;  $\eta_0 = 0,22$ ;  $\sigma_0 = 55$ ;  $C_R = 1,10$ ;  $\zeta_{vol} = 1$  e  $\zeta_{PCS} = 50$ .

Na figura 6.11 é apresentada a visão “quantidade diária entregue”, ou seja, sobre o círculo que representa a unidade neural é estampado o valor do componente volume ( $m^3$ ) do vetor de entrada que está mais próximo do vetor peso desta unidade neural, dentre outros dados que tiveram esta unidade como vencedora.

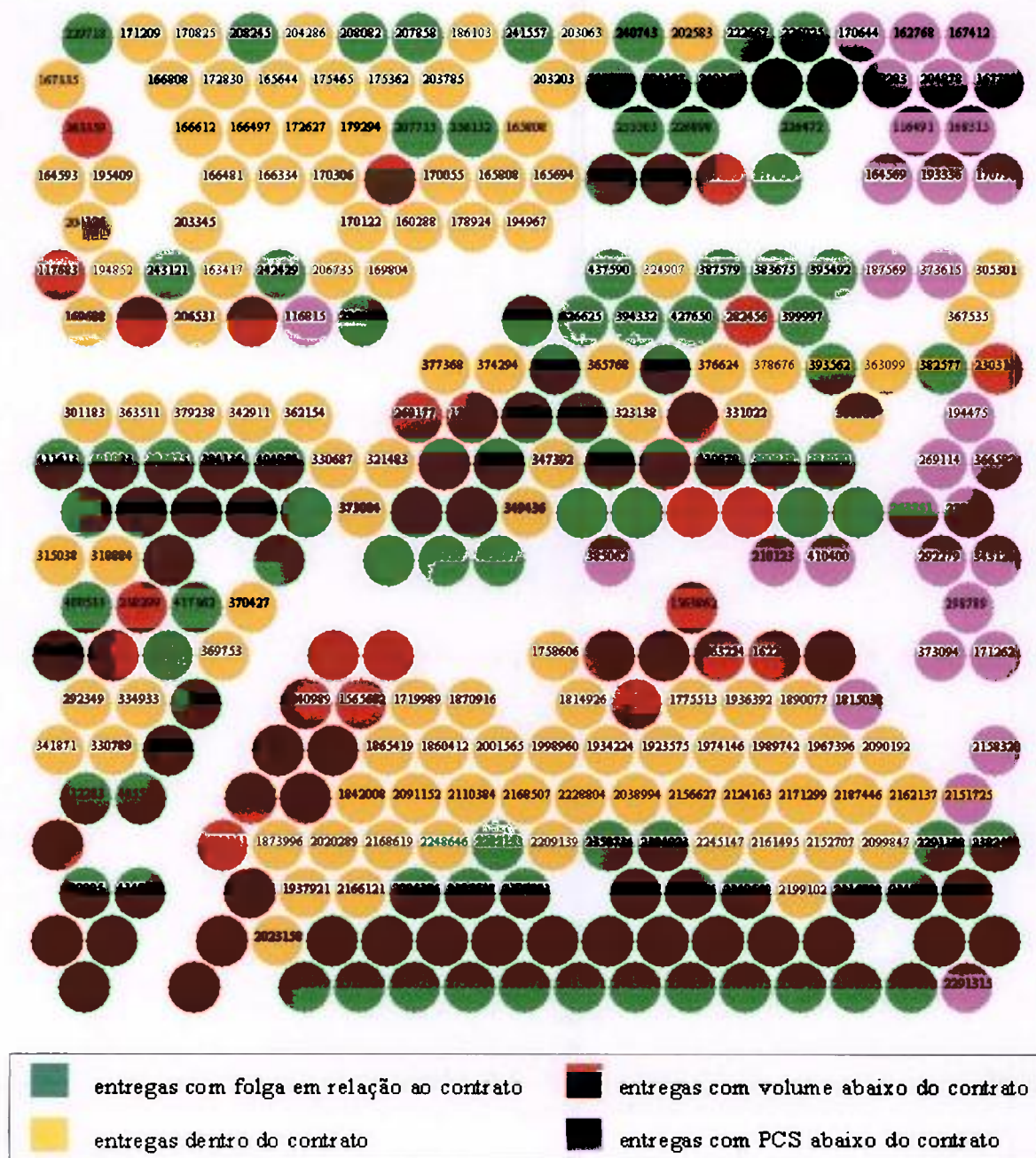


FIGURA 6.11 - Visão que imprime o volume do vetor de entrada que está mais próximo da unidade neural e que a classifica. 750 entradas; 1000 iterações;  $\eta_0 = 0,22$ ;  $\sigma_0 = 55$ ;  $C_R = 1,10$ ;  $\zeta_{VOL} = 1$  e  $\zeta_{PCS} = 50$ .

Na FIGURA 6.12 é apresentada a visão “label da unidade neural e PCS”, em que é estampado sobre a figura que representa a unidade o valor de PCS do vetor entrada que está mais próximo do vetor peso da unidade neural.

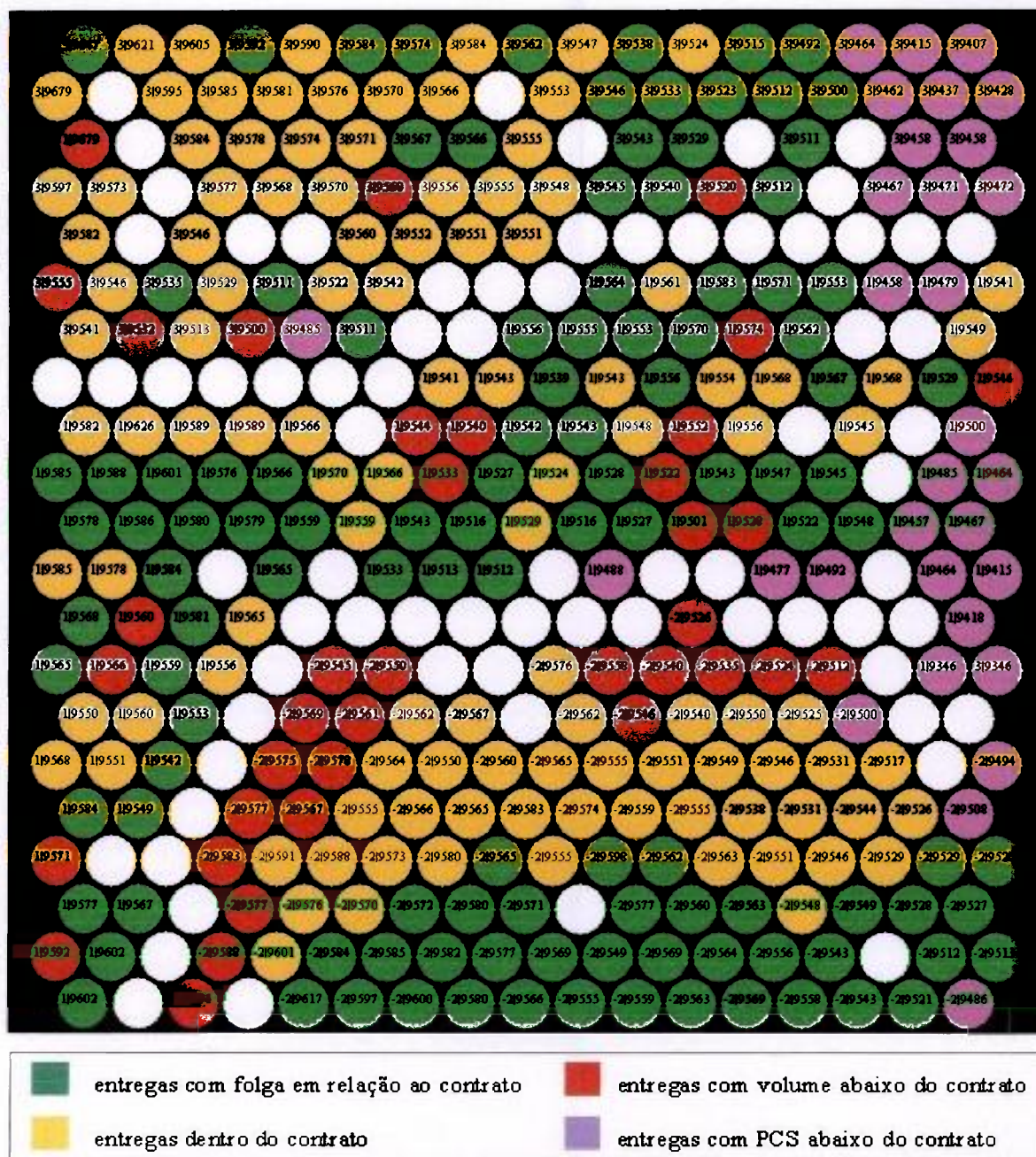


FIGURA 6.12 - Visão que imprime o PCS do vetor de entrada mais próximo da unidade neural e que a classifica. 750 entradas; 1000 iterações;  $\eta_0 = 0,22$ ;  $\sigma_0 = 55$ ;  $C_R = 1,10$ ;  $\zeta_{VOL} = 1$  e  $\zeta_{PCS} = 50$ .

## 7 CONCLUSÕES

### 7.1 Considerações finais

Os resultados deste e de outros trabalhos já publicados confirmam ser promissora a identificação de transientes através de mapas auto-organizáveis. Foram capazes de identificar tipos de transientes e condições de operação, separando nitidamente os transientes normais dos anormais e acidentais, mesmo sem recorrer à quantização vetorial, à retropropagação e ao mapa auto-organizável hierárquico.

Os mapas auto-organizáveis de Kohonen também se mostraram satisfatórios para a supervisão logística do gás natural mediante adaptações para o negócio, que por sua vez implicou em novas abordagens do próprio mapa auto-organizável, tais como topologias bidimensionais curvas para a rede de unidades neurais de saída e mudança de sensibilidade sobre os componentes de entrada. A interface do usuário construída para a aplicação se mostrou de boa usabilidade, com a própria rede servindo de painel de supervisão. Ao treinar com algumas centenas de entradas, a rede apresentou capacidade de generalização, pelos baixos desvios nos testes de classificação de dados, e apresentou robustez, por apresentar resultados semelhantes ao se variar a quantidade de unidades.

Apesar da plataforma ser 100% orientada a objetos, ou seja, um programa Java necessita obrigatoriamente da criação de objetos, seguiu-se um modelo estruturado de programação para o *core* do SOM, isso porque o algoritmo foi consequência de um longo processo evolutivo ocorrido durante este trabalho, iniciado com algoritmos adaptativos muito simples. A título de ilustração, em vários *softwares* de mercado, abertos ou proprietários, cada unidade neural é uma instanciação (objeto) de uma classe “UnidadeNeural”, e dessa maneira ocorre a criação de objetos para outras entidades de uma rede neural. Após consolidação na produção do presente algoritmo, um *upgrade* poderá ser realizado para a construção de classes para cada entidade da rede neural.

Foi observado neste algoritmo um grande consumo de tempo para a mistura aleatória da ordem de entrada dos vetores de dados, que ocorre a cada iteração ou época, se rivalizando com o tempo dos cálculos. Isto se torna problemático acima de mil entradas, pois o crescimento do tempo de embaralhamento com o número de entradas não é linear. Não se obteve uma diminuição considerável deste tempo mesmo buscando otimização do

algoritmo de mistura e do uso da biblioteca Java. Uma pesquisa mais aprofundada para esta otimização deve ser levada adiante.

O programa possui um considerável módulo de tratamento dos dados. Trata os valores faltantes, inserindo uma média global, ou, ainda na falta desta, um valor típico. Por um dos componentes do vetor de dados variar pouco, mas devido a esta variação ser muito importante, recorreu-se ao artifício da sensibilidade diferenciada, à semelhança dos olhos que possuem maior sensibilidade ao vermelho e dos ouvidos quanto aos sons em torno de 2000 Hz. Seguindo o tratamento, como cada componente corresponde a grandezas diferentes, o algoritmo leva em conta o range de cada componente para que todos os valores de entrada se situem entre 0 e 1. Depois a soma dos componentes, à exceção do *label* de localização, é normalizado para 1, assim todos os componentes relativos ao processo de negócio chegam à rede com igual consideração. Como última etapa é feito um ajuste de escala para os valores se situarem entre -1 e 1, justificado para que os eixos de plotagem tenham como origem o centro de um quadro.

Não há diferenças de eficiência, em relação à extração de características, entre as topologias bidimensionais planas retangular e hexagonal, porém a hexagonal apresenta uma visualização mais agradável dos resultados por sua característica compacta. Procurando sanar o problema de que todas as unidades neurais não “vêm” a mesma vizinhança, foi lançada a inovação de se utilizar uma topologia bidimensional esférica, levando a uma ótima extração de características e boa classificação mesmo utilizando poucas unidades neurais, menos de 30. O ponto negativo encontrado nesta topologia foi uma maior dificuldade de visualização dos resultados sobre a rede neural. Para um número maior de unidades, vai ser obrigatoriamente necessário uma interface gráfica que trate de efeitos tridimensionais, o que implica em maior processamento da CPU ou do processador da placa de vídeo, se houver; e obviamente maior trabalho de programação sobre esta interface. Por outro lado, pode-se atribuir ao SOM com topologia bidimensional esférica o papel principal de entrada de uma rede com retropropagação, nesse caso levando vantagem sobre as topologias planas quanto à classificação, como foi indicado aqui.

Problemas de performance foram encontrados com o uso muito continuado da aplicação, consumindo cada vez mais recurso de máquina, certamente uma incompatibilidade entre o compilador Java e o sistema operacional utilizado para os testes, no caso Windows 2000. Uma memória RAM acima de 512 MB é aconselhável para não ocorrer esta diminuição de performance no caso de uso prolongado. O *applet*, aplicado a este trabalho, é apontado na literatura como causador de problemas de desempenho no

hardware do cliente, uma vez que faz uso do processamento da sua máquina. Mas isto incorre em uma vantagem, livra o servidor do processamento, importante se o número de usuários simultâneos é grande. Para poucos usuários simultâneos e para uma supervisão classificada como crítica, o processamento deve ficar a cargo de um servidor de grande porte. Neste caso o código do *applet* deve ser passado para um conjunto *servlet*-páginas JSP-componentes JavaBeans.

## 7.2 Trabalhos futuros

É necessário continuar na busca de uma interface gráfica mais leve, como, por exemplo, uma possível integração entre Java, para cálculos, e Flash ou equivalente para interface gráfica.

O algoritmo SOM aqui apresentado deverá incorporar a quantização vetorial a fim de obter melhor definição na classificação das entradas (FIGURA 7.1).

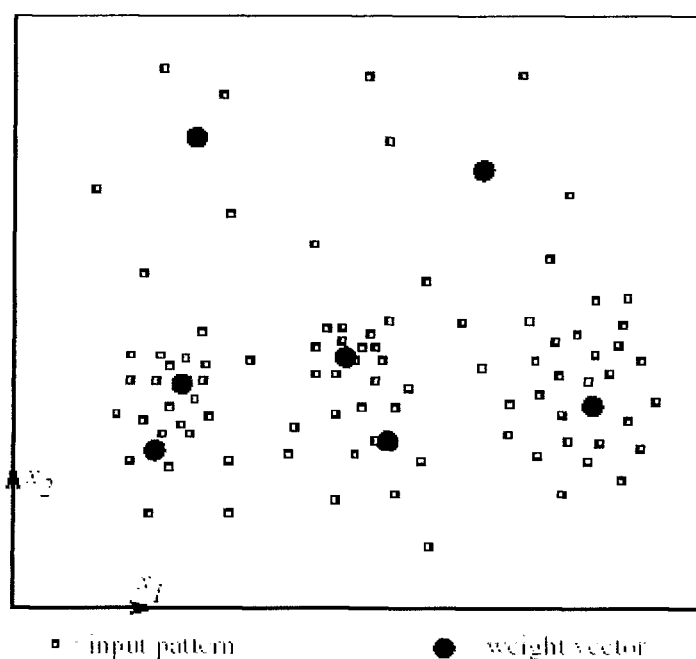


FIGURA 7.1 - Resultado de quantização vetorial.

A fim de se produzir previsões, o mapa auto-organizável servirá de entrada para outros tipos de redes neurais, tais como uma camada de propagação ou várias camadas de retropropagação (FIGURA 7.2).

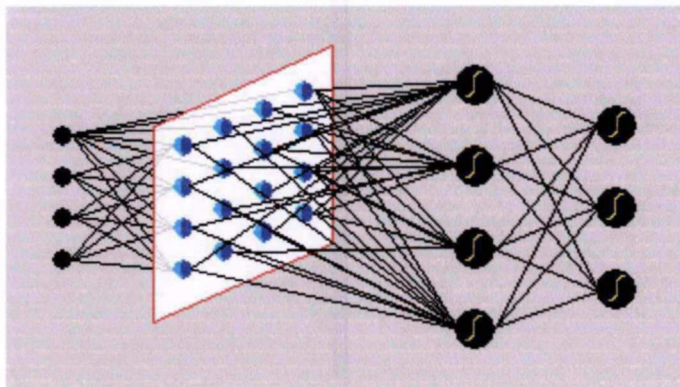


FIGURA 7.2 - O SOM como entrada de uma rede neural multicamada com retropropagação.

Uma maior levantamento da eficiência de topologias não planas, especialmente a esférica, vai ser levada adiante, inclusive por serem promissoras para servirem como entradas de outras redes neurais.

O uso efetivo em produção, para a supervisão de processos é iminente, inicialmente como mais uma opção de relatório ao lado dos gráficos de tendência, não direcionado somente para o negócio gás natural, mas para a geração de energia e proteção de dutos. Outro uso para produção será o acionamento de alarmes pelo SOM em painéis de supervisão de processos (FIGURA 7.3).



FIGURA 7.3 - Planta regional com algumas faixas de dutos alarmadas.

## ANEXO – Trigonometria esférica

### Grande círculo e pequeno círculo

Se um círculo construído sobre a superfície de uma esfera conter o centro dessa esfera, esse círculo é um grande círculo, caso contrário será um pequeno círculo.

### Representação do vetor posição em coordenadas esféricas

As componentes do vetor posição  $\mathbf{r}$  utilizando coordenadas esféricas (FIG. DE ANEXO 1) são:

$$r_x = r \cdot \cos \theta \cdot \cos \varphi ,$$

$$r_y = r \cdot \cos \theta \cdot \sin \varphi ,$$

$$\text{e } r_z = r \cdot \sin \theta ,$$

$$\text{sendo } |\mathbf{r}| = r .$$

(ANEXO.1)

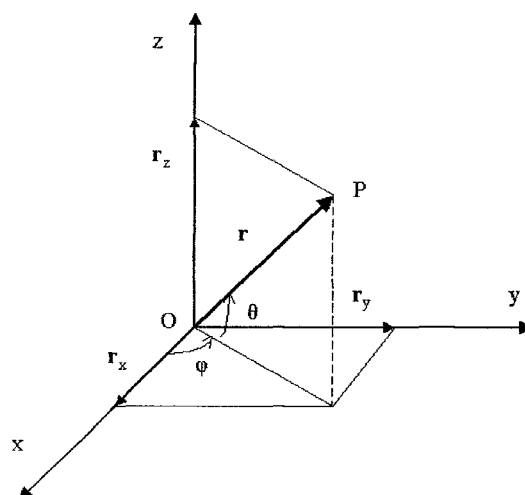


FIG. DE ANEXO 1 – Decomposição do vetor posição.

Ao fixar  $|\mathbf{r}| = 1$  u. m. (unidade de medida), elimina-se o grau de liberdade distância, só interessando as coordenadas  $\theta$  e  $\varphi$ . Fixando todos os vetores posição para o mesmo módulo, significa que todos os pontos estarão sobre a superfície de uma esfera. E para o módulo igual a 1 obteremos a representação matricial de  $\mathbf{r}$ :

$$\mathbf{r} = \begin{pmatrix} r_x \\ r_y \\ r_z \end{pmatrix} = \begin{pmatrix} \cos\theta \cdot \cos\phi \\ \cos\theta \cdot \sin\phi \\ \sin\theta \end{pmatrix}. \quad (\text{ANEXO.2})$$

### Elementos do triângulo esférico

Através do produto escalar, o ângulo entre dois vetores pode ser relacionado com as coordenadas esféricas. Este ângulo é na verdade um dos ângulos diedros do triângulo esférico formado com o auxílio do eixo z (FIG. DE ANEXO 2), que possui como “lados” arcos de grandes círculos,

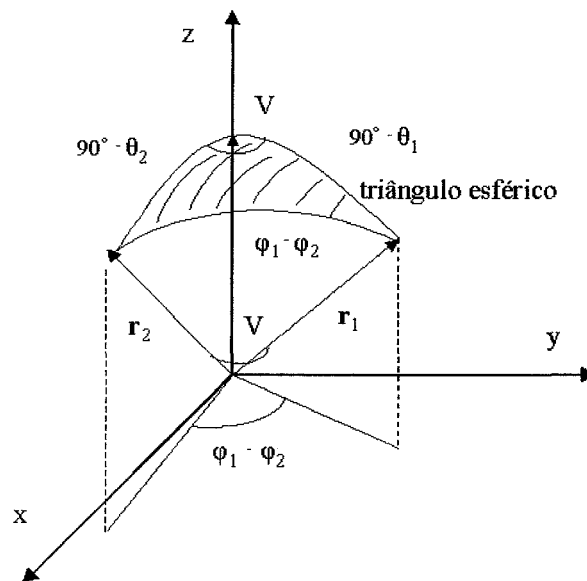


FIG. DE ANEXO 2 - Análise do triângulo esférico.

$$\mathbf{r}_1 \cdot \mathbf{r}_2 = \cos V. \quad (\text{ANEXO.3})$$

Por outro lado,

$$\mathbf{r}_1 \cdot \mathbf{r}_2 = \begin{pmatrix} r_{x1} & r_{y1} & r_{z1} \end{pmatrix} \begin{pmatrix} r_{x2} \\ r_{y2} \\ r_{z2} \end{pmatrix} = \quad (\text{ANEXO.4})$$

$$= \sin\theta_1 \sin\theta_2 + \cos\theta_1 \cos\phi_1 \cos\theta_2 \cos\phi_2 + \cos\theta_1 \sin\phi_1 \cos\theta_2 \sin\phi_2.$$

Pela propriedade da trigonometria plana,

$$\cos \varphi_1 \cos \varphi_2 + \operatorname{sen} \varphi_1 \operatorname{sen} \varphi_2 = \cos (\varphi_1 - \varphi_2) = \cos (\varphi_2 - \varphi_1). \quad (\text{ANEXO.5})$$

Combinando as equações ANEXO.3 e ANEXO.5:

$$\begin{aligned} \cos V &= \operatorname{sen} \theta_1 \operatorname{sen} \theta_2 + \cos \theta_1 \cos \theta_2 \cos (\varphi_1 - \varphi_2) \\ &\text{ou} \end{aligned} \quad (\text{ANEXO.6})$$

$$\cos V = \cos (90^\circ - \theta_1) \cos (90^\circ - \theta_2) + \operatorname{sen} (90^\circ - \theta_1) \operatorname{sen} (90^\circ - \theta_2) \cos (\varphi_1 - \varphi_2).$$

### Equações da trigonometria esférica

A dedução de (ANEXO.6) fornece o seguinte conjunto de equações para um triângulo esférico que utiliza símbolos para seus elementos conforme a FIG. DE ANEXO 3.

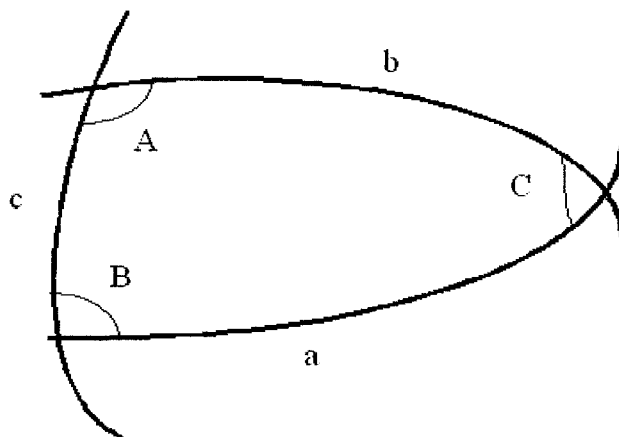


FIG. DE ANEXO 3 - Elementos do triângulo esférico.

$$\cos a = \cos b \cos c + \operatorname{sen} b \operatorname{sen} c \cos A, \quad (\text{ANEXO.7a})$$

$$\cos b = \cos a \cos c + \operatorname{sen} a \operatorname{sen} c \cos B, \quad (\text{ANEXO.7b})$$

$$\cos c = \cos a \cos b + \operatorname{sen} a \operatorname{sen} b \cos C. \quad (\text{ANEXO.7c})$$

Se as equações da série ANEXO.7 forem reordenadas como, por exemplo,  $\text{sen } b \text{ sen } c \cos A = \cos a - \cos b \cos c$ , o segundo termo ao quadrado, de todas elas será:  $1 - \cos^2 a - \cos^2 b - \cos^2 c + 2 \cos a \cos b \cos c$ . Então todos os primeiros termos poderão ser iguados, resultando na lei dos senos para o triângulo esférico,

$$\frac{\text{sen } A}{\text{sen } a} = \frac{\text{sen } B}{\text{sen } b} = \frac{\text{sen } C}{\text{sen } c}. \quad (\text{ANEXO.8})$$

Se agora, da equação (ANEXO.7a), for isolado num membro o  $\cos b$ , e substituído na equação (ANEXO.7b) obtém-se a equação (ANEXO.9a); e fazendo o mesmo entre (ANEXO.7b) e (ANEXO.7c) e depois entre (ANEXO.7c) e (ANEXO.7a), obtém-se as equações (ANEXO.9b) e (ANEXO.9c) respectivamente, a terceira série de equações da trigonometria esférica,

$$\text{sen } b \cos A = \cos a \text{ sen } c + \text{sen } a \cos c \cos B, \quad (\text{ANEXO.9a})$$

$$\text{sen } c \cos B = \cos b \text{ sen } a + \text{sen } b \cos a \cos C, \quad (\text{ANEXO.9b})$$

$$\text{sen } a \cos C = \cos c \text{ sen } b + \text{sen } c \cos b \cos A. \quad (\text{ANEXO.9c})$$

Em todas as séries de equações da trigonometria esférica, os arcos de círculo (os “lados” do triângulo esférico) podem ser permutados pelos ângulos diedros (os “ângulos” do triângulo esférico), exemplo:

$$\begin{aligned} \cos a &= \cos b \cos c + \text{sen } b \text{ sen } c \cos A \rightarrow \\ \cos A &= \cos B \cos C + \text{sen } B \text{ sen } C \cos a. \end{aligned} \quad (\text{ANEXO.10})$$





```

63          S -> função logistica sigmóide<BR>
64 </DIV>
65
66
67
68
69 <H2 align=center><br> <br>Tabela de Aprendizado</H2>
70
71 <BR>
72 <DIV ID="idTransTxt" align = "left" STYLE=
    "position:relative; left:20; height:40; width:700; color:#3322d2;
    font-size:15; font-family:Arial Rounded MT Bold ;
    filter:revealTrans(Duration=7, Transition=70); visibility:hidden">
73         Utilizar ponto para reais<BR>
74         Para Xs e Ys só aceita valores 1 ou 0. Entradas
            diferentes serão consideradas 0
75 </DIV>
76
77
78
79
80
81
82
83
84 <HR>
85
86
87
88 <SCRIPT LANGUAGE="JAVASCRIPT" TYPE="TEXT/JAVASCRIPT"><!--
89
90
91 document.write("<Applet name='apple' code= 'Rummelhart4.class' width
    = 800 height = 650>")
92
93 document.write("</applet>")
94
95 //--></Script>
96
97
98 <!-- este value é o número de sinapses, exceptuando o referente ao
    parâmetro de corte (theta) -->
99
100
101
102 <HR>
103
104
105
106
107
108 </BODY>
109 </HTML>

```

## Rummelhart4.java

```

1  /*****
2  ****
3  **** Produced and created by W. Doraskevicius, Jr
   waldj@petrobras.com.br ****
4  ****
5  **** Rede neural RHW com duas camadas neurais: 3 neurônios na oculta e
   1 na de saída ****
6  **** Retropropagação por cada linha da tabela de amostra
   (sequencial) ****
7  *****/
8
9  import java.applet.*;
10 import java.awt.*;
11 import java.awt.event.*;
12 import java.lang.*;
13 import java.text.DecimalFormat;
14
15 public class Rummelhart4 extends Applet implements ActionListener {
16
17     String NAMEINI[] = {"pesos ini.", "G11 =", "G12 =", "G13 =",
18 "G21 =", "W4inicial=", "W5inicial=", "W6inicial="};
19     String NAMESOL[] = {"parâmetros", "W1_0 =", "W1_1 =", "W1_2 =",
20 "W1_20 =", "W1_21 =", "W1_22 =", "W1_30 =", "W1_31 =", "W1_32 =", "W2_0 =",
21 "W2_1 =", "W2_2 =", "W2_3 =",
22 "X1_1_d", "X2_1_d", "X3_1_d", "X4_1_d",
23 "X5_1_d", "X6_1_d"};
24
25     Label seqAmostras;
26     Label solucao[];
27
28     TextField apre;
29     TextField fields[];
30     TextField paramFunc[];
31
32     Button calcButton;
33     Button limpButton;
34     int q1=0, gc=0, j = 1, k = 1, l = 1, n = 0, m=0, p=0;
35     int size = 2;
36     int amostras = 1;
37
38     String firstNumber;
39
40     public void init () {
41         for (int i=0; i<size; i++){
42             amostras=amostras*2;
43         }
44         paramFunc = new TextField[size+3];
45         for (int i=0; i<= (size+2); i++) {paramFunc[i] = new TextField(
46             "");}
47         apre = new TextField(" ");
48         fields = new TextField[amostras*(size+1)];
49         for (int i = 0; i < ((size+1)*amostras); i++) {fields[i] = new
50             TextField("");}
51         solucao = new Label [4*(size+1)+2];
52         for (int i=0; i < (4*(size+1)+2); i++) {solucao[i] = new Label
53             ("");}
54         g1 = 26;
55         gc = 2*size+3;
56
57
58         //Montagem da interface gráfica
59         setLayout (new GridLayout (g1, gc));

```

```

60
61     for(int m=0; m<=(size+2); m++) {
62         add(new Label(NAMESINI[m]));
63         add(paramFunc[m]);
64         for(int p=0;p<(gc-2);p++) {
65             add(new Label(""));
66         }
67
68         add(new Label(" taxa de "));
69         add(new Label("aprend. (>0)"));
70         add(abre);
71         for(int m=0; m < (gc - 3); m++) {add (new Label (""));}
72
73         for(int m=0; m < (size+1); m++){
74             add(new Label(NAMECGL[m]));
75             add(new Label(" "));
76             add(new Label("X1_d"));
77
78             p = 0;
79             for(int i=1; i <= amostras; i++) {
80                 add(seqAmostras = new Label (""));
81                 seqAmostras.setText(String.valueOf(i));
82                 for(int m=0; m<(size+1); m++) {
83                     add(new Label(" "));
84                     add (fields[m+p]);
85                     p=p+size+1;
86                 }
87
88                 add (new Label ("Soluçao:"));
89                 for(int i=0; i < (gc - 3); i++) {add (new Label (" "));}
90
91                 limpButton = new Button ("Limpar");
92                 add (limpButton);
93
94                 calcButton = new Button ("Calcular");
95                 add (calcButton);
96
97                 for(int i=0; i < (4*(size+1)+2); i++) {
98                     add (new Label (NAMESOL[i]));
99                     add (solucao[i]);
100                 }
101                 for(int m=0; m < (gc - 2); m++) {add (new Label (""));}
102
103                 paramFunc[0].requestFocus();
104
105                 calcButton.addActionListener(this);
106                 limpButton.addActionListener(this);
107
108 // fim do init()
109
110
111
112
113 //Evento clica botão
114 public void actionPerformed(ActionEvent evt) {
115
116     Button source = (Button)evt.getSource();
117     if (source.getLabel().equals("Calcular")) {
118         calcSistema();
119     }
120     if (source.getLabel().equals("Limpar")) {
121         for (int i=0; i < ((size+1)*amostras); i++) {
122             fields[i].setText("");
123             fields[0].requestFocus();
124         }
125     }
126
127 }
128
129
130 //Declara e instancia funções
131 public static double g (String param, double x) {
132     int p;p=0;

```

```

133         if (param.equals("N")) p=0;
134         if (param.equals("I")) p=1;
135         if (param.equals("S")) p=2;
136         if (param.equals("T")) p=3;
137         switch (p){
138             case 0:
139                 return 0.00d;
140             case 1:
141                 return x;
142             case 2:
143                 double BETAS=0.75d;
144                 return 1.000d/(1.00d + Math.exp((-1.00d)*BETAS*x));
145             default:
146                 return 99999.999d;
147         }
148     }
149
150
151     public static double dg (String param, double x) {
152         int p;p=0;
153         if (param.equals("N")) p=0;
154         if (param.equals("I")) p=1;
155         if (param.equals("S")) p=2;
156         if (param.equals("T")) p=3;
157         switch (p) {
158             case 0:
159                 return 0.00d;
160             case 1:
161                 return 1.0d;
162             case 2:
163                 double BETAS=0.75d;
164                 return BETAS*(1.0d - g(param,x))*g(param,x);
165             default:
166                 return 99999.999d;
167         }
168     }
169
170
171     //Procedimento de cálculo desta classe
172     public void calcSistema() {
173
174         //Declarando e instanciando variáveis e constantes próprias da
175         //classe de cálculo
176         double x0_d;
177         double x_d[][];
178         double y_d[];
179         double u_d[][];
180         double w[][];
181         String param[];
182         double Dw;
183
184         double v[][];
185         double vMinus;
186         double y[];
187
188         double ETA; //fator de realimentação ou cte. de aprendizado
189         double dif;
190         double S;
191         double difex[][];
192
193         double argTheta=0.00d;
194         double heavySide=0.00d;
195
196         int indicadorLoop;
197         int passo = 0;
198
199         y= new double[amostras+1];
200
201         x0_d=-1d;
202         ETA=0.5d;
203         Dw=0.0d;
204
205         x_d = new double[amostras+1][size+1];

```

```

205     y_d = new double[amostras+1];
206     u_d = new double[amostras+1][size+2];
207
208     param = new String[size+3];
209     v = new double[amostras+1][3+1];
210     w = new double[size+3][size+2];
211     difex = new double[5][5];
212
213     //Limpa as soluções anteriores
214     for (int i=0; i < (4*(size+1)+2); i++) {
215         if (i==0) solucao[i].setText("Aguarde...");
216         else solucao[i].setText("#");
217     }
218
219     //Verifica e corrige consistência da tabela de treinamento
220     for (int i=1; i <= (size+2); i++) {
221         if ( paramFunc[i].getText().equals("X") || paramFunc[i].
222             getText().equals("I") || paramFunc[i].getText().equals("S"))
223         {
224             System.out.print(
225                 "Entrada da sequencia de escolha das funcoes");
226             System.out.print(i+1);
227             System.out.println(" Ok");
228         }
229         else {paramFunc[i].setText("S");}
230     }
231
232     for (int i=0; i < ((size+1)*amostras); i++) {
233         if ( fields[i].getText().equals("+") || fields[i].getText().
234             equals("1") || fields[i].getText().equals("0") ) {
235             System.out.print("Entrada de dados da sequencia ");
236             System.out.print(i+1);
237             System.out.println(" Ok");
238         }
239         else {fields[i].setText("0");}
240     }
241
242     //Preenchimento default dos vectores
243     for (int i=0; i <= (size+1); i++) {param[i] = "X";}
244     param[size+2] = "S";
245
246     for (int i=0; i < 5; i++) {
247         for (int j=0; j < (4); j++) {
248             w[i][j]=0.08d;
249         }
250     }
251
252     for (int i=0; i <= amostras; i++) {
253         for (int j=0; j <= (size); j++) {x_d[i][j] = 0.0d;}
254         y_d[i] = 0.0d;
255     }
256     for (int i=0; i <= amostras; i++) {
257         for (int j=0; j <= (size); j++) {u_d[i][j] = 0.0d;}
258     }
259     for (int i=1; i<=amostras; i++){
260         x_d[i][0]=-1.0d;
261     }
262     for (int i=1; i<=amostras; i++) {
263         u_d[i][0]=-1.0d;
264     }
265     for (int i=0; i < 5; i++) {
266         for (int j=0; j < 5; j++) {difex[i][j] = 0.0d;}
267     }
268
269     //Peça os valores da interface do usuário
270     for (int i=0; i < 5; i++) {
271         for (int j=0; j < (4); j++) {
272             w[i][j]=(Double.valueOf(paramFunc[0].getText()).

```

```

273     for (int j=1; j <= (size+2); j++) {
274         param[j] = (paramFunc[j].getText());
275     }
276
277     k=0;
278     for (int i=1; i <= (amostras); i++) {
279         for (int j=1; j <= (size); j++) {
280             x_d[i][j] = (Double.valueOf(fields[k].getText()).
                doubleValue());k++;
281         }
282         v_d[i] = (Double.valueOf(fields[k].getText()).doubleValue());
                k++;
283
284
285         //subtrai da média
286         for (int i=1; i <= (amostras); i++) {
287             for (int j=1; j <= (size); j++) {
288                 if (x_d[i][j] == 1d) {x_d[i][j]=1d;}
289                 else {x_d[i][j]=-1d;}
290             }
291         }
292
293         //faz distâncias de 0 e 1 para y_d não simétricas
294         for (int i=1; i <= (amostras); i++) {
295             if (y_d[i]==1d) {y_d[i]=0.98d;}
296             else {y_d[i]=0.01d;}
297         }
298
299         //pega a constante de aprendizado
300         ETA = (Double.valueOf(apre.getText()).doubleValue());
301         if (ETA < 0.00000) { //consistência da cte. de aprendizado
302             ETA=ETA*(-1.0d); apre.setText(String.valueOf(ETA));
303         }
304
305         //Realizando propriamente o algoritmo de retropropagação da
                rede neural
306         int I=1;
307         indicadorLoop=4;
308
309         while (indicadorLoop > 0 && passo < 4000) {
310
311             for (int k=1; k<=3; k++) {
312                 v[I][k]=0.0d;
313                 for (int j=0; j<=(size);j++) {
314                     v[I][k]=v[I][k] + (w[k][j]*x_d[I][j]);
315                 }
316                 u_d[I][k]=g(param[k],v[I][k]);
317                 if (u_d[I][k]>=0.5d) {u_d[I][k]=1d;}
318                 else {
319                     if (u_d[I][k]==0d) {u_d[I][k]=0d;}
320                     else u_d[I][k]=-1d;
321                 }
322             }
323
324             //para atualizar os pesos da camada de saída
325             vMinus=0.0d;
326             for (int j=0; j<=(size+1);j++) {
327                 vMinus=vMinus + (w[4][j]*u_d[I][j]);
328             }
329
330             y[I] = g(param[4],vMinus);
331
332             difex[4][I] = (y_d[I]-y[I])*dg(param[4],vMinus);
333
334             for (int n=0; n<=(size+1); n++) {
335                 Dw=0.0d;
336                 Dw = Dw + difex[4][I]*u_d[I][n];
337                 Dw = ETA*Dw;
338                 w[4][n] = w[4][n] + Dw;
339             }
340
341             //recalcula o delta da camada de saída
342             vMinus=0.0d;

```

```

343     for (int j=0; j<=(size+1);j++) {
344         vMinus=vMinus + (w[4][j]*u_d[I][j]);
345     }
346
347     y[I] = g(param[4],vMinus);
348
349     difex[4][I] = (y_d[I]-y[I])*dg(param[4],vMinus);
350
351     //para atualizar os pesos da camada oculta
352     for (int N=1; N<=(size+1); N++) {
353         difex[N][I] = difex[4][I]*w[4][N]*dg(param[N],v[I][K]);
354     }
355
356     for (int Y=1; Y<=(size+1); Y++) {
357         for (int n=0; n<=(size); n++) {
358             Dw=0.0d;
359             Dw = Dw + difex[Y][I]*x_d[I][n];
360             Dw = ETA*Dw;
361             w[Y][n] = w[Y][n] + Dw;
362         }
363     }
364
365     indicadorLoop=0;
366     for (int i=1; i<=amostras; i++) {
367         if ((y_d[i] >= 0.85d && y[i] > 0.5d) || (y_d[i] <= 0.15d &&
368             y[i] < 0.5d)) {indicadorLoop=indicadorLoop+0;}
369         else {indicadorLoop=indicadorLoop+1;}
370     }
371     I++; if (I>4) {I=1;}
372     passo++;
373 }
374
375
376
377 //Imprimindo a solução do sistema
378 if (passo >= 3999) {
379     for (int i=0; i < (size+2); i++) {
380         solucao[i].setText("Este neural"); i++;
381         solucao[i].setText("nao assimila"); i++;
382         solucao[i].setText("esta tabela"); i++;
383         if (size>1){solucao[i].setText("de amostra."); i++;}
384     }
385 }
386 else {
387     int K=1; int M=0;
388     solucao[0].setText(String.valueOf(passo));
389     for (int i=1; i < (4*(size+1)+2); i++) {
390         if (M>2 && K<4) {M=0; N++;}
391         solucao[i].setText(String.valueOf(w[K][M]));
392         M++;
393     }
394 }
395 }
396
397
398 // final da classe Rummelhart4

```

## APÊNDICE B – Códigos-fonte

Serão apresentados a seguir os códigos-fonte do .class de consulta e geração do arquivo texto (FIG. DE APÊNDICE B 1a) que contém as entradas para o mapa auto-organizável de Kohonen, da página HTML com o formulário dos parâmetros de treinamento do mapa auto-organizável (FIG. DE APÊNDICE B 1b), da página HTML que portará o *applet* Java (FIG. DE APÊNDICE B 1c) e finalmente do próprio *applet* Java, nessa ordem.

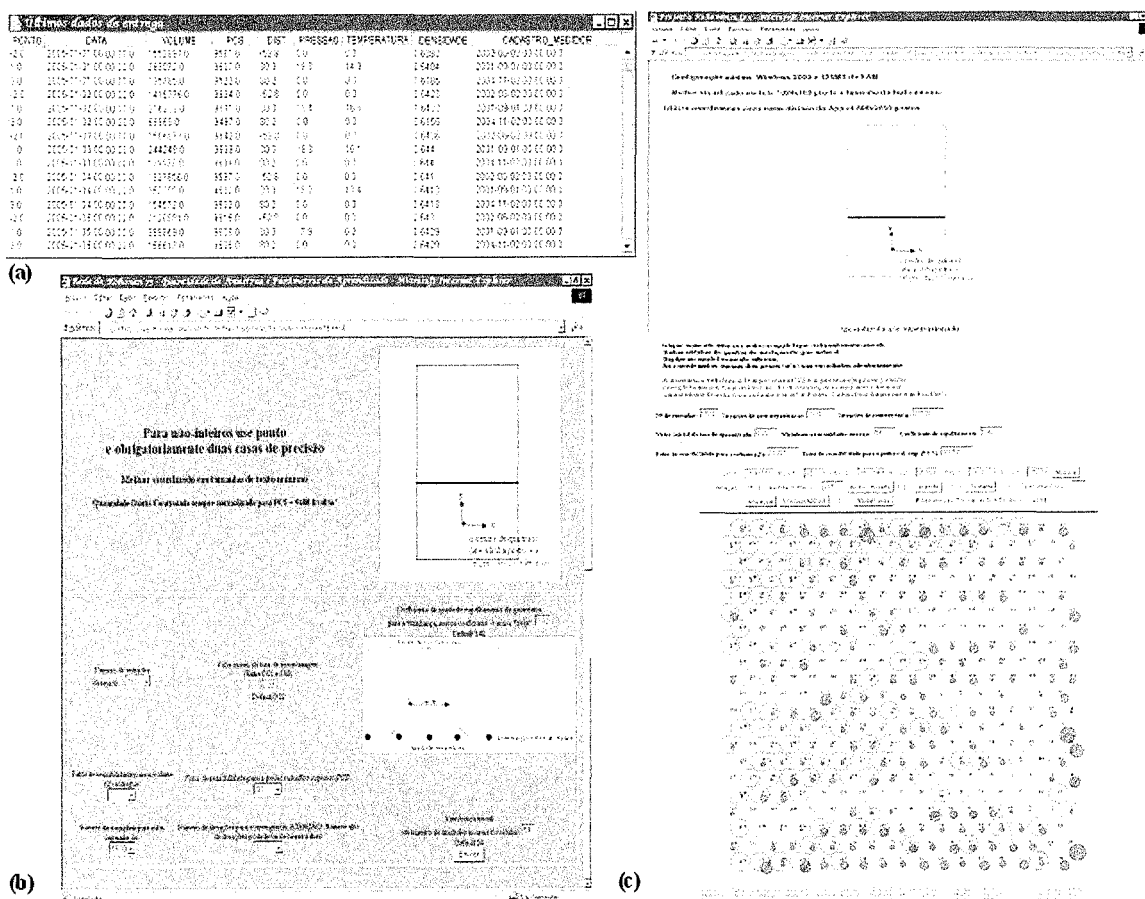


FIG. DE APÊNDICE B 1 - Interfaces gráficas dos códigos-fonte.

## ExibeTabela9.java

```

1  /* Acesso a banco de dados Oracle com impressão de dados em arquivo
   texto */
2  /*Volume em ml, PCS em kcal/ml para três city-gates em linhas
   intercaladas*/
3  /*      com indicador inicial aleatório de dia da semana no último campo
   */
4  /*      Copyright Waldemar Doraskevicius Jr. -- waldj@petrobras.com.br
   */
5
6  import java.sql.*;
7  import javax.swing.*;
8  import java.awt.*;
9  import java.awt.event.*;
10 import java.util.*;
11 import javax.swing.*;
12 import java.io.*;
13
14
15
16 public class ExibeTabela9 extends JFrame {
17
18     private JTable tabela;
19     private java.sql.Connection conexao;
20
21
22     public void ExibeTabela9() {
23
24
25         try { //classe 0: instancia driver de comunicação
26             Class.forName("sun.jdbc.odbc.JdbcOdbcDriver");
27         } //0
28
29
30         catch (ClassNotFoundException e) {
31             System.err.println(e);
32             e.printStackTrace();
33         }
34
35
36         cargaTabela();
37         setSize(1000,500);
38         show();
39
40     } //fim do método ExibeTabela9
41
42
43
44     private void cargaTabela() {
45         Statement declaracao;
46         ResultSet resultados;
47         String url= "jdbc:odbc:INFOTRERX";//-- case sensitive
48         String usuario = "SB001";
49         String senha = "NONONONONO";//-- case sensitive
50
51         try {
52             String query = "SELECT AGPM NR ORDEN AS PONTO,"+
53                 "MEGN_BH_MEDICAO AS DATA,"+
54                 "SUM(MEGN_QN_VL_C CORR: AS VOLUME," -
55                 "AVG(J.MEGN_MD_PCR) AS PCS,"+
56                 "AGPM_MD_DEST_ORIGEM AS DIST,"+
57                 "MAX(V.VAOP_MD_PRES_OPL: AS PRESSAO," -
58                 "MIN(V.VAOP_MD_TEMP: AS TEMPERATURA," -
59                 "AVG(J.MEGN_MD_DENSIDADE: AS DENSIDADE,"+
60
61                 "MAX(DS.MEGA_DE_ATUA_INF: AS
62                 CARASTRO_MEDICOR " -
63                 "FROM "+
64                 "MEDICAO_GAE_NAT J,VV_MEGA_BTMAX W," -
65
66                 "AGRUAMENTO_PONTO_MEDICAO,VARIAVEIS_OPER
67                 V "+
68                 "WHERE "+
69                 " (AGPM_OR_PONTO_MEDICAO='CY-BINDA' OR " -

```

```

66 "AGPM_CD_PONTO_MEDICAO='CY-CARUAVA' OR "-
67 "AGPM_CD_PONTO_MEDICAO='CY-SJC') AND "-
68
69 "J.POME_CD_ID=AGPM_CD_PONTO_MEDICAO(+) AND
70 "+
71 "J.POME_CD_ID=V.POME_CD_ID(+) AND "-
72 "J.MEGA_CD_ID=V.MEGA_CD_ID(+) AND "-
73
74 "J.MEKN_DH_MEDICAO=V.VACP_DH_LEITURA(+)
75 AND "+
76 "J.POME_CD_ID=W.POME_CD_ID(+) AND "-
77 "J.MEGA_CD_ID=W.MEGA_CD_ID(+) "+
78
79 "AND MEKN_DH_MEDICAO>=TO_DATE('11/02/2002
80 00:00', 'DDMMYYYY HH24:MI') "+
81
82 "AND MEKN_DH_MEDICAO<=TO_DATE('04/12/2004
83 00:00', 'DDMMYYYY HH24:MI') "+
84 "GROUP BY MEKN_DH_MEDICAO,"+
85 "AGPM_NR_ORDEM,AGPM_ND_DIST_ORDEM "+
86
87 "ORDER BY MEKN_DH_MEDICAO
88 ASC,AGPM_NR_ORDEM";
89
90 try //passo 1: conexão
91 conexao = DriverManager.getConnection(url,usuario,
92 senha);
93 try //passo 2: declaração
94 declaracao=conexao.createStatement();
95 try //passo 3: executar query
96 resultados = declaracao.executeQuery(query);
97 mostraResultados(resultados);
98 //2
99 finally {
100 declaracao.close();
101 }
102 //2
103 finally {
104 }
105 //1
106
107 catch (java.sql.SQLException h) {
108 System.out.println("Inapto para conectar");
109 h.printStackTrace();
110 }
111
112 }
113
114 catch (Exception ex) {
115 System.out.println(
116 "Inapto para conexão/execução de query");
117 ex.printStackTrace();
118 }
119
120 }
121
122 //fim do método cargaTabela
123
124
125 private void mostraResultados(ResultSet res) throws java.sql.
126 SQLException {
127 //posiciona para o primeiro registro
128 boolean maisRegistros = res.next();
129 int numeroLinha=0;//conta as linhas do ResultSet
130 int numeroDiaSemana=1;//atribuição de inteiros a dias da semana
131
132 //se não houver registros, exibe uma mensagem
133 if (!maisRegistros) {
134 JOptionPane.showMessageDialog(this,
135 "O ResultSet não possui nenhum registro");
136 setTitle("Nenhum registro disponível");
137 return;//sai do método
138 }

```

```

125     }
126
127     setTitle("Dados da lista de entrega");
128
129     Vector colunasCabecalho = new Vector();
130     Vector linhas = new Vector();
131
132     try {
133         //cra o arquivo .txt e o seu processo de inscrição
134         FileWriter arqTextoSaida = new FileWriter("dados.txt");
135         PrintWriter arqDadosSaida = new PrintWriter(arqTextoSaida);
136         //obter titulos da coluna
137         ResultSetMetaData rsmd = res.getMetaData();
138         for (int i=1; i<= rsmd.getColumnCount(); ++i) {
139             colunasCabecalho.addElement(rsmd.getColumnName(i));
140         }
141         //obter indices da linha
142         do {
143             numeroLinhas--;
144             if (numeroLinhas>1 && (numeroLinhas-1)%3==0)
145                 (numeroDiaSemana++);
146             if (numeroDiaSemana>7) (numeroDiaSemana=1);
147             linhas.addElement(pegaProximaLinha(res, rsmd, arqDadosSaida,
148                 numeroLinhas, numeroDiaSemana));
149         } while (res.next());
150         //exibir a tabela com conteudos da resultSet
151         JTable tabela = new JTable(linhas, colunasCabecalho);
152         JScrollPane elevador = new JScrollPane(tabela);
153         getContentPane().add(elevador, BorderLayout.CENTER);
154         validate();
155         arqDadosSaida.close();
156     }
157     catch (IOException io) {
158         System.err.println("Erro na leitura do arquivo");
159     }
160     catch (java.sql.SQLException sqlex) {
161         System.out.println("Inapto para mostrar registros");
162         sqlex.printStackTrace();
163     }
164 }
165 //fim do método mostraResultados
166
167 private Vector pegaProximaLinha(ResultSet res, ResultSetMetaData
168     rsmd, PrintWriter arqDadosSaida, int numeroLinhas, int
169     numeroDiaSemana) throws java.sql.SQLException {
170     Vector correnteLinha = new Vector();
171     for (int i = 1; i <= rsmd.getColumnCount(); ++i) { //n
172         if (i==1) arqDadosSaida.print(numeroLinhas); arqDadosSaida.print
173             ("");
174         switch(rsmd.getColumnType(i)) {
175             case Types.VARCHAR:
176                 correnteLinha.addElement(res.getString(i));
177                 arqDadosSaida.print(correnteLinha.elementAt(i-1));
178                 if (i==rsmd.getColumnCount())
179                     arqDadosSaida.print(" ");
180                 else arqDadosSaida.print(" ");
181                 break;
182             case Types.CHAR:
183                 correnteLinha.addElement(res.getString(i));
184                 arqDadosSaida.print(correnteLinha.elementAt(i-1));
185                 if (i==rsmd.getColumnCount())
186                     arqDadosSaida.print(" ");
187                 else arqDadosSaida.print(" ");
188                 break;
189             case Types.INTEGER:
190                 correnteLinha.addElement(new Long(res.getLong(i)));
191                 arqDadosSaida.print(correnteLinha.elementAt(i-1));
192                 if (i==rsmd.getColumnCount())
193                     arqDadosSaida.print(" ");
194                 else arqDadosSaida.print(" ");
195                 break;
196             case Types.DOUBLE:

```

```

190         correnteLinha.addElement(new Float(res.getFloat(i));
191         argDadosSaida.print(correnteLinha.elementAt(i-1));
192         if (i==rsmd.getColumnCount())
193             /argDadosSaida.print("");
194         else /argDadosSaida.print("");
195         break;
196     case Types.FLOAT:
197         correnteLinha.addElement(new Float(res.getFloat(i));
198         argDadosSaida.print(correnteLinha.elementAt(i-1));
199         if (i==rsmd.getColumnCount())
200             /argDadosSaida.print("");
201         else /argDadosSaida.print("");
202         break;
203     case Types.REAL:
204         correnteLinha.addElement(new Float(res.getFloat(i));
205         argDadosSaida.print(correnteLinha.elementAt(i-1));
206         if (i==rsmd.getColumnCount())
207             /argDadosSaida.print("");
208         else /argDadosSaida.print("");
209         break;
210     case Types.NUMERIC:
211         correnteLinha.addElement(new Float(res.getFloat(i));
212         argDadosSaida.print(correnteLinha.elementAt(i-1));
213         if (i==rsmd.getColumnCount())
214             /argDadosSaida.print("");
215         else /argDadosSaida.print("");
216         break;
217     case Types.DECIMAL:
218         correnteLinha.addElement(new Float(res.getFloat(i));
219         argDadosSaida.print(correnteLinha.elementAt(i-1));
220         if (i==rsmd.getColumnCount())
221             /argDadosSaida.print("");
222         else /argDadosSaida.print("");
223         break;
224     case Types.BIGINT:
225         correnteLinha.addElement(new Long(res.getLong(i));
226         argDadosSaida.print(correnteLinha.elementAt(i-1));
227         if (i==rsmd.getColumnCount())
228             /argDadosSaida.print("");
229         else /argDadosSaida.print("");
230         break;
231     case Types.TIMESTAMP:
232         correnteLinha.addElement(res.getTimeStamp(i));
233         argDadosSaida.print(correnteLinha.elementAt(i-1));
234         if (i==rsmd.getColumnCount())
235             /argDadosSaida.print("");
236         else /argDadosSaida.print("");
237         break;
238     case Types.OTHER:
239         correnteLinha.addElement(new Float(res.getFloat(i));
240         argDadosSaida.print(correnteLinha.elementAt(i-1));
241         if (i==rsmd.getColumnCount())
242             /argDadosSaida.print("");
243         else /argDadosSaida.print("");
244         break;
245     default:
246         System.out.println("O type era: " + rsmd.
247             getColumnTypeName(i));
248         break;
249     }
250     //n
251     argDadosSaida.print(numeroDiaSemana); argDadosSaida.println("");
252     return correnteLinha;
253 } //fim do método pegaProximaLinha
254
255 public void encerraConnexao() {
256     try {
257         connexao.close();
258     }
259     catch (java.sql.SQLException eplex) {
260         System.err.println("Inapto para desconectar");
261     }
262 }

```

```
254         sqllex.printStackTrace();
255     }
256     //fim do método encerraConexao
257
258
259
260     public static void main(String[] args) {
261         final ExibeTabela9 app = new ExibeTabela9();
262         app.ExibeTabela9();
263         app.addWindowListener(
264             new WindowAdapter() {
265                 public void windowClosing(WindowEvent e) {
266                     app.encerraConexao();
267                     System.exit(0);
268                 }
269             }
270         );
271     //fim do método main
272
273
274
275     //fim da classe ExibeTabela9
```



```

70     </td>
71     <td align="center">
72         <br>Valor inicial da taxa de aprendizagem.
73         <br>(Entre 0.01 e 3.00)<br>
74         <INPUT TYPE="TEXT" MAXLENGTH="4" SIZE="1" NAME="bus" VALUE=
75             "0.22">
76         <br>Default: 0.22<br>
77     </td>
78     <td align="center">
79         <br>Coeficiente de ajuste de espalhamento da gaussiana
80         <br>para a vizinhança, menor coeficiente -> maior "bobo".
81         <INPUT TYPE="TEXT" MAXLENGTH="4" SIZE="1" NAME="usb2" VALUE=
82             "1.40">
83         <br>Default: 1.40<br>
84         <IMG SRC="../../../General/gaussIllustrII.jpg">
85     </td>
86 </tr>
87 <tr align="center">
88     <td align="center">
89         <br>Fator de sensibilidade para o volume (Q) entregue:<br>
90         <select name="uhs">
91             <option value="0.001">0.001
92             <option value="0.010">0.01
93             <option value="0.500">0.5
94             <option value="0.100">0.1
95             <option selected value="00001">1
96             <option value="00010">10
97             <option value="00050">50
98             <option value="00100">100
99             <option value="01000">1000
100         </select><br>
101     </td>
102     <td align="center">
103         <br>Fator de sensibilidade para o poder calorífico superior
104         <br>(PCS):<br>
105         <select name="hsu">
106             <option value="0.001">0.001
107             <option value="0.010">0.01
108             <option value="0.500">0.5
109             <option value="0.100">0.1
110             <option value="00001">1
111             <option value="00010">10
112             <option selected value="00050">50
113             <option value="00100">100
114             <option value="01000">1000
115         </select><br>
116     </td>
117 </tr>
118 <tr align="center">
119     <td align="center">
120         <br>Número de iterações para auto-organização:<br>
121         <select name="usb1">
122             <option value="0200">200
123             <option value="0500">500
124             <option value="1000">1000
125             <option value="1200">1200
126             <option selected value="1500">1500
127             <option value="2000">2000
128         </select><br>
129     </td>
130     <td align="center">
131         <br>Número de iterações para convergência:
132         <br>ATENÇÃO! Número alto de iterações pode levar de horas a dias!<br>
133         <select name="usb2">
134             <option value="00000">0
135             <option selected value="00500">500
136             <option value="01000">1000
137             <option value="02000">2000
138             <option value="03000">3000
139             <option value="05000">5000

```

```
139         <option value="10000">10000
140         <option value="50000">50000
141         <option value="80000">80000
142         <option value="99999">99999
143     </select><br>
144 </td>
145 <td align="center">
146     <br>Vizinhança inicial
147     <br>em número de unidades neurais ou células.
148     <INPUT TYPE="TEXT" MAXLENGTH="3" SIZE="1" NAME="usb1" VALUE=
149         "54">
149     <br>Default: 54<br>
150     <INPUT TYPE="SUBMIT" VALUE="Enviar">
151 </td>
152 </tr>
153 </table>
154 </form>
155
156
157 </BODY>
158
159
160
161 </HTML>
```

## Kohonen73.html

```

1 <HTML>
2 <HEAD>
3
4 <TITLE>Projecto Kohonen73.jsp</TITLE>
5
6 <SCRIPT LANGUAGE="JavaScript">
7 <!-- Inicio do script netie
8 function netie(net, ie) {
9   if ((navigator.appVersion.substring(0,3) >= net && navigator.appName
    == 'Netscape' && net != -1) || (navigator.appVersion.substring(0,3)
    >= ie && navigator.appName.substring(0,9) == 'Microsoft' && ie !=
    -1))
10     return true;
11   else return false;
12 }
13 // Fim do script netie -->
14 </SCRIPT>
15
16 <SCRIPT LANGUAGE="JavaScript">
17 <!-- Inicio do script transitionTxt
18 function transitionTxt() {
19   if (idTransTxt.filters.item(0).status == 0) {
20     idTransTxt.filters.item(0).apply();
21     idTransTxt.style.visibility = "visible";
22     idTransTxt.filters(0).play();
23   }
24   if (idTransTit.filters.item(0).status == 0) {
25     idTransTit.filters.item(0).apply();
26     idTransTit.style.visibility = "visible";
27     idTransTit.filters(0).play();
28   }
29 }
30 // Fim do script transitionTxt -->
31 </SCRIPT>
32
33 </HEAD>
34
35
36
37 <BODY onLoad="netie(-1,4)transitionTxt():null">
38
39 <H4><FONT color=#5A4033>Ey Waldemar Doraskevicius
40 Jranbsp;&nbsp; &nbsp; &nbsp; &nbsp; &nbsp; <SUP>o</SUP>&nbsp; &nbsp; &nbsp; &nbsp; &nbsp; 1987639</FONT><H4>
41 <BR>
42 <DIV ID="idTransTit" align = "left" STYLE=
43 "position:relative; left:20; height:40; width:700; color:#990033;
44 font-size:14; font-family:Arial Rounded MT Bold ;
45 filter:revealTrans(Duration=7, Transition=70); visibility:hidden">
46   &nbsp; &nbsp; &nbsp; &nbsp; &nbsp; &nbsp; &nbsp; &nbsp; Configura&cedil;&atilde;o m&acute;nima:
47   &nbsp; &nbsp; &nbsp; &nbsp; &nbsp; &nbsp; &nbsp; &nbsp; Windows 2000 e 128MB de RAM<BR><BR>
48   &nbsp; &nbsp; &nbsp; &nbsp; &nbsp; &nbsp; &nbsp; &nbsp; Melhor visualizado em tela 1024x768 pixels e
49   tamanho de texto m&acute;nimo<BR><BR>
50   Utiliza coordenadas Java numa divis&atilde;o do Applet 700x800 pontos
51 </DIV>
52
53
54 <table width="100%" align="center">
55   <tr>
56     <td align="center">
57       <IMG SRC="../General/coordAppletKohonen.bmp">
58     </td>
59   </tr>
60 </table>
61
62
63 <H2 align=center><br> <br>Aprendizado fracamente supervisionado</H2>
64 <BR>
65 <DIV ID="idTransTxt" align = "left" STYLE=
66 "position:relative; left:20; height:40; width:700; color:#3322d2;
67 font-size:12; font-family:Arial Rounded MT Bold ;
68 filter:revealTrans(Duration=7, Transition=70); visibility:hidden">
69   Clique somente uma vez sobre o applet que roda
70   automaticamente.<BR>

```

```

61      Dados obtidos de pontos de medição de gás natural<BR>
62      Digitar no applet somente inteiros.<BR>
63      As coordenadas iniciais dos pesos (w's) são escolhidas
        aleatoriamente.
64 </DIV>
65
66 <BR>
67 <DIV align = "left" STYLE=
"position:relative; left:20; height:30; width:600; color:#44DD33;
font-size:13; font-family:Arial Rounded MT Bold;">
68      A dimensão relativa à temperatura(°C) e à pressão
        o(kgf/cm²) está
69      completamente suprimidas neste desenho, mas não nos
        olhos.<BR>
70      Quantidade Diária Contratada em m³ e Poder Calorífico Superior
        em kcal/m³.
71 </DIV>
72
73
74 <FORM NAME="yip">
75
76 <SCRIPT LANGUAGE="JAVASCRIPT" TYPE="TEXT/JAVASCRIPT"><!--
77
78     var ll=location.search;
79     var mm=location.search;
80     var nn2=location.search;
81     var oo=location.search;
82     var rr=location.search;
83     var ppl=location.search;
84     var pp2=location.search;
85     var nni=location.search;
86     ll=ll.substring(5,9);
87     mm=mm.substring(14,18);
88     nn2=nn2.substring(24,28);
89     oo=oo.substring(33,38);
90     rr=rr.substring(43,48);
91     ppl=ppl.substring(54,58);
92     pp2=pp2.substring(64,69);
93     nni=nni.substring(75,79);
94     this.yip.value=ll;
95     this.yip.value=mm;
96     this.yip.value=nn2;
97     this.yip.value=oo;
98     this.yip.value=rr;
99     this.yip.value=ppl;
100    this.yip.value=pp2;
101    this.yip.value=nni;
102
103    document.write("&nbsp;&nbsp;&nbsp;<SUP>o</SUP>
&nbsp;&nbsp;&nbsp;de&nbsp;&nbsp;&nbsp;entradas:&nbsp;&nbsp;&nbsp;<INPUT TYPE=TEXT NAME='sup'
value=",ll," MAXLENGTH=2 SIZE=3>")
104
105    document.write("&nbsp;&nbsp;&nbsp;Itera&ccedil;&otilde;es de
auto-organiza&ccedil;&otilde;o:&nbsp;&nbsp;&nbsp;<INPUT TYPE=TEXT NAME='psu1'
value=",ppl," MAXLENGTH=5 SIZE=6>")
106
107    document.write("&nbsp;&nbsp;&nbsp;Itera&ccedil;&otilde;es de
convergência:&nbsp;&nbsp;&nbsp;<INPUT TYPE=TEXT NAME='psu2' value=",pp2,"
MAXLENGTH=6 SIZE=7>")
108
109    document.write("<HR>")
110
111    document.write("&nbsp;&nbsp;&nbsp;Valor inicial da taxa de
aprendizado:&nbsp;&nbsp;&nbsp;<INPUT TYPE=TEXT NAME='pus' value=",mm,"
MAXLENGTH=3 SIZE=4>")
112
113    document.write("&nbsp;&nbsp;&nbsp;Vizinhança em unidades
neurais:&nbsp;&nbsp;&nbsp;<INPUT TYPE=TEXT NAME='ups1' value=",nni," MAXLENGTH=3
SIZE=4>")
114
115    document.write("&nbsp;&nbsp;&nbsp;Coeficiente de espalhamento:&nbsp;&nbsp;&nbsp;<INPUT
TYPE=TEXT NAME='ups2' value=",nn2," MAXLENGTH=3 SIZE=4>")

```

```

116
117 document.write("<HR>")
118
119 document.write("&nbsp;&nbsp;&nbsp;Fator de sensibilidade para o volume
(Q):&nbsp;&nbsp;&nbsp;<INPUT TYPE=TEXT NAME='usp' value=',oo,' MAXLENGTH=6
SIZE=7>")
120
121 document.write("&nbsp;&nbsp;&nbsp;Fator de sensibilidade para o poder cal.
sup. (PCS):&nbsp;&nbsp;&nbsp;<INPUT TYPE=TEXT NAME='psu' value=',rr,'
MAXLENGTH=6 SIZE=7>")
122
123 document.write("<HR>")
124
125     document.write("<DIV ID='col' ALIGN='center'>")
126
127         document.write("<Applet name='apple' code='Kohonen73.class'
width=800 height=2850>")
128         document.write("<param name='tam' value=',11,'>")
129         document.write("<param name='mat' value=',mm,'>")
130         document.write("<param name='acm1' value=',nn1,'>")
131         document.write("<param name='acm2' value=',nn2,'>")
132         document.write("<param name='amt' value=',oo,'>")
133         document.write("<param name='tma' value=',rr,'>")
134         document.write("<param name='mta1' value=',pp1,'>")
135         document.write("<param name='mta2' value=',pp2,'>")
136         document.write("</applet>")
137
138     document.write("</DIV>")
139
140 --></SCRIPT>
141
142 <!-- o value é o número de sinapses, excepuando o referente ao
parâmetro de corte (theta) -->
143
144 </FORM>
145
146 <HR>
147
148 <DIV ID='mail' ALIGN='right' STYLE=
"position:relative; left:900; height:20; width:100; color:#9966CC;
font-size:8; font-family:Arial Rounded MT Bold">
149     waldj@petrobras.com.br
150 </DIV>
151
152
153 </BODY>
154 </HTML>

```

**Kohonen73.java**

```

1  /** Produced and created by W. Doraskevicius, Jr ...
    waldj@petrobras.com.br ...**
2  **
3  **           Aprendizado por competição entre 367 neurônios
4  **           numa topologia bidimensional hexagonal.
5  **           Neurônios nos vértices e nos centros de 113 favos.
6  ** Leitura de dados de arquivo .txt para até 9 pontos (estações de
    medição). **
7  ** Dimensão dos dados: 6; Label do ponto, volume, PCS, pressão,
    temp. e dens. **
8  ** Qualidade dos dados por PCS e volume, normalizado também a PCS (4
    classes).***/
9
10
11 import java.applet.*;
12 import java.awt.*;
13 import java.awt.event.*;
14 import java.util.*;
15 import java.lang.*;
16 import java.io.*;
17 import java.text.DecimalFormat;
18 import java.util.List;
19
20
21
22 public class Kohonen73 extends Applet implements ActionListener,
    Runnable, Serializable {
23
24     //declaração de variáveis globais
25     Thread thread;
26
27     int dim = 6;//dimensão do vetor de dados pertinente
28     int nPesos=367;//número de unidades neurais de saída
29     int nEntradas=100;//declaração default do número de entradas
30     int nMaximoDados=2500;//declaração default do número máximo de
    dados no datasource .txt
31     int nTuplas=700;//declaração default do número máximo de dados
    treinamento+teste
32     int nVezePassAmostra=1500;//número de iterações de ordenamento por
    toda a amostragem
33     int nVezePassAjusteFino=2000;//número de iterações de convergência
    por toda a amostragem
34     int nPontos=3;//número default de pontos de medição considerados
    para a classificação
35
36     int ii=0;//iterações+click
37     int ij=0;//click para validação aleatória sobre tela (.V) - mín = 0
    e máx = 99
38
39     int pesoVector=0;
40     String bandeiraAcende="nao";
41     String bandeiraPisca ="down";
42     String enche="nao";
43
44     Vector batida = new Vector();
45     Vector peso = new Vector();
46     Vector prev = new Vector();
47     double prevDimAux[][];//para acima de duas dimensões para auxiliar
    prev (point) na GUI
48
49     Label grandezaQ[];
50     Label grandezaP[];
51     Label etiqueta1;
52     Label etiqueta2;
53     Label etiqueta3;
54     Label etiqueta4;
55     Label aviso1;
56     Label aviso2;
57     Label espaco0;

```

```

58 Label espaco1;
59 Label espaco2;
60 Label espaco3;
61 Label espaco4;
62 TextField selecao;
63 TextField selection;
64 TextField campoQ[];
65 TextField campoP[];
66 Button atribui;
67 Button apaga;
68 Button rest;
69 Button atribuicao;
70 Button mapeia;
71 Button preenche;
72 Button mudaBG;
73
74 String autorizacao = new String("ande");
75
76 double x_d[][];//as devidas entradas
77 int avalia_d[];//classificação de cada linha de entrada
78 int maisPerto[];//guarda o dado mais perto do neurônio indicado
    pelo índice
79 double w[][] ,w_inic[][];//vectors peso
80 int v[];//marca o neurônio vencedor para uma entrada
81 int pr[];//marca o neurônio vencedor para um dado de previsão
82 double neuro[][];//localização dos neurônios da camada de saída
83 double contaParaNeuro[];
84 int qNeuro[];
85 String alarme[];
86 String entrada[];
87 String qualy[][];
88 int iteracione = 3;//número de épocas (# de passagem de todos os
    dados)
89 double media[][];//média de cada medida para cada ponto de medição
90 double desvioPadraoSignif[][];//desvio padrão de cada grandeza p/
    cada ponto de medição, algarismo significativo
91 double desvioPadraoNat[][];//desvio padrão de cada grandeza p/ cada
    ponto de medição, sem escala
92 int dPALgarismoSignificativo[][];//o(s) algarismo(s)
    significativo(s) do B.P. como int
93 Random aleatorio;
94
95 int ciclicoBG =1;
96
97 //Parâmetros adicionais para os métodos calcXXX()
98 double ETA_INI;//fator de aprendizado: inicial
99 double CR = 0.00d;//ajuste de espalhamento da gaussiana
100 double R_INI = 30d;//valor inicial da vizinhança, deve cobrir a >
    dist. entre 2 unids. neurais
101
102 //unidades de distância para as coordenadas das unidades neurais
103 double modulo = 2.0d;
104 double nodulo = 0.5d*Math.sqrt(3d)*modulo;
105
106 //Monta a interface gráfica
107 public void init() {
108
109     //coordenadas de 367 unidades neurais em estrutura hexagonal plana
110     neuro = new double[nPesos+1][3];
111     for(int i=0; i<(nPesos+1); i++) {
112         neuro[i][0]=-1d*modulo;
113     }
114
115     neuro[0][1]=-1d*modulo;    neuro[0][2]=-1d*modulo;
116
117     //Primeiro quadrante dos pontos dos favos de corco centrado
118     neuro[1][1]=0d;           neuro[1][2]=3d;
119     neuro[2][1]=modulo;      neuro[2][2]=0d;
120     neuro[3][1]=2d*modulo;    neuro[3][2]=0d;
121     neuro[4][1]=3d*modulo;    neuro[4][2]=0d;
122     neuro[5][1]=4d*modulo;    neuro[5][2]=0d;
123     neuro[6][1]=5d*modulo;    neuro[6][2]=0d;
124     neuro[7][1]=6d*modulo;    neuro[7][2]=0d;

```

```

125 neuro[8][1]=7d*modulo;      neuro[8][2]=3d;
126 neuro[9][1]=8d*modulo;      neuro[9][2]=3d;
127 neuro[10][1]=3.5d*modulo;    neuro[10][2]=modulo;
128 neuro[11][1]=1.5d*modulo;    neuro[11][2]=modulo;
129 neuro[12][1]=2.5d*modulo;    neuro[12][2]=modulo;
130 neuro[13][1]=3.5d*modulo;    neuro[13][2]=modulo;
131 neuro[14][1]=4.5d*modulo;    neuro[14][2]=modulo;
132 neuro[15][1]=5.5d*modulo;    neuro[15][2]=modulo;
133 neuro[16][1]=6.5d*modulo;    neuro[16][2]=modulo;
134 neuro[17][1]=7.5d*modulo;    neuro[17][2]=modulo;
135 neuro[18][1]=8.5d*modulo;    neuro[18][2]=modulo;
136 neuro[19][1]=0d;            neuro[19][2]=2d*modulo;
137 neuro[20][1]=modulo;        neuro[20][2]=2d*modulo;
138 neuro[21][1]=2d*modulo;      neuro[21][2]=2d*modulo;
139 neuro[22][1]=3d*modulo;      neuro[22][2]=2d*modulo;
140 neuro[23][1]=4d*modulo;      neuro[23][2]=2d*modulo;
141 neuro[24][1]=5d*modulo;      neuro[24][2]=2d*modulo;
142 neuro[25][1]=6d*modulo;      neuro[25][2]=2d*modulo;
143 neuro[26][1]=7d*modulo;      neuro[26][2]=2d*modulo;
144 neuro[27][1]=8d*modulo;      neuro[27][2]=2d*modulo;
145 neuro[28][1]=3.5d*modulo;    neuro[28][2]=3d*modulo;
146 neuro[29][1]=1.5d*modulo;    neuro[29][2]=3d*modulo;
147 neuro[30][1]=2.5d*modulo;    neuro[30][2]=3d*modulo;
148 neuro[31][1]=3.5d*modulo;    neuro[31][2]=3d*modulo;
149 neuro[32][1]=4.5d*modulo;    neuro[32][2]=3d*modulo;
150 neuro[33][1]=5.5d*modulo;    neuro[33][2]=3d*modulo;
151 neuro[34][1]=6.5d*modulo;    neuro[34][2]=3d*modulo;
152 neuro[35][1]=7.5d*modulo;    neuro[35][2]=3d*modulo;
153 neuro[36][1]=8.5d*modulo;    neuro[36][2]=3d*modulo;
154 neuro[37][1]=0d;            neuro[37][2]=4d*modulo;
155 neuro[38][1]=modulo;        neuro[38][2]=4d*modulo;
156 neuro[39][1]=2d*modulo;      neuro[39][2]=4d*modulo;
157 neuro[40][1]=3d*modulo;      neuro[40][2]=4d*modulo;
158 neuro[41][1]=4d*modulo;      neuro[41][2]=4d*modulo;
159 neuro[42][1]=5d*modulo;      neuro[42][2]=4d*modulo;
160 neuro[43][1]=6d*modulo;      neuro[43][2]=4d*modulo;
161 neuro[44][1]=7d*modulo;      neuro[44][2]=4d*modulo;
162 neuro[45][1]=8d*modulo;      neuro[45][2]=4d*modulo;
163 neuro[46][1]=3.5d*modulo;    neuro[46][2]=5d*modulo;
164 neuro[47][1]=1.5d*modulo;    neuro[47][2]=5d*modulo;
165 neuro[48][1]=2.5d*modulo;    neuro[48][2]=5d*modulo;
166 neuro[49][1]=3.5d*modulo;    neuro[49][2]=5d*modulo;
167 neuro[50][1]=4.5d*modulo;    neuro[50][2]=5d*modulo;
168 neuro[51][1]=5.5d*modulo;    neuro[51][2]=5d*modulo;
169 neuro[52][1]=6.5d*modulo;    neuro[52][2]=5d*modulo;
170 neuro[53][1]=7.5d*modulo;    neuro[53][2]=5d*modulo;
171 neuro[54][1]=8.5d*modulo;    neuro[54][2]=5d*modulo;
172 neuro[55][1]=0d;            neuro[55][2]=6d*modulo;
173 neuro[56][1]=modulo;        neuro[56][2]=6d*modulo;
174 neuro[57][1]=2d*modulo;      neuro[57][2]=6d*modulo;
175 neuro[58][1]=3d*modulo;      neuro[58][2]=6d*modulo;
176 neuro[59][1]=4d*modulo;      neuro[59][2]=6d*modulo;
177 neuro[60][1]=5d*modulo;      neuro[60][2]=6d*modulo;
178 neuro[61][1]=6d*modulo;      neuro[61][2]=6d*modulo;
179 neuro[62][1]=7d*modulo;      neuro[62][2]=6d*modulo;
180 neuro[63][1]=8d*modulo;      neuro[63][2]=6d*modulo;
181 neuro[64][1]=3.5d*modulo;    neuro[64][2]=7d*modulo;
182 neuro[65][1]=1.5d*modulo;    neuro[65][2]=7d*modulo;
183 neuro[66][1]=2.5d*modulo;    neuro[66][2]=7d*modulo;
184 neuro[67][1]=3.5d*modulo;    neuro[67][2]=7d*modulo;
185 neuro[68][1]=4.5d*modulo;    neuro[68][2]=7d*modulo;
186 neuro[69][1]=5.5d*modulo;    neuro[69][2]=7d*modulo;
187 neuro[70][1]=6.5d*modulo;    neuro[70][2]=7d*modulo;
188 neuro[71][1]=7.5d*modulo;    neuro[71][2]=7d*modulo;
189 neuro[72][1]=8.5d*modulo;    neuro[72][2]=7d*modulo;
190 neuro[73][1]=0d;            neuro[73][2]=8d*modulo;
191 neuro[74][1]=modulo;        neuro[74][2]=8d*modulo;
192 neuro[75][1]=2d*modulo;      neuro[75][2]=8d*modulo;
193 neuro[76][1]=3d*modulo;      neuro[76][2]=8d*modulo;
194 neuro[77][1]=4d*modulo;      neuro[77][2]=8d*modulo;
195 neuro[78][1]=5d*modulo;      neuro[78][2]=8d*modulo;
196 neuro[79][1]=6d*modulo;      neuro[79][2]=8d*modulo;
197 neuro[80][1]=7d*modulo;      neuro[80][2]=8d*modulo;

```

```

198 neuro[81] [1] =8d*modulo; neuro[81] [2] =8d*modulo;
199 neuro[82] [1] =3.5d*modulo; neuro[82] [2] =9d*modulo;
200 neuro[83] [1] =1.5d*modulo; neuro[83] [2] =9d*modulo;
201 neuro[84] [1] =2.5d*modulo; neuro[84] [2] =9d*modulo;
202 neuro[85] [1] =3.5d*modulo; neuro[85] [2] =9d*modulo;
203 neuro[86] [1] =4.5d*modulo; neuro[86] [2] =9d*modulo;
204 neuro[87] [1] =5.5d*modulo; neuro[87] [2] =9d*modulo;
205 neuro[88] [1] =6.5d*modulo; neuro[88] [2] =9d*modulo;
206 neuro[89] [1] =7.5d*modulo; neuro[89] [2] =9d*modulo;
207 neuro[90] [1] =8.5d*modulo; neuro[90] [2] =9d*modulo;
208 neuro[91] [1] =3d; neuro[91] [2] =10d*modulo;
209 neuro[92] [1] =modulo; neuro[92] [2] =10d*modulo;
210 neuro[93] [1] =2d*modulo; neuro[93] [2] =10d*modulo;
211 neuro[94] [1] =3d*modulo; neuro[94] [2] =10d*modulo;
212 neuro[95] [1] =4d*modulo; neuro[95] [2] =10d*modulo;
213 neuro[96] [1] =5d*modulo; neuro[96] [2] =10d*modulo;
214 neuro[97] [1] =6d*modulo; neuro[97] [2] =10d*modulo;
215 neuro[98] [1] =7d*modulo; neuro[98] [2] =10d*modulo;
216 neuro[99] [1] =8d*modulo; neuro[99] [2] =10d*modulo;
217
218 //Segundo quadrante dos pontos dos favos de corvo centrado
219 neuro[100] [1] =(-1d)*modulo; neuro[100] [2] =3d;
220 neuro[101] [1] =(-1d)*2d*modulo; neuro[101] [2] =3d;
221 neuro[102] [1] =(-1d)*3d*modulo; neuro[102] [2] =3d;
222 neuro[103] [1] =(-1d)*4d*modulo; neuro[103] [2] =3d;
223 neuro[104] [1] =(-1d)*5d*modulo; neuro[104] [2] =3d;
224 neuro[105] [1] =(-1d)*6d*modulo; neuro[105] [2] =3d;
225 neuro[106] [1] =(-1d)*7d*modulo; neuro[106] [2] =3d;
226 neuro[107] [1] =(-1d)*8d*modulo; neuro[107] [2] =3d;
227 neuro[108] [1] =(-1d)*3.5d*modulo; neuro[108] [2] =modulo;
228 neuro[109] [1] =(-1d)*1.5d*modulo; neuro[109] [2] =modulo;
229 neuro[110] [1] =(-1d)*2.5d*modulo; neuro[110] [2] =modulo;
230 neuro[111] [1] =(-1d)*3.5d*modulo; neuro[111] [2] =modulo;
231 neuro[112] [1] =(-1d)*4.5d*modulo; neuro[112] [2] =modulo;
232 neuro[113] [1] =(-1d)*5.5d*modulo; neuro[113] [2] =modulo;
233 neuro[114] [1] =(-1d)*6.5d*modulo; neuro[114] [2] =modulo;
234 neuro[115] [1] =(-1d)*7.5d*modulo; neuro[115] [2] =modulo;
235 neuro[116] [1] =(-1d)*8.5d*modulo; neuro[116] [2] =modulo;
236 neuro[117] [1] =(-1d)*modulo; neuro[117] [2] =2d*modulo;
237 neuro[118] [1] =(-1d)*2d*modulo; neuro[118] [2] =2d*modulo;
238 neuro[119] [1] =(-1d)*3d*modulo; neuro[119] [2] =2d*modulo;
239 neuro[120] [1] =(-1d)*4d*modulo; neuro[120] [2] =2d*modulo;
240 neuro[121] [1] =(-1d)*5d*modulo; neuro[121] [2] =2d*modulo;
241 neuro[122] [1] =(-1d)*6d*modulo; neuro[122] [2] =2d*modulo;
242 neuro[123] [1] =(-1d)*7d*modulo; neuro[123] [2] =2d*modulo;
243 neuro[124] [1] =(-1d)*8d*modulo; neuro[124] [2] =2d*modulo;
244 neuro[125] [1] =(-1d)*3.5d*modulo; neuro[125] [2] =3d*modulo;
245 neuro[126] [1] =(-1d)*1.5d*modulo; neuro[126] [2] =3d*modulo;
246 neuro[127] [1] =(-1d)*2.5d*modulo; neuro[127] [2] =3d*modulo;
247 neuro[128] [1] =(-1d)*3.5d*modulo; neuro[128] [2] =3d*modulo;
248 neuro[129] [1] =(-1d)*4.5d*modulo; neuro[129] [2] =3d*modulo;
249 neuro[130] [1] =(-1d)*5.5d*modulo; neuro[130] [2] =3d*modulo;
250 neuro[131] [1] =(-1d)*6.5d*modulo; neuro[131] [2] =3d*modulo;
251 neuro[132] [1] =(-1d)*7.5d*modulo; neuro[132] [2] =3d*modulo;
252 neuro[133] [1] =(-1d)*8.5d*modulo; neuro[133] [2] =3d*modulo;
253 neuro[134] [1] =(-1d)*modulo; neuro[134] [2] =4d*modulo;
254 neuro[135] [1] =(-1d)*2d*modulo; neuro[135] [2] =4d*modulo;
255 neuro[136] [1] =(-1d)*3d*modulo; neuro[136] [2] =4d*modulo;
256 neuro[137] [1] =(-1d)*4d*modulo; neuro[137] [2] =4d*modulo;
257 neuro[138] [1] =(-1d)*5d*modulo; neuro[138] [2] =4d*modulo;
258 neuro[139] [1] =(-1d)*6d*modulo; neuro[139] [2] =4d*modulo;
259 neuro[140] [1] =(-1d)*7d*modulo; neuro[140] [2] =4d*modulo;
260 neuro[141] [1] =(-1d)*8d*modulo; neuro[141] [2] =4d*modulo;
261 neuro[142] [1] =(-1d)*3.5d*modulo; neuro[142] [2] =5d*modulo;
262 neuro[143] [1] =(-1d)*1.5d*modulo; neuro[143] [2] =5d*modulo;
263 neuro[144] [1] =(-1d)*2.5d*modulo; neuro[144] [2] =5d*modulo;
264 neuro[145] [1] =(-1d)*3.5d*modulo; neuro[145] [2] =5d*modulo;
265 neuro[146] [1] =(-1d)*4.5d*modulo; neuro[146] [2] =5d*modulo;
266 neuro[147] [1] =(-1d)*5.5d*modulo; neuro[147] [2] =5d*modulo;
267 neuro[148] [1] =(-1d)*6.5d*modulo; neuro[148] [2] =5d*modulo;
268 neuro[149] [1] =(-1d)*7.5d*modulo; neuro[149] [2] =5d*modulo;
269 neuro[150] [1] =(-1d)*8.5d*modulo; neuro[150] [2] =5d*modulo;
270 neuro[151] [1] =(-1d)*modulo; neuro[151] [2] =6d*modulo;

```

```

271 neuro[152] [1] = (-1d) * 2d * modulo; neuro[152] [2] = 6d * modulo;
272 neuro[153] [1] = (-1d) * 3d * modulo; neuro[153] [2] = 6d * modulo;
273 neuro[154] [1] = (-1d) * 4d * modulo; neuro[154] [2] = 6d * modulo;
274 neuro[155] [1] = (-1d) * 5d * modulo; neuro[155] [2] = 6d * modulo;
275 neuro[156] [1] = (-1d) * 6d * modulo; neuro[156] [2] = 6d * modulo;
276 neuro[157] [1] = (-1d) * 7d * modulo; neuro[157] [2] = 6d * modulo;
277 neuro[158] [1] = (-1d) * 8d * modulo; neuro[158] [2] = 6d * modulo;
278 neuro[159] [1] = (-1d) * 0.5d * modulo; neuro[159] [2] = 7d * modulo;
279 neuro[160] [1] = (-1d) * 1.5d * modulo; neuro[160] [2] = 7d * modulo;
280 neuro[161] [1] = (-1d) * 2.5d * modulo; neuro[161] [2] = 7d * modulo;
281 neuro[162] [1] = (-1d) * 3.5d * modulo; neuro[162] [2] = 7d * modulo;
282 neuro[163] [1] = (-1d) * 4.5d * modulo; neuro[163] [2] = 7d * modulo;
283 neuro[164] [1] = (-1d) * 5.5d * modulo; neuro[164] [2] = 7d * modulo;
284 neuro[165] [1] = (-1d) * 6.5d * modulo; neuro[165] [2] = 7d * modulo;
285 neuro[166] [1] = (-1d) * 7.5d * modulo; neuro[166] [2] = 7d * modulo;
286 neuro[167] [1] = (-1d) * 8.5d * modulo; neuro[167] [2] = 7d * modulo;
287 neuro[168] [1] = (-1d) * modulo; neuro[168] [2] = 8d * modulo;
288 neuro[169] [1] = (-1d) * 2d * modulo; neuro[169] [2] = 8d * modulo;
289 neuro[170] [1] = (-1d) * 3d * modulo; neuro[170] [2] = 8d * modulo;
290 neuro[171] [1] = (-1d) * 4d * modulo; neuro[171] [2] = 8d * modulo;
291 neuro[172] [1] = (-1d) * 5d * modulo; neuro[172] [2] = 8d * modulo;
292 neuro[173] [1] = (-1d) * 6d * modulo; neuro[173] [2] = 8d * modulo;
293 neuro[174] [1] = (-1d) * 7d * modulo; neuro[174] [2] = 8d * modulo;
294 neuro[175] [1] = (-1d) * 8d * modulo; neuro[175] [2] = 8d * modulo;
295 neuro[176] [1] = (-1d) * 0.5d * modulo; neuro[176] [2] = 9d * modulo;
296 neuro[177] [1] = (-1d) * 1.5d * modulo; neuro[177] [2] = 9d * modulo;
297 neuro[178] [1] = (-1d) * 2.5d * modulo; neuro[178] [2] = 9d * modulo;
298 neuro[179] [1] = (-1d) * 3.5d * modulo; neuro[179] [2] = 9d * modulo;
299 neuro[180] [1] = (-1d) * 4.5d * modulo; neuro[180] [2] = 9d * modulo;
300 neuro[181] [1] = (-1d) * 5.5d * modulo; neuro[181] [2] = 9d * modulo;
301 neuro[182] [1] = (-1d) * 6.5d * modulo; neuro[182] [2] = 9d * modulo;
302 neuro[183] [1] = (-1d) * 7.5d * modulo; neuro[183] [2] = 9d * modulo;
303 neuro[184] [1] = (-1d) * 8.5d * modulo; neuro[184] [2] = 9d * modulo;
304 neuro[185] [1] = (-1d) * modulo; neuro[185] [2] = 10d * modulo;
305 neuro[186] [1] = (-1d) * 2d * modulo; neuro[186] [2] = 10d * modulo;
306 neuro[187] [1] = (-1d) * 3d * modulo; neuro[187] [2] = 10d * modulo;
307 neuro[188] [1] = (-1d) * 4d * modulo; neuro[188] [2] = 10d * modulo;
308 neuro[189] [1] = (-1d) * 5d * modulo; neuro[189] [2] = 10d * modulo;
309 neuro[190] [1] = (-1d) * 6d * modulo; neuro[190] [2] = 10d * modulo;
310 neuro[191] [1] = (-1d) * 7d * modulo; neuro[191] [2] = 10d * modulo;
311 neuro[192] [1] = (-1d) * 8d * modulo; neuro[192] [2] = 10d * modulo;
312
313 //Terceiro quadrante dos pontos dos favos de corpo centrado
314 neuro[193] [1] = (-1d) * 0.5d * modulo; neuro[193] [2] = (-1d) * modulo;
315 neuro[194] [1] = (-1d) * 1.5d * modulo; neuro[194] [2] = (-1d) * modulo;
316 neuro[195] [1] = (-1d) * 2.5d * modulo; neuro[195] [2] = (-1d) * modulo;
317 neuro[196] [1] = (-1d) * 3.5d * modulo; neuro[196] [2] = (-1d) * modulo;
318 neuro[197] [1] = (-1d) * 4.5d * modulo; neuro[197] [2] = (-1d) * modulo;
319 neuro[198] [1] = (-1d) * 5.5d * modulo; neuro[198] [2] = (-1d) * modulo;
320 neuro[199] [1] = (-1d) * 6.5d * modulo; neuro[199] [2] = (-1d) * modulo;
321 neuro[200] [1] = (-1d) * 7.5d * modulo; neuro[200] [2] = (-1d) * modulo;
322 neuro[201] [1] = (-1d) * 8.5d * modulo; neuro[201] [2] = (-1d) * modulo;
323 neuro[202] [1] = 0d; neuro[202] [2] = (-1d) * 2d * modulo;
324 neuro[203] [1] = (-1d) * modulo; neuro[203] [2] = (-1d) * 2d * modulo;
325 neuro[204] [1] = (-1d) * 2d * modulo; neuro[204] [2] = (-1d) * 2d * modulo;
326 neuro[205] [1] = (-1d) * 3d * modulo; neuro[205] [2] = (-1d) * 2d * modulo;
327 neuro[206] [1] = (-1d) * 4d * modulo; neuro[206] [2] = (-1d) * 2d * modulo;
328 neuro[207] [1] = (-1d) * 5d * modulo; neuro[207] [2] = (-1d) * 2d * modulo;
329 neuro[208] [1] = (-1d) * 6d * modulo; neuro[208] [2] = (-1d) * 2d * modulo;
330 neuro[209] [1] = (-1d) * 7d * modulo; neuro[209] [2] = (-1d) * 2d * modulo;
331 neuro[210] [1] = (-1d) * 8d * modulo; neuro[210] [2] = (-1d) * 2d * modulo;
332 neuro[211] [1] = (-1d) * 0.5d * modulo; neuro[211] [2] = (-1d) * 3d * modulo;
333 neuro[212] [1] = (-1d) * 1.5d * modulo; neuro[212] [2] = (-1d) * 3d * modulo;
334 neuro[213] [1] = (-1d) * 2.5d * modulo; neuro[213] [2] = (-1d) * 3d * modulo;
335 neuro[214] [1] = (-1d) * 3.5d * modulo; neuro[214] [2] = (-1d) * 3d * modulo;
336 neuro[215] [1] = (-1d) * 4.5d * modulo; neuro[215] [2] = (-1d) * 3d * modulo;
337 neuro[216] [1] = (-1d) * 5.5d * modulo; neuro[216] [2] = (-1d) * 3d * modulo;
338 neuro[217] [1] = (-1d) * 6.5d * modulo; neuro[217] [2] = (-1d) * 3d * modulo;
339 neuro[218] [1] = (-1d) * 7.5d * modulo; neuro[218] [2] = (-1d) * 3d * modulo;
340 neuro[219] [1] = (-1d) * 8.5d * modulo; neuro[219] [2] = (-1d) * 3d * modulo;
341 neuro[220] [1] = 0d; neuro[220] [2] = (-1d) * 4d * modulo;
342 neuro[221] [1] = (-1d) * modulo; neuro[221] [2] = (-1d) * 4d * modulo;
343 neuro[222] [1] = (-1d) * 2d * modulo; neuro[222] [2] = (-1d) * 4d * modulo;

```

```

344 neuro [223] [1] =(-1d) *3d*modulo; neuro [223] [2] =(-1d) *4d*modulo;
345 neuro [224] [1] =(-1d) *4d*modulo; neuro [224] [2] =(-1d) *4d*modulo;
346 neuro [225] [1] =(-1d) *5d*modulo; neuro [225] [2] =(-1d) *4d*modulo;
347 neuro [226] [1] =(-1d) *6d*modulo; neuro [226] [2] =(-1d) *4d*modulo;
348 neuro [227] [1] =(-1d) *7d*modulo; neuro [227] [2] =(-1d) *4d*modulo;
349 neuro [228] [1] =(-1d) *8d*modulo; neuro [228] [2] =(-1d) *4d*modulo;
350 neuro [229] [1] =(-1d) *0.5d*modulo; neuro [229] [2] =(-1d) *5d*modulo;
351 neuro [230] [1] =(-1d) *1.5d*modulo; neuro [230] [2] =(-1d) *5d*modulo;
352 neuro [231] [1] =(-1d) *2.5d*modulo; neuro [231] [2] =(-1d) *5d*modulo;
353 neuro [232] [1] =(-1d) *3.5d*modulo; neuro [232] [2] =(-1d) *5d*modulo;
354 neuro [233] [1] =(-1d) *4.5d*modulo; neuro [233] [2] =(-1d) *5d*modulo;
355 neuro [234] [1] =(-1d) *5.5d*modulo; neuro [234] [2] =(-1d) *5d*modulo;
356 neuro [235] [1] =(-1d) *6.5d*modulo; neuro [235] [2] =(-1d) *5d*modulo;
357 neuro [236] [1] =(-1d) *7.5d*modulo; neuro [236] [2] =(-1d) *5d*modulo;
358 neuro [237] [1] =(-1d) *8.5d*modulo; neuro [237] [2] =(-1d) *5d*modulo;
359 neuro [238] [1] =0d; neuro [238] [2] =(-1d) *6d*modulo;
360 neuro [239] [1] =(-1d) *modulo; neuro [239] [2] =(-1d) *6d*modulo;
361 neuro [240] [1] =(-1d) *2d*modulo; neuro [240] [2] =(-1d) *6d*modulo;
362 neuro [241] [1] =(-1d) *3d*modulo; neuro [241] [2] =(-1d) *6d*modulo;
363 neuro [242] [1] =(-1d) *4d*modulo; neuro [242] [2] =(-1d) *6d*modulo;
364 neuro [243] [1] =(-1d) *5d*modulo; neuro [243] [2] =(-1d) *6d*modulo;
365 neuro [244] [1] =(-1d) *6d*modulo; neuro [244] [2] =(-1d) *6d*modulo;
366 neuro [245] [1] =(-1d) *7d*modulo; neuro [245] [2] =(-1d) *6d*modulo;
367 neuro [246] [1] =(-1d) *8d*modulo; neuro [246] [2] =(-1d) *6d*modulo;
368 neuro [247] [1] =(-1d) *0.5d*modulo; neuro [247] [2] =(-1d) *7d*modulo;
369 neuro [248] [1] =(-1d) *1.5d*modulo; neuro [248] [2] =(-1d) *7d*modulo;
370 neuro [249] [1] =(-1d) *2.5d*modulo; neuro [249] [2] =(-1d) *7d*modulo;
371 neuro [250] [1] =(-1d) *3.5d*modulo; neuro [250] [2] =(-1d) *7d*modulo;
372 neuro [251] [1] =(-1d) *4.5d*modulo; neuro [251] [2] =(-1d) *7d*modulo;
373 neuro [252] [1] =(-1d) *5.5d*modulo; neuro [252] [2] =(-1d) *7d*modulo;
374 neuro [253] [1] =(-1d) *6.5d*modulo; neuro [253] [2] =(-1d) *7d*modulo;
375 neuro [254] [1] =(-1d) *7.5d*modulo; neuro [254] [2] =(-1d) *7d*modulo;
376 neuro [255] [1] =(-1d) *8.5d*modulo; neuro [255] [2] =(-1d) *7d*modulo;
377 neuro [256] [1] =0d; neuro [256] [2] =(-1d) *8d*modulo;
378 neuro [257] [1] =(-1d) *modulo; neuro [257] [2] =(-1d) *8d*modulo;
379 neuro [258] [1] =(-1d) *2d*modulo; neuro [258] [2] =(-1d) *8d*modulo;
380 neuro [259] [1] =(-1d) *3d*modulo; neuro [259] [2] =(-1d) *8d*modulo;
381 neuro [260] [1] =(-1d) *4d*modulo; neuro [260] [2] =(-1d) *8d*modulo;
382 neuro [261] [1] =(-1d) *5d*modulo; neuro [261] [2] =(-1d) *8d*modulo;
383 neuro [262] [1] =(-1d) *6d*modulo; neuro [262] [2] =(-1d) *8d*modulo;
384 neuro [263] [1] =(-1d) *7d*modulo; neuro [263] [2] =(-1d) *8d*modulo;
385 neuro [264] [1] =(-1d) *8d*modulo; neuro [264] [2] =(-1d) *8d*modulo;
386 neuro [265] [1] =(-1d) *0.5d*modulo; neuro [265] [2] =(-1d) *9d*modulo;
387 neuro [266] [1] =(-1d) *1.5d*modulo; neuro [266] [2] =(-1d) *9d*modulo;
388 neuro [267] [1] =(-1d) *2.5d*modulo; neuro [267] [2] =(-1d) *9d*modulo;
389 neuro [268] [1] =(-1d) *3.5d*modulo; neuro [268] [2] =(-1d) *9d*modulo;
390 neuro [269] [1] =(-1d) *4.5d*modulo; neuro [269] [2] =(-1d) *9d*modulo;
391 neuro [270] [1] =(-1d) *5.5d*modulo; neuro [270] [2] =(-1d) *9d*modulo;
392 neuro [271] [1] =(-1d) *6.5d*modulo; neuro [271] [2] =(-1d) *9d*modulo;
393 neuro [272] [1] =(-1d) *7.5d*modulo; neuro [272] [2] =(-1d) *9d*modulo;
394 neuro [273] [1] =(-1d) *8.5d*modulo; neuro [273] [2] =(-1d) *9d*modulo;
395 neuro [274] [1] =0d; neuro [274] [2] =(-1d) *10d*modulo;
396 neuro [275] [1] =(-1d) *modulo; neuro [275] [2] =(-1d) *10d*modulo;
397 neuro [276] [1] =(-1d) *2d*modulo; neuro [276] [2] =(-1d) *10d*modulo;
398 neuro [277] [1] =(-1d) *3d*modulo; neuro [277] [2] =(-1d) *10d*modulo;
399 neuro [278] [1] =(-1d) *4d*modulo; neuro [278] [2] =(-1d) *10d*modulo;
400 neuro [279] [1] =(-1d) *5d*modulo; neuro [279] [2] =(-1d) *10d*modulo;
401 neuro [280] [1] =(-1d) *6d*modulo; neuro [280] [2] =(-1d) *10d*modulo;
402 neuro [281] [1] =(-1d) *7d*modulo; neuro [281] [2] =(-1d) *10d*modulo;
403 neuro [282] [1] =(-1d) *8d*modulo; neuro [282] [2] =(-1d) *10d*modulo;
404
405 //Quartoo quadrante dos pontos dos favos de corpo centrado
406 neuro [283] [1] =0.5d*modulo; neuro [283] [2] =(-1d) *modulo;
407 neuro [284] [1] =1.5d*modulo; neuro [284] [2] =(-1d) *modulo;
408 neuro [285] [1] =2.5d*modulo; neuro [285] [2] =(-1d) *modulo;
409 neuro [286] [1] =3.5d*modulo; neuro [286] [2] =(-1d) *modulo;
410 neuro [287] [1] =4.5d*modulo; neuro [287] [2] =(-1d) *modulo;
411 neuro [288] [1] =5.5d*modulo; neuro [288] [2] =(-1d) *modulo;
412 neuro [289] [1] =6.5d*modulo; neuro [289] [2] =(-1d) *modulo;
413 neuro [290] [1] =7.5d*modulo; neuro [290] [2] =(-1d) *modulo;
414 neuro [291] [1] =8.5d*modulo; neuro [291] [2] =(-1d) *modulo;
415 neuro [292] [1] =modulo; neuro [292] [2] =(-1d) *2d*modulo;
416 neuro [293] [1] =2d*modulo; neuro [293] [2] =(-1d) *2d*modulo;

```

417	neuro[294]	[1]	=3d*modulo;	neuro[294]	[2]	=(-1d)*2d*modulo;
418	neuro[295]	[1]	=4d*modulo;	neuro[295]	[2]	=(-1d)*2d*modulo;
419	neuro[296]	[1]	=5d*modulo;	neuro[296]	[2]	=(-1d)*2d*modulo;
420	neuro[297]	[1]	=6d*modulo;	neuro[297]	[2]	=(-1d)*2d*modulo;
421	neuro[298]	[1]	=7d*modulo;	neuro[298]	[2]	=(-1d)*2d*modulo;
422	neuro[299]	[1]	=8d*modulo;	neuro[299]	[2]	=(-1d)*2d*modulo;
423	neuro[300]	[1]	=0.5d*modulo;	neuro[300]	[2]	=(-1d)*3d*modulo;
424	neuro[301]	[1]	=1.5d*modulo;	neuro[301]	[2]	=(-1d)*3d*modulo;
425	neuro[302]	[1]	=2.5d*modulo;	neuro[302]	[2]	=(-1d)*3d*modulo;
426	neuro[303]	[1]	=3.5d*modulo;	neuro[303]	[2]	=(-1d)*3d*modulo;
427	neuro[304]	[1]	=4.5d*modulo;	neuro[304]	[2]	=(-1d)*3d*modulo;
428	neuro[305]	[1]	=5.5d*modulo;	neuro[305]	[2]	=(-1d)*3d*modulo;
429	neuro[306]	[1]	=6.5d*modulo;	neuro[306]	[2]	=(-1d)*3d*modulo;
430	neuro[307]	[1]	=7.5d*modulo;	neuro[307]	[2]	=(-1d)*3d*modulo;
431	neuro[308]	[1]	=8.5d*modulo;	neuro[308]	[2]	=(-1d)*3d*modulo;
432	neuro[309]	[1]	=modulo;	neuro[309]	[2]	=(-1d)*4d*modulo;
433	neuro[310]	[1]	=2d*modulo;	neuro[310]	[2]	=(-1d)*4d*modulo;
434	neuro[311]	[1]	=3d*modulo;	neuro[311]	[2]	=(-1d)*4d*modulo;
435	neuro[312]	[1]	=4d*modulo;	neuro[312]	[2]	=(-1d)*4d*modulo;
436	neuro[313]	[1]	=5d*modulo;	neuro[313]	[2]	=(-1d)*4d*modulo;
437	neuro[314]	[1]	=6d*modulo;	neuro[314]	[2]	=(-1d)*4d*modulo;
438	neuro[315]	[1]	=7d*modulo;	neuro[315]	[2]	=(-1d)*4d*modulo;
439	neuro[316]	[1]	=8d*modulo;	neuro[316]	[2]	=(-1d)*4d*modulo;
440	neuro[317]	[1]	=0.5d*modulo;	neuro[317]	[2]	=(-1d)*5d*modulo;
441	neuro[318]	[1]	=1.5d*modulo;	neuro[318]	[2]	=(-1d)*5d*modulo;
442	neuro[319]	[1]	=2.5d*modulo;	neuro[319]	[2]	=(-1d)*5d*modulo;
443	neuro[320]	[1]	=3.5d*modulo;	neuro[320]	[2]	=(-1d)*5d*modulo;
444	neuro[321]	[1]	=4.5d*modulo;	neuro[321]	[2]	=(-1d)*5d*modulo;
445	neuro[322]	[1]	=5.5d*modulo;	neuro[322]	[2]	=(-1d)*5d*modulo;
446	neuro[323]	[1]	=6.5d*modulo;	neuro[323]	[2]	=(-1d)*5d*modulo;
447	neuro[324]	[1]	=7.5d*modulo;	neuro[324]	[2]	=(-1d)*5d*modulo;
448	neuro[325]	[1]	=8.5d*modulo;	neuro[325]	[2]	=(-1d)*5d*modulo;
449	neuro[326]	[1]	=modulo;	neuro[326]	[2]	=(-1d)*6d*modulo;
450	neuro[327]	[1]	=2d*modulo;	neuro[327]	[2]	=(-1d)*6d*modulo;
451	neuro[328]	[1]	=3d*modulo;	neuro[328]	[2]	=(-1d)*6d*modulo;
452	neuro[329]	[1]	=4d*modulo;	neuro[329]	[2]	=(-1d)*6d*modulo;
453	neuro[330]	[1]	=5d*modulo;	neuro[330]	[2]	=(-1d)*6d*modulo;
454	neuro[331]	[1]	=6d*modulo;	neuro[331]	[2]	=(-1d)*6d*modulo;
455	neuro[332]	[1]	=7d*modulo;	neuro[332]	[2]	=(-1d)*6d*modulo;
456	neuro[333]	[1]	=8d*modulo;	neuro[333]	[2]	=(-1d)*6d*modulo;
457	neuro[334]	[1]	=0.5d*modulo;	neuro[334]	[2]	=(-1d)*7d*modulo;
458	neuro[335]	[1]	=1.5d*modulo;	neuro[335]	[2]	=(-1d)*7d*modulo;
459	neuro[336]	[1]	=2.5d*modulo;	neuro[336]	[2]	=(-1d)*7d*modulo;
460	neuro[337]	[1]	=3.5d*modulo;	neuro[337]	[2]	=(-1d)*7d*modulo;
461	neuro[338]	[1]	=4.5d*modulo;	neuro[338]	[2]	=(-1d)*7d*modulo;
462	neuro[339]	[1]	=5.5d*modulo;	neuro[339]	[2]	=(-1d)*7d*modulo;
463	neuro[340]	[1]	=6.5d*modulo;	neuro[340]	[2]	=(-1d)*7d*modulo;
464	neuro[341]	[1]	=7.5d*modulo;	neuro[341]	[2]	=(-1d)*7d*modulo;
465	neuro[342]	[1]	=8.5d*modulo;	neuro[342]	[2]	=(-1d)*7d*modulo;
466	neuro[343]	[1]	=modulo;	neuro[343]	[2]	=(-1d)*8d*modulo;
467	neuro[344]	[1]	=2d*modulo;	neuro[344]	[2]	=(-1d)*8d*modulo;
468	neuro[345]	[1]	=3d*modulo;	neuro[345]	[2]	=(-1d)*8d*modulo;
469	neuro[346]	[1]	=4d*modulo;	neuro[346]	[2]	=(-1d)*8d*modulo;
470	neuro[347]	[1]	=5d*modulo;	neuro[347]	[2]	=(-1d)*8d*modulo;
471	neuro[348]	[1]	=6d*modulo;	neuro[348]	[2]	=(-1d)*8d*modulo;
472	neuro[349]	[1]	=7d*modulo;	neuro[349]	[2]	=(-1d)*8d*modulo;
473	neuro[350]	[1]	=8d*modulo;	neuro[350]	[2]	=(-1d)*8d*modulo;
474	neuro[351]	[1]	=0.5d*modulo;	neuro[351]	[2]	=(-1d)*9d*modulo;
475	neuro[352]	[1]	=1.5d*modulo;	neuro[352]	[2]	=(-1d)*9d*modulo;
476	neuro[353]	[1]	=2.5d*modulo;	neuro[353]	[2]	=(-1d)*9d*modulo;
477	neuro[354]	[1]	=3.5d*modulo;	neuro[354]	[2]	=(-1d)*9d*modulo;
478	neuro[355]	[1]	=4.5d*modulo;	neuro[355]	[2]	=(-1d)*9d*modulo;
479	neuro[356]	[1]	=5.5d*modulo;	neuro[356]	[2]	=(-1d)*9d*modulo;
480	neuro[357]	[1]	=6.5d*modulo;	neuro[357]	[2]	=(-1d)*9d*modulo;
481	neuro[358]	[1]	=7.5d*modulo;	neuro[358]	[2]	=(-1d)*9d*modulo;
482	neuro[359]	[1]	=8.5d*modulo;	neuro[359]	[2]	=(-1d)*9d*modulo;
483	neuro[360]	[1]	=modulo;	neuro[360]	[2]	=(-1d)*10d*modulo;
484	neuro[361]	[1]	=2d*modulo;	neuro[361]	[2]	=(-1d)*10d*modulo;
485	neuro[362]	[1]	=3d*modulo;	neuro[362]	[2]	=(-1d)*10d*modulo;
486	neuro[363]	[1]	=4d*modulo;	neuro[363]	[2]	=(-1d)*10d*modulo;
487	neuro[364]	[1]	=5d*modulo;	neuro[364]	[2]	=(-1d)*10d*modulo;
488	neuro[365]	[1]	=6d*modulo;	neuro[365]	[2]	=(-1d)*10d*modulo;
489	neuro[366]	[1]	=7d*modulo;	neuro[366]	[2]	=(-1d)*10d*modulo;

```

490     neuro[367][1]=8d*modulo;           neuro[367][2]=(-1d)*13d*modulo;
491
492
493     //Cata o parâmetro submetido para a pag. html para o # de
entradas
494     try {
495         if (getParameter("tam") != null){
496             nEntradas=Integer.parseInt (getParameter("tam"));
497         }
498     }
499     catch (Exception e) {
500         System.out.println:
"Usuário colocou valor não válido de #Entradas, então uso do
default.";
501         nEntradas=100;
502     }
503
504     try {
505         if (getParameter("mta1") != null){
506             nVezezPassAmostra=Integer.parseInt (getParameter("mta1"));
507         }
508     }
509     catch (Exception e) {
510         System.out.println:
"Usuário colocou valor não válido de #Iterações, então uso do
default.";
511         nVezezPassAmostra=1500;
512     }
513
514     try {
515         if (getParameter("mta2") != null){
516             nVezezPassAjusteFino=Integer.parseInt (getParameter("mta2"));
517         }
518     }
519     catch (Exception e) {
520         System.out.println:
"Usuário colocou valor não válido de #AjusteFino, então uso do
default.";
521         nVezezPassAjusteFino=1000;
522     }
523
524     //Cata os parâmetros de formulário para uso dos métodos
calcMesmoX()
525
526     //pega o parâmetro de applet "taxa de aprendizado inicial"
527     try {
528         if (getParameter("mat") != null){
529             ETA_INI=Double.parseDouble (getParameter("mat"));
530             if (ETA_INI>5 || ETA_INI<0.01) { ETA_INI=0.22d; }
531         }
532         else {
533             ETA_INI=0.22d;
534         }
535     }
536     catch (Exception e) {
537         System.out.println:
"Usuário colocou valor não válido, então uso do default.";
538         ETA_INI=0.22d;
539     }
540
541     //pega o parâmetro de applet "vizinhança inicial"
542     try {
543         if (getParameter("atm1") != null){
544             R_INI=Double.parseDouble (getParameter("atm1"));
545             if (R_INI>100.0 || R_INI<3.0) { R_INI=modulo*54d; }
546         }
547         else {
548             R_INI=modulo*54d;
549         }
550     }
551     catch (Exception e) {
552         System.out.println:
"Usuário colocou valor não válido, então uso do default.";

```

```

553     R_INI=modulo*54d;
554 }
555
556 //pega o parâmetro de applet "ajuste de espalhamento"
557 try {
558     if (getParameter("atm2") != null){
559         CR=Double.parseDouble(getParameter("atm2"));
560     }
561     else {
562         CR=1.40d;
563     }
564 }
565 catch (Exception e) {
566     System.out.println(
567         "Usuário colocou valor não válido, então uso do default.");
568     CR=1.40d;
569 }
570 //final da pegada de parâmetros de formulário para uso de
571 calcMesmoX()
572
573 entrada = new String[nMaximoDados+1][11];
574 for (int i=0; i<=nMaximoDados; i++) {
575     for (int j=0; j<=10; j++) {
576         entrada[i][j] = "";
577     }
578 }
579
580 gualy = new String[nMaximoDados+1][9];
581 for (int i=0; i<=nMaximoDados; i++) {
582     for (int j=0; j<=8; j++) {
583         gualy[i][j] = "";
584     }
585 }
586
587 try {
588     leInformacao();
589 }
590 catch (Exception e) {
591     System.err.println(e);
592     System.out.println("Não realizou o método leInformacao()");
593 }
594
595 //instanciação das variáveis
596 w = new double[nPesos+1][dim+1]; w_inic = new double[nPesos+1][
597     dim+1];
598 x_d = new double[nMaximoDados+1][dim+1+2]; //duas dimensões extras
599     para os PCs, necessário para avaliação
600 avalia_d = new int[nMaximoDados+1];
601 maisPerto = new int[nPesos+1];
602 v = new int[nEntradas+1];
603 or = new int[nEntradas+1];
604 media = new double[nPontos+1][dim+1];
605 desvioPadraoSignif = new double[nPontos+1][dim+1];
606 desvioPadraoNat = new double[nPontos+1][dim+1];
607 dBAlgarismoSignificativo = new int[nPontos+1][dim+1];
608 aleatorio = new Random();
609
610 contaParaNeuro = new double[nPesos+1];
611 qNeuro = new int[nPesos+1];
612 alarme = new String[nEntradas+1];
613 campoQ = new TextField[nPontos];
614 campoP = new TextField[nPontos];
615 grandezaQ = new Label[nPontos];
616 grandezaP = new Label[nPontos];
617
618 prevDimAux = new double[16][100];
619
620 setBackground (new Color(250,247,153));
621
622 //monta "formulário" da interface gráfica
623 for (int i=0; i<nPontos; i++) {

```

```

622     grandezaQ[i]=new Label("QDC "+ (i+1));
623     grandezaP[i]=new Label("PCS "+ (i+1));
624     //grandezaP[i]=new Label("Press "+ (i-1));
625 }
626 for (int i=0; i<nPontos; i++) {
627     campoQ[i]=new TextField(""); campoQ[i].setColumns(5);
628     campoP[i]=new TextField(""); campoP[i].setColumns(3);
629 }
630 etiqueta1=new Label(" Iteração");
631 etiqueta2=new Label("0 ");
632 avisol=new Label("Medida número ");
633 aviso2=new Label("Selecione Click");
634 espaco0=new Label("");
635 espaco1=new Label("> <>",Label.RIGHT);
636 espaco2=new Label("< >|",Label.LEFT);
637 espaco3=new Label("1 | 1",Label.LEFT);
638 espaco4=new Label("< <<",Label.LEFT);
639 selecao=new TextField(""); selecao.setColumns(3);
640 selection=new TextField(""); selection.setColumns(1);
641 atribui=new Button("AtribuiUnidade");
642 apaga=new Button("eApague");
643 rest=new Button("Restaura");
644 atribuicao=new Button("UnidadeAoClick");
645 mapaia=new Button("Mapeia");
646 preenche=new Button("Acende");
647 mudaBG=new Button("MudaFundo");
648 etiqueta3=new Label("# de medidas (Treinamento + Teste) = ");
649 etiqueta4=new Label("0 ");
650
651 setLayout (new FlowLayout());
652
653 for (int i=0; i<nPontos; i++) {
654     add(grandezaQ[i]);
655     add(campoQ[i]);
656     add(grandezaP[i]);
657     add(campoP[i]);
658     add(espaco2);
659 }
660
661 add(mapaia);
662
663 add(espaco3);
664 add(etiqueta1);
665 add(etiqueta2);
666
667 add(avisol);
668 add(selecao);
669 add(atribui);
670
671 add(espaco3);
672 add(preenche);
673
674 add(espaco1);
675 add(rest);
676 add(espaco4);
677
678 add(aviso2);
679 add(selection);
680 add(apaga);
681 add(espaco0);
682 add(atribuicao);
683
684 add(espaco2);
685 add(mudaBG);
686
687 add(espaco0);
688 add(etiqueta3);
689 add(etiqueta4);
690
691 //Atribuição default para as variaveis
692 for (int k=0; k <= nEntradas; k++){
693     v[k]=0;
694 }

```

```

695
696     for (int k=0; k <= nEntradas; k++){
697         pr[k]=0;
698     }
699
700     for (int i=0; i<=nPesos; i++) {
701         contaParaNeuro[i]=1d;
702     }
703
704     for (int i=0; i<=nPesos; i++) {
705         qNeuro[i]=1;
706     }
707
708     for (int k=0; k <= nEntradas; k++){
709         alarme[k]=" ";
710     }
711
712
713
714
715     //registra os manipuladores de evento de mouse
716     addMouseListener (new MouseHandler());
717
718     //registra os botões para a ação manipular
719     atribui.addActionListener(this);
720     apaga.addActionListener(this);
721     rest.addActionListener(this);
722     atribuicao.addActionListener(this);
723     mapeia.addActionListener(this);
724     preenche.addActionListener(this);
725     mudaBG.addActionListener(this);
726
727
728     /**chave final do método init**/
729
730
731
732     //parte a thread (linha de processoi
733     public void start() {
734         thread = new Thread(this);
735         thread.start();
736     }/**final do método start**/
737
738
739
740     //roda continuamente o seu código
741     public void run() {
742
743         while (autorizacao.equals("ande")) {/**'while' externo*/
744             try {
745                 if (ii >= nEntradas) {/**paintFinal
746                     while (ii<=nEntradas+nVezezPassAmostra+nVezezPassAjusteFino)
747                         {/**'while' interno1*/
748
749                         while (ii<=nEntradas+nVezezPassAmostra) {/**'while'
750                             interno2*/
751
752                             if (ii > nEntradas) {
753                                 calcMesmo();
754                                 if (Math.abs(ii % 100)==0) {
755                                     repaint();
756                                     etiqueta2.setText(String.valueOf(iteratione));
757                                     if (iteratione < 300) {
758                                         thread.sleep((int)(Math rint (800*Math.exp((-1.0d)*
759                                             iteratione)/170)));
760                                     }
761                                 }
762                             }
763                             else {
764                                 thread.sleep((int)(Math rint (800*Math.exp((-1.0d)*
765                                     1.68d) ));
766                             }
767                         }
768                     }
769                 }
770             }
771             if (ii == nEntradas) {

```

```

764         calcSistema();
765         repaint(); thread.sleep(2500);
766     }
767     ii++;
768
769     /*final do while interno2 de paintFinal*/
770
771     calcMesmo2();
772     if (Math.abs(iteratione % 500)==0) {
773         repaint();
774         etiqueta2.setText(String.valueOf(iteratione));
775         thread.sleep( (int)Math rint (800*Math.exp((-1.0d)*1.68d))
776     );
777     ii++;
778
779     /*final do while interno1 de paintFinal*/
780     if (iii == nEntradas+nVezePassAmostra+nVezePassAjusteFino+1)
781     {
782         for (int i=1; i<=nPesos; i++) {
783             if (maisPerto[i]>0) {
784                 System.out.println(
785                     "O dado mais próximo da unidade neural " + i +
786                     " é a linha " + (maisPerto[i]) /*" com a " +
787                     (2*maisPerto[i])*"/ + ".";
788             }
789             else {
790                 System.out.println(
791                     "Não foi atribuído nenhum dado para a unidade neural " +
792                     i + ".";
793             }
794         }
795         ii--;
796     }
797     /*final do if externo de paintFinal*/
798     if (bandeiraPisca.equals("up")) { bandeiraPisca="down"; }
799     else { bandeiraPisca = "up"; }
800     repaint();
801     thread.sleep(800);
802     /*fim do try de Interrupted*/
803     catch (InterruptedException e) {
804         System.out.println("Algo parou a contagem"); break;
805     }
806     /*fim do 'while' externo*/
807
808     /*fim de run*/
809
810     //desenha dinamicamente o conteúdo em rodagem
811     public void paint (Graphics g) {
812
813         double[] fracaoParaNeuro = new double[nPesos+1];
814         String[][] recipiente = new String[nPesos][dim];
815         String[] ingredientes;
816         ingredientes = new String[nPesos];
817         String[] abrevGrandeza =
818         {"NUL", "LBL", "V", "Q", "P", "I", "D", "NUL", "NUL", "NUL"};
819         String[] abrevUnidade = {"NUL", " ", "m³", "kcal/m³", "kgf/cm²",
820         "C", " ", "NUL", "NUL", "NUL"};
821         //declaração das cores utilizadas para aprendizagem e
822         classificação
823         Color blackAndWhite = new Color(120,120,120); //darkrev
824         Color greedark = (Color.green).darker(); Color bludark =
825         (Color.blue).darker(); Color orchidea = new Color (218,112,214);
826         Color[] corValor =
827         {Color.white, greedark, Color.orange, Color.red, orchidea, Color.
828         black};
829
830         //função que rastreia a cor de fundo escolhida (traz também
831         algumas mudancas gto. ao tipo de variável exibida)
832         fixaBackground();

```

```

823 //VALIDAÇÃO DA APRENDIZAGEM POR CLICKS NA TELA ONDE SÃO
      PLOTADOS OS DADOS DE ENTRADA
824 for (int i=0; i<prev.size(); i++) {
825     g.setColor(BlackAndWhite); //g.setColor(cor[or[i+1]]);
826     g.drawString("%.V"+String.valueOf(i+1)+"|"+or[i+1]+" "+alarme[i
      +1], ((Point)prev.elementAt(i)).x, ((Point)prev.elementAt(i)).y)
      ;
827     g.fillOval( ((Point)prev.elementAt(i)).x, ((Point)prev.
      elementAt(i)).y, (int)Math rint( ((prevDimAux[3][i])+1d)*8d ), (
      int)Math rint( ((prevDimAux[1][i])+1d)*8d ) );
828 }
829
830 //LINHAS SEPARADORAS DE SUBTELAS NO APPLET
831 g.setColor(Color.black);
832 g.fillRect(0,100,800,3);
833 g.fillRect(0,2050,800,3);
834
835
836 //MÓDULO DE PREENCHIMENTO DAS CÉLULAS - para plano
837 int APPUPLEFT_X = 380;
838 int APPUPLEFT_Y = 460;
839 int DIAMETER = 38;
840 int DIAGLIT_IN = 12;
841 int DIAGLIT_ON = 28;
842 for (int l=1; l<=nPesos; l++) {
843     g.setColor(BlackAndWhite);
844     g.setFont( new Font("Serif",Font.PLAIN,9) );
845     if (tenche.equals("nao")) { //Cuidado! o fillOval abaixo se
      torna ponto quando não há nenhum dado atribuído a uma unidade
      neural
846         g.fillOval( (int)Math rint( (neuro[l][1]*20)+APPUPLEFT_X+(
      DIAMETER/2) ), (int)Math rint( (neuro[l][2]*20)+APPUPLEFT_Y+(
      DIAMETER/2) ), (int)Math round( contaParaNeuro[l] ), (int) Math.
      round( contaParaNeuro[l] ) );
847     }
848     g.setColor(Color.black);
849     g.drawString( String.valueOf(l), (int) Math rint( (neuro[l][1]*
      20)+APPUPLEFT_X+(DIAMETER/2) ), (int) Math rint( (neuro[l][2]*20)
      +APPUPLEFT_Y+(DIAMETER/2) ) );
850     g.setColor(corValor[avalia_d[maisPerto[l]]]);
851     if (tenche.equals("nao")) {
852         g.drawOval( (int) Math rint( (neuro[l][1]*20)
      +APPUPLEFT_X ), (int) Math rint( (neuro[l][2]*20)+APPUPLEFT_Y ),
      DIAMETER,DIAMETER);
853     }
854     else {
855         g.fillOval( (int) Math rint( (neuro[l][1]*20)
      +APPUPLEFT_X ), (int) Math rint( (neuro[l][2]*20)+APPUPLEFT_Y ),
      DIAMETER,DIAMETER);
856         g.setFont( new Font("Serif",Font.PLAIN,9) );
857         g.setColor(Color.black);
858         switch (ciclicoBG) { //preenche o conteúdo das células com
      #dado, volume e pcs respectivamente
859             case 1:
860                 try {
861                     if (entrada[maisPerto[l]][2].equals("")) {
862                         //x_d[maisPerto[l]][0] -> número seqüencial do dado
863                         g.drawString( String.valueOf( (int) Math rint( x_d[
      maisPerto[l]][0] ), (int) Math rint( (neuro[l][1]*20)+
      APPUPLEFT_X+15 ), (int) Math rint( (neuro[l][2]*20)+
      APPUPLEFT_Y+(DIAMETER/2) ) );
864                     }
865                     else {
866                         g.drawString( String.valueOf( (int) Math rint( Double.
      valueOf( entrada[maisPerto[l]][2].doubleValue() ) )+"|"+
      String.valueOf( (int) Math rint( x_d[maisPerto[l]][0] ),
867                         (int) Math rint( (neuro[l][1]*20)+APPUPLEFT_X+5 ), (int)
      Math rint( (neuro[l][2]*20)+APPUPLEFT_Y+(DIAMETER/2) ) );
868                     }

```

```

869         catch (Exception e) {
870             g.drawString( String.valueOf( (int) Math rint (x_d[maisPerto
[1][0]]), (int) Math.rint( (neuro[1][1]*20)+APPUPLEFT_X+15)
, (int) Math.rint( (neuro[1][2]*20)+APPUPLEFT_Y+(DIAMETER/2
)) ) );
871         }
872         break;
873     case 2:
874         g.setFont( new Font("Serif",Font.PLAIN,9) );
875         try {
876             if (entrada[maisPerto[1]][2].equals("")) {
877                 //qual[maisPerto[1]][3]->volume normalizado
878                 g.drawString( qual[maisPerto[1]][3], (int) Math.rint( (
neuro[1][1]*20)+APPUPLEFT_X), (int) Math.rint( (neuro[1][2]
*20)+APPUPLEFT_Y+(DIAMETER/2)) );
879             }
880             else {
881                 g.drawString( String.valueOf( (int) Math.rint (Double.
valueOf(qual[maisPerto[1]][3]).doubleValue()) ),
882                 (int) Math.rint( (neuro[1][1]*20)+APPUPLEFT_X+3), (int)
Math.rint( (neuro[1][2]*20)-APPUPLEFT_Y+(DIAMETER/2)) );
883             }
884             catch (Exception e) {
885                 g.drawString( qual[maisPerto[1]][3], (int) Math.rint( (
neuro[1][1]*20)+APPUPLEFT_X), (int) Math.rint( (neuro[1][2]*
20)+APPUPLEFT_Y+(DIAMETER/2)) );
886             }
887             break;
888     case 3:
889         g.setFont( new Font("Serif",Font.PLAIN,9) );
890         try {
891             if (entrada[maisPerto[1]][2].equals("")) {
892                 //qual[maisPerto[1]][4]->PCS,
qual[maisPerto[1]][5]->expressão
893                 g.drawString( qual[maisPerto[1]][4], (int) Math.rint( (
neuro[1][1]*20)+APPUPLEFT_X-3), (int) Math.rint( (neuro[1][
2]*20)+APPUPLEFT_Y+(DIAMETER/2)) );
894             }
895             else {
896                 g.drawString( String.valueOf( (int) Math.rint (Double.
valueOf(entrada[maisPerto[1]][2]).doubleValue())+"|"+
String.valueOf( (int) Math.rint (Double.valueOf(qual[
maisPerto[1]][4]).doubleValue()) ),
897                 (int) Math.rint( (neuro[1][1]*20)+APPUPLEFT_X+3), (int)
Math.rint( (neuro[1][2]*20)+APPUPLEFT_Y+(DIAMETER/2)) );
898             }
899             catch (Exception e) {
900                 g.drawString( qual[maisPerto[1]][4], (int) Math.rint( (
neuro[1][1]*20)+APPUPLEFT_X-3), (int) Math.rint( (neuro[1][2]
*20)+APPUPLEFT_Y+(DIAMETER/2)) );
901             }
902             break;
903         } //final do switch ciclico background
904         } //final do else de enche-não
905         if (l == pesoVictor) {
906             if (bandeiraAcende.equals("sim") && pesoVictor>0) {
907                 if (tenche.equals("sim")) {
908                     g.setColor(Color.white);
909
910                     g.fillOval( (int) Math.rint( (neuro[1][1]*20)
+APPUPLEFT_X), (int) Math.rint( (neuro[1][2]*20)-
APPUPLEFT_Y), DIAMETER, DIAMETER);
911                     g.setColor( corValor[avalia_d[maisPerto[1]]]);
912                 }
913                 if (bandeiraPisca.equals("down")) {
914                     if (tenche.equals("sim")) {
915                         g.fillOval( (int) Math.rint( (neuro[1][1]*20)+
APPUPLEFT_X+(DIAMETER/2)-(DIAGLIT_IN/2)), (int) Math.
rint( (neuro[1][2]*20)+APPUPLEFT_Y+(DIAMETER/2)-

```

```

914         DIAGLIT_IN/2)), DIAGLIT_IN, DIAGLIT_IN);
915     }
916     else {
917         g.drawOval((int)Math rint((neuro[l][1]*20)+
APPUPLEFT_X+(DIAMETER/2)-(DIAGLIT_IN/2)), (int)Math.
rint((neuro[l][2]*20)+APPUPLEFT_Y+(DIAMETER/2)-(
DIAGLIT_IN/2)), DIAGLIT_IN, DIAGLIT_IN);
918     }
919 }
920 else {
921     if (enche.equals("sim")) {
922         g.fillOval((int)Math rint((neuro[l][1]*20)+
APPUPLEFT_X+(DIAMETER/2)-(DIAGLIT_ON/2)), (int)Math.
rint((neuro[l][2]*20)+APPUPLEFT_Y+(DIAMETER/2)-(
DIAGLIT_ON/2)), DIAGLIT_ON, DIAGLIT_ON);
923     }
924     else {
925         g.drawOval((int)Math rint((neuro[l][1]*20)+
APPUPLEFT_X+(DIAMETER/2)-(DIAGLIT_ON/2)), (int)Math.
rint((neuro[l][2]*20)+APPUPLEFT_Y+(DIAMETER/2)-(
DIAGLIT_ON/2)), DIAGLIT_ON, DIAGLIT_ON);
926     }
927 }
928 }
929 }
930 //final do MÓDULO DE PREENCHIMENTO DAS CÉLULAS - para plano
(do for)
931
932 //MÓDULO DE PREENCHIMENTO DAS CÉLULAS - para superfície
esférica
933 int APPUPLEFT_X = 960;
934 int APPUPLEFT_Y = 430;
935 int APPUPLEFT_YDOWN = 700;
936 int DIAMETER = 42;
937 int DIAGLIT_IN = 10;
938 int DIAGLIT_ON = 30;
939 for (int l=1; l<=nPesos; l++) {
940
g.setColor(corValor[avalia_d[maisPerto[l]]]); //g.setColor(co
r[l]);
941 if (neuro[l][1]<=Math.PI && Math.abs(neuro[l][2])<Math.PI/2)
{
942
g.fillOval((int)Math rint(((neuro[l][0]*Math.cos(neuro[l]
[1]))*20)+APPUPLEFT_X), (int)Math rint(((neuro[l][0]
*(Math.sin(neuro[l][2]))*20)+APPUPLEFT_Y), (int)
Math.round(contaParaNeuro[l]), (int)
Math.round(contaParaNeuro[l]));
943 g.drawString(
String.valueOf(l), (int)Math rint(((neuro[l][0]
*Math.cos(neuro[l][1]))*20)+APPUPLEFT_X), (int)
Math rint(((neuro[l][0]*(Math.sin(neuro[l][2]))*20)
+APPUPLEFT_Y));
944
g.setColor(corValor[avalia_d[maisPerto[l]]]); //g.setColor(C
olor.white);
945
g.drawOval((int)Math rint(((neuro[l][0]*Math.cos(neuro[l]
[1]))*20)+APPUPLEFT_X-(DIAMETER/2)), (int)
Math rint(((neuro[l][0]*(Math.sin(neuro[l][2]))*20)
+APPUPLEFT_Y-(DIAMETER/2)), DIAMETER, DIAMETER);
946 if (l == pesoVictor) {
947     if (bandeiraAcende.equals("sim") && pesoVictor>0) {
948         if (bandeiraPisca.equals("down")) {
949
g.drawOval((int)Math rint(((neuro[l][0]
*Math.cos(neuro[l][1]))*20)
+APPUPLEFT_X-(DIAGLIT_IN/2)), (int)
Math rint(((neuro[l][0]*(Math.sin(neuro[l][2]))*20)
+APPUPLEFT_Y-(DIAGLIT_IN/2)), DIAGLIT_IN, DIAGLIT_IN);
950         }
951     else {
952

```

```

952         g.drawOval((int)Math rint(((neuro[l][0]
           *Math.cos(neuro[l][1])*20)
           +APPUPLEFT_X-(DIAGLIT_CN/2)),(int)
           Math.rint(((neuro[l][3]*(Math.sin(neuro[l][2])))*20)
           +APPUPLEFT_Y-(DIAGLIT_CN/2)),DIAGLIT_CN,DIAGLIT_CN);
953     )
954 }
955 )
956 )
957 else {
958     if (Math.abs(neuro[l][2])==Math.PI/2) {
959
960         g.fillOval((int)Math.rint(((neuro[l][0]*Math.sin(neuro[l]
           [1])*20)+APPUPLEFT_X),(int)Math.rint(((neuro[l][3]
           *(Math.sin(neuro[l][2])))*20)+APPUPLEFT_Y),(int)
           Math.round(contaParaNeuro[l]),(int)
           Math.round(contaParaNeuro[l]));
961         g.drawString(
           String.valueOf(1),(int)Math.rint(((neuro[l][0]
           *Math.sin(neuro[l][1])*20)+APPUPLEFT_X),(int)
           Math.rint(((neuro[l][3]*(Math.sin(neuro[l][2])))*20)
           +APPUPLEFT_Y));
962
           g.setColor(corValor[avalia_d[maisPerto[l]]]); //g.setColor(
           Color.white);
963
           g.drawOval((int)Math.rint(((neuro[l][0]*Math.sin(neuro[l]
           [1])*20)+APPUPLEFT_X-(DIAMETER/2)),(int)
           Math.rint(((neuro[l][3]*(Math.sin(neuro[l][2])))*20)
           +APPUPLEFT_Y-(DIAMETER/2)),DIAMETER,DIAMETER);
964         if (l == pesoVictor) {
           if (bandeiraAcende.equals("sim") && pesoVictor>0) {
           if (bandeiraPisca.equals("down")) {
965
           g.drawOval((int)Math.rint(((neuro[l][0]
           *Math.sin(neuro[l][1])*20)
           +APPUPLEFT_X-(DIAGLIT_IN/2)),(int)
           Math.rint(((neuro[l][3]*(Math.sin(neuro[l][2])))*20)
           +APPUPLEFT_Y-(DIAGLIT_IN/2)),DIAGLIT_IN,DIAGLIT_IN);
966
           }
           else {
967
           g.drawOval((int)Math.rint(((neuro[l][0]
           *Math.sin(neuro[l][1])*20)
           +APPUPLEFT_X-(DIAGLIT_CN/2)),(int)
           Math.rint(((neuro[l][3]*(Math.sin(neuro[l][2])))*20)
           +APPUPLEFT_Y-(DIAGLIT_CN/2)),DIAGLIT_CN,DIAGLIT_CN);
968
           }
           }
969
           }
           )
970 )
971 )
972 )
973 )
974 else {
975
           g.fillOval((int)Math.rint(((neuro[l][0]*Math.cos(neuro[l]
           [1])*20)+APPUPLEFT_X),(int)Math.rint(((neuro[l][3]
           *(Math.sin(neuro[l][2])))*20)+APPUPLEFT_YDOWN),(int)
           Math.round(contaParaNeuro[l]),(int)
           Math.round(contaParaNeuro[l]));
976         g.drawString(
           String.valueOf(1),(int)Math.rint(((neuro[l][0]
           *Math.cos(neuro[l][1])*20)+APPUPLEFT_X),(int)
           Math.rint(((neuro[l][3]*(Math.sin(neuro[l][2])))*20)
           +700));
977
           g.setColor(corValor[avalia_d[maisPerto[l]]]); //g.setColor(
           Color.white);
978
           g.drawOval((int)Math.rint(((neuro[l][0]*Math.cos(neuro[l]
           [1])*20)+APPUPLEFT_X-(DIAMETER/2)),(int)
           Math.rint(((neuro[l][3]*(Math.sin(neuro[l][2])))*20)
           +APPUPLEFT_YDOWN-(DIAMETER/2)),DIAMETER,DIAMETER);
979         if (l == pesoVictor) {
           if (bandeiraAcende.equals("sim") && pesoVictor>0) {
980

```

```

981         if (bandeiraPisca.equals("down")) {
982             g.drawOval((int)Math rint((neuro[l][0]
                *Math.cos(neuro[l][1])*20)
                +APPUPLEFT_X-(DIAGLIT_IN/2)), (int)
                Math.rint((neuro[l][0]*(Math.sin(neuro[l][2]))*20)
                +APPUPLEFT_YDOWN-(DIAGLIT_IN/2)),DIAGLIT_IN,DIAGLIT_
                IN);
983         }
984         else {
985             g.drawOval((int)Math.rint((neuro[l][0]
                *Math.cos(neuro[l][1])*20)
                +APPUPLEFT_X-(DIAGLIT_ON/2)), (int)
                Math.rint((neuro[l][0]*(Math.sin(neuro[l][2]))*20)
                +APPUPLEFT_YDOWN-(DIAGLIT_ON/2)),DIAGLIT_ON,DIAGLIT_
                ON);
986         }
987     }
988 }
989 }
990 }
991 //final do MÓDULO DE PREENCHIMENTO DAS CÉLULAS - para
superfície esférica (do For)*/
992
993
994 //DESENHA A LISTA DOS RESULTADOS PARA CADA CÉLULA
995 try { //tryImp - per calculatarum positionibus imprentione
996     if (ii > nEntradas) /*solo per non imprentare valores default*/
        //paintFinal
997
998         //imprime dados de entrada e pesos
999         for (int i=0; i<nEntradas; i++) { //dados de entrada
1000             g.setColor(blackAndWhite); //g.setColor(cor[v[i+1]]);
1001             g.drawString("  .x"+String.valueOf(i+1)+"|"+v[i+1], (int)
                Math.rint((350d*(x_d[i+1][1]+1d))+50d), (int)Math.rint(
                2800d-325d*(x_d[i+1][2]+1d) ) );
1002             if ( ((int)Math.round((x_d[i+1][3]+1d)*8)) > 0 && ((int)
                Math.round((x_d[i+1][6]+1d)*8)) > 0 ) { //correção para que
                a elipse não tenha algum semieixo = 0, x_d mais sensível a
                tal
1003                 g.fillOval( (int)Math.rint((350d*(x_d[i+1][1]+1d))+50d), (
                    int)Math.rint(2800d-325d*(x_d[i+1][2]+1d)), (int)Math.
                    round((x_d[i+1][3]+1d)*8), (int)Math.round((x_d[i+1][6]+1d)
                    *8) );
1004             }
1005             else {
1006                 if ( ((int)Math.round((x_d[i+1][3]+1d)*8)) <= 0 ) {
1007                     g.fillOval( (int)Math.rint((350d*(x_d[i+1][1]+1d))+50d),
                        (int)Math.rint(2800d-325d*(x_d[i+1][2]+1d)),1, (int)Math.
                        round((x_d[i+1][6]+1d)*8) );
1008                 }
1009                 else {
1010                     g.fillOval( (int)Math.rint((350d*(x_d[i+1][1]+1d))+50d),
                        (int)Math.rint(2800d-325d*(x_d[i+1][2]+1d)), (int)Math.
                        round((x_d[i+1][3]+1d)*8),1 );
1011                 }
1012             }
1013         }
1014
1015         for (int i=1; i<=nPesos; i++) { //valores iniciais aleatórios
                dos vectores pesos
1016             g.setColor(blackAndWhite);
1017             g.drawString("  .C"+String.valueOf(i), (int)Math.rint( (350
                d*(w_inic[i][1]+1d))+50d ), (int)Math.rint( 2800d - 325d*(
                w_inic[i][2]+1d) ) );
1018             g.fillOval( (int)Math.floor((350d*(w_inic[i][1]+1d))+50d),
                (int)Math.floor(2800d - 325d*(w_inic[i][2]+1d)), (int)Math.
                rint((w_inic[i][3]+1d)*8), (int)Math.rint((w_inic[i][6]+1d)
                *8) );
1019         }
1020
1021         g.setFont( new Font("Helvetica",Font.BOLD,15) );

```

```

1022     for (int i=1;i<=nPesos;i++) { //valores finais dos vectores
1023     pesos a cada grupo de iteração
1024         g.setColor(blackAndWhite);
1025         g.drawString( " 3"+String.valueOf(i), (int)Math rint( (350
1026         d*(w[i][1]+1d)+50d ), (int)Math rint( 2800d -
1027         325d*(w[i][2]+1d) ) );
1028         g.FillOval( (int) Math rint( (350d*(w[i][1]+1d)+50d), (int)
1029         Math rint(2800d - 325d*(w[i][2]+1d)), (int) Math rint( (w[i][
1030         3]+1d)*8), (int) Math rint( (w[i][6]+1d)*8) );
1031     }
1032     //lista das coordenadas relativas dos pesos e lista das
1033     médias de cada componente de entrada
1034     for(int i=1;i<=nPesos;i++) {
1035         fracaoParaNeuro[i] = (double) Math rint( (contaParaNeuro[
1036         i]-1)/(nEntradas*2) *1000 ) /1000;
1037     }
1038     DecimalFormat digits = new DecimalFormat("###.###");
1039     for (int i=1;i<=nPesos;i++) {
1040         ingredientes[i-1]=
1041         "%"+String.valueOf(i)+"=( "+String.valueOf( (int) Math rint(
1042         (350d*(w[i][1]+1d)-350d)/10 ) )+" , "
1043         +String.valueOf( (int) Math rint( (350d*(w[i][2]+1d)-350d)/
1044         10 ) )+" , "
1045         +String.valueOf( (int) Math rint( (350d*(w[i][3]+1d)-350d)/
1046         10 ) )+" , "
1047         +String.valueOf( (int) Math rint( (350d*(w[i][4]+1d)-350d)/
1048         10 ) )+" , "
1049         +String.valueOf( (int) Math rint( (350d*(w[i][5]+1d)-350d)/
1050         10 ) )+" , "
1051         +String.valueOf( (int) Math rint( (350d*(w[i][6]+1d)-350d)/
1052         10 ) )+" ] "+" "+digits.format(fracaoParaNeuro[i]);
1053     }
1054     g.setFont( new Font("Serif",Font.PLAIN,10) );
1055     FontMetrics fm = g.getFontMetrics();
1056     for (int j=0;j<nPesos;j++) {
1057         g.setColor(blackAndWhite); //g.setColor(ocr[j+1]);
1058         if (j<=99) {
1059             g.drawString(ingredientes[j],5, (fm.getAscent()
1060             *(j+1))+950);
1061         }
1062         else {
1063             if (j<=199) {
1064                 g.drawString(ingredientes[j],195, (fm.getAscent()
1065                 *(j-99))+950);
1066             }
1067             else {
1068                 if (j<=299) {
1069                     g.drawString(ingredientes[j],385, (fm.
1070                     getAscent()*(j-199))+950);
1071                 }
1072                 else {
1073                     g.drawString(ingredientes[j],575, (fm.
1074                     getAscent()*(j-299))+950);
1075                 }
1076             }
1077         }
1078     }
1079     DecimalFormat digitos = new DecimalFormat("0");
1080     for (int j=1;j<=dim;j++) {
1081         for (int k=1;k<=nPontos;k++) {
1082             if (desvioPadraoSignif[k][j]>=1d) {
1083                 recipiente[k-1][j-1]="Média"+String.valueOf(k)+" "+
1084                 abrevGrandeza[j]+" = "
1085                 +String.valueOf(digitos.format(media[k][j]))+" (" +
1086                 String.valueOf(digitos.format(dPALgarismoSignificativo
1087                 [k][j]))+" ) "
1088                 +abrevUnidade[j];
1089             }
1090             else {
1091                 recipiente[k-1][j-1]="Média"+String.valueOf(k)+" "+

```

```

1073         abrevGrandeza[j]+" = "
1074         +digits.Format(media[k][j])+" "+digits.Format(
1075         dPAIgarismoSignificativo[k][j])+" "
1076         +abrevUnidade[j];
1077     }
1078 }
1079 g.setFont(new Font("Times New Roman",Font.BOLD,11));
1080 g.setColor(Color.gray);
1081 for (int j=2;j<=dim;j++) {
1082     for (int k=1;k<=nPontos;k++) {
1083         g.drawString(String.valueOf(recipiente[k-1][j-1]),3+168*
1084         (j-2),(fm.getAscent()*k)+950-40);
1085     }
1086 }
1087
1088 /* endif da impressão dos resultados no método paint (o 'if'
1089 paintFinal)*/
1090 //final de tryImp
1091 catch(Exception e) {
1092     System.out.println(
1093     "Verifique tryImp. Verifique as atribuições de dimensão em
1094     tryImp");
1095 }
1096 //final de catching e final da lista de resultados para os
1097 pontos (células)
1098
1099 /*chave final do método paint*/
1100
1101 //evento clica mouse sobre o applet
1102 class MouseHandler extends MouseAdapter {
1103     public void mousePressed(MouseEvent e) {
1104         if (ii < nEntradas) {
1105             ii=nEntradas;
1106         }
1107         if (ii > nEntradas+nVezePassAmostra+nVezePassAjusteFino &&
1108             jj<100) {
1109             prev.addElement(new Point (e.getX(),e.getY()));
1110             for (int i=3; i<=dim; i++) {
1111                 double ddd=; Math.random()*0.99d*Math.pow(-1.0d,Math.
1112                 rint(Math.random()*10d));
1113                 prevDimAux[i-3][jj] = ddd;
1114             }
1115             jj++;
1116             repaint();
1117         }
1118     }
1119     /*chave final do método mousePressed*/
1120 }
1121 //chave final da classe MouseHandler*/
1122
1123 //Evento clica botão
1124 public void actionPerformed(ActionEvent evt) {
1125     Button source = (Button)evt.getSource();
1126     if (source.getLabel().equals("eApague")) {
1127         apagaPonto();
1128     }
1129     if (source.getLabel().equals("AtribuiUnidade")) {
1130         calcMaisProx();
1131         calcClassifDado();
1132     }
1133     if (source.getLabel().equals("UnidadeAoClick")) {
1134         calcPrev();
1135     }
1136     if (source.getLabel().equals("Mapeia")) {
1137         mapeiaQualidade();
1138     }
1139 }

```

```

1138         if (source.getLabel().equals("Acende")) {
1139             if (enche.equals("nao")) { enche="sim"; }
1140             else { enche="nao"; }
1141         }
1142         if (source.getLabel().equals("Restarta")) {
1143             restartApplet();
1144         }
1145         if (source.getLabel().equals("MudaFundo")) {
1146             ciclicoBG++; if (ciclicoBG>=4 || ciclicoBG<=0) { ciclicoBG=
1147                 1; }
1148         }
1149     } /*chave final do método actionPerformed*/
1150
1151
1152
1153     public void apagaPonto() {
1154
1155
1156         if (ii > nEntradas+nVezePassAmostra+nVezePassAjusteFino) {
1157             prev.removeElement((Point)prev.elementAt(Integer.parseInt(
1158                 selection.getText().i-1));
1159             for (int i=3; i<=dim; i++) {
1160                 for (int j= (Integer.parseInt(selection.getText().i)-1);
1161                     j<prev.size(); j++) {
1162                     prevDimAux[i-3][j] = prevDimAux[i-3][j+1];
1163                 }
1164             }
1165
1166             repaint();
1167
1168         } /*final do método apagaPonto*/
1169
1170
1171
1172
1173     //método do botão Restarta
1174     public void restartApplet() {
1175         autorizacao="pause";
1176         int u1=pesao.size();
1177         int u2=batida.size();
1178         int u3=prev.size();
1179         int uu=u1-1;
1180         for (int u=u1-1; u>=0; u--) {
1181             pesao.removeElement((Point)pesao.elementAt(uu));
1182             uu--;
1183         }
1184         uu=u2-1;
1185         for (int u=u2-1; u>=0; u--) {
1186             batida.removeElement((Point)batida.elementAt(uu));
1187             uu--;
1188         }
1189         uu=u3-1;
1190         for (int u=u3-1; u>=0; u--) {
1191             prev.removeElement((Point)prev.elementAt(uu));
1192             uu--;
1193         }
1194
1195         //valores default (alguns reatribuídos por redundância
1196         for (int i=0; i<=nTuplas; i++) {
1197             for (int j=0; j<=dim+2; j++) {
1198                 x_d[i][j] = 0d;
1199             }
1200         }
1201
1202         for (int i=0; i<=nPesos; i++) {
1203             for (int j=0; j<=dim; j++) {
1204                 w_inic[i][j] = 0d;
1205                 w[i][j] = 0d;
1206             }
1207         }

```

```

1208     }
1209
1210
1211     for (int k=0; k <= nEntradas; k++){
1212         v[k]=0;
1213     }
1214
1215     for (int k=0; k <= nEntradas; k++){
1216         pr[k]=0;
1217     }
1218
1219     for (int i=0; i<=nPesos; i++) {
1220         contaParaNeuro[i]=ld;
1221     }
1222
1223     for (int i=0; i<=nPesos; i++) {
1224         qNeuro[i]=0;
1225     }
1226
1227     for (int k=0; k <= nEntradas; k++){
1228         alarme[k]=" ";
1229     }
1230
1231     for (int i=0; i<= nMaximoDados; i++) {
1232         avalia_d[i]=0;
1233     }
1234
1235     ii=0;
1236     iterations=0;
1237     autorizacao="ande";
1238     selecao.setText("");
1239     bandeiraAcende="nao";
1240
1241     /**final de restartApplet*/
1242
1243
1244
1245     //atribuição dos valores vitorias
1246     public void calcSistema() {
1247
1248         double somaLinha=0d;
1249         double somaPres=0d;
1250         double somaTemp=0d;
1251         int prestemp=0;
1252         double SENSE_Q,SENSE_PCS;
1253         //Random aleatorio;
1254
1255
1256         ///BLOCO DE ATRIBUIÇÃO DE VALORES PARA A ENTRADA E PARA OS
1257         PESOS///
1258
1259         //valores default
1260         for (int i=0; i<=nEntradas; i++) {
1261             avalia_d[i] = 0;
1262             for (int j=0; j<=dim+2; j++) {
1263                 x_d[i][j] = 0d;
1264             }
1265         }
1266
1267         for (int i=0; i<=nPesos; i++) {
1268             for (int j=0; j<=dim; j++) {
1269                 w_linic[i][j] = 0d;
1270                 w[i][j] = 0d;
1271             }
1272         }
1273
1274         for (int k=0; k <= nEntradas; k++){
1275             v[k]=0;
1276         }
1277
1278         double menor[];
1279         menor = new double [dim+1];
1280         for (int j=0;j<=dim;j++) {

```

```

1280         menor[j]=+99999999d;
1281     }
1282
1283     double maior[];
1284     maior = new double [dim+1];
1285     for (int j=0; j<=dim; j++) {
1286         maior[j]=-99999999d;
1287     }
1288
1289
1290     //atribuição dada pelo texto de entrada (advindo de banco de
1291     //dados)
1292     int k=0;
1293     somaPres=0d; pretemp=0; somaTemp=0d;
1294     for (int i=1; i<=nMaximoDados; i=i+1) {
1295         k++;
1296         x_d[i][0]=i;
1297         x_d[k][1]=Double.valueOf(entrada[i][2]).doubleValue()/10;
1298         //label do dado
1299         x_d[k][2]=Math rint( (Double.valueOf(entrada[i][4]).
1300         doubleValue())*(Math rint( (Double.valueOf(entrada[i][5]).doubleValue()) /9400 )+
1301         0.0000055d *(10000 ))/10000) + 0.055d ) );
1302         x_d[k][3]=Double.valueOf(entrada[i][5]).doubleValue(); //4-
1303         PCS; ^ volume normalizado a PCS (depois de estar normalizado
1304         a P = 1 atm e T = 20°C)
1305         x_d[k][4]=Double.valueOf(entrada[i][7]).doubleValue();
1306         //pressão
1307         x_d[k][5]=Double.valueOf(entrada[i][8]).doubleValue();
1308         //temperatura
1309         x_d[k][6]=Double.valueOf(entrada[i][9]).doubleValue();
1310         //densidade relativa ao ar seco
1311         if (x_d[k][4]!=0d || x_d[k][5]!=0d) { somaPres+=x_d[k][4];
1312         somaTemp+=x_d[k][5]; pretemp++; }
1313     }
1314     if (pretemp!=0) {
1315         somaPres=somaPres/pretemp; somaTemp=somaTemp/pretemp;
1316         System.out.println("");
1317         System.out.println("pres. média = " + somaPres + "kgf/cm²" +
1318         " " + "temp. média = " + somaTemp + "°C");
1319         System.out.println("");
1320         k=0;
1321         for (int i=1; i<=nMaximoDados; i=i+1) {
1322             k++;
1323             if (x_d[k][4]==0d && x_d[k][5]==0d) { x_d[k][4]=somaPres;
1324             x_d[k][5]=somaTemp; }
1325         }
1326     }
1327     else {
1328         k=0;
1329         for (int i=1; i<=nMaximoDados; i=i+1) {
1330             k++;
1331             if (x_d[k][4]==0d && x_d[k][5]==0d) { x_d[k][4]=15d;
1332             x_d[k][5]=15d; }
1333         }
1334     }
1335
1336     filtrarITextus();
1337     extractatMediaDP();
1338     for (int i=0; i<nPontos; i++) {
1339
1340         campoQ[i].setText(String.valueOf(Math rint (media[i+1][2])));
1341
1342         campoP[i].setText(String.valueOf(media[i+1][3])); //3-PCS
1343         //campoP[1].setText(String.valueOf(media[i+1][4])); //4-
1344         pressao
1345
1346     }
1347
1348     for (int i=0; i<=nPesos; i++) {
1349         maisPerto[i]=0;
1350     }
1351 }

```

```

1338 //cada os parâmetros de applet "fator de sensibilidade"
1339 try {
1340     if (getParameter("amt") != null){
1341         SENSE_Q=Double.parseDouble(getParameter("amt"));
1342     }
1343     else {
1344         SENSE_Q=0.1d;
1345     }
1346     if (getParameter("tma") != null){
1347         SENSE_PCS=Double.parseDouble(getParameter("tma"));
1348     }
1349     else {
1350         SENSE_PCS=10d;
1351     }
1352 }
1353 catch (Exception e) {
1354     System.out.println(
1355         "Usuário inseriu valor não válido para sensibilidade: uso do
1356         default.");
1357     SENSE_Q=0.1d;
1358     SENSE_PCS=10d;
1359 }
1360 //Normaliza para soma 1 a tupla de dados
1361 for (int i=1;i<=nMaximoDados;i++) {
1362     somaLinha=0d;
1363     x_d[i][2]=((3500000d-x_d[i][2])/3500000d)*SENSE_Q;
1364     x_d[i][3]=((10000d-x_d[i][3])/10000d-9300d)*SENSE_PCS;
1365     x_d[i][4]=(25d-x_d[i][4])/25d-15d;
1366     x_d[i][5]=(40d-x_d[i][5])/40d-(-5d);
1367     x_d[i][6]=((0.700d-x_d[i][6])/0.700d-0.600d);
1368     for (int j=2;j<=dim;j++) {
1369         somaLinha+=x_d[i][j];
1370     }
1371     for (int j=1;j<=dim;j++) {
1372         x_d[i][j]=x_d[i][j]/somaLinha;
1373     }
1374 }
1375 //Normaliza dados para ficarem entre -1 e 1
1376 for (int i=1;i<=nMaximoDados;i++) {
1377     for (int j=1;j<=dim;j++) {
1378         if (x_d[i][j]>maior[j]) { maior[j]=x_d[i][j]; }
1379         if (x_d[i][j]<menor[j]) { menor[j]=x_d[i][j]; }
1380     }
1381 }
1382 for (int i=1;i<=nMaximoDados;i++) {
1383     for (int j=1;j<=dim;j++) {
1384         x_d[i][j]=((2d*(x_d[i][j]-menor[j]))/(maior[j]-menor[j])) -
1385             1d;
1386         //x_d[i][j]=((2d*(x_d[i][j]-3d))/(1d)) - 1d;
1387         if (j<dim) {System.out.print(x_d[i][j]);System.out.print("
1388             ");} else { System.out.println(x_d[i][j]); }
1389     }
1390 }
1391 for (int i=1; i<=nPesos; i++) {///2
1392     for (int j=1; j<=dim; j++) {///1
1393         w[i][j]=aleatorio.nextDouble()*0.085d*Math.pow(-1.0d,
1394             aleatorio.nextInt(2));
1395     }
1396 }
1397 for (int i=1; i<=nPesos; i++) {///2
1398     for (int j=1; j<=dim; j++) {///1
1399         w_inic[i][j]=w[i][j];
1400     }
1401 }
1402 }
1403 ///FIM DO BLOCO DE ATRIBUIÇÃO DE VALORES DEFAULT PARA X E W///
1404 }
1405 try {

```

```

1436     leFiltrato();
1437 }
1438 catch (Exception e) {
1439     System.err.println(e);
1440     System.out.println("Não realizou o método leFiltrato()");
1441 }
1442
1443
1444 /*fim do método de calcSistema*/
1445
1446
1447 ///////////////////////////////////////////////////REALIZAÇÃO DO ALGORITMO PROPRIAMENTE DITO//////////////////////////////////////
1448 public void calcMesmo() {
1449
1450     int guia;
1451     String repetido;
1452     int sorte;
1453     int sors[];
1454     double vencedor[];
1455     double ETA;//fator de aprendizado: temporal
1456     double R;//desvio padrão, equivale à antiga vizinhança
1457     double dist[]; //double distAnt=0.0d;
1458     double d = 0d;
1459     double H = 0d;
1460
1461     //inicialização de variáveis
1462     sors = new int[nEntradas+1];
1463     dist = new double[nPesos+1];
1464     vencedor = new double[nPesos+1];
1465
1466     //atribuição inicial de variáveis: por default e por segurança
1467     for (int i=0; i<=nPesos; i++) {
1468         dist[i]=0.0d;
1469         vencedor[i]=2000d;
1470     }
1471
1472     //mistura a ordem dos vetores de entrada
1473     guia=1;
1474     //aleatorio = new Random();
1475     while (guia<=nEntradas) {
1476         sorte=(aleatorio.nextInt(nEntradas))+1;
1477         repetido="nao";
1478         for (int i=1; i<guia; i++) {
1479             if (sors[i]==sorte) {repetido="sim";}
1480         }
1481         if (repetido.equals("nao")) {sors[guia]=sorte; guia++;}
1482     } //fim do while
1483
1484     for (int k=1; k <= (nEntradas-(Math rint(0.05f*nEntradas))); k
1485 ++){//3
1486         ETA=ETA_INI*Math.exp((-1.0d)*iteratione)/(nVezePassAmostra
1487 /:(ETA_INI*10));
1488         R=R_INI*Math.exp((-1.0d)*iteratione)/(nVezePassAmostra/(
1489 Math.log(R_INI)/Math.log(2.71828d) ));
1490
1491         vencedor[0] = 2000.0d;
1492         //for (int i=1; i <= pesoa.size(); i++){
1493         for (int i=1; i <= nPesos; i++){//2
1494
1495             dist[0]=0.0d;
1496
1497             for (int j=1; j <= dim; j++){//1
1498                 dist[0] += (x_d[sors[k]][j] - w[i][j])*(x_d[sors[k]][j]
1499 - w[i][j]);
1500             } //1
1501
1502             try {
1503                 dist[0] = Math.sqrt(dist[0]);
1504             }

```

```

1475     }
1476     catch (Exception e) {
1477         System.out.println("Distância negativa!!!");
1478         break;
1479     }
1480
1481     if (vencedor[3] > dist[3]) {vencedor[3] = dist[3]; v[sors[
1482         k]]=i;}
1483
1484     //2
1485     //System.out.println("Ci, linha < 1258!");
1486
1487     for (int i=1; i<=nPesos+1; i++) {///3
1488
1489         d=0d;
1490         for (int j=1; j<3; j++) {///ATENÇÃO!
1491             j<2,sphericus;j<3,planus
1492
1493             /*planus*/d+=(neuro[i][j]-neuro[v[sors[k]]][j])
1494             *(neuro[i][j]-neuro[v[sors[k]]][j]);
1495             /*sphericus*/d= Math.acos( ( Math.sin(neuro[i][j]) *
1496             Math.sin(neuro[v[sors[k]]][j]) ) + (
1497             Math.cos(neuro[i][j]) * Math.cos(neuro[v[sors[k]]][j]) *
1498             Math.cos(neuro[v[sors[k]]][j+1]-neuro[i][j+1]) ) );
1499             if (d<0.3) d*=-1.3;
1500             if (d>Math.PI) d=-Math.PI;
1501             d*=neuro[i][3];
1502             d=Math.pow(d,2.0);*/
1503
1504             //d=Math.sqrt(d);
1505             H=Math.exp((-0.5d)*CR*d)/(R*R);
1506             //if (d<=R) {
1507             for (int j=1; j <= dim; j++) {
1508                 w[i][j] += ETA*H*(x_d[sors[k]][j]-w[i][j]);
1509             }
1510
1511             }///3
1512
1513     }///3
1514     iteratione++;
1515
1516     for (int i=1; i<=nPesos; i++) {
1517         gNeuro[i]=0;
1518         contaParaNeuro[i]=1;
1519     }
1520     for (int i=0; i<=nPesos; i++) {
1521         maisPerto[i]=3;
1522     }
1523     for (int i=1; i<=nPesos; i++) {
1524
1525         for (int l=1; l<=(nEntradas-(Math rint(0.35f*nEntradas))); l
1526         +=) {///"(nEntradas-(Math rint(0.35f*nEntradas)))" para uma
1527         mostra aleatória de nEntradas
1528             if (v[l]==i) {
1529                 for (int j=1; j<=dim; j++) {
1530                     dist[i] += (x_d[l][j] - w[i][j])*(x_d[l][j] -
1531                     w[i][j]);
1532                 }
1533                 try {
1534                     dist[i] = Math.sqrt(dist[i]);
1535                 }
1536                 catch (Exception e) {
1537                     System.out.println("Distância negativa!!!");
1538                     break;
1539                 }
1540
1541                 if (vencedor[i] > dist[i]) { vencedor[i] = dist[i];
1542                 maisPerto[i]=1; }
1543                 cNeuro[i] += 1;
1544                 contaParaNeuro[i]+=2f;
1545             }
1546         }
1547     }

```

```

1537     }
1538
1539
1540     /**fim do método de calcMesmo**/
1541
1542
1543     ////////////REALIZAÇÃO DO ALGORITMO DE CONVERGÊNCIA//////////
1544     public void calcMesmo2() {
1545
1546
1547         //declaração de variáveis
1548         int guia;
1549         String repetido;
1550         int sorte;
1551         int sors[];
1552         double vencedor[];
1553         double ETA;//fator de aprendizado
1554         //double CR = 4.00d;//ajuste de espalhamento da gaussiana
1555         double R;//desvio padrão, equivale à antiga vizinhança
1556         double dist[]; //double distAnt=0.0d;
1557         double d = 0d;
1558         double H = 0d;
1559
1560
1561         //inicialização de variáveis
1562         sors = new int[nEntradas+1];
1563         dist = new double[nPesos+1];
1564         vencedor = new double[nPesos+1];
1565
1566         //atribuição inicial de variáveis: por default e por segurança
1567         for (int i=0; i<=nPesos; i++) {
1568             dist[i]=0.0d;
1569             vencedor[i]=2000d;
1570         }
1571
1572         //parâmetro de applet "taxa de aprendizado 'inicial'" e
1573         distância "inicial"
1574         ETA_INI=0.015d;
1575         if (ii <= 40000) { R_INI = modulo; }
1576         else { R_INI = modulo/10; }
1577
1578         //mistura a ordem dos vetores de entrada
1579         guia=1;
1580         //aleatorio = new Random();
1581         while (guia<=nEntradas) {
1582             sorte=(aleatorio.nextInt(nEntradas))+1;
1583             //sorte=((int)Math rint (Math.random()*nMaximoDados) %
1584             //nEntradas)+1;
1585             repetido="nao";
1586             for (int i=1; i<guia; i++) {
1587                 if (sors[i]==sorte) (repetido="sim");
1588             }
1589             if (repetido.equals("nao")) (sors[guia]=sorte; guia++);
1590         }//fim do while
1591
1592         for (int k=1; k <= nEntradas-(Math.rint(0.05f*nEntradas)); k
1593         ++){//3
1594             ETA=ETA_INI;
1595             R=R_INI;
1596             vencedor[0] = 2000.0d;
1597             for (int i=1; i <= nPesos; i++){//2
1598
1599                 dist[0]=0.0d;
1600
1601                 for (int j=1; j <= dim; j++){//1
1602                     dist[0] += (x_d[sors[k]][j] - w[i][j])*(x_d[sors[k]][j]
1603                     - w[i][j]);
1604                 }//1
1605                 try {
1606                     dist[0] = Math.sqrt(dist[0]);

```

```

1636     }
1637     catch (Exception e) {
1638         System.out.println("Distância negativa!!!");
1639         break;
1640     }
1641
1642     if (vencedor[0] > dist[0]) {vencedor[0] = dist[0]; v[sors[
1643         k]]=i;}
1644
1645     //2
1646
1647     for (int i=1; i<(nPesos+1); i++) { //3
1648
1649         d=0d;
1650         for (int j=1; j<3; j++) { //ATENÇÃO!
1651             j<2,sphericus; j<3,planus
1652
1653             /*planus*/d+=(neuro[i][j]-neuro[v[sors[k]]][j])
1654             *neuro[i][j]-neuro[v[sors[k]]][j]);
1655             /*sphericus*/d+= Math.acos( ( Math.sin(neuro[i][j]) *
1656             Math.sin(neuro[v[sors[k]]][j]) ) + (
1657             Math.cos(neuro[i][j]) * Math.cos(neuro[v[sors[k]]][j]) *
1658             Math.cos(neuro[v[sors[k]]][j+1]-neuro[i][j+1]) ) );
1659             if (d<0.0) d*=-1.0;
1660             if (d>Math.PI) d=-Math.PI;
1661             d*=neuro[i][0];
1662             d=Math.pow(d,2.0);*/
1663
1664             //d=Math.sqrt(d);
1665             H=Math.exp((-0.5d)*CR*d)/(R*R);
1666             //if (d<=R) {
1667             for (int j=1; j <= dim; j++) {
1668                 w[i][j] += EIA*H*(x_d[sors[k]][j]-w[i][j]);
1669             }
1670
1671             //3
1672
1673             //3
1674             iteracione++;
1675
1676             for (int i=1; i<=nPesos; i++) {
1677                 gNeuro[i]=0;
1678                 contaParaNeuro[i]=1;
1679             }
1680             for (int i=0; i<=nPesos; i++) {
1681                 maisPerto[i]=0;
1682             }
1683             for (int i=1; i<=nPesos; i++) {
1684
1685                 for (int l=1; l<=(nEntradas-(Math rint(0.35f*nEntradas))); l
1686                 ++) { //*(nEntradas-(Math.rint(0.35f*nEntradas)))" p/ uma
1687                 mostra aleatória de nEntradas
1688                     if (v[l]==i) {
1689                         for (int j=1; j<=dim; j++) {
1690                             dist[i] += (x_d[l][j] - w[i][j])*(x_d[l][j] -
1691                             w[i][j]);
1692                         }
1693                         try {
1694                             dist[i] = Math.sqrt(dist[i]);
1695                         }
1696                         catch (Exception e) {
1697                             System.out.println("Distância negativa!!!");
1698                             break;
1699                         }
1700                     }
1701                     if (vencedor[i] > dist[i]) { vencedor[i] = dist[i];
1702                     maisPerto[i]=l; }
1703                     cNeuro[i] += 1;
1704                     contaParaNeuro[i]+=2f;
1705                 }
1706             }
1707         }
1708     }

```

```

1668
1669
1670  */*fim do método de calcMesmo?*/
1671
1672
1673  //calcula qual a unidade neural mais próxima da linha de dado
1674  escolhida na interface gráfica
1675  public void calcMaisProx() {
1676      int linhaDado = 1;
1677      double distance = 0d;
1678      if (ii >= nEntradas+nVezePassAmostra+2) {
1679          pesoVictor = 0;
1680          double victor = 99999999d;
1681          try {
1682              linhaDado = Integer.parseInt(selecao.getText());
1683              if (linhaDado>nMaximoDados) { linhaDado=nTuplas*2; selecao.
1684                  setText(String.valueOf(nMaximoDados)); }
1685              if (linhaDado<=0) { linhaDado = 1; }
1686          }
1687          catch (Exception e) {
1688              System.out.println("Valor invalido de seleção, uso do
1689                  default.");
1690              linhaDado = 1;
1691              selecao.setText("1");
1692          }
1693          int l = linhaDado;
1694          for (int i=1; i<=nPesos; i++) {
1695              for (int j=1; j<=dim; j++) {
1696                  distance += (x_d[l][j] - w[i][j])*x_d[l][j] - w[i][j]);
1697              }
1698              try {
1699                  distance = Math.sqrt(distance);
1700              }
1701              catch (Exception e) {
1702                  System.out.println("Distância negativa!!!");
1703                  break;
1704              }
1705              if (victor > distance) { victor = distance; pesoVictor=i;}
1706              distance = 0d;
1707          }
1708          System.out.println("A unidade vencedora para a linha de dado " +
1709              linhaDado + " é a " + pesoVictor + ".");
1710          if (bandeiraAcende.equals("nao") & bandeiraAcende="sim"); }
1711          else { bandeiraAcende="nao"; }
1712      }
1713  }
1714  */*fim do método calcMaisProx
1715
1716
1717  //classifica as unidades pela qualidade de dados atribuídos
1718  public void mapeiaQualidade() {
1719
1720      double QDC[],PCS[]; //P[];
1721      QDC=new double[nPontos]; PCS=new double[nPontos]; //P=new
1722      double[nPontos];
1723
1724      //pega o parâmetro de applet "Quantidade Diária Contratada (m3)"
1725      try {
1726          for (int i=0;i<nPontos;i++) {
1727              if (campoQ[i].getText() != null){
1728                  QDC[i]=Double.parseDouble(campoQ[i].getText());
1729              }
1730              else {
1731                  QDC[i]=20000000d;
1732              }
1733          }
1734      }
1735      catch (Exception e) {
1736          System.out.println(
1737              "Usuário colocou valor de QDC não valido, então uso do
1738              default.");
1739          for (int i=0;i<nPontos;i++) {

```

```

1734         QDC[i]=2000000d;
1735     }
1736 }
1737
1738 //pegar o parâmetro de applet "Boder Calorífico Superior
(kcal/m3)"
1739 try {
1740     for (int i=0;i<nPontos;i++) {
1741         if (campoP[i].getText() != null){
1742             PCS[i]=Double.parseDouble(campoP[i].getText());
1743             System.out.println("PCS" + (i+1) + " = " + PCS[i]);
1744         }
1745         else {
1746             PCS[i]=96000d;
1747         }
1748     }
1749 }
1750 catch (Exception e) {
1751     System.out.println(
        "Usuário colocou valor de PCS não valido, então uso do
        default.");
1752     for (int i=0;i<nPontos;i++) {
1753         PCS[i]=96000d;
1754     }
1755 }
1756
1757 //atribuição de classe ou qualidade às medidas ou vetores de
dados ou de entrada
1758 avalia_d[0]=0;
1759 for (int i=1; i<=nMaximoDados; i=i+nPontos) {
1760     for (int j=0; j<nPontos; j++) {
1761         if ( Double.parseDouble(qualy[j+i][4])<0.995d*PCS[j] ) {
1762             avalia_d[j+i]=4;
1763         }
1764         else {
1765             if ( Double.parseDouble(qualy[j+i][3])<0.8d*QDC[j] ) {
1766                 avalia_d[j+i]=3;
1767             }
1768             else {
1769                 if ( Double.parseDouble(qualy[j+i][3])>=1.35d*QDC[j] ) {
1770                     avalia_d[j+i]=1;
1771                 }
1772                 else {
1773                     avalia_d[j+i]=2;
1774                 }
1775             }
1776         }
1777     }
1778     //fim do for intermediário para atribuição de classe para cada
vector de entrada
1779 } //fim do for para atribuição de classe para cada vector de
entrada
1780
1781 try {
1782     String brng = new String("Sincrono");
1783     FileOutputStream fos = new FileOutputStream(
        "D:/Documents and Settings/rsiz/Kens
        documentos/BIHML_Java_Projects/AtWork/K73_367Hex31b16dunVolPcs
        /classificatorioium.txt");
1784     PrintStream outputFile = new PrintStream(fos);
1785     for (int i = 1; i<=nMaximoDados; i++) {
1786         brng = "";
1787         for (int j = 0; j <= dim+1; j++) {
1788             if (j==0){brng = brng + String.valueOf(i); brng =
brng +
";"; brng = brng + avalia_d[i]; brng = brng
+
";";}
1789             if (i>0 && j<dim+1) { brng = brng + String.valueOf(x_d
[i][j]); brng = brng + ";"; }
1790             if (j==dim+1) {brng = brng + avalia_d[i]; //repete
coluna
        avalia_d[i] para melhor visualização
1791         }
1792         outputFile.println(brng);
1793     }

```

```

1794         outputFile.close();
1795         fos.close();
1796     }
1797     catch (IOException io) {
1798         System.err.println("Erro ao escrever o arquivo");
1799         io.printStackTrace();
1800     }
1801 }
1802
1803 //fim do método mapeiaQualidade
1804
1805
1806
1807 //calcula a que classe pertence o novo dado
1808 public void calcPrev() {
1809
1810     double vencedorPrev;
1811     double dist=0.0d;
1812     double x_V[][];//os dados para validação e previsão
1813     int venc[];//l=0; int venc2=0; int venc3=0; int venc4=0; int
1814     venc5=0; int venc6=0;
1815     String[] aviso = {" ", "10% maior", "90% resto", "cerca !"};
1816     int decimoPesos = (int)Math.round((nPesos*1d)/10d);
1817     int aux;
1818
1819     x_V = new double[nEntradas+1][dim+1];
1820     venc = new int[8];
1821
1822
1823     //valores default
1824     for (int k=0; k <= nEntradas; k++){
1825         alarme[k]=aviso[0];
1826     }
1827
1828
1829     for (int k=0; k <= nEntradas; k++){
1830         pr[k]=0;
1831     }
1832
1833     for (int i=0; i<=nEntradas; i++) {
1834         for (int j=0; j<=dim; j++) {
1835             x_V[i][j] = 3d;
1836         }
1837     }
1838
1839     for (int i=0; i<=7; i++) {
1840         venc[i]=0;
1841     }
1842
1843     //atribuição dos valores
1844     for (int i=1; i<=prev.size(); i++) {
1845
1846         for (int j=1; j<=dim; j++) {
1847             if (j==1) {
1848                 x_V[i][j]=: ((Point)prev.elementAt(i-1)).x ) / 350d ) -
1849                 ld;
1850             else : if (j==2) {
1851                 x_V[i][j]=: (((Point)prev.elementAt(i-1)).y)-
1852                 1750d ) / 400d ) - ld;
1853             else { if (j==3) {
1854                 while (j<=dim) {
1855                     x_V[i][j]=prevDimAux[j-3][i-1];
1856                     j++;
1857                 }
1858             }
1859         }
1860     }
1861
1862     //fim do for para atribuição de valores
1863

```

```

1864 for (int k=1; k <= prev.size(); k++){//3
1865   vecedorPrev = 2000.0d;
1866   for (int i=1; i <= nPesos; i++){//2
1867     dist=0.0d;
1868     for (int j=1; j <= dim; j++){//1
1869       dist += (X_V[k][j] - w[i][j])*(X_V[k][j] - w[i][j]);
1870     }
1871     //1
1872     try {
1873       dist = Math.sqrt(dist);
1874     }
1875     catch (Exception e) {
1876       System.out.println("Distancia negativa!!");
1877       break;
1878     }
1879     if (vecedorPrev > dist) {vecedorPrev = dist; pr[k]=i;}
1880   }
1881   //2
1882   //3
1883   if (decimoPesos==1) {
1884     aux=qNeuro[0];
1885     for(int m=pesos; m>=1; m--) {
1886       if(qNeuro[m]>aux) {
1887         vec[1]=m; aux=qNeuro[m];
1888       }
1889     }
1890     //1
1891     //2
1892     if (decimoPesos==2) {
1893       aux=qNeuro[0];
1894       for(int m=pesos; m>=1; m--) {
1895         if(qNeuro[m]>aux && m!=vec[1]) {
1896           vec[2]=m; aux=qNeuro[m];
1897         }
1898       }
1899     }
1900     //1
1901     //2
1902     if (decimoPesos==3) {
1903       aux=qNeuro[0];
1904       for(int m=pesos; m>=1; m--) {
1905         if(qNeuro[m]>aux && m!=vec[1] && m!=vec[2]) {
1906           vec[3]=m; aux=qNeuro[m];
1907         }
1908       }
1909     }
1910     //1
1911     //2
1912     if (decimoPesos==4) {
1913       aux=qNeuro[0];
1914       for(int m=pesos; m>=1; m--) {
1915         if(qNeuro[m]>aux && m!=vec[1] && m!=vec[2] && m!=vec[3]) {
1916           vec[4]=m; aux=qNeuro[m];
1917         }
1918       }
1919     }
1920     //1
1921     //2
1922     if (decimoPesos==5) {
1923       aux=qNeuro[0];
1924       for(int m=pesos; m>=1; m--) {
1925         if(qNeuro[m]>aux && m!=vec[1] && m!=vec[2] && m!=vec[3] &&
1926           m!=vec[4]) {
1927           vec[5]=m; aux=qNeuro[m];
1928         }
1929       }
1930     }
1931     //1
1932     //2
1933     if (decimoPesos==6) {
1934       aux=qNeuro[0];
1935       for(int m=pesos; m>=1; m--) {
1936         if(qNeuro[m]>aux && m!=vec[1] && m!=vec[2] && m!=vec[3] &&
1937           m!=vec[4] && m!=vec[5]) {
1938           vec[6]=m; aux=qNeuro[m];
1939         }
1940       }
1941     }

```

```

1935     }
1936     }
1937 }
1938
1939 if (decimoPesos>=7) {
1940     aux=qNeuro[3];
1941     for(int m=nPesos; m>=1; m--) {
1942         if(qNeuro[m]>aux && m!=venc[1] && m!=venc[2] && m!=venc[3] &&
1943             m!=venc[4] && m!=venc[5] && m!=venc[6]) {
1944             venc[7]=m; aux=qNeuro[m];
1945         }
1946     }
1947 }
1948
1949 for (int k=1; k <= prev.size(); k++){
1950     if (pr[k]==venc[1]||pr[k]==venc[2]||pr[k]==venc[3]||pr[k]==venc
1951         [4]||pr[k]==venc[5]||pr[k]==venc[6]||pr[k]==venc[7]) {
1952         alarme[k]=aviso[1];
1953         System.out.println("Entrada "+ k + " mais próxima à unidade "
1954             + pr[k] + ", que esta entre os " + alarme[k] +
1955             " de dados recebidos.");
1956     }
1957     else {
1958         if (qNeuro[pr[k]]==0) {
1959             alarme[k]=aviso[3];
1960             System.out.println("Entrada "+ k +
1961                 " mais próxima à unidade "+ pr[k] + ", que esta entre os "
1962                 + alarme[k] + " de dados recebidos.");
1963         }
1964         else {
1965             alarme[k]=aviso[2];
1966             System.out.println("Entrada "+ k +
1967                 " mais próxima à unidade "+ pr[k] + ", que esta entre os "
1968                 + alarme[k] + " de dados recebidos.");
1969         }
1970     }
1971 }
1972 }
1973 }
1974 }
1975 }
1976 }
1977 }
1978 }
1979 }
1980 }
1981 }
1982 }
1983 }
1984 }
1985 }
1986 }
1987 }
1988 }
1989 }
1990 }
1991 }
1992 }
1993 }
1994 }
1995 }
1996 }
1997 }
1998 }

```

```

2000
2001
2002 for (int i=0; i<=7; i++) {
2003     venc[i]=0;
2004 }
2005
2006 lineaData = Integer.parseInt(selecao.getText());
2007
2008 //atribuição dos valores
2009 for (int j=1; j<=dim; j++) {
2010     x_C[j]=x_d[lineaData][j];
2011 }
2012
2013 vencedorPrev = 2000.0d;
2014 for (int i=1; i <= nPesos; i++){//2
2015
2016     dist=0.0d;
2017     for (int j=1; j <= dim; j++){//1
2018         dist += (x_C[j] - w[i][j])*(x_C[j] - w[i][j]);
2019     }//1
2020     try {
2021         dist = Math.sqrt(dist);
2022     }
2023     catch (Exception e) {
2024         System.out.println("Distância negativa!!!");
2025         break;
2026     }
2027     if (vencedorPrev > dist) {vencedorPrev = dist; proxímado=i;}
2028 }//2
2029
2030
2031 if (decimoPesos>=1) {
2032     aux=qNeuro[0];
2033     for(int m=nPesos; m>=1; m--) {
2034         if(qNeuro[m]>aux) {
2035             venc[1]=m; aux=qNeuro[m];
2036         }
2037     }//
2038 }
2039
2040 if (decimoPesos>=2) {
2041     aux=qNeuro[0];
2042     for(int m=nPesos; m>=1; m--) {
2043         if(qNeuro[m]>aux && m!=venc[1]) {
2044             venc[2]=m; aux=qNeuro[m];
2045         }
2046     }//
2047 }
2048
2049 if (decimoPesos>=3) {
2050     aux=qNeuro[0];
2051     for(int m=nPesos; m>=1; m--) {
2052         if(qNeuro[m]>aux && m!=venc[1] && m!=venc[2]) {
2053             venc[3]=m; aux=qNeuro[m];
2054         }
2055     }//
2056 }
2057
2058 if (decimoPesos>=4) {
2059     aux=qNeuro[0];
2060     for(int m=nPesos; m>=1; m--) {
2061         if(qNeuro[m]>aux && m!=venc[1] && m!=venc[2] && m!=venc[3]) {
2062             venc[4]=m; aux=qNeuro[m];
2063         }
2064     }//
2065 }
2066
2067 if (decimoPesos>=5) {
2068     aux=qNeuro[0];
2069     for(int m=nPesos; m>=1; m--) {
2070         if(qNeuro[m]>aux && m!=venc[1] && m!=venc[2] && m!=venc[3] &&
2071             m!=venc[4]) {

```

```

2071         venc[5]=m; aux=qNeuro[m];
2072     }
2073     }/////
2074 }
2075
2076 if (decimoPesos>=6) {
2077     aux=qNeuro[0];
2078     for(int m=nPesos; m>=1; m--) {
2079         if((qNeuro[m]>aux && m!=venc[1] && m!=venc[2] && m!=venc[3] &&
2080             m!=venc[4] && m!=venc[5])) {
2081             venc[6]=m; aux=qNeuro[m];
2082         }
2083     }/////
2084 }
2085 if (decimoPesos>=7) {
2086     aux=qNeuro[0];
2087     for(int m=nPesos; m>=1; m--) {
2088         if((qNeuro[m]>aux && m!=venc[1] && m!=venc[2] && m!=venc[3] &&
2089             m!=venc[4] && m!=venc[5] && m!=venc[6])) {
2090             venc[7]=m; aux=qNeuro[m];
2091         }
2092     }/////
2093 }
2094
2095     if (proximado==venc[1]||proximado==venc[2]||proximado==venc[3]||
2096         proximado==venc[4]||proximado==venc[5]||proximado==venc[6]||
2097         proximado==venc[7]) {
2098         alarme=aviso[1];
2099         System.out.println("Entrada "+ linhaData +
2100             " mais próxima à unidade "+ proximado +
2101             ", que esta entre os "+ alarme +" de dados recebidos.");
2102         System.out.println("");
2103     }
2104     else {
2105         if (qNeuro[proximado]==0) {
2106             alarme=aviso[3];
2107             System.out.println("Entrada "+ linhaData +
2108                 " mais próxima à unidade "+ proximado +
2109                 ", que esta entre os "+ alarme +" de dados recebidos.");
2110             System.out.println("");
2111         }
2112         else {
2113             alarme=aviso[2];
2114             System.out.println("Entrada "+ linhaData +
2115                 " mais próxima à unidade "+ proximado +
2116                 ", que esta entre os "+ alarme +" de dados recebidos.");
2117             System.out.println("");
2118         }
2119     }
2120 }
2121
2122 /**fim do método calcClassifDado*/
2123
2124 public void leInformacao() throws Exception{
2125     int nGrupos=0;
2126     try {///a
2127         BufferedReader in = new BufferedReader(new FileReader(
2128             "D:/Documents and Settings/psiz/Meus
2129             documentos/BHIML_Java_Projects/AtWork/K73_3G7Hex31b16dimVOLF
2130             os/datoses.txt"));
2131         String ss;
2132         int lin=1;
2133         int col=1;
2134         while ((ss = in.readLine()) != null) {
2135             StringTokenizer st = new StringTokenizer(ss,",");
2136             if(!st.hasMoreTokens()) { throw new Exception(
2137                 "Erro de sintaxe no arquivo");}
2138             if (col==1) {

```

```

2130         while (col<=10) {
2131             entrada[lin][col]=st.nextToken();
2132             col++;
2133         }
2134         if (col==11) { col=1; lin++; }
2135     }
2136     }
2137     nMaximoDados=(lin-1);
2138     //trecho deste método que descobre quantas estações de
2139     //medição há no arquivo texto datones
2140     for (int i=2; i<=10; i++) {
2141         if (entrada[i][2].equals(entrada[i][2])) {
2142             nPontos=i-1; i=11;
2143         }
2144     }
2145     //fim do trecho de descoberta do número de pontos (ou
2146     //estações) de medição
2147     nTuplas=nMaximoDados/nPontos;
2148     //final try a
2149     catch (IOException e) { //a
2150         for (int i=0; i<=nMaximoDados; i++) {
2151             for (int j=0; j<=10; j++) {
2152                 entrada[i][j] = "Não conseguiu ler TXT datones";
2153             }
2154         }
2155     }
2156     //final catch a
2157     for (int i=1; i<=nMaximoDados; i++) {
2158         nGrupos++;
2159     }
2160     if (nEntradas>nGrupos) { nEntradas=nGrupos; }
2161     for (int i=1; i<=nMaximoDados; i++) {
2162         for (int j=1; j<=10; j++) {
2163             System.out.print(entrada[i][j]);
2164             System.out.print(";");
2165             if (j==10) {System.out.println(" ");}
2166         }
2167     }
2168     //final do método leInformação
2169     private void filtratiTextus() {
2170         try {
2171             String pring = new String("Fulano");
2172             FileOutputStream fos = new FileOutputStream(
2173                 "D:/Documents and Settings/osiz/Meus
2174                 documentos/BHTML_Java_Projects/AtWork/R73_367Hex31b16dimVolPos
2175                 /filtrati.txt");
2176             PrintStream outputFile = new PrintStream(fos);
2177             for (int i = 1; i<=nMaximoDados; i++) {
2178                 pring = "";
2179                 for (int j = 0; j <= dim+1; j++) {
2180                     if (j==0){pring = pring + String.valueOf(i); pring =
2181                         pring + ";";}
2182                     if (j>0 && j<dim+1) { pring = pring + String.valueOf(x_d
2183                         [i][j]); pring = pring + ";"; }
2184                     if (j==dim+1) {pring = pring +
2185                         String.valueOf(x_d[i][0]);}
2186                 }
2187                 outputFile.println(pring);
2188             }
2189             outputFile.close();
2190             fos.close();
2191         }
2192         catch (IOException io) {
2193             System.err.println("Erro ao escrever o arquivo");
2194             io.printStackTrace();
2195         }
2196     }
2197     //final do método filtratiTextus
2198 }

```

```

2195
2196 public void leFiltrato() throws Exception{
2197
2198     int nGrupos=0;
2199     try {
2200         BufferedReader in = new BufferedReader(new FileReader(
2201             "D:/Documents and Settings/oslz/Meus
2202             documentos/DHTML_Java_Projects/AtWork/K73_367Hex31b16dimVOLF
2203             os/filtrato.txt"));
2204         String ss;
2205         int lin=1;
2206         int col=1;
2207         while (ss = in.readLine() != null) {
2208             StringTokenizer st = new StringTokenizer(ss,";");
2209             if(!st.hasMoreTokens()) { throw new Exception(
2210                 "Erro de sintaxe no arquivo");}
2211             if (col==1) {
2212                 while (col<=8) {
2213                     qualy[lin][col]=st.nextToken();
2214                     col++;
2215                 }
2216                 if (col==9) { col=1; lin++;}
2217             }
2218             nMaximoDados=(lin-1);
2219             etiqueta4.setText(String.valueOf(nMaximoDados));
2220             nTuplas=nMaximoDados/nPontos;
2221             //final try a
2222             catch (IOException e) {
2223                 for (int i=0; i<=nMaximoDados; i++) {
2224                     for (int j=0; j<=8; j++) {
2225                         qualy[i][j] = "No conseguiu ler TXT";
2226                     }
2227                 }
2228             }
2229             //final catch a
2230             for (int i=1; i<=nMaximoDados; i++) {
2231                 if (Float.parseFloat(entrada[i][2]) == 3.1f) {
2232                     nGrupos++;
2233                 }
2234             }
2235             //final do mtodo leFiltrato
2236
2237 public void extractatMediaBP() {
2238
2239     double multiplicaCasa;
2240     int indicaCasa=0;
2241
2242     for (int j=0; j<=dim; j++) {
2243         for (int k=0; k<=nPontos; k++) {
2244             media[k][j]=0d;
2245             desvioPadraoSignif[k][j]=0d;
2246             desvioPadraoNat[k][j]=0d;
2247             dPALgarismoSignificativo[k][j]=0;
2248         }
2249     }
2250     for (int j=2; j<=dim; j++) {
2251         for (int k=0; k<=(nPontos-1); k++) {
2252             for (int i=1; i<=nEntradas; i=i+nPontos) {
2253                 media[k+1][j]+=x_d[i+k][j];
2254             }
2255         }
2256     }
2257     for (int j=2; j<=dim; j++) {
2258         for (int k=0; k<=(nPontos-1); k++) {
2259             media[k+1][j]=media[k+1][j]/(nEntradas/nPontos);
2260         }
2261     }
2262     for (int j=2; j<=dim; j++) {
2263         for (int k=0; k<=(nPontos-1); k++) {

```

```

2264         for (int i=1; i<=nEntradas; i=i+nPontos) {
2265             desvioPadraoSignif[k+1][j]+=(x_d[i+k][j]-media[k+1][j])*
                x_d[i+k][j]-media[k+1][j]);
2266         }
2267         if (desvioPadraoSignif[k+1][j]<=0.000001d) {
                desvioPadraoSignif[k+1][j]=0d;}
2268     }
2269 }
2270 for (int j=2; j<=dim; j++) {
2271     for (int k=0; k<=(nPontos-1); k++) {
2272
2273         desvioPadraoSignif[k+1][j]=
                Math.sqrt (desvioPadraoSignif[k+1][j]/(nEntradas/nPontos));
2274         desvioPadraoNat[k+1][j]=desvioPadraoSignif[k+1][j];
2275     }
2276     for (int j=2; j<=dim; j++) {
2277         for (int k=0; k<=(nPontos-1); k++) {
2278             multiplicaCasa=1d;
2279             indicaCasa=0;
2280             while (indicaCasa==0){
2281                 if (desvioPadraoSignif[k+1][j]<1d && desvioPadraoSignif[k
                +1][j]>0d) {
2282                     multiplicaCasa*=10d;
2283                     indicaCasa=(int) Math rint (desvioPadraoSignif[k+1][j]*
                multiplicaCasa);
2284                 }
2285                 else {
2286                     indicaCasa=1;
2287                     multiplicaCasa=1d;
2288                 }
2289             }
2290             dPALgarismoSignificativo[k+1][j]=(int) Math.rint(((
                desvioPadraoSignif[k+1][j]+1d/((int)multiplicaCasa*10)))*
                (int)multiplicaCasa);
2291             desvioPadraoSignif[k+1][j]=((int) Math.rint (
                desvioPadraoSignif[k+1][j]*multiplicaCasa))*(1d/(int)
                multiplicaCasa);
2292             media[k+1][j]=((int) Math.rint (media[k+1][j]*(int)
                multiplicaCasa))*(1d/(int)multiplicaCasa);
2293         }
2294     }
2295 }
2296 //final do método extractatMediaDP
2297
2298
2299
2300 public void fixaBackground() {
2301     switch (ciclicoBG) {
2302         case 1 : setBackground(new Color(250,247,153)); break;
2303         case 2 : setBackground(Color.white); break;
2304         case 3 : setBackground(Color.black); break;
2305         default : setBackground(new Color(250,247,153)); break;
2306     }
2307 //final do método fixaBackground
2308
2309
2310
2311
2312 //*final da classe Kohonen73*/

```

## REFERÊNCIAS BIBLIOGRÁFICAS

- 1 AMERICAN GAS ASSOCIATION. **Compressibility factor of natural gas and related hydrocarbon gases**. Report n. 8, 1994.
- 2 BAJIS, T.; ORIANI, L.; RICOTTI, M. E.; BARROSO, A. C. Transient analysis of the IRIS reactor. In: INTERNATIONAL CONFERENCE NUCLEAR ENERGY FOR NEW EUROPE, Sept. 9-12, 2002, Kranjska Gora, Slovenia.
- 3 BALLONE, G. J. **Cérebro e violência**.  
<http://www.psiqweb.med.br/forense/cerebro.html>, 2002.
- 4 BAPTISTA FILHO, B. D. **Redes neurais artificiais na engenharia nuclear** – parte 2. Revista Brasileira de Pesquisa e Desenvolvimento, vol. 4, no.2, págs.220-225, 2002.
- 5 BAPTISTA FILHO, B. D.; BARROSO, A. C. O. Identification of IRIS reactor transients with Self-Organized Maps. In: INTERNATIONAL CONFERENCE ON GLOBAL ENVIRONMENT AND ADVANCED NUCLEAR POWER PLANTS (GENES4/ANP2003), 2003, Kyoto.
- 6 BAPTISTA FILHO, B. D.; BARROSO, A. C. O. Self-Organized Maps in the identification of IRIS reactor transients. In: THE INTERNATIONAL CONFERENCE ON INTEGRATED MODELING & ANALYSIS IN APPLIED CONTROL & AUTOMATION (IMAACA 2004), Oct. 28-30, 2004, Genoa. (Paper IMAACA\_Nu-05).
- 7 BARROSO, A. C. O.; BAPTISTA FILHO, B. D.; ARONE, I. D.; MACEDO, L. A.; SAMPAIO, P. A. B.; MORAES, M. IRIS pressurizer design. In: INTERNATIONAL CONGRESS ON ADVANCES IN NUCLEAR POWER PLANTS (ICAPP'03), May 4-7, 2003, Córdoba. (Paper 3227).
- 8 BRAILOWSKY, S. **Las sustancias de los sueños: Neuropsicofarmacología** – primera parte: el sistema nervioso central (SNC).  
[http://omega.ilce.edu.mx:3000/sites/ciencia/volumen3/ciencia3/130/html/sec\\_5.html](http://omega.ilce.edu.mx:3000/sites/ciencia/volumen3/ciencia3/130/html/sec_5.html), 1995.
- 9 CARDOSO, S. H.; MELLO, L. C.; SABBATINI, R. M. E. **Como funcionam as células nervosas** - parte II: o potencial de ação.  
<http://www.epub.org.br/cm/n10/fundamentos/pot2.htm>, 2000.

- 10 CARELLI, M. D. *et al.* IRIS, International New Generation Reactor. **Proceedings of the 8th International Conference on Nuclear Engineering (ICONE8)**. Baltimore: ICONE, 2000. 1 CD-ROM.
- 11 CARELLI, M. D.; CONWAY, L. E.; FIORINI, G. L.; LOMBARDI, C. V.; RICOTTI, M. E.; ORIANI, L.; BERRA, F.; TODREAS, N. E. Safety by Design: A New Approach to Accident Management in the IRIS Reactor. In: IAEA INTERNATIONAL SEMINAR ON STATUS AND PROSPECTS FOR SMALL AND MEDIUM SIZED REACTORS, May 27-31, 2001, Cairo. (IAEA-SR-218-36).
- 12 DEITEL, H.M.; DEITEL, P.J. **Java, como programar**. Porto Alegre, RS: Bookman, 2001.
- 13 ELETRONUCLEAR. **Energia nuclear no Brasil**.  
[http://www.eletronuclear.gov.br/novo/sys/interna.asp?IdSecao=50&secao\\_mae=2](http://www.eletronuclear.gov.br/novo/sys/interna.asp?IdSecao=50&secao_mae=2), 2003.
- 14 GÁS&ENERGIA. **Reservas nacionais**.  
[http://www.gasenergia.com.br/portatge/port/gn/reservas\\_nac.jsp](http://www.gasenergia.com.br/portatge/port/gn/reservas_nac.jsp), 2005.
- 15 GAS NET. **Gás natural**.  
[http://www.gasnet.com.br/gasnet\\_br/oque\\_gn/gas\\_completo.html](http://www.gasnet.com.br/gasnet_br/oque_gn/gas_completo.html), 1999.
- 16 GERSHO, A.; GRAY, R.M. **Vector quantization and signal compression**. Norwell, MA: Kluwer, 1992.
- 17 HAYKIN, S., **Neural networks: a comprehensive foundation**. Jersey City, N. J.: Prentice Hall, 1999.
- 18 JOHNSON, G. **Nos palácios da memória**. Tradução de C. A. Gimenez. São Paulo, SP: Siciliano, 1994.
- 19 JOSEPH, R. **Functional neuroanatomy**. <http://brainmind.com>, 2005.
- 20 KOHONEN, T. Self-organized formation of topologically correct feature maps. **Biological Cybernetics**, v. 43, pp. 59-69, 1982. (Reprinted by Anderson and Rosenfeld, 1988).
- 21 KOHONEN, T. The self-organizing map. **Proceedings of the Institute of Electrical and Electronics Engineers**, v.78, pp. 1464-1480, 1990.
- 22 KOVÁCS, Z. L. **Redes neurais artificiais: fundamentos e aplicações**. S. Paulo, SP: Collegium Cognition, 1998.
- 23 KRÖSE, B; VAN DER SMAGT, P. **An introduction to neural networks**.  
[http://www.avaye.com/files/articles/nnintro/nn\\_intro.pdf](http://www.avaye.com/files/articles/nnintro/nn_intro.pdf), 1996.

- 24 LO, Z. P.; FUJITA, M.; BAVARIAN, B. Analysis of neighborhood interaction in Kohonen neural networks. **6th International Parallel Processing Symposium (IPPS'91) Proceedings**, pp. 246-249. Los Alamitos, CA: IEEE, 1991.
- 25 LO, Z. P.; YU, Y.; BAVARIAN, B. Analysis of the convergence properties of topology preserving neural networks. **IEEE Transactions on Neural Networks**, v. 4, pp. 207-220, 1993.
- 26 LUTTRELL, S. P. Hierarchical vector quantization. **IEE Proceedings (London)**, v. 136, pp. 405-413, 1989. Part I.
- 27 MORRISON, M. **Java 2**. Rio de Janeiro, RJ: Ciência Moderna, 2000.
- 28 NADEL, L.; COOPER, A.; CULICOVER, P.; HARNISH, M. (editors). **Neural connections, mental computation**. Cambridge, MA: MIT Press, 1989.
- 29 NASCIMENTO JÚNIOR, C. L.; YONEYAMA, T. **Inteligência artificial em controle e automação**. São Paulo, SP: Edgard Blucher - FAPESP, 2000.
- 30 NEURODIMENSION. **Resources**. <http://www.nd.com/resouces>, 2005.
- 31 OPENSHAW, S.; TURTON, I. A parallel Kohonen algorithm for the classification of large spatial datasets. **Computer & Geosciences**, v. 22, n. 9, pp. 1019-1026, 1996.
- 32 PACKER, C. A framework for the organizational assumptions underlying safety culture. **Annals of the International Safety Conference on Safety Culture in Nuclear Installations**. Rio de Janeiro: IAEA, 2002.
- 33 PAPLIŃSKI, A. P. **Neural networks**, L. 10. <http://www.csse.monash.edu.au/courseware/cse5301/04/Lnts/L10.pdf>, 2002.
- 34 PETROBRAS. **Cálculo de poder calorífico, fator de compressibilidade, índice de Wobbe e densidade relativa de combustíveis gasosos**. NORMALIZAÇÃO TÉCNICA PETROBRAS N-2535, 2001.
- 35 PETROVIC, B. International collaboration and neutronic analyses in support of the IRIS Project. **Transactions of American Nuclear Society**, v. 83, pp. 186-187, 2000.
- 36 RITTER, H.; MATINETZ, T.; SCHULTEN, K. **Neural computation and self-organizing maps: an introduction**. Reading, MA: Addison-Wesley, 1992.
- 37 ROSENBLATT, F. The Perceptron: a probabilistic model for information storage and organization in the brain. **Psychological Review**, v. 65, pp. 386-408, 1958.
- 38 SILBERSCHATZ, A.; KORTH, H. F.; SUDARSHAN, S. **Sistema de banco de dados**. São Paulo, SP: Makron Books, 1999.

- 39 STEINER, J. E. (coordenador). **Introdução à astronomia e astrofísica**. Cap. I por R. Boczko. São Paulo, SP: IAGUSP, 1978.
- 40 WILLSHAW, D. J.; VON DER MARLSBURG, C. How patterned neural connections can be set up by self-organization. **Proceedings of the Royal Society of London**, Series B, v. 194, pp. 431-445, 1976.



Ministério  
da Ciência  
e Tecnologia



**Instituto de Pesquisas Energéticas e Nucleares**  
Diretoria de Ensino & Informação Científica e Tecnológica  
Av. Prof. Lineu Prestes, 2242 Cidade Universitária CEP: 05508-000  
Fone/Fax(0XX11) 3816 - 9148  
SÃO PAULO - São Paulo - Brasil  
<http://www.ipen.br>

O Ipen é uma autarquia vinculada à Secretaria de Ciência, Tecnologia e Desenvolvimento Econômico e Turismo do Estado de São Paulo, gerida técnica, administrativa e financeiramente pela Comissão Nacional de Energia Nuclear, órgão do Ministério da Ciência e Tecnologia, e associada à Universidade de São Paulo.